- 2.11 使用済燃料プールからの燃料取り出し設備
- 2.11.1 基本設計

## 2.11.1.1 設置の目的

使用済燃料プールからの燃料取り出しは、燃料取り出し用カバー(又はコンテナ)の設置による作業環境の整備、燃料等を取り扱う燃料取扱設備の設置を行い、燃料を使用済燃料プール内の使用済燃料貯蔵ラックから取り出し原子炉建屋から搬出することを目的とする。

使用済燃料プールからの燃料取り出し設備は、燃料取扱設備、構内用輸送容器、燃料取り出し用カバーで構成される。燃料取扱設備は、燃料取扱機、クレーンで構成され、燃料取り出し用カバーにより支持される。なお、燃料の原子炉建屋外への搬出には、構内用輸送容器を使用する。

## 2.11.1.2 要求される機能

#### (1) 燃料取扱設備

燃料取扱設備は、二重のワイヤなどにより落下防止を図る他、駆動源喪失時にも燃料 集合体を落下させない設計とする。

また, 遮へい, 臨界防止を考慮した設計とする。

### (2) 構内用輸送容器

構内用輸送容器は、除熱、密封、遮へい、臨界防止を考慮した設計とする。また、破損燃料集合体を収納して輸送する容器については、燃料集合体の破損形態に応じて輸送中に放射性物質の飛散・拡散を防止できる設計とする。

## (3) 燃料取り出し用カバー

燃料取り出し用カバーは、燃料取扱設備の支持、作業環境の整備及び放射性物質の飛 散・拡散防止ができる設計とする。

## 2.11.1.3 設計方針

## (1) 燃料取扱設備

- a. 落下防止
  - (a) 使用済燃料貯蔵ラック上には、重量物を吊ったクレーンを通過できないようにインターロックを設け、貯蔵燃料への重量物の落下を防止できる設計とする。
  - (b) 燃料取扱機の燃料把握機は、二重のワイヤや種々のインターロックを設け、また、 クレーンの主要要素は、二重化を施すことなどにより、燃料移送操作中の燃料集 合体等の落下を防止できる設計とする。

#### b. 遮へい

燃料取扱設備は、使用済燃料プールから構内用輸送容器への燃料集合体の収容操作を、燃料の遮へいに必要な水深を確保した状態で、水中で行うことができる設計と

するか、放射線防護のための適切な遮へいを設けて行う設計とする。

#### c. 臨界防止

燃料取扱設備は、燃料集合体を一体ずつ取り扱う構造とすることにより、燃料の臨界を防止する設計とする。

## d. 放射線モニタリング

燃料取扱エリアの放射線モニタリングのため、放射線モニタを設け放射線レベルを 測定し、これを免震重要棟集中監視室に表示すると共に、過度の放射線レベルを検 出した場合には警報を発し、放射線業務従事者に伝える設計とする。

#### e. 単一故障

- (a) 燃料取扱機の燃料把握機は、二重のワイヤや燃料集合体を確実につかんでいない場合には吊上げができない等のインターロックを設け、圧縮空気等の駆動源が喪失した場合にも、フックから燃料集合体が外れない設計とする。
- (b) 燃料取扱機の安全運転に係わるインターロックは電源喪失,ケーブル断線で安全 側になる設計とする。
- (c) クレーンの主要要素は、二重化を施すことなどにより、移送操作中の構内用輸送 容器等の落下を防止できる設計とする。

### f. 試験検査

燃料取扱設備のうち安全機能を有する機器は、適切な定期的試験及び検査を行うことができる設計とする。

また,破損燃料を取り扱う場合,燃料取扱設備は,破損形態に応じた適切な取扱手法により,移送中の放射性物質の飛散・拡散を防止できる設計とする。

## (2) 構内用輸送容器

#### a. 除熱

使用済燃料の健全性及び構内用輸送容器構成部材の健全性が維持できるように,使 用済燃料の崩壊熱を適切に除去できる設計とする。

## b. 密封

周辺公衆及び放射線業務従事者に対し、放射線被ばく上の影響を及ぼすことのないよう、使用済燃料が内包する放射性物質を適切に閉じ込める設計とする。

#### c. 遮へい

内部に燃料を入れた場合に放射線障害を防止するため,使用済燃料の放射線を適切 に遮へいする設計とする。

### d. 臨界防止

想定されるいかなる場合にも、燃料が臨界に達することを防止できる設計とする。

また,破損燃料集合体を収納して輸送する容器は燃料集合体の破損形態に応じて 輸送中に放射性物質の飛散・拡散を防止できる設計とする。

## (3) 燃料取り出し用カバー

a. 燃料取り出し作業環境の整備

燃料取り出し用カバーは、燃料取り出し作業に支障が生じることのないよう、風雨 を遮る設計とする。

また,必要に応じ燃料取り出し用カバー内にローカル空調機を設置し,カバー内の 作業環境の改善を図るものとする。

b. 放射性物質の飛散・拡散防止

燃料取り出し用カバーは、隙間を低減するとともに、換気設備を設け、排気はフィルタユニットを通じて大気へ放出することにより、カバー内の放射性物質の大気への放出を抑制できる設計とする。

## 2.11.1.4 供用期間中に確認する項目

(1) 燃料取扱設備

燃料取扱設備は、動力源がなくなった場合においても吊り荷を保持し続けること。

(2) 構内用輸送容器

構内用輸送容器は、除熱、密封、遮へい、臨界防止の安全機能が維持されていること。

(3)燃料取り出し用カバー

対象外とする。

#### 2.11.1.5 主要な機器

(1) 燃料取扱設備

燃料取扱設備は、燃料取扱機、クレーンで構成する。

a. 燃料取扱機

燃料取扱機は、使用済燃料プール及びキャスクピット上を水平に移動するブリッジ 並びにその上を移動するトロリで構成する。

b. クレーン

クレーンは、オペレーティングフロア上部を水平に移動するガーダ及びその上を移動するトロリで構成する。

(2) 構内用輸送容器

構内用輸送容器は、容器本体、蓋、バスケット等で構成する。

(3) 燃料取り出し用カバー

燃料取り出し用カバーは、使用済燃料プールを覆う構造としており、必要により、燃料取扱機支持用架構及びクレーン支持用架構を有する。

また、燃料取り出し用カバーは換気設備及びフィルタユニットを有する。

なお, 換気設備の運転状態やフィルタユニット出入口で監視する放射性物質濃度等の 監視状態は現場制御盤及び免震重要棟集中監視室に表示され, 異常時は警報を発するな どの管理を行う。

## 2.11.1.6 自然災害対策等

#### (1) 津波

燃料取扱設備は、原子炉建屋オペレーティングフロア上(地上からの高さ約30m)に 設置されていることから、津波により燃料取り出し設備に影響を与えることはない。

燃料取り出し用カバーは鉄骨構造と鋼製の外装材により構成されているが、閉空間になっておらず、津波襲来時には、水は燃料取り出し用カバーの裏側に回り込み、津波による波圧は生じにくい。

## (2)台風, 竜巻

燃料取り出し用カバーは、建築基準法施行令に準拠した風圧力に対し設計している。

(3)外部人為事象

外部人為事象に対する設計事象の考慮については、Ⅱ.1.14 参照。

#### (4) 火災

火災の発生が考えられる箇所について,火災の早期検知に努めるとともに,消火器を 設置することで初期消火を可能にし,火災により安全性を損なうことのないようにする。

## (5)環境条件

燃料取扱設備については、燃料取り出し用カバーに換気設備を設け、排気はフィルタユニットを通じて大気へ放出することとしている。

燃料取り出し用カバーの外部にさらされている鉄骨部は、劣化防止を目的に、塗装を施す。

## 2.11.1.7 運用

(1) 燃料集合体の健全性確認

使用済燃料プールに貯蔵されている燃料集合体について,移送前に燃料集合体の機械 的健全性を確認する。

(2) 破損燃料の取り扱い

燃料集合体の機械的健全性確認において、破損が確認された燃料集合体を移送する場合には、破損形態に応じた適切な取扱手法及び収納方法により、放射性物質の飛散・拡散を防止する。

### 2.11.1.8 構造強度及び耐震性

(1) 構造強度

#### a. 燃料取扱設備

燃料取扱設備は、設計、材料の選定、製作及び検査について、適切と認められる規格及び基準による。

燃料取扱設備は、地震荷重等の適切な組合せを考慮しても強度上耐え得る設計とする。

## b. 構内用輸送容器

構内用輸送容器は取扱中における衝撃, 熱等に耐え, かつ, 容易に破損しない設計とする。

構内用輸送容器は、設計、材料の選定、製作及び検査について適切と認められる規格及び基準によるものとする。

## c. 燃料取り出し用カバー

燃料取り出し用カバーは、設計、材料の選定、製作及び検査について、適切と認められる規格及び基準を原則とするが、特殊な環境下での設置となるため、必要に応じ解析や試験等を用いた評価により確認する。

燃料取り出し用カバーは,燃料取扱設備を支持するために必要な構造強度を有する 設計とする。

#### (2) 耐震性

## a. 燃料取扱設備

## (a) 燃料取扱機

燃料取扱機は、使用済燃料プール、使用済燃料貯蔵ラックへの波及的影響を考慮することとし、検討用地震動として基準地震動 Ss により使用済燃料プール、使用済燃料貯蔵ラックへ落下しないことの確認を行う。

耐震性に関する評価にあたっては,「JEAG4601 原子力発電所耐震設計技術指針」 に準拠することを基本とするが,必要に応じて試験結果等を用いた現実的な評価を 行う。

### (b) クレーン

クレーンは、使用済燃料プール、使用済燃料貯蔵ラックへの波及的影響を考慮する。クレーンは、「JEAG4601・補-1984 原子力発電所耐震設計技術指針 重要度分類・許容応力編」に基づき、通常時は使用済燃料プール上にはなく、基準地震動 Ss が発生して使用済燃料プール、使用済燃料貯蔵ラックを損傷させる可能性は少ないため、検討用地震動として弾性設計用地震動 Sd により使用済燃料プール、使用済燃料貯蔵ラックへ落下しないことの確認を行う。

耐震性に関する評価にあたっては,「JEAG4601 原子力発電所耐震設計技術指針」 に準拠することを基本とするが,必要に応じて試験結果等を用いた現実的な評価を 行う。

## b. 燃料取り出し用カバー

燃料取り出し用カバーは、その損傷による原子炉建屋、使用済燃料プール、使用 済燃料貯蔵ラックへの波及的影響を考慮することとし、基準地震動 Ss により確認 を行う。

耐震性に関する評価にあたっては,「JEAG4601 原子力発電所耐震設計技術指針」 に準拠することを基本とするが,必要に応じて試験結果等を用いた現実的な評価を 行う。

- 2.11.2 基本仕様
- 2.11.2.1 主要仕様
  - (1) 燃料取扱設備

(第4号機を除く)

a. 燃料取扱機

個数 1式

b. クレーン

個数 1式

(第4号機)

a. 燃料取扱機

型式燃料把握機付移床式

基数 1基

定格荷重 燃料把握機 : 450kg

補助ホイスト : 450kg

b. クレーン

型式 天井走行式

基数 1基

定格荷重 主巻 : 100t

補巻 : 5t ホイスト : 10t

(2) 構内用輸送容器

(第4号機を除く)

個数 1式

(第4号機)

型式 NFT-22B 型

収納体数22 体個数2 基

(3) 燃料取り出し用カバー (換気設備含む)

(第3号機及び第4号機を除く)

個数 1式

(第4号機)

a. 燃料取り出し用カバー

種類 鉄骨造

寸法 約 69m (南北) ×約 31m (東西) ×約 53m (地上高)

(作業環境整備区画)

約55m (南北) ×約31m (東西) ×約23m (オペレーテ

ィングフロア上部高さ)

個数 1個

b. 送風機(給気フィルタユニット)

種類 遠心式

容量 25,000m³/h

台数 3台

c. プレフィルタ (給気フィルタユニット)

種類 中性能フィルタ(袋型)

容量 25,000m³/h

台数 3台

d. 高性能粒子フィルタ (給気フィルタユニット)

種類 高性能粒子フィルタ

容量 25,000m³/h

効率 97% (粒径 0.3 μ m) 以上

台数 3台

e. 排風機 (排気フィルタユニット)

種類 遠心式

容量 25,000m³/h

台数 3台

f. プレフィルタ (排気フィルタユニット)

種類 中性能フィルタ (袋型)

容量 25,000m³/h

台数 3台

g. 高性能粒子フィルタ (排気フィルタユニット)

種類 高性能粒子フィルタ

容量 25,000m³/h

効率 97% (粒径 0.3 μ m) 以上

台数 3台

h. 放射性物質濃度測定器(排気フィルタユニット出入口)

検出器の種類 シンチレーション検出器

計測範囲  $10^{-0} \sim 10^4 \text{s}^{-1}$ 

台数 排気フィルタユニット入口 1台

排気フィルタユニット出口 2台

i. ダクト

(a) カバー内ダクト

種類 長方形はぜ折りダクト/鋼板ダクト

材質 溶融亜鉛めっき鋼板 (SGCC 又は SGHC) / SS400

(b)屋外ダクト

種類 長方形はぜ折りダクト/鋼板ダクト

材質 溶融亜鉛めっき鋼板 (SGCC 又は SGHC, ガルバニウム付

着) /SS400

(c) 柱架構ダクト

 種類
 柱架構

 材質
 鋼材

(第3号機)

a. 燃料取り出し用カバー

種類 鉄骨造

寸法 約 19m (南北) ×約 57m (東西) ×約 54m (地上高)

(作業環境整備区画)

約 19m (南北) ×約 57m (東西) ×約 24m (オペレーテ

ィングフロア上部高さ)

個数 1個

b. 排風機

種類 遠心式 容量  $30,000 m^3/h$ 

台数 2台

c. プレフィルタ (排気フィルタユニット)

種類 中性能フィルタ

容量 10,000m³/h

台数 4台

d. 高性能粒子フィルタ (排気フィルタユニット)

種類 高性能粒子フィルタ

容量 10,000m³/h

効率 97% (粒径 0.3 μ m) 以上

台数 4台

e. 放射性物質濃度測定器(排気フィルタユニット出入口)

検出器の種類 シンチレーション検出器

計測範囲  $10^{-1} \sim 10^{5} \text{s}^{-1}$ 

台数 排気フィルタユニット入口 1台

排気フィルタユニット出口 2台

f. ダクト

種類 はぜ折りダクト/鋼板ダクト

材質 ガルバリウム鋼板/SS400

## 2.11.3 添付資料

添付資料-1 燃料取扱設備の設計等に関する説明書

添付資料-1-1 燃料の落下防止, 臨界防止に関する説明書※2

添付資料-1-2 放射線モニタリングに関する説明書※2

添付資料-1-3 燃料の健全性確認及び取り扱いに関する説明書※1

添付資料-2 構内用輸送容器の設計等に関する説明書

添付資料-2-1 構内用輸送容器に係る安全機能及び構造強度に関する説明書※2

添付資料-2-2 破損燃料用輸送容器に係る安全機能及び構造強度に関する説明書※1

添付資料-2-3 構内輸送時の措置に関する説明書※2

添付資料-3 燃料取り出し用カバーの設計等に関する説明書

添付資料-3-1 放射性物質の飛散・拡散を防止するための機能に関する説明書※3

添付資料-3-2 がれき撤去等の手順に関する説明書

添付資料-3-3 移送操作中の燃料集合体の落下※3

添付資料-4 構造強度及び耐震性に関する説明書

添付資料-4-1 燃料取扱設備の構造強度及び耐震性に関する説明書※2

添付資料-4-2 燃料取り出し用カバーの構造強度及び耐震性に関する説明書※3

添付資料-4-3 燃料取り出し用カバー換気設備の構造強度及び耐震性に関する説明書※3

添付資料-5 使用済燃料プールからの燃料取り出し工程表※3

添付資料-6 福島第一原子力発電所第1号機原子炉建屋カバーに関する説明書

添付資料-7 福島第一原子力発電所第1号機原子炉建屋カバー解体について

※1,※2(第4号機を除く)及び※3(第3号機及び第4号機を除く)の説明書については、現地工事開始前までに報告を行い、確認を受けることとする。

## 燃料の落下防止、臨界防止に関する説明書

## 1. 4号機燃料取り扱いに関する概要

#### 1.1 概要

燃料取扱設備は、燃料取扱機及びクレーンで構成し、新燃料及び使用済燃料を使用済燃料貯蔵プールから取り出し、燃料取り出し用カバーから搬出するまでの取り扱いを行うものである。

なお,燃料の搬出には構内用輸送容器を使用する。

また、燃料取扱機は燃料集合体を 1 体ずつ取り扱う構造とすることにより、燃料の臨界を防止できる設計とし、燃料集合体の構内用輸送容器への収容操作が使用済燃料の遮へいに必要な水深を確保した状態で、水中で行うことができる設計とする。

さらに、燃料取扱設備は地震荷重等の適切な組み合わせを考慮しても強度上耐え得る 設計とするとともに、燃料取扱機は二重のワイヤロープや種々のインターロック等を設 け、クレーンの主要要素は種々の二重化を行うこと等により、移送操作中の燃料集合体 の落下を防止する設計とする。

また,燃料取扱設備はその機能の健全性を確認するため,定期的に試験及び検査を行う。

燃料取り扱いに使用する燃料取扱機及びクレーンの概要を以下に示す。

#### (1) 4号機 燃料取扱機

燃料取扱機は使用済燃料貯蔵プール,キャスクピット上を走行し,ブリッジ,トロリ,燃料把握機,補助ホイストで構成されている。

トロリには運転台及び 1 体の燃料集合体をつかむ燃料把握機があり、燃料集合体を 使用済燃料貯蔵プール内の適当な位置に移送することができる。

燃料把握機のフックは空気作動式であり、燃料集合体をつかんだ状態で空気源が喪失しても、フックが開とならないようにする機械的機構を有しているため、燃料集合体を確実に保持できる。また、燃料把握機は二重のワイヤロープで保持する構造である。さらに燃料取扱中に過荷重となった場合に上昇を阻止するため、燃料把握機にインターロックを設ける。

本装置は走行,横行,昇降を安全かつ確実に行うため,各装置にインターロックを 設ける。

また、地震時にも転倒することがない構造であり、走行部はレールを抱え込む構造である。

なお,燃料取扱機は崩壊熱により燃料が溶融しないよう,使用済燃料を使用済燃料 貯蔵プール水中で取り扱う設計とする。

## (2) 4号機 クレーン

クレーンは、燃料取り出し用カバー内及びオペレーションフロア上で構内用輸送容 器の移送を行うものである。

本クレーンは、地震時にも落下することがない構造であり、構内用輸送容器の移送 中において駆動源が喪失しても確実に保持できる。

また重量物を移送する主巻フックは二重のワイヤロープで保持する構造である。

フックは玉掛け用ワイヤロープ等が当該フックから外れることを防止するための装置を設ける。

さらに, 重量物を吊った状態で使用済燃料貯蔵ラック上を通過できないようインタ ーロックを設ける。

## 1.2. 4号機 燃料落下防止対策

燃料取り扱いに使用する燃料取扱機及びクレーンは、以下に示す落下防止対策により 燃料集合体を安全かつ確実に取り扱うことができる設計とする。

燃料集合体の落下防止対策を表1に示す。

表 1 燃料集合体の落下防止対策

機器名称	落下防止対策				
	(1) ホイストは電源断時に電磁ブレーキで保持する構造				
	(2) 燃料把握機は空気源喪失時にフックが開かない構造				
燃料取扱機	(3) 燃料把握機の機械的インターロック				
	(4) 燃料把握機の過荷重時に上昇を阻止するインターロック				
	(5) 燃料把握機は二重のワイヤロープで保持する構造				
	(1) 巻上装置は電源断時に電動油圧押上機ブレーキで保持する構造				
クレーン	(2) 主巻フックは二重のワイヤロープで保持する構造				
	(3) フックは外れ止め装置を有する構造				

上記の落下防止対策の概要を次紙以降に示す

## 1.3. 4号機 燃料取扱設備の未臨界性

燃料取扱機は、燃料集合体を 1 体ずつ取り扱う構造とすることにより、未臨界性は確保される。

また, クレーンは未臨界性について評価されている構内用輸送容器に燃料集合体を収納して取り扱う。

機器名称	落下防止対策			
燃料取扱機	(1) ホイストは電源断時に電磁ブレーキで保持する構造			
	(2) 燃料把握機は空気源喪失時にフックが開かない構造			
	(3) 燃料把握機の機械的インターロック			
	(4) 燃料把握機の過荷重時に上昇を阻止するインターロック			
	(5) 燃料把握機は二重のワイヤロープで保持する構造			
クレーン	(1) 巻上装置は電源断時に電動油圧押上機で保持する構造			
	(2) 主巻フックは二重のワイヤロープで保持する構造			
	(3) フックは外れ止め装置を有する構造			

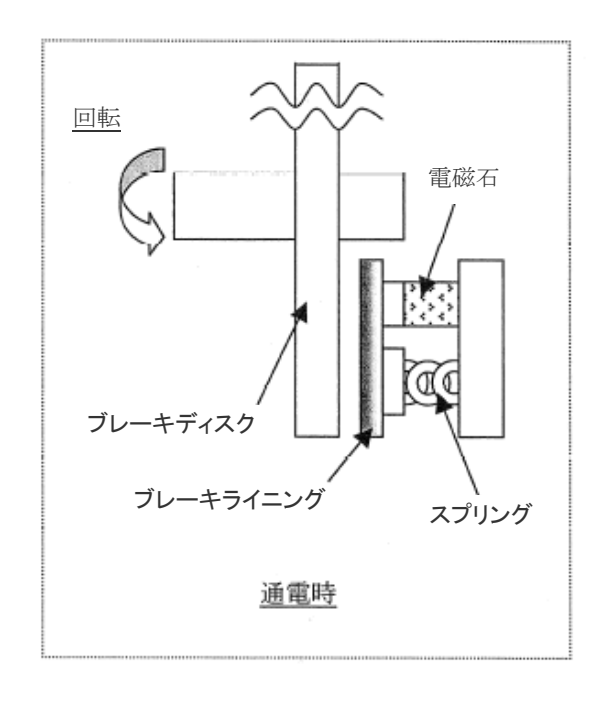
電磁ブレーキは、電源断時にバネによりブレーキがかかり保持できる機構を持っている。

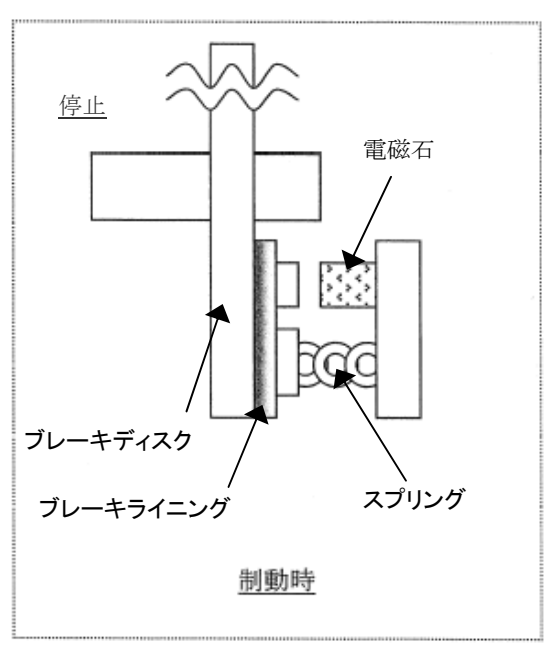
## ○電磁ブレーキ (電磁ディスクブレーキ) の動作原理

電磁ディスクブレーキは、スプリング力によってブレーキライニングをブレーキディ スクに押しつけて電動機の回転を制動している。電動機に通電すると、電磁コイルに電 流が流れ、電磁石がスプリングの力に逆らってブレーキを解放する。

電動機を停止させると、再びスプリング力によってブレーキライニングがブレーキディスクを押しつけて制動する。電磁ディスクブレーキは、ホイストの巻上装置等に使用されている。

以下に通電(回転)時と,制動時の模式図を示す。





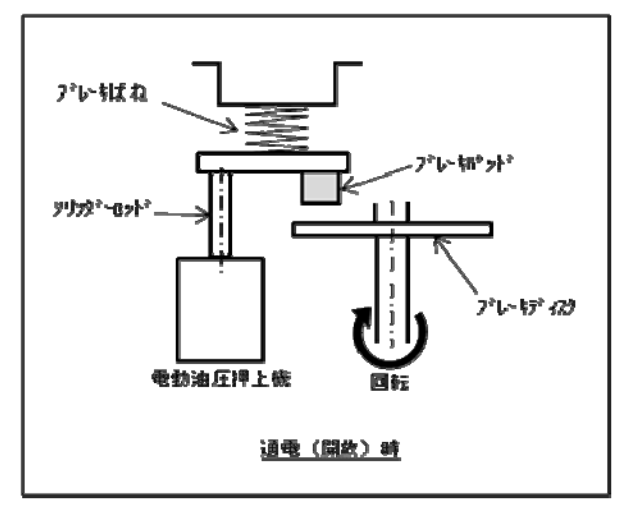
電動油圧押上機ブレーキは、電源断時にブレーキばねによりブレーキがかかり保持できる 機構を持っている。

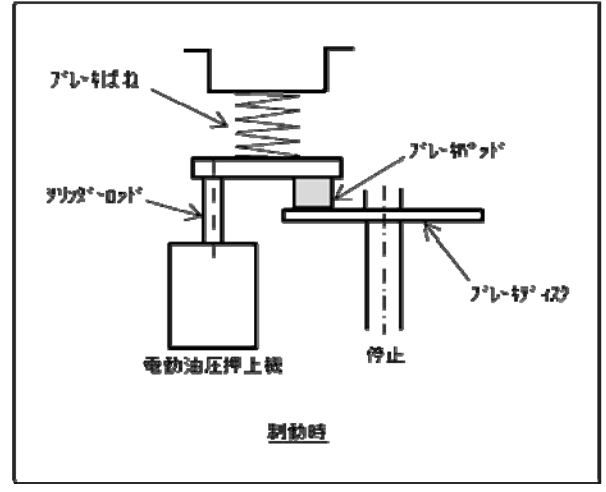
## ○電動油圧押上機ブレーキ (電動油圧押上機ディスクブレーキ) の動作原理

電動油圧押上機ブレーキは、ブレーキばねの力によってブレーキパッドをブレーキディスクに押しつけて電動機の回転を制動している。巻上モータに通電すると、同時に電動油圧押上機にも通電され、内蔵モータにより油圧が発生し、シリンダーロッドを押上げ、ブレーキばねを縮めることによりブレーキを開放する。

巻上モータを停止させると、電動油圧押上機も停止するため、再びブレーキばねの力によってブレーキパッドがブレーキディスクを押しつけて制動する。

以下に通電(開放)時と、制動時の模式図を示す。

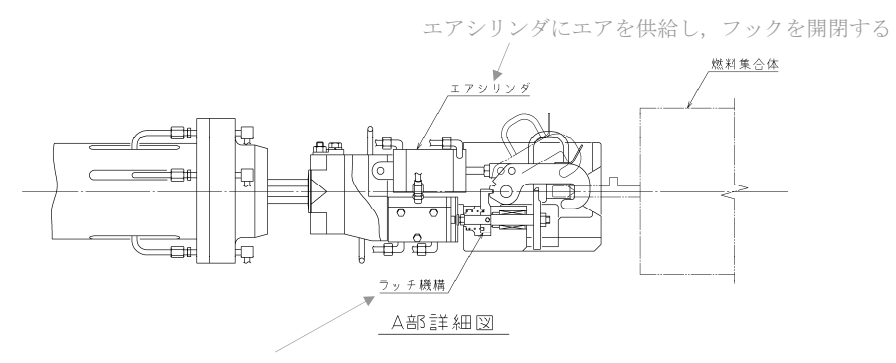




機器名称	落下防止対策		
燃料取扱機	(1) ホイストは電源断時に電磁ブレーキで保持する構造		
	(2) 燃料把握機は空気源喪失時にフックが開かない構造		
	(3) 燃料把握機の機械的インターロック		
	(4) 燃料把握機の過荷重時に上昇を阻止するインターロック		
	(5) 燃料把握機は二重のワイヤロープで保持する構造		
クレーン	(1) 巻上装置は電源断時に電動油圧押上機ブレーキで保持する構造		
	(2) 主巻フックは二重のワイヤロープで保持する構造		
	(3) フックは外れ止め装置を有する構造		

燃料把握機は、フックの駆動に用いる空気源が喪失しても、ラッチ機構によりフックが開かないような設計としている。

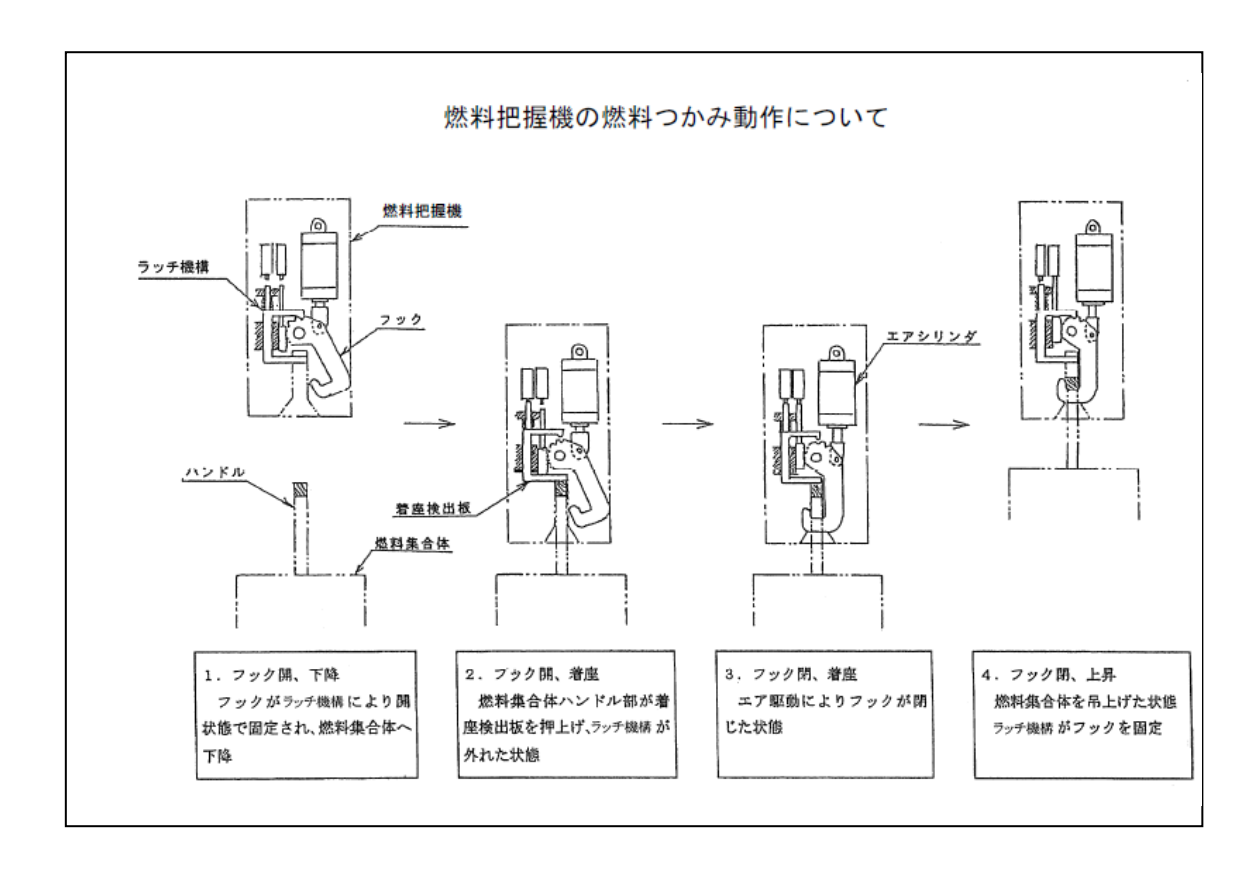




ラッチ機構によりフックを固定する

機器名称	落下防止対策			
燃料取扱機	(1) ホイストは電源断時に電磁ブレーキで保持する構造			
	(2) 燃料把握機は空気源喪失時にフックが開かない構造			
	(3) 燃料把握機の機械的インターロック			
	燃料把握機の過荷重時に上昇を阻止するインターロック			
	(5) 燃料把握機は二重のワイヤロープで保持する構造			
クレーン	巻上装置は電源断時に電動油圧押上機ブレーキで保持する構造			
	(2) 主巻フックは二重のワイヤロープで保持する構造			
	(3) フックは外れ止め装置を有する構造			

燃料集合体を吊った状態においては、燃料把握機はラッチ機構により固定されフックを開くことができない。また、燃料把握時には燃料集合体ハンドル部が着座検出板を押し上げるとラッチ機構が外れる機械的インターロックを備えている。

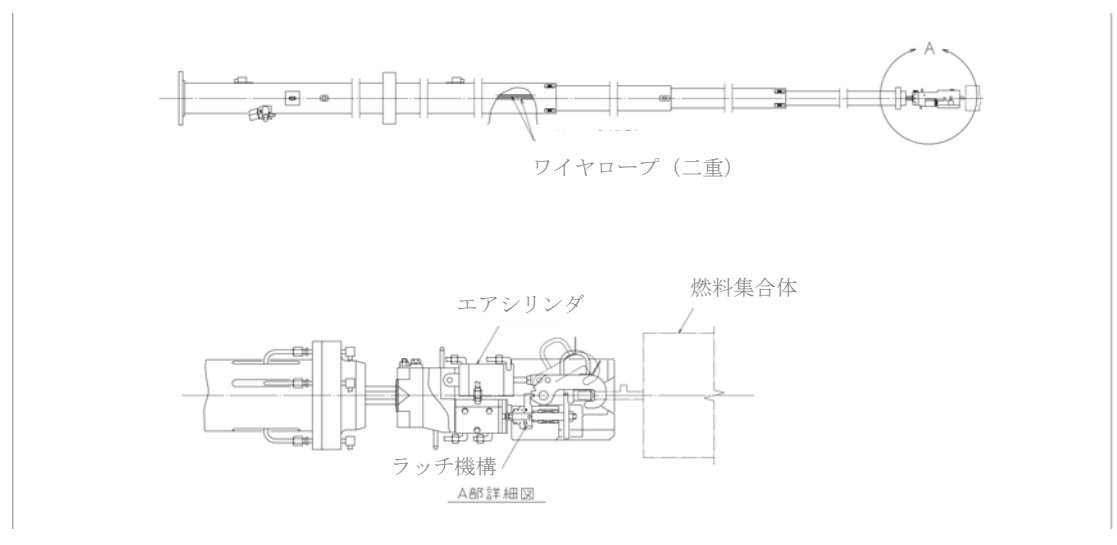


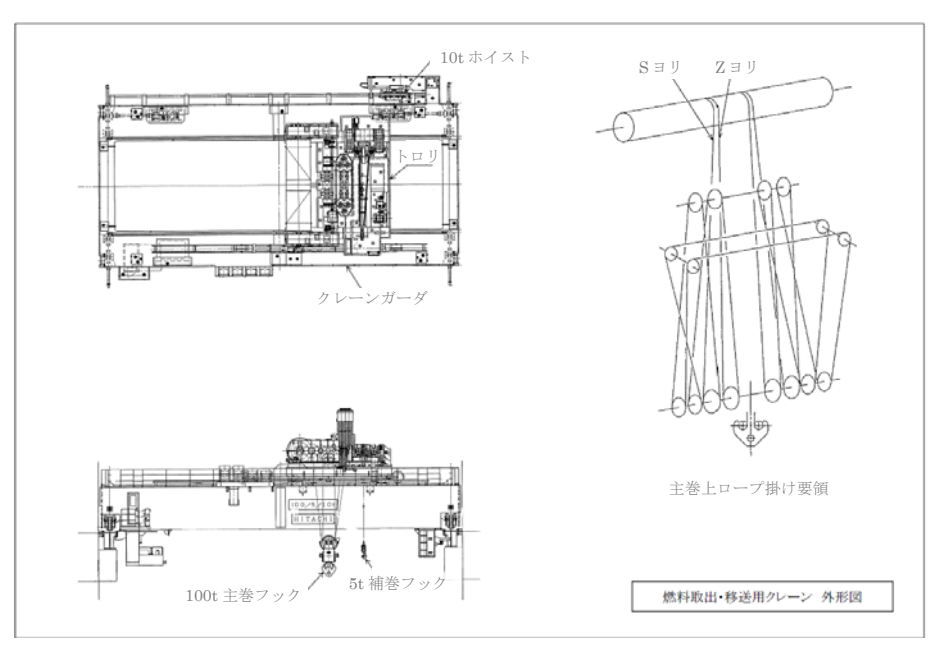
機器名称	落下防止対策		
燃料取扱機	(1) ホイストは電源断時に電磁ブレーキで保持する構造		
	(2) 燃料把握機は空気源喪失時にフックが開かない構造		
	(3) 燃料把握機の機械的インターロック		
	(4) 燃料把握機の過荷重時に上昇を阻止するインターロック		
	(5) 燃料把握機は二重のワイヤロープで保持する構造		
クレーン	(1) 巻上装置は電源断時に電動油圧押上機ブレーキで保持する構造		
	(2) 主巻フックは二重のワイヤロープで保持する構造		
	(3) フックは外れ止め装置を有する構造		

燃料把握機のワイヤロープに必要以上の張力が加わらないように、必要以上の荷重を 検出した場合に、燃料把握機を上昇することができないインターロックを備えている。

機器名称	落下防止対策			
燃料取扱機	(1) ホイストは電源断時に電磁ブレーキで保持する構造			
	(2) 燃料把握機は空気源喪失時にフックが開かない構造			
	(3) 燃料把握機の機械的インターロック			
	(4) 燃料把握機の過荷重時に上昇を阻止するインターロック			
	(5) 燃料把握機は二重のワイヤロープで保持する構造			
クレーン	(1) 巻上装置は電源断時に電動油圧押上機ブレーキで保持する構造			
	(2) 主巻フックは二重のワイヤロープで保持する構造			
	(3) フックは外れ止め装置を有する構造			

燃料把握機及びクレーンの主巻フックは、ワイヤロープを二重化し、万一ワイヤロープが1本切断したとしても落下を防止できる設計としている。

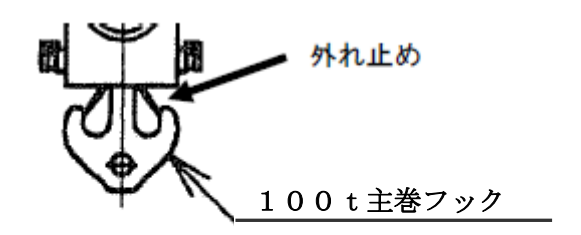




Ⅱ-2-11-添 1-1-9

機器名称	落下防止対策			
燃料取扱機	(1) ホイストは電源断時に電磁ブレーキで保持する構造			
	(2) 燃料把握機は空気源喪失時にフックが開かない構造			
	(3) 燃料把握機の機械的インターロック			
	(4) 燃料把握機の過荷重時に上昇を阻止するインターロック			
	(5) 燃料把握機は二重のワイヤロープで保持する構造			
クレーン	(1) 巻上装置は電源断時に電動油圧押上機ブレーキで保持する構造			
	主巻フックは二重のワイヤロープで保持する構造			
	(3) フックは外れ止め装置を有する構造			

主巻フックは、両釣形フックとし、外れ止めを有する。



# 2. 別添

別添-1 4号機燃料取扱設備の機能に係る確認事項

# 4号機燃料取扱設備の機能に係る確認事項

4号機燃料取扱設備の機能に係る主要な確認事項を表-1及び表-2に示す。

表-1 4号機燃料取扱設備の機能に係る確認事項(燃料取扱機)

確認事項	確認項目		確認内容	判定基準
落下防止	機能確認		単一故障において燃料集合体を落下させないことを確認する。	動力源が喪失した場合においても燃料集合体を保持し続ける構造であること。 動力源断時に電磁ブレーキで保持する構造であること。 空気喪失時にフックが開かない構造であること。 ラッチ機構により固定されフックを開くことができない構造であること。 過荷重時に上昇を阻止すること。 二重のワイヤロープで保持する構造であること。 構造であること。
臨界防止	機能確認		燃料集合体取り扱い時の臨界防 止機能について確認する。	燃料集合体を1体ずつ取り扱う 構造であること。
遮へい	機能確認		燃料集合体取り扱い時の遮へい 機能について確認する。	遮へい水深を確保した状態で取 り扱えること。
性能	機能確認	容量確認	容量及び所定の動作について確認する。	実施計画通りの荷重が吊り上げ 可能なこと。 横行,走行,巻き上げ,巻き下 げが可能なこと。

表-2 4号機燃料取扱設備の機能に係る確認事項 (クレーン)

確認事項	確認項目		確認内容	判定基準
落下防止	機能確認		単一故障において構内用輸送容器を落下させないことを確認する。	動力源が喪失した場合においても構内用輸送容器を保持し続ける構造であること。 動力源断時に電動油圧押上機ブレーキで保持する構造であること。  重量物を吊った状態で使用済燃料貯蔵ラック上を通過させない構造であること。  二重のワイヤロープで保持する構造であること。  フックは外れ防止装置を有する構造であること。
性能	機能確認 容量確認		容量及び所定の動作について確 認する。	実施計画通りの荷重が吊り上げ 可能なこと。 横行,走行,巻き上げ,巻き下 げが可能なこと。

## 放射線モニタリングに関する説明書

## 1. 概要

本説明書は、放射線管理用計測装置の構成並びに計測範囲及び警報動作範囲について説明するものである。

## 2. 4号機放射線モニタリング

## 2.1. 4号機放射線モニタリングの基本方針

燃料取扱時及び燃料取扱時の異常な過渡変化時並びに事故時において,エリア放射線 モニタは使用済燃料貯蔵プールエリアの線量当量率を連続計測する目的で設置する。そ の計測結果を計装監視設備の現場盤に集約し,現場盤のデータはネットワーク回線経由 で免震重要棟内 PC に集約し,集中監視する。

なお、エリア放射線モニタは試験及び検査ができる設計とする。

エリア放射線モニタは,瞬停後に自動的に停電前の状態に復帰可能とするため,制御 装置はモニタ専用の無停電電源装置を設置し,制御回路は電源復帰後に自動で再起動で きる対策を行う。

## (1) 使用済燃料貯蔵プールエリアの線量当量率を計測する装置

本計測装置は、使用済燃料貯蔵プールエリアの線量当量率を計測して、その計測結果を現場盤にて指示及び記録するとともに、免震棟で指示値を確認できるものとする。また、放射線基準設定レベルを超えた時には免震棟及び現場設置箇所にて警報を発信する。

名称	検出器 の種類	計測範囲	警報動作 範囲	取付箇所	個 数
使用済燃料貯蔵 プールエリア 放射線モニタ	半導体検出器	10 <sup>-3</sup> ∼10mSv/h	計測範囲内で可変	4 号機 原子炉建屋 5FL (燃料取り出し用カバーオペフロ階)	2

### (2) 計測範囲の設定に関する考え方

測定下限値はバックグラウンドレベルが測定でき、測定上限値は設定すべき警報動作値を包含する範囲とする。

## (3) 警報動作範囲の設定に関する考え方

警報動作値は、異常を検知する観点からバックグラウンドと有意な差を持たせると 同時に、作業安全を考慮した適切な値とする。

## 2.2. 4号機エリア放射線モニタの構成

使用済燃料貯蔵プールエリアの線量当量率を半導体検出器を用いてパルス信号として 検出する。検出したパルス信号を演算装置にて線量当量率信号へ変換する処理を行った 後,線量当量率を現場盤にて指示及び記録するとともに,免震棟にて指示値を表示する。

また,演算装置にて警報設定値との比較を行い,線量当量率が警報設定値に達した場合には,免震棟内に警報音とともに一括警報及び個別警報表示を行う。

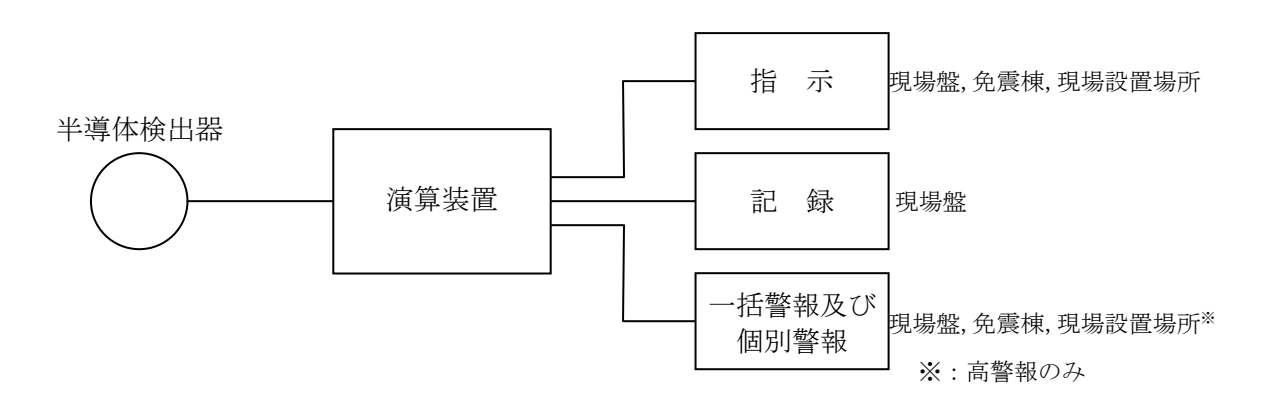


図1 4号機燃料取り出しエリアのエリア放射線モニタ概略構成図

## 2.3. 4号機燃料取り出しエリアのエリア放射線モニタの配置

4 号機使用済燃料キャスクの移動ルート (SFP 近傍/搬出入口近傍) の 2 箇所に設置する (図 2 参照)。

検出器のボトムが床から 1500mm となるよう壁または柱に設置する。

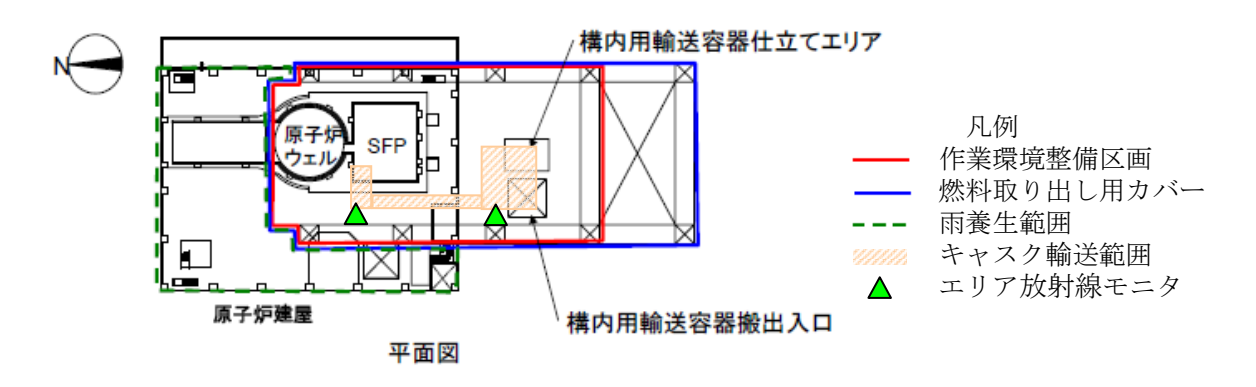


図2 4号機燃料取り出しエリアのエリア放射線モニタ配置図

構内用輸送容器に係る安全機能及び構造強度に関する説明書(4号機)

### 1. 構内用輸送容器の概要

構内用輸送容器は、福島第一原子力発電所第4号機使用済燃料プールに貯蔵されている 使用済燃料及び新燃料(以下「燃料」という。)を共用プールへ構内輸送する際に使用す る。

構内用輸送容器は、福島第一原子力発電所で使用済燃料運搬用容器として設置され、これまで第3号機から第6号機の使用済燃料を共用プールへ構内輸送する際に使用している使用済燃料輸送容器(NFT-22B型)である。

使用済燃料輸送容器 (NFT-22B型) は、使用済燃料を再処理工場へ輸送するために設計された容器であり、容器の安全機能は核燃料輸送物設計承認書により確認されている。

#### 1.1. 構内用輸送容器の構成

構内用輸送容器は、容器本体、蓋、バスケット及びトラニオンにより構成される。なお、 構外輸送においては容器本体の前後に緩衝体を装着するが、構内輸送においては、作業時間を短縮して放射線業務従事者の放射線被ばくを可能な限り低減するために、緩衝体を装着しない運用とする。

構内輸送においては、従来と同様に輸送車両への構内用輸送容器の固縛、輸送車両の徐 行等の措置を講じて、輸送車両からの構内用輸送容器の落下防止を図る。

## 1.2. 設備仕様

## 1.2.1. 構内用輸送容器の仕様

構内用輸送容器の仕様を表1-1に、鳥瞰図を図1-1に示す。

表 1-1 構内用輸送容器の仕様

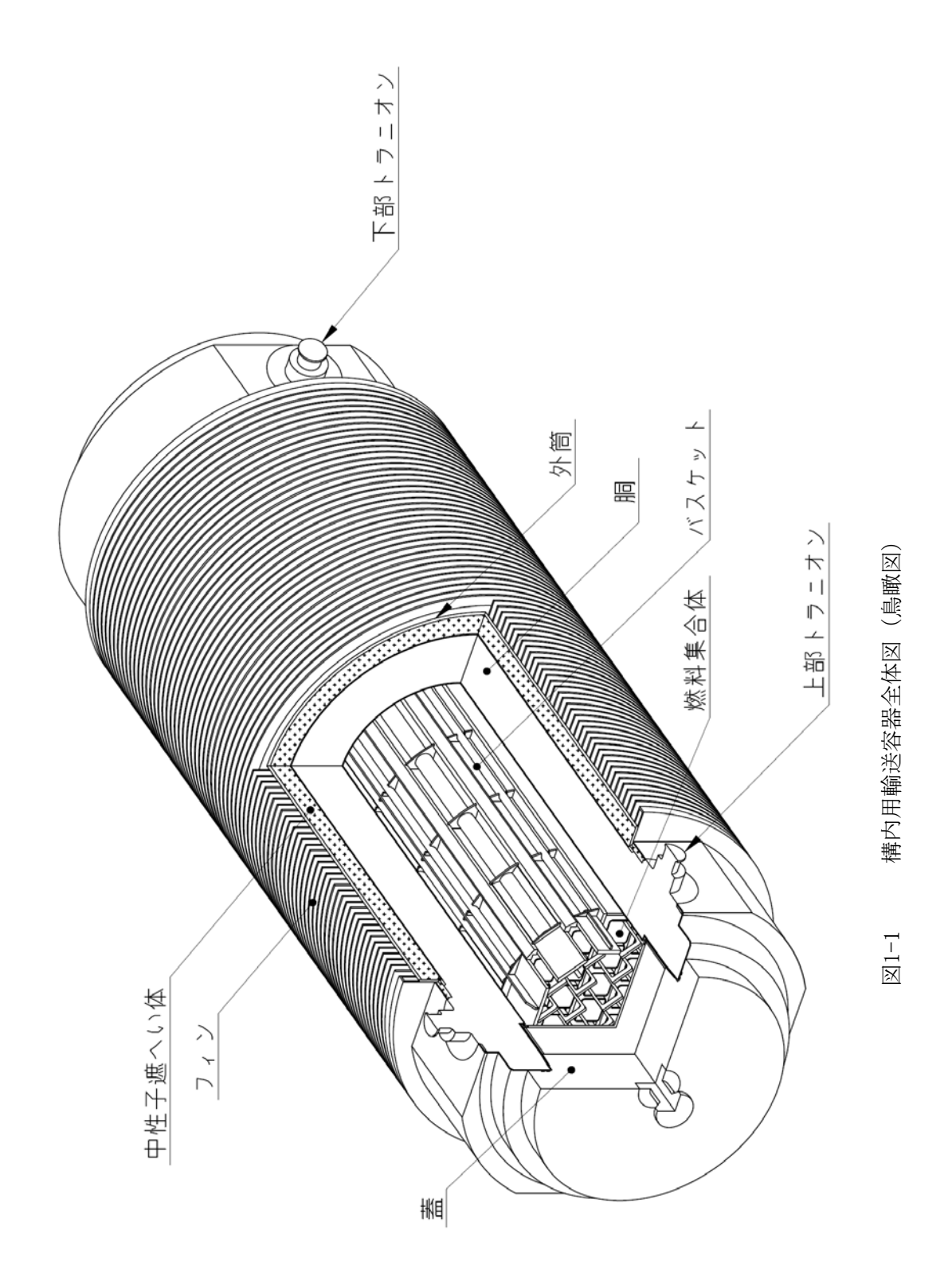
項目	数 値 等
重量 ( t ) (燃料を含む)	約 91
全長 (m)	約 5.5
外径 (m)	約 2.1
収納体数 (体)	22 以下
基数 (基)	2

# 1.2.2. 燃料仕様

構内用輸送容器の収納可能な燃料の仕様を表 1-2 に示す。

表 1-2 構内用輸送容器 1 基に収納可能な燃料の仕様

項目	燃料仕様			
燃料の種類	7×7燃料 (燃焼度 31,500MWd/t 以下) 8×8燃料 (燃焼度 38,000MWd/t 以下) 新型 8×8燃料 (燃焼度 40,000MWd/t 以下) 新型 8×8 ジルコニウムライナ燃料 (燃焼度 40,000MWd/t 以下) 高燃焼度 8×8燃料 (燃焼度 50,000MWd/t 以下) 9×9燃料 (燃焼度 55,000MWd/t 以下)			
収納体数	22 体以下			
崩壊熱量	25kW 以下			
放射能強度	2.04×10 <sup>17</sup> Bq以下			



- 2. 評価の基本方針
- 2.1. 設計方針

## 2.1.1. 基本的安全機能

構内用輸送容器は、これまで同発電所における使用済燃料の構内輸送に使用していた使用済燃料輸送容器 (NFT-22B型) であり、本文 2.11.1.3 項の設計方針に示される除熱、密封、遮へい及び臨界防止の安全機能を有するとともに、本文 2.11.1.8 項の構造強度及び耐震性に示される構造強度を有する設計であることを確認する。

#### 2.1.2. 構内用輸送容器の安全機能について

使用済燃料輸送容器 (NFT-22B型) の安全機能は,以下の書類にて評価されている。既存評価は緩衝体を装着した状態を評価しているが,構内輸送では緩衝体を装着しない運用とすることから,既存評価を引用可能な項目は引用し,新規評価が必要な項目は新規評価を実施することとする。

- ·核燃料輸送物設計変更承認申請書(NFT-22B型) (平成22年10月28日申請,原燃輸送株式会社)
- ・核燃料輸送物設計変更承認申請書の一部補正について (NFT-22B型) (平成24年1月13日申請,原燃輸送株式会社)

なお、構内用輸送容器は同発電所で使用済燃料運搬用容器として設置され、以下の書類において安全機能は評価されている。しかし、4号機使用済燃料プールに貯蔵されている 9×9燃料の輸送については評価していないことから、既存評価として引用しない。

・福島第一原子力発電所 第1号機使用済燃料輸送容器 (第1~第6号機共用)工事計画認可申請書本文及び添付書類(平成19年2月21日申請,東京電力株式会社)

## 2.2. 安全設計·評価方針

表 2-1 に評価すべき各安全機能に関する既存評価内容と構内用輸送容器での安全設計・評価の方針を示す。

なお、4号機の使用済燃料プールに貯蔵されている燃料については、平均燃焼度が既存評価に用いた平均燃焼度を僅かに上回るものがある。表 2-2 に第4号機の使用済燃料プールに貯蔵中の燃料の種類ごとの性状と既存評価に用いられた燃料仕様との比較を示す。これらの燃料は冷却期間が十分に長いため崩壊熱量及び放射能強度が既存評価を超えることはなく、既存評価に包絡されている。

また、構内用輸送容器に収納する燃料の健全性については、「添付資料-1-3 燃料の健全性確認及び取り扱いに関する説明書」で説明する。

# 表2-1 構内用輸送容器安全評価の基本方針

項目	中期安全確保の考え方	評価対象	既存評価 を引用	新評価 実施	評価方針	備考
除熱機能	使用済燃料の健全性及び構成部 材の健全性が維持できるように,	燃料被覆管	0	_	収納する燃料の崩壊熱量が25kW以下となることをもって評価条件が既存評価と同等であると言えるため、既	緩衝体がない状態で は,緩衝体がある状態
	使用済燃料の崩壊熱を適切に除 去できる設計とする。	構内用輸送容器	0	_	存評価を引用して評価を行う。	と比較して各部の温度 は低くなる。
密封機能	周辺公衆及び放射線業務従事者 に対し,放射線被ばく上の影響を 及ぼすことのないよう,使用済燃 料が内包する放射性物質を適切 に閉じ込める設計とする。	構内用輸送容器	0	_	構造強度及び除熱機能の評価結果から,設計事象において,容器の密封部が健全性を維持することを確認する。	構造強度の評価にて密 封部の構造健全性を説 明する。
遮へい機能	内部に燃料を入れた場合に放射 線障害を防止するため,使用済燃 料の放射線を適切に遮へいする 設計とする。	構内用輸送容器	_	0	線源強度は既存評価に包絡されるが,緩衝体を装着しないため,緩衝体がない状態での遮へい評価を実施する。なお,線源強度は安全側に既存評価の値を用いる。	
機能	想定されるいかなる場合にも燃料が臨界に達することを防止できる設計とする。	構内用輸送容器	0	_	収納する燃料の初期濃縮度が4.19wt%以下となることをもって評価条件が既存評価と同等であると言え、既存評価においては容器配列、バスケット内の燃料配置等最も厳しい状態を想定し評価しており、構内輸送での条件と比較して、十分安全側であることから、既存評価を引用して評価を行う。	
構造強度	構内用輸送容器は取扱中における衝撃,熱等に耐え,かつ,容易に破損しない設計とする。 構内用輸送容器は,設計,材料の 選定,製作及び検査について適切 と認められる規格及び基準によ るものとする。	構内用輸送容器	0	_	容器本体,蓋,バスケット及びトラニオンにおける設計事象の荷重条件が既存評価における荷重条件に包絡されることをもって評価条件が既存評価に包絡されることを確認した上で,既存評価を引用して評価を行う。	

表 2-2 貯蔵中の燃料仕様と既存評価の燃料仕様との比較

燃料の種類	項目	4 号機貯蔵中の 燃料の性状	既存評価の 燃料仕様
	最高燃焼度(MWd/t)	50, 600 *1	55,000
	平均燃焼度 (MWd/t)	49, 700 *2	50,000
9×9 燃料	初期濃縮度(wt%)	約 3.8	4. 19
9人9 然代	冷却期間(日)	1, 035 *3	820
	崩壊熱量(kW)	19 *4	24
	放射能強度 (Bq)	1. 63×10 <sup>17</sup> *4	$2.04 \times 10^{17}$
	最高燃焼度(MWd/t)	45, 400 *1	50,000
	平均燃焼度 (MWd/t)	45, 200 *2	44, 000
高燃焼度	初期濃縮度(wt%)	約 3.6	3. 67
8×8 燃料	冷却期間(日)	2, 012 *3	780
	崩壊熱量(kW)	10 *4	22
	放射能強度 (Bq)	9. $40 \times 10^{16}$ *4	$1.92 \times 10^{17}$
	最高燃焼度(MWd/t)	34, 000 *1	40,000
	平均燃焼度 (MWd/t)	32, 300 *2	38, 000
新型 8×8 ジルコニウムライナ	初期濃縮度(wt%)	約 3.0	3. 3
燃料	冷却期間(日)	4, 884 *3	690
	崩壊熱量(kW)	4 *4	22
	放射能強度 (Bq)	$4.70 \times 10^{16}$ *4	$1.98 \times 10^{17}$
	最高燃焼度(MWd/t)	37, 400 *1	38,000
	平均燃焼度(MWd/t)	36, 700 *5	36, 000
8×8 燃料	初期濃縮度(wt%)	約 2.7	2. 9
0八0 8公本	冷却期間(日)	9, 890 *3	1, 440
	崩壊熱量(kW)	4 *6	11
	放射能強度 (Bq)	3.76×10 <sup>16</sup> *6	$1.08 \times 10^{17}$

- \*1 最高燃焼度は4号機使用済燃料プールに貯蔵されている燃料の最高値
- \*2 平均燃焼度は4号機使用済燃料プールに貯蔵されている燃料のうち上位22体の平均値
- \*3 冷却期間は2013年9月30日における4号機使用済燃料プールに貯蔵されている燃料の最短の冷却期間
- \*4 崩壊熱量及び放射能強度は平均燃焼度及び冷却期間から ORIGEN2 コードにより求めた容器 1 基あたり (燃料 22 体あたり) の値
- \*5 8×8 燃料は4体しか貯蔵されていないため、平均燃焼度は4体の平均値
- \*6 8×8 燃料は4体しか貯蔵されていないため、崩壊熱量及び放射能強度は平均値の22倍の値

## 3. 安全評価

## 3.1. 構造強度

#### (1) 基本的な考え方

構内用輸送容器の構造強度については、既存評価の結果を基に、構内用輸送容器の構造 強度が想定すべき事象(設計事象)において設計基準に適合していることを確認する。

評価部位は、安全上重要な部位として容器本体、蓋、バスケット並びに支持機能を有するトラニオンとする。また、設計基準は、構外用輸送容器としての安全評価に用いられている基準を適用する。

#### (2) 設計事象の抽出

JSME S FA1-2007 金属キャスク構造規格の考え方に基づいて, 構内用輸送容器の設計事象として以下を抽出した。

なお、設計事象の抽出にあたっては、図 3.1-1 に示すハンドリングフローに基づき、構内用輸送容器の取扱い及び共用プールまでの輸送において想定される起因事象に着目し、発生防止対策を考慮して事象の発生の可能性を検討した。設計事象の抽出結果を表 3.1-1 に示す。

なお、従来と同様の構内用輸送容器の取扱いが可能となるよう、4号機は燃料取り出 し用カバー及びクレーンを設置し、共用プールは震災前の状態に復旧する計画である。

## 1) 設計事象 I

容器本体及び蓋には、収納する燃料の発熱により内圧及び熱による応力が発生する。 また、取扱い時及び構内輸送時の加速度により収納物及び自重による荷重がかかり、応力が発生する。

バスケットには,取扱い時及び構内輸送時の加速度により収納物及び自重による荷重 がかかり,応力が発生する。

トラニオンには取扱い時の吊上げ等による応力,及び構内輸送時における固縛荷重による応力が発生する。

## 2) 設計事象Ⅱ

容器本体及び蓋には、輸送架台へのトラニオン衝突(取扱いモード No. 2)、構内用輸送容器を積載した輸送架台の搬送台車への衝突(取扱いモード No. 6)、構内用輸送容器の転倒防止台座への衝突(取扱いモード No. 8)及びキャスクピットへの衝突(取扱いモード No. 9)の加速度における収納物及び自重による荷重がかかり、応力が発生する。

バスケットには、輸送架台へのトラニオン衝突(取扱いモード No. 2)、構内用輸送容器を積載した輸送架台の搬送台車への衝突(取扱いモード No. 6)、構内用輸送容器の転倒防止台座への衝突(取扱いモード No. 8)及びキャスクピットへの衝突(取扱いモード No. 9)の加速度における収納物及び自重による荷重がかかり、応力が発生する。

トラニオンには、輸送架台へのトラニオン衝突(取扱いモード No. 2)及び構内用輸送容器を積載した輸送架台の搬送台車への衝突(取扱いモード No. 6)の加速度における荷重がかかり、応力が発生する。

## 3) 設計事象Ⅲ及び設計事象Ⅳ

構内用輸送容器を取扱う設備及び運用においては、クレーンワイヤの二重化、始業前の機器の点検を実施することから、ハンドリングフローから抽出される事象のうち、構内用輸送容器の安全機能を著しく損なう事象であって、一般公衆の放射線被ばくの観点からみて重要と考えられる事象はない。

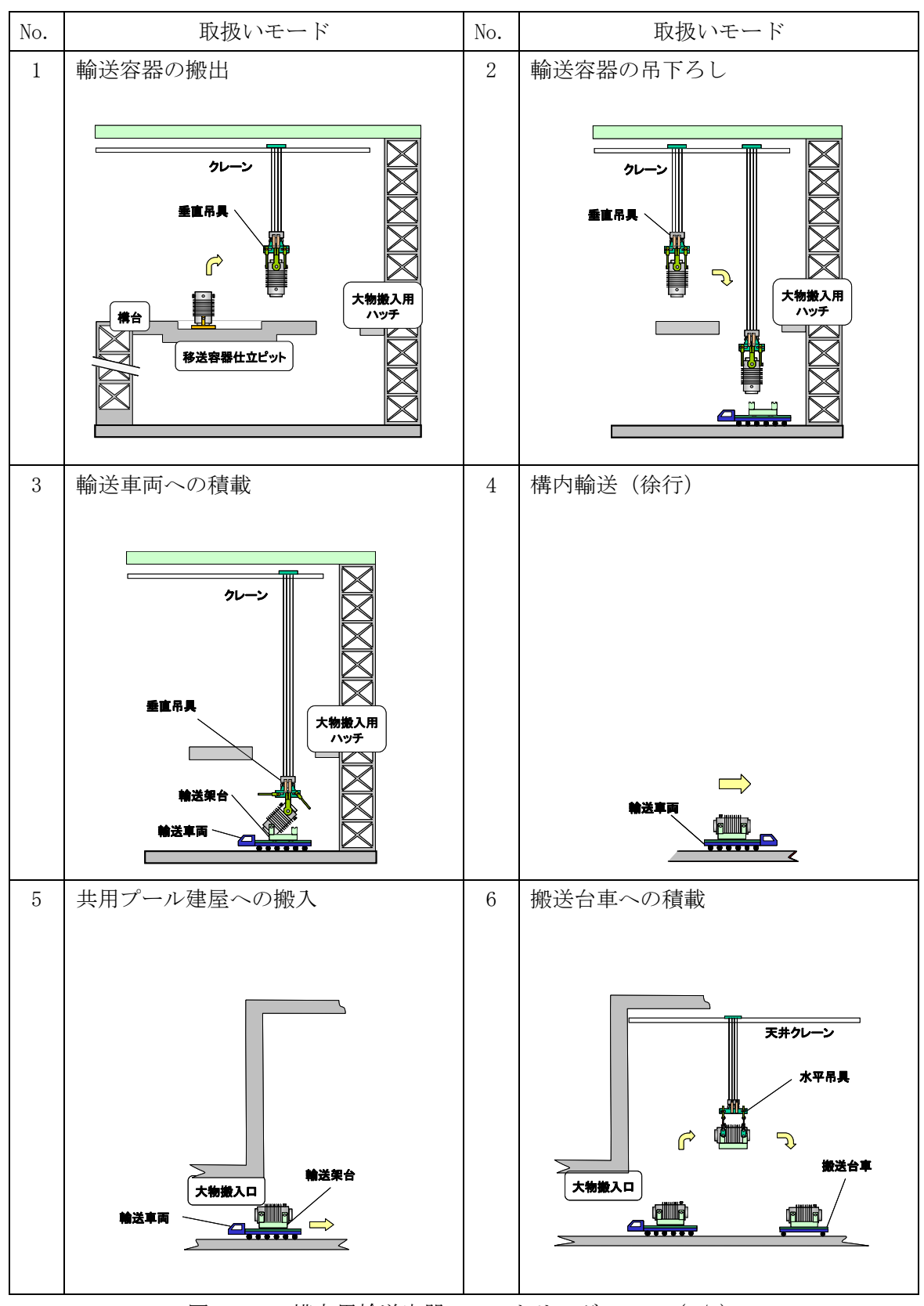


図 3.1-1 構内用輸送容器のハンドリングフロー (1/2)

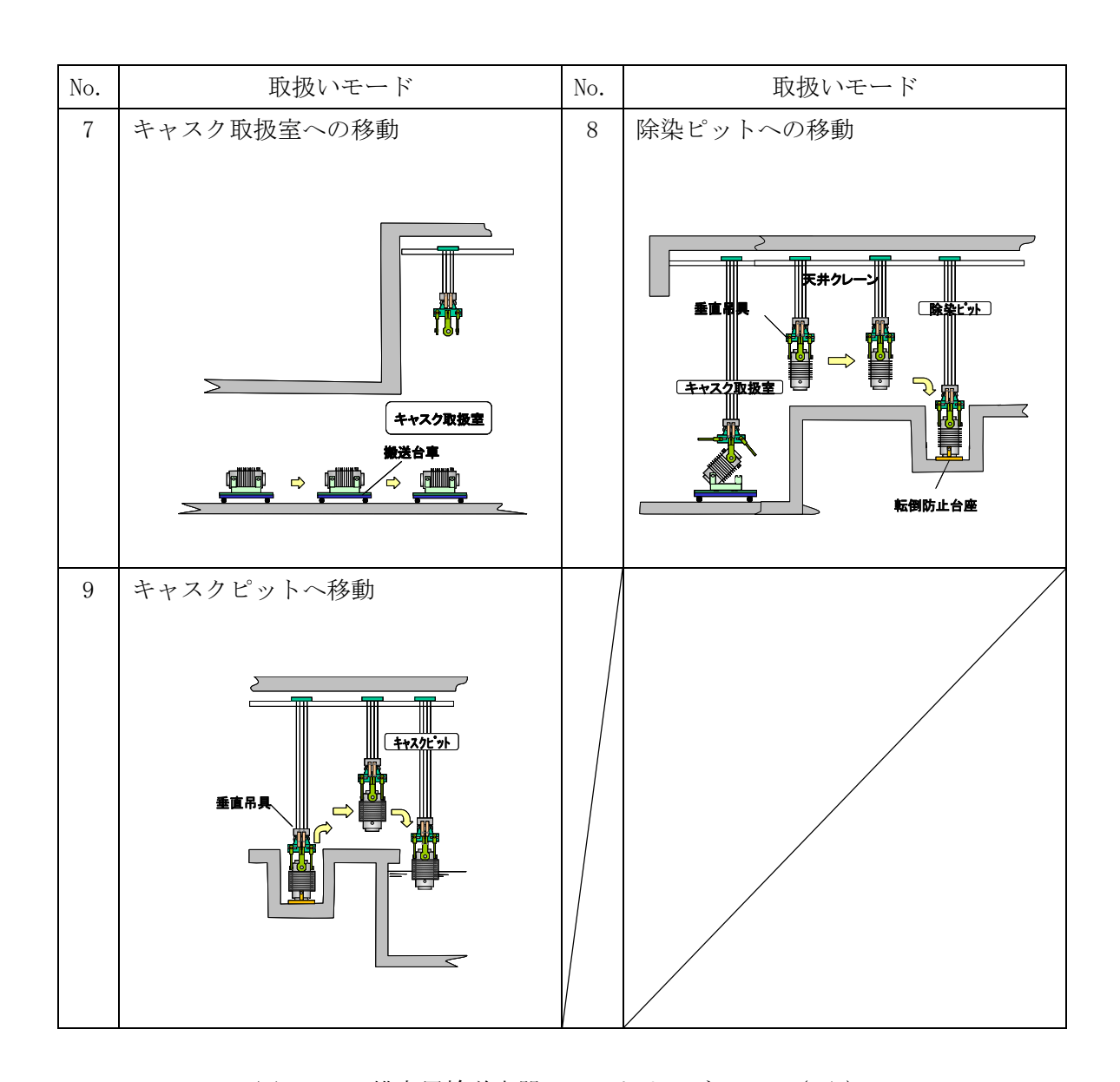


図 3.1-1 構内用輸送容器のハンドリングフロー (2/2)

# 表 3.1-1 設計事象の抽出

(ハンド	起因事象 `リングフローNo.)	原因	発生の可能性	発生の 有無	想定シナリオ	抽出の 要否
	輸送車両取扱い時 の落下 (No. 4)	固定ボルトの 取付け不良	構内用輸送容器は,輸送車両に複数のボルトで固縛されていることを確認する。また,構内用輸送容器は輸送車両で徐行して輸送すること,輸送経路は輸送に関係する人及び車両以外の立入を制限することから,落下しない。	×		×
輸送容器の落っ	搬送台車取扱い時 の落下 (No. 7)	固定ボルトの 取付け不良	構内用輸送容器は、搬送台車に複数のボルトで固縛されていることを確認する。また、搬送台車はレール上を走行し、走行範囲インターロック及び障害物検知装置を有していることから他の構築物等に衝突はしないため、落下しない。	×		×
	クレーン取扱時の 落下	吊具の 取付け不良	吊具の二重化,始業前の吊具点検,取付け後の外れ止めを施すため,構 内用輸送容器は落下しない。	×		×
	(No. 1, 2, 3, 6, 8, 9)	ワイヤーロー プの切断	ワイヤーロープの二重化,始業前のワイヤーロープ点検を行うため,構 内用輸送容器は落下しない。	×		×
	クレーン移動時(走 行,横行)の衝突	ブレーキの 故障	移動前に移動経路に障害物がないことを確認し,構内用輸送容器と移動 経路の芯あわせを行い,走行及び横行それぞれにインバータによる停止 機能に加えてブレーキによる停止機能により二重化しているため,構内 用輸送容器は他の構築物等へ衝突しない。	×		×
	(No. 1, 2, 3, 6, 8, 9)	操作員の 誤操作	クレーンの横行走行範囲に制限機能を設ける。また、移動前に移動経路 に障害物がないことの確認、構内用輸送容器と移動経路の芯あわせを行 うため、構内用輸送容器は他の構築物等へ衝突しない。			×
構内用	クレーン吊下げ時	ブレーキの 故障	巻上げ装置ブレーキを二重化しているため、構内用輸送容器は輸送架台、 転倒防止台座あるいはキャスクピットへ衝突(異常着床)しない。	×		×
輸送容器 の衝突	の衝突(垂直吊り) (異常着床) (No. 2, 8, 9)	操作員の 誤操作	吊下げ時の誤操作により, 構内用輸送容器は巻下げ速度で輸送架台, 転 倒防止台座あるいはキャスクピットに異常着床する可能性がある。	0	クレーンの最大巻下げ速度 0.025m/s で,構内用輸送容器が輸送架台,転倒防 止台座あるいはキャスクピットに異常 着床する場合を,設計事象として抽出。	0
	クレーン吊下げ時	ブレーキの 故障	巻上げ装置ブレーキを二重化しているため、構内用輸送容器は搬送台車 へ衝突(異常着床)しない。	×		×
	の衝突(水平吊り) (異常着床) (No. 6)	操作員の 誤操作	吊下げ時の誤操作により、輸送架台に積載された状態で構内用輸送容器 は巻下げ速度で搬送台車に異常着床する可能性がある。	0	クレーンの最大巻下げ速度 0.025m/s で,輸送架台に積載された状態で構内用 輸送容器が搬送台車に異常着床する場 合を,設計事象として抽出。	0

#### (3) 設計事象の荷重条件

前項で抽出した設計事象について、構内用輸送容器に発生する加速度を導出し、荷重条件が既存評価条件に包絡されることを確認する。

#### 1) 設計事象の加速度の導出

事象発生時に構内用輸送容器が有する運動エネルギーを被衝突物(輸送架台,転倒防止台座,キャスクピット床面)の弾性により吸収するとして,発生する衝撃加速度を計算した。衝撃加速度の計算方法と結果を以下に示す。

①輸送架台への衝突(垂直姿勢:取扱いモード No. 2)

対象部位:容器本体及び蓋,バスケット,トラニオン

垂直姿勢で、構内用輸送容器の下部トラニオンが輸送架台のトラニオン受けにクレーンの巻下げ速度(0.025m/s)で衝突する場合について評価する。

構内用輸送容器の有する運動エネルギーを輸送架台後部支持脚のひずみエネルギーで吸収するとして,(1)式で構内用輸送容器に生じる衝撃加速度を求める。

$$\alpha = 1 + \sqrt{1 + \frac{\mathbf{K} \cdot \mathbf{V}^2}{\mathbf{m} \cdot \mathbf{g}^2}} \tag{1}$$

ただし, α:衝撃加速度 (G)

K:輸送架台後部支持脚の圧縮変形バネ定数 (3.01×10<sup>10</sup>N/m)

V:クレーンの巻下げ速度(0.025m/s)

m:構内用輸送容器の質量 (9.1×10<sup>4</sup>kg)

g:重力加速度(9.8m/s²)

発生する衝撃加速度は 2.78G となり、余裕をみて 3.0G を評価加速度とする。

②構内用輸送容器を載せた輸送架台の搬送台車への衝突(水平姿勢:取扱いモード No.6)

対象部位:容器本体及び蓋、バスケット、トラニオン

構内用輸送容器を載せた輸送架台を搬送台車に積載する際に,輸送架台が搬送台車に共用プールの天井クレーンの巻下げ速度(0.025m/s)で衝突する場合について評価する。

搬送台車を剛体として,構内用輸送容器の有する運動エネルギーを輸送架台支持 脚のひずみエネルギーで吸収するとして,(1)式で構内用輸送容器に生じる衝撃加速度を求める。

ただし、K:輸送架台前後部支持脚の圧縮変形バネ定数 (6.16×10<sup>10</sup>N/m)

V: 共用プールの天井クレーンの巻下げ速度(0.025m/s)

発生する衝撃加速度は3.32Gとなり、余裕をみて4.0Gを評価加速度とする。

③転倒防止台座への衝突(垂直姿勢:取扱いモード No.8)

対象部位:容器本体及び蓋,バスケット

垂直姿勢で構内用輸送容器が転倒防止台座に共用プールの天井クレーンの巻下げ 速度(0.025m/s)で衝突する場合について評価する。

床面を剛体として,構内用輸送容器の有する運動エネルギーを転倒防止台座のひずみエネルギーで吸収するとして,(1)式で構内用輸送容器に生じる衝撃加速度を求める。

ただし、K:転倒防止台座の圧縮変形バネ定数 (8.81×10<sup>11</sup>N/m)

V: 共用プールの天井クレーンの巻下げ速度(0.025m/s)

発生する衝撃加速度は9.00Gとなり、余裕をみて10.0Gを評価加速度とする。

④キャスクピット床面への衝突(垂直姿勢:取扱いモード No. 9)

対象部位:容器本体及び蓋,バスケット

垂直姿勢で構内用輸送容器がキャスクピット床面に共用プールの天井クレーンの 巻下げ速度(0.025m/s)で衝突する場合について評価する。

構内用輸送容器の有する運動エネルギーをキャスクピット床面のひずみエネルギーで吸収するとして,(1)式で構内用輸送容器に生じる衝撃加速度を求める。

ただし、K:キャスクピット床面のバネ定数(5.43×10<sup>10</sup>N/m)

V: 共用プールの天井クレーンの巻下げ速度 (0.025m/s)

発生する衝撃加速度は3.21Gとなり、余裕をみて4.0Gを評価加速度とする。

# 2) 評価結果

構内用輸送容器の設計事象における荷重条件と既存評価の荷重条件の比較を表 3.1-2 ~表 3.1-4 に示す。なお、構内用輸送容器の設計事象及び荷重条件については、抽出された事象のうち最大の荷重が作用する場合について示す。

表 3.1-2~表 3.1-4 に示すとおり、設計事象における「容器本体及び蓋」、「バスケット」及び「トラニオン」に作用する荷重条件は既存評価の荷重条件に包絡されており、評価条件は既存評価に包絡される。

表 3.1-2 荷重条件の比較(容器本体及び蓋)

	構内用輸送額	字器の評価事象 <i>)</i>	既存評価の事象及び荷重条件		
設計 事象	代表事象	包絡される 事象	荷重条件	事象	荷重条件
			容器内圧力:0.9 MPa ボルト初期締付け力 構内輸送時荷重	一般の試験条件 0.3m 頭部 垂直落下	容器内圧力: 0.9MPa ボルト初期締付け力 落下時荷重: 52.4G 熱荷重
	構内輸送時	_	上方向*1:2.0G 下方向*1:3.0G (自重を考慮) 前後方向:2.0G	一般の試験条件 0.3m 底部 垂直落下	容器内圧力: 0.9MPa ボルト初期締付け力 落下時荷重: 55.5G 熱荷重
			左右方向:1.0G	一般の試験条件 0.3m 水平落 下	容器内圧力: 0.9MPa ボルト初期締付け力 落下時荷重: 27.6G 熱荷重
	容器の吊上げ 吊下げ,移動		容器内圧力: 0.9 MPa ボルト初期締付け力 吊上げ荷重 下方向*2: 3.0G (自重を考慮) 熱荷重	一般の試験条件0.3m底部 垂直落下	容器内圧力: 0.9MPa ボルト初期締付け力 落下時荷重: 55.5G 熱荷重
	輸送架台の搬送台車への衝突 (取扱いモード No.6)		容器内圧力: 0.9 MPa ボルト初期締付け力 輸送架台の搬送台車 への衝突時荷重 下方向*1: 4.06 (自重を考慮) 熱荷重	一般の試験条件 0.3m 水平落下	容器内圧力: 0.9MPa ボルト初期締付け力 落下時荷重: 27.6G 熱荷重
П	転倒防止台座 への衝突 (取扱いモー ドNo.8)	突 (取扱いモー ドNo.2)	容器内圧力: 0.9 MPa ボルト初期締付け力 転倒防止台座への 衝突時荷重 下方向*2: 10.0G (自重を考慮)	一般の試験条件 0.3m 底部 垂直落下	容器内圧力: 0.9MPa ボルト初期締付け力 落下時荷重: 55.5G 熱荷重

<sup>\*1</sup> 構内用輸送容器軸と直角な方向

<sup>\*2</sup> 構内用輸送容器軸方向

表 3.1-3 荷重条件の比較 (バスケット)

	構内用輸送	容器の評価事象		既存評価の事象及び荷重条件						
設計 事象	代表事象	包絡される 事象	荷重条件	事象	荷重条件					
I	構内輸送時	_	構内輸送時荷重 上方向*1:2.0G 下方向*1:3.0G (自重を考慮) 前後方向:2.0G 左右方向:1.0G	特別の試験条件 9m頭部垂直落下 特別の試験条件 9m底部垂直落下 特別の試験条件 9m水平落下	落下時荷重: 89.3G 落下時荷重: 95.5G 落下時荷重: 98.8G					
	容器の吊上げ 吊下げ,移動	_	吊上げ荷重 下方向* <sup>2</sup> :3.0G (自重を考慮)	特別の試験条件 9m 底部垂直落下	落下時荷重: 95.5G					
	輸送架台の 搬送台車への 衝突 (取扱いモー ド No. 6)	_	輸送架台の搬送台車 への衝突時荷重 下方向*1:4.0G (自重を考慮)	特別の試験条件 9m 水平落下	落下時荷重: 98.8G					
П	転倒防止台座 への衝突 (取扱いモー ド No. 8)	輸送架台への トラニン (取し、2) ド No. 2) キャの 取り (取り ド No. 9)	転倒防止台座への 衝突時荷重 下方向* <sup>2</sup> :10.0G (自重を考慮)	特別の試験条件 9m 底部垂直落下	落下時荷重: 95.5G					
	構内用輸送容易									

<sup>\*2</sup> 構内用輸送容器軸方向

表 3.1-4 荷重条件の比較 (トラニオン)

	構内用輸	送容器の評価事	既存評価の事象及び荷重条件		
設計 事象	代表事象	包絡される 事象	荷重条件	事象	荷重条件
I	構内輸送時	_	構内輸送時荷重 上方向*1:2.0G 下方向*1:3.0G (自重を考慮) 前後方向:2.0G 左右方向:1.0G	通常の輸送 条件 (固縛装置)	構内輸送時荷重 上方向*1:2.0G 下方向*1:3.0G (自重を考慮) 前後方向:2.0G 左右方向:1.0G
	容器の吊上げ 吊下げ,移動		吊上げ荷重 下方向* <sup>2</sup> :3.0G (自重を考慮)	通常の輸送 条件 (吊上装置)	吊上げ荷重 下方向* <sup>2</sup> :3.0G (自重を考慮)
П	輸送架台への トラニオン衝 突 (取扱いモー ドNo.2)	輸送架台の搬送 台車への衝突 (取扱いモード No.6)* <sup>3</sup>		通常の輸送 条件 (吊上装置)	吊上げ荷重 下方向* <sup>2</sup> :3.0G (自重を考慮)

- \*1 構内用輸送容器軸と直角な方向
- \*2 構內用輸送容器軸方向
- \*3 輸送架台への衝突(取扱いモード No. 2) は垂直姿勢で衝突するためトラニオンの荷重負担本数は2本であるのに対して、輸送架台の搬送台車への衝突(取扱いモード No. 6) では水平姿勢で衝突するためトラニオンの荷重負担本数は4本である。このため、構内用輸送容器への荷重は取扱いモード No. 6 の方が大きいものの、トラニオンあたりに作用する荷重は取扱いモード No. 2 の方が大きくなる。以上から、設計事象としては取扱いモード No. 2 が抽出される。

# (4) 設計基準

既存評価に用いられている設計基準を表 3.1-5 に示す。

表 3.1-5 設計基準

評価条件	評価部位	設計基準	設計基準の
<del>等</del>			考え方
一般の	容器本体 (胴)	・発生応力を分類し、各応力強さが以下	旧通産省告示第
試験条件	容器本体(底板)	の基準値以下であること。	501号による
	蓋	Pm≦Sm	
		PL≦ 1.5 Sm	
		$PL+Pb \le 1.5 Sm$ $PL+Pb+Q \le 3 Sm$	
		PL+Pb+Q≥35m   ここで, Pm:一次一般膜応力強さ	
		PL:一次局部膜応力強さ	
		Pb:一次曲げ応力強さ	
		Q : 二次応力強さ	
		Sm:設計・建設規格付録	
		材料図表 Part 5	
		表1に示される設計	
		応力強さ	
	蓋ボルト	・以下の基準値以下であること。	
		$\sigma$ m $\leq 2$ S m	
		$\sigma  \mathbf{m} + \sigma  \mathbf{b} \leq 3   \mathbf{S}  \mathbf{m}$	
		ここで, σm: 平均引張応力	
		σb: 曲げ応力	
		Sm:設計・建設規格付録	
		材料図表 Part 5 表 2	
		に示される設計応力強さ	
特別の	バスケット	・膜応力強さが降伏応力,(膜+曲げ)	臨界評価上影響
試験条件		応力強さが降伏応力の1.5倍以下であ	のある塑性変形
		ること。	が生じない
通常の	トラニオン	・応力強さが降伏応力以下であること。	旧科技庁 核燃料
輸送条件		ここで、応力強さとは主応力の差の絶	輸送物設計承認
		対値をいう。	申請書記載要綱
			(第2版) による

# (5) 評価条件及び評価方法

既存評価の評価条件及び評価方法の内容を以下に示す。

1) 容器本体 (胴), 容器本体 (底板), 蓋及び蓋ボルト

構内用輸送容器の容器本体及び蓋部の構造強度評価は、想定される圧力荷重、機械的荷重、熱荷重を基に、容器の実形状をモデル化し、構造解析コードABAQUS を用いて容器本体(胴)、容器本体(底板)、蓋及び蓋ボルトの応力評価を行う。

主な構造部材の応力評価箇所を図 3.1-2 に示す。荷重条件は表 3.1-2 に示したとおりである。

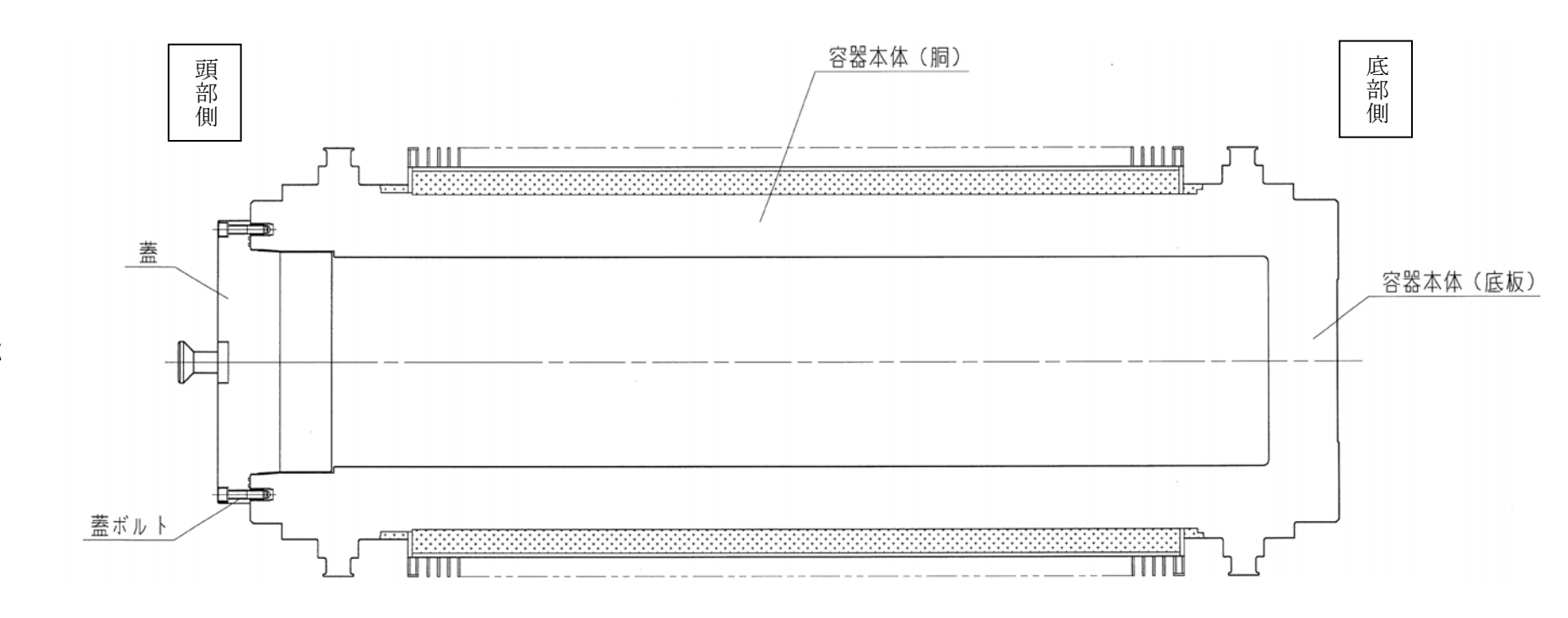


図 3.1-2 容器本体 (胴),容器本体 (底板),蓋及び蓋ボルトの応力評価箇所

# 2) バスケット

バスケットの構造強度評価は、想定される機械的荷重を基に応力評価式を用いて評価する。頭部垂直落下時及び底部垂直落下時には上下部のスペーサに慣性力による圧縮応力が生じる。また、水平落下時に、チャンネルの横板には、慣性力により曲げ応力が生じ、チャンネルの縦板には圧縮応力が生じる。これらの応力評価箇所を図 3.1-3 に示す。荷重条件は表 3.1-3 に示したとおりである。

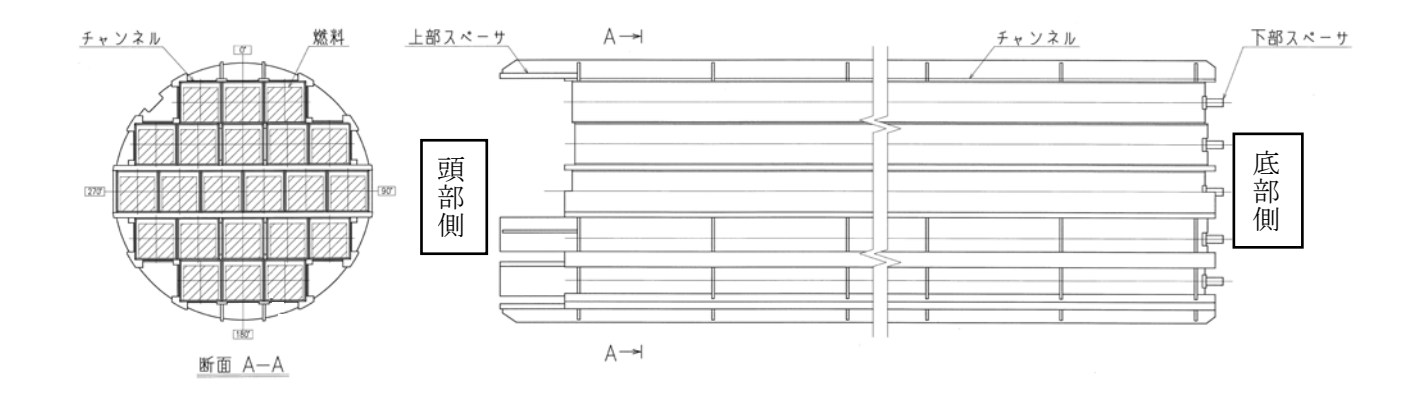


図 3.1-3 バスケットの応力評価箇所

# 3) トラニオン

トラニオンの構造強度評価は、吊上げ時及び固縛時に想定される機械的荷重を基に応力評価式を用いて評価する。吊上げ時及び固縛時のトラニオンへの荷重点を図 3.1-4 に示したとおりである。

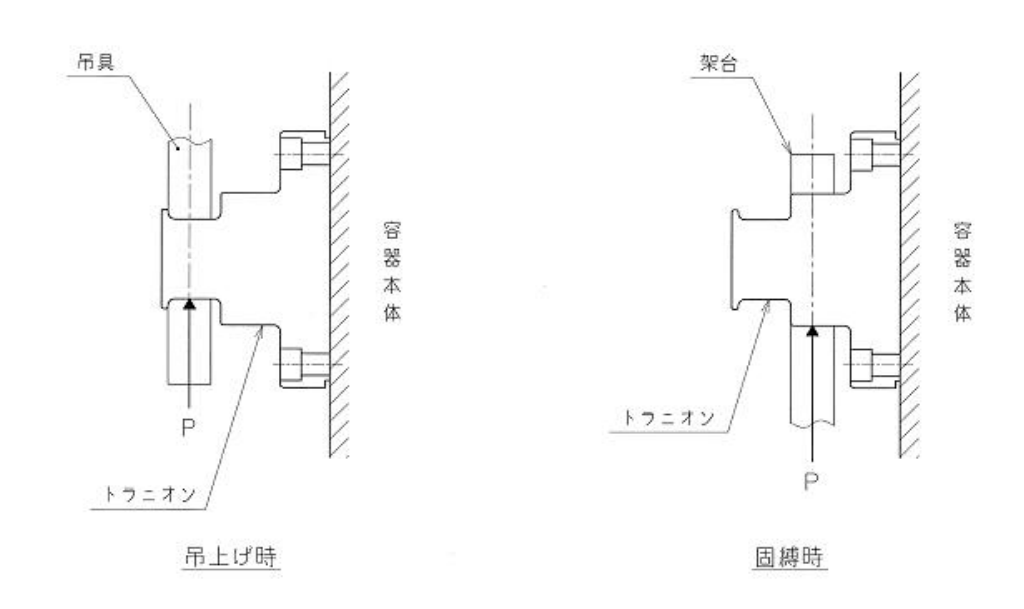


図3.1-4 トラニオンへの荷重点

# (6) 評価結果

評価結果を表3.1-6~表3.1-8に示す。いずれも、解析基準値に対して十分に余裕がある。 このため、構内用輸送容器の構造健全性は維持される。

表3.1-6 容器本体及び蓋の構造強度評価結果

解析基準 解析基準 解析基準 解析						
部位	材料	事象	応力分類			解析結果
				*1	(MPa) *2	(MPa)
		頭部	一次応力(Pm)	Sm	124	15. 7
		垂直落下	一次応力(PL)	1.5 Sm	185	25. 9
			(一次+二次)応力	3 Sm	371	66.6
容器本体		<b>序切</b>	一次応力(Pm)	Sm	124	16.9
(胴)	炭素鋼	底部 垂直落下	一次応力(PL)	1.5 Sm	185	35.8
(利円)		<u> </u>	(一次+二次)応力	3 Sm	371	39. 3
			一次応力(Pm)	Sm	124	31. 1
		水平落下	一次応力(PL)	1.5 Sm	185	89.5
			(一次+二次)応力	3 Sm	371	133
	炭素鋼	頭部	一次応力(PL+Pb)	1.5 Sm	187	2.90
		垂直落下	(一次+二次)応力	3 Sm	373	11.8
容器本体		底部 垂直落下 水平落下	一次応力(PL+Pb)	1.5 Sm	187	39. 2
(底板)			(一次+二次)応力	3 Sm	373	43.6
			一次応力(PL+Pb)	1.5 Sm	187	25.6
			(一次+二次)応力	3 Sm	373	66. 0
		頭部 垂直落下	一次応力(PL+Pb)	1.5 Sm	206	67. 4
			(一次+二次)応力	3 Sm	411	105
-1-1-0	ステンレ	底部	一次応力(PL+Pb)	1.5 Sm	206	2. 56
蓋	ス鋼	垂直落下	(一次+二次)応力	3 Sm	411	16.0
		1.24.7	一次応力(PL+Pb)	1.5 Sm	206	21. 4
		水平落下	(一次+二次)応力	3 Sm	411	89.8
		頭部	平均引張応力	2 Sm	562	74. 3
	ニッケ	垂直落下	平均引張応力+曲げ応力	3 Sm	844	126
	ルクロ ムモリ ブデン	底部	平均引張応力	2 Sm	562	127
蓋ボルト		垂直落下	平均引張応力+曲げ応力	3 Sm	844	214
	ック / · · · · · · · · · · · · · · · · · ·		平均引張応力	2 Sm	562	135
	~1.1	水平落下	平均引張応力+曲げ応力	3 Sm	844	357

<sup>\*1</sup> 旧通産省告示第501号による

<sup>\*2</sup> 設計・建設規格より引用

表 3.1-7 バスケットの構造強度評価結果

部位	材料	事象    応力分類		解析基準	解析基準値	解析結果
由的小下	12) 14	尹豕	/い/J/J/ <del>X</del> 貝	*1	(MPa)	(MPa)
バスケット 上部スペーサ	ステンレ ス鋼	頭部 垂直落下	膜応力	Sy	158 *2	127
バスケット 下部スペーサ	ステンレ ス鋼	底部 垂直落下	膜応力	Sy	158 *2	109
バスケット チャンネル	ボロン入 りステン レス鋼	水平落下	(膜+曲げ)応力	1. 5 σ у	356 *3	290
			膜応力	σу	237 *3	59. 9

- \*1 臨界評価上影響のある塑性変形が生じない
- \*2 設計・建設規格より引用
- \*3 既存評価の材料試験データ

表 3.1-8 トラニオンの構造強度評価結果

部位	材料	事象	応力分類	解析基準	解析基準値 (MPa) *2	解析結果 (MPa)
	析出硬化型ス	吊上げ	 	Sy	650	444
トラニオン	テンレス鋼	ンレ	(膜+曲げ)応力	Sy	650	175

- \*1 旧科技庁 核燃料輸送物設計承認申請書記載要綱 (第2版) による
- \*2 設計・建設規格より引用

#### 構造強度計算に用いるコード (ABAQUS) について

## (1) 概要

ABAQUS コードは米国 Hibbitt, Karlsson&Sorensen, Ins. (HKS 社)で開発された有限要素 法に基づく応力・座屈解析等の汎用解析コードであり、輸送容器の応力解析等に広く利用 されている。

## (2)機能

ABAQUS コードは、応力解析に際して以下の機能を有している。

- ① 定常、非定常の弾性、弾塑性のいずれの解も得ることができる。
- ② 材料特性として時間依存,歪の履歴依存並びに等方性・異方性等を考慮することができる。
- ③ モデルの形状は一次元~三次元、又は連続体についても取り扱うことができる。
- ④ 伝熱解析結果をそのまま境界条件として熱応力解析に用いることが可能である。
- ⑤ 荷重条件として集中荷重,分布荷重,モーメント,加速度力(慣性力),圧力,遠心力及びコリオリ力等が取り扱える。また,これらの条件の時間依存,線形変化に対しても対応可能である。

#### (3)解析フロー

ABAQUS コードの解析フローを図 3.1-5 に示す。

## (4) 使用実績

ABAQUS コードは、これまで多くの応力解析に対し使用実績がある。

#### (5) 検証方法

理論値との比較による検証が実施されていることを確認している。

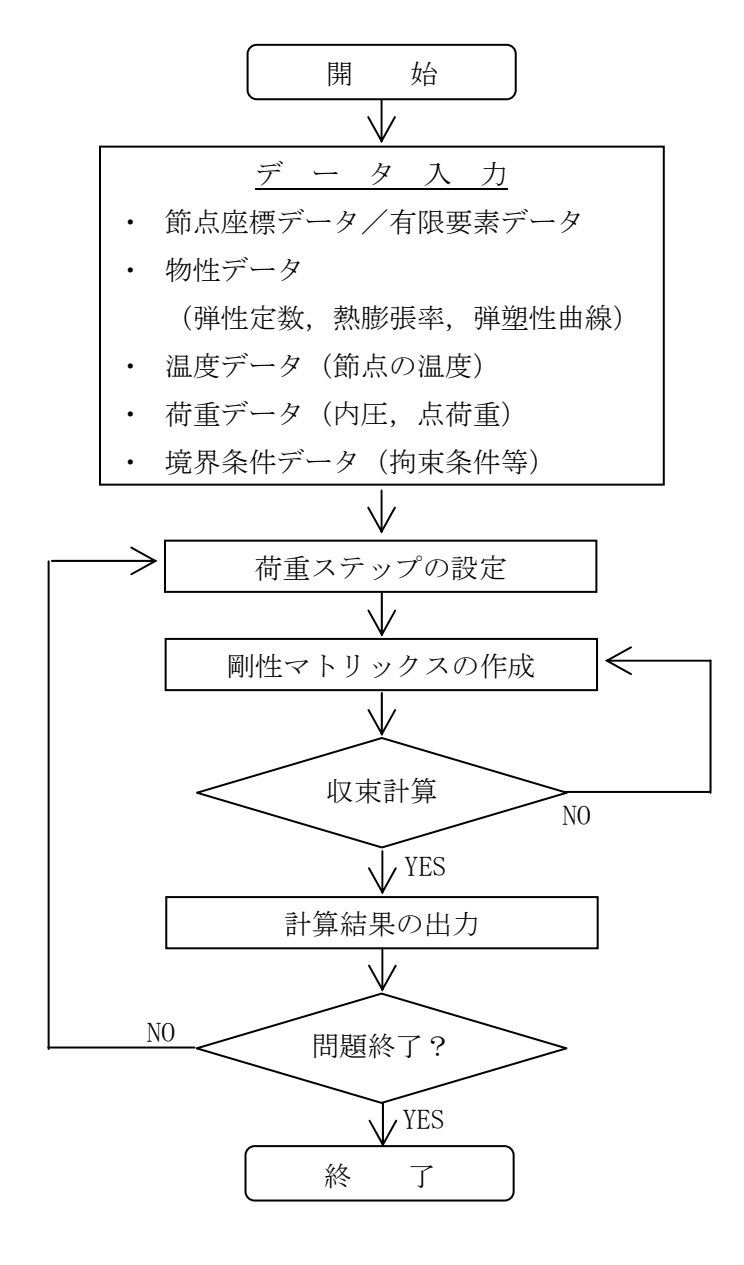


図 3.1-5 ABAQUS コードの応力解析フロー図

#### 3.2. 除熱機能

#### (1) 基本的な考え方

除熱設計にあたっては、燃料の健全性及び構内用輸送容器の安全機能を有する構成部材の健全性が維持できるよう、以下のとおり設計する。

- a. 収納された使用済燃料より発生する崩壊熱は、胴内に充填した水及び空気の自然対流及び伝導により容器本体胴に伝える。
- b. 容器本体胴に伝えられた熱は主として中性子遮へい部のレジン中に設けた伝熱フィンにより外筒に伝える。
- c. 外筒に伝えられた熱は外筒及び外筒に設置したフィンにより大気に放散する。

除熱機能の評価においては、収納する使用済燃料の最大崩壊熱量を考慮し、環境条件には構外用輸送容器としての安全評価に用いられている条件を用い、自然冷却により冷却されるものとして各部の温度を求め、各部材料の制限温度を超えないことを評価する。

構内輸送では緩衝体を装着しない運用とするが、除熱設計において緩衝体は断熱の効果を有していることから、緩衝体を装着しない運用は除熱性能が向上し、容器本体の温度は既存評価における各部温度に比べて低くなる。また、表 2-2 に示したように、構内用輸送容器に収納する燃料仕様は既存評価に用いている燃料仕様に包絡されており、既存評価に比べて使用済燃料の崩壊熱量は十分低いものとなっている。このため、評価結果は既存評価書の内容を引用する。

# (2) 設計基準

設計基準を表 3.2-1 に示す。

表 3.2-1 設計基準

対象部位	材質	設計基準	設計基準 温度 (℃)	備考
	レジン	使用可能温度	149	中性子遮へい材
	ふっ素ゴム	使用可能温度	300	Oリング
構内用輸送容器	炭素鋼	構造強度が確保される制限 温度	375	月同
	ステンレス鋼	構造強度が確保される制限 温度	425	蓋
	ボロン入り ステンレス鋼	構造強度が確保される制限 温度	200	バスケット
燃料 被覆管	ジルカロイー2	照射硬化回復現象により燃 料被覆管の機械的特性が著	200	8×8 燃料
		しく低下しない温度及び水 素化物の再配向による被覆 管の機械的特性の低下が生 じない温度以下となる温度 *1, *2	300	新型 8×8 ジ ハコニウムライナ燃料, 高燃焼度 8×8 燃料, 9×9 燃料

<sup>\*1</sup> 平成 18 年度リサイクル燃料資源貯蔵技術調査等(貯蔵燃料長期健全性等確証試験に関する試験最終報告書)(06 基炉報-0006, 独立行政法人原子力安全基盤機構)

<sup>\*2</sup> 平成 19 年度リサイクル燃料資源貯蔵技術調査等(貯蔵燃料健全性等調査に関する試験成果報告書)(07 基炉報-0004, 独立行政法人原子力安全基盤機構)

# (3) 燃料仕様

既存評価では最大崩壊熱量(25kW)で評価を実施しており、本構内輸送で収納を予定している燃料の崩壊熱量(最大19kW)を包絡している。

## (4) 評価条件

既存評価の内容を以下に示す。

構内用輸送容器の除熱評価は以下の2種類の解析モデルを用いて行う。

- a. 半径方向輪切り軸方向フィン半ピッチモデル (以下「輪切り半ピッチモデル」という。)
- b. 軸方向二次元軸対称全体モデル (以下「全体モデル」という。)

輪切り半ピッチモデル形状図を図 3.2-1 に、全体モデル形状図を図 3.2-2 に示す。 また、評価条件を表 3.2-2 に示す。

表 3.2-2 評価条件

	項目	評価条件
収納体数	(体)	22
崩壊熱量	(kW)	25
周囲温度	$(^{\circ}\!\mathbb{C})$	38
太陽熱放射	垂直に輸送される表面及び水平 に輸送されない下向きの表面	200
(W/m <sup>2</sup> )	その他の表面(曲面)	400

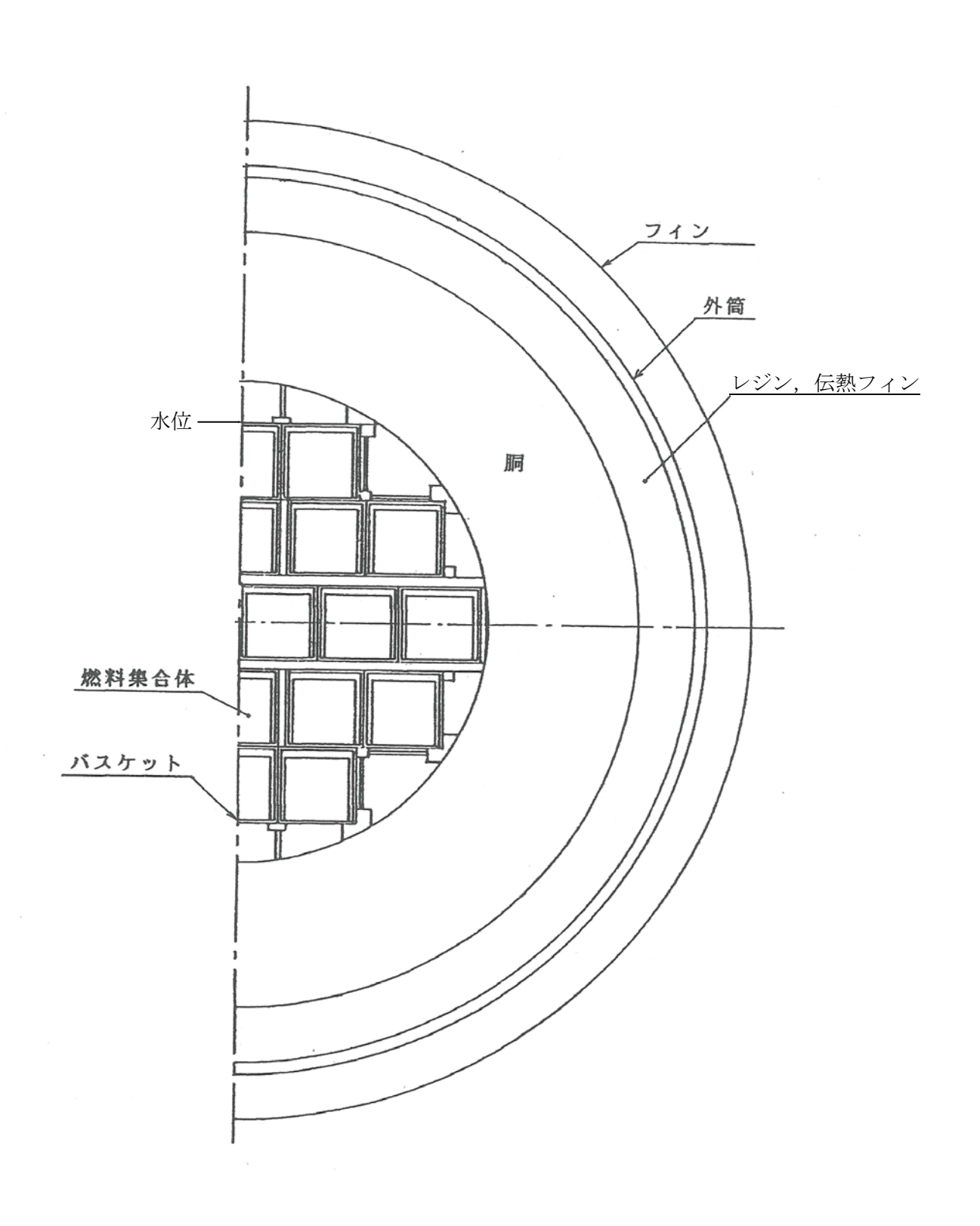
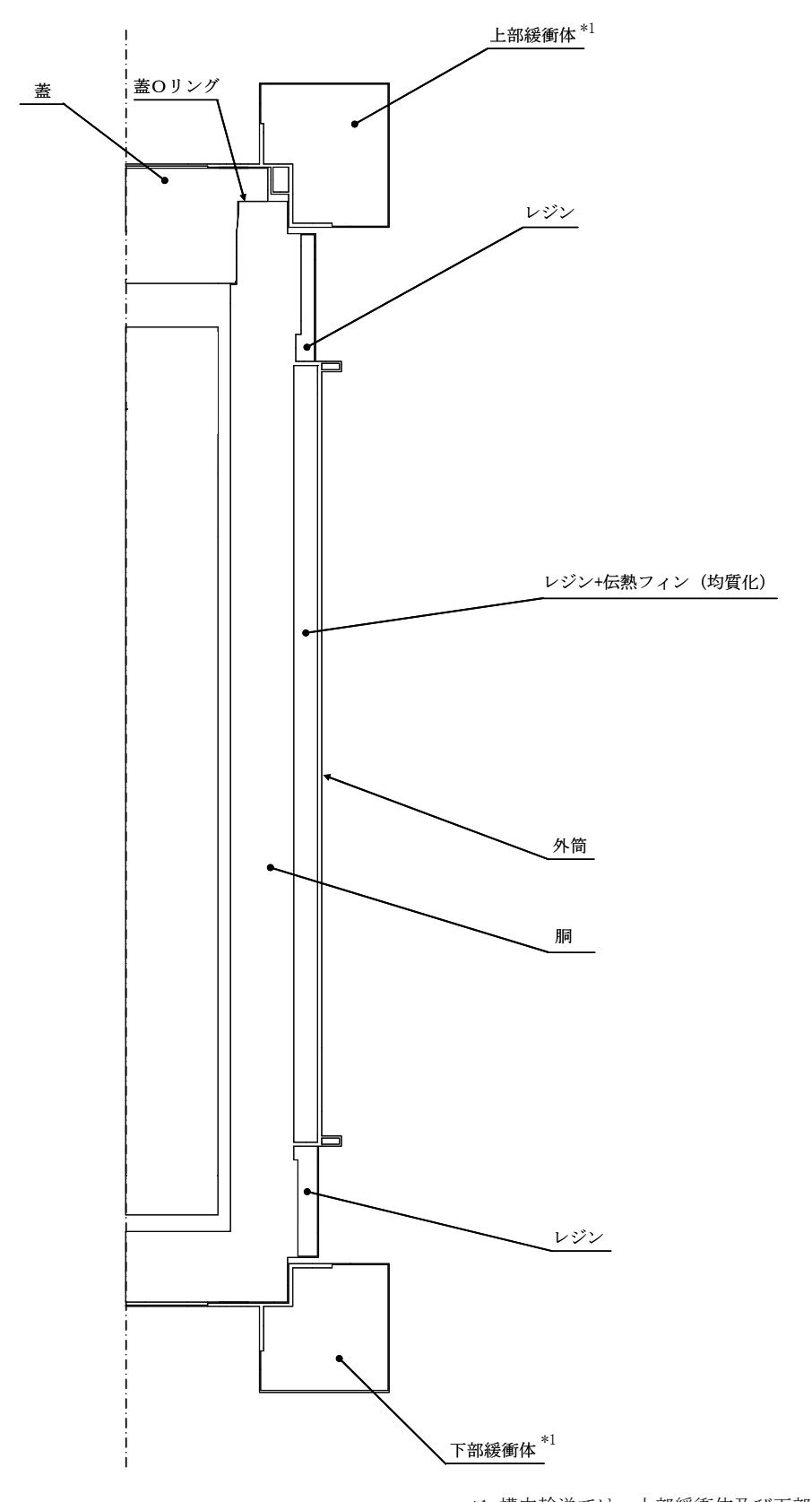


図 3.2-1 輪切り半ピッチモデル形状図



\*1 構内輸送では、上部緩衝体及び下部緩衝 図 3.2-2 全体モデル形状図 <sup>体は装着しない。</sup>

#### (5) 評価方法

軸方向を断熱とした輪切り半ピッチモデルで構内用輸送容器中央部断面の各部温度を評価する。輪切り半ピッチモデルで評価できない部位については、軸方向の温度分布が求められる全体モデルで評価する。

解析には ABAQUS コードを用いる。

## (6) 評価結果

評価結果を表 3.2-3 に示す。本表に示すとおり、構内用輸送容器を構成する部材はいずれも設計基準温度を下回っており、熱的健全性は維持される。

また,燃料被覆管の温度は 134℃であり、水素化物の再配向による機械特性の低下が生じる温度を大きく下回っており、燃料の健全性は維持される。

評価結果 設計基準 対象部位 材質 備考  $(\mathcal{C})$ 温度(℃) レジン 112 149 中性子遮へい材 Oリング ふっ素ゴム 115 300 構内用 炭素鋼 127 375 胴 輸送容器 119 ステンレス鋼 425 蓋 ボロン入りステンレス鋼 132 バスケット 200 200 8×8 燃料 燃料 ジルカロイー2 134 被覆管 新型 8×8 ジルコニウムライナ燃料, 高燃焼度 8×8 燃料, 300 9×9 燃料

表 3.2-3 評価結果(各部温度)

#### 除熱解析に用いるコード (ABAQUS) について

## (1) 概要

ABAQUS コードは、米国 Hibbitt, Karlsson & Sorensen, Inc. (HKS 社) で開発された 有限要素法に基づく伝熱解析等の汎用解析コードであり、輸送容器の伝熱解析などに広く利用されている。

## (2) 機能

ABAQUS コードは、伝熱解析に際して以下の機能を有している。

- ① 定常、非定常のいずれの解も得ることができる。
- ② 一次元~三次元の任意形状の構造に対して解くことが可能である。
- ③ 初期条件(温度)は要素ごとに変化させることができ、計算ステップの自動決定も可能である。
- ④ 境界条件として、時間に依存する熱流束、温度、伝導、対流及び放射が考慮できる。
- ⑤ 構成物質の相変態が考慮できる。

#### (3) 解析フロー

ABAQUS コードの解析フローを図 3.2-3 に示す。

#### (4) 使用実績

ABAQUS コードは、多くの伝熱解析に使用された実績がある。

## (5) 検証方法

貯蔵容器の定常伝熱試験に対して ABAQUS コードによる解析結果と試験結果を比較・検討し、本コードの妥当性が検証されている\*1。

\*1 山川秀次, 五味義雄, 尾崎幸男, 尾崎明朗「使用済燃料キャスク貯蔵技術の確立―キャスクの伝熱特性評価―」, 電中研報告書, U92038, (1993)



# <u>デ ー タ 入 力</u>

- ・ 節点座標データ/有限要素データ
- ・ 物性データ (熱伝導率, 比熱, 密度)
- ・ 内部境界データ (熱伝導率, 放射係数)
- ・ 外部境界データ (熱伝達率, 放射係数)
- ・ 内部発熱データ

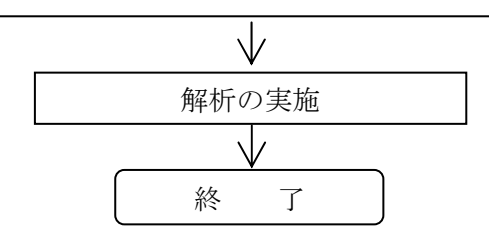


図 3.2-3 ABAQUS コードの伝熱解析フロー図

#### 除熱解析に用いるコード (ORIGEN2) について

## (1) 概要

ORIGEN2 コードは、米国オークリッジ国立研究所(ORNL)で開発された炉内中性子束の1点近似による燃焼計算コードである。ORIGEN2 コードは汎用解析コードであり、輸送容器の崩壊熱計算等に広く利用されている。

## (2) 機能

ORIGEN2 コードは、燃焼解析に際して以下の機能を有している。

- ① 燃料の炉内での燃焼計算,炉取出し後の減衰計算により,冷却期間に対応した崩壊熱,放射線の強度,各核種の放射能量等が求められる。
- ② 原子炉の炉型と燃料の組合せに対し、中性子エネルギースペクトルの違いにより 重みをつけた断面積ライブラリが内蔵されており、任意に選択できる。
- ③ 計算結果は、放射化生成物、アクチニド、核分裂生成物に分類して出力される。
- ④ 燃焼計算に必要な放射性核種データ(崩壊熱、ガンマ線のエネルギー分布、自発核分裂と( $\alpha$ , n)反応により発生する中性子源強度等)に関しては、ORIGEN2 コード専用のライブラリがあり、これを用いる。

## (3) 計算フロー

ORIGEN2 コードの計算フローを図 3.2-4 に示す。

## (4) 使用実績

ORIGEN2 コードは、輸送容器、核燃料施設の崩壊熱計算に広く使用されている\*1。

#### (5) 検証方法

汎用コードの導入評価\*<sup>1</sup> が実施されていることが確認されている。 大型実験/ベンチマーク試験による検証\*<sup>2</sup> が実施されていることが確認されている。

\*1 ORNL, "ORIGEN2 Isotope Generation and Depletion Code MATRIX EXPONENTIAL METHOD", CCC-371 \*2 (社)日本原子力学会"原子炉崩壊熱とその推奨値", 1989 年 8 月

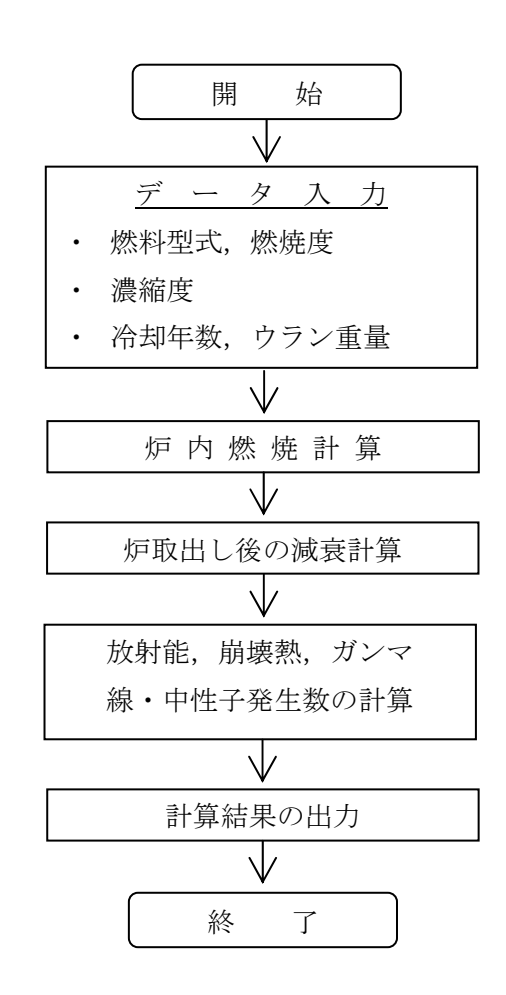


図 3.2-4 ORIGEN2 コードの計算フロー図

## 3.3. 密封機能

## (1) 基本的な考え方

構内用輸送容器の密封装置は容器本体及び蓋より構成される密封容器とこれに付属するバルブから構成される。容器本体と蓋の間,及びバルブのガスケットにはOリングが使用されている。構内用輸送容器の密封境界を図3.3-1に示す。

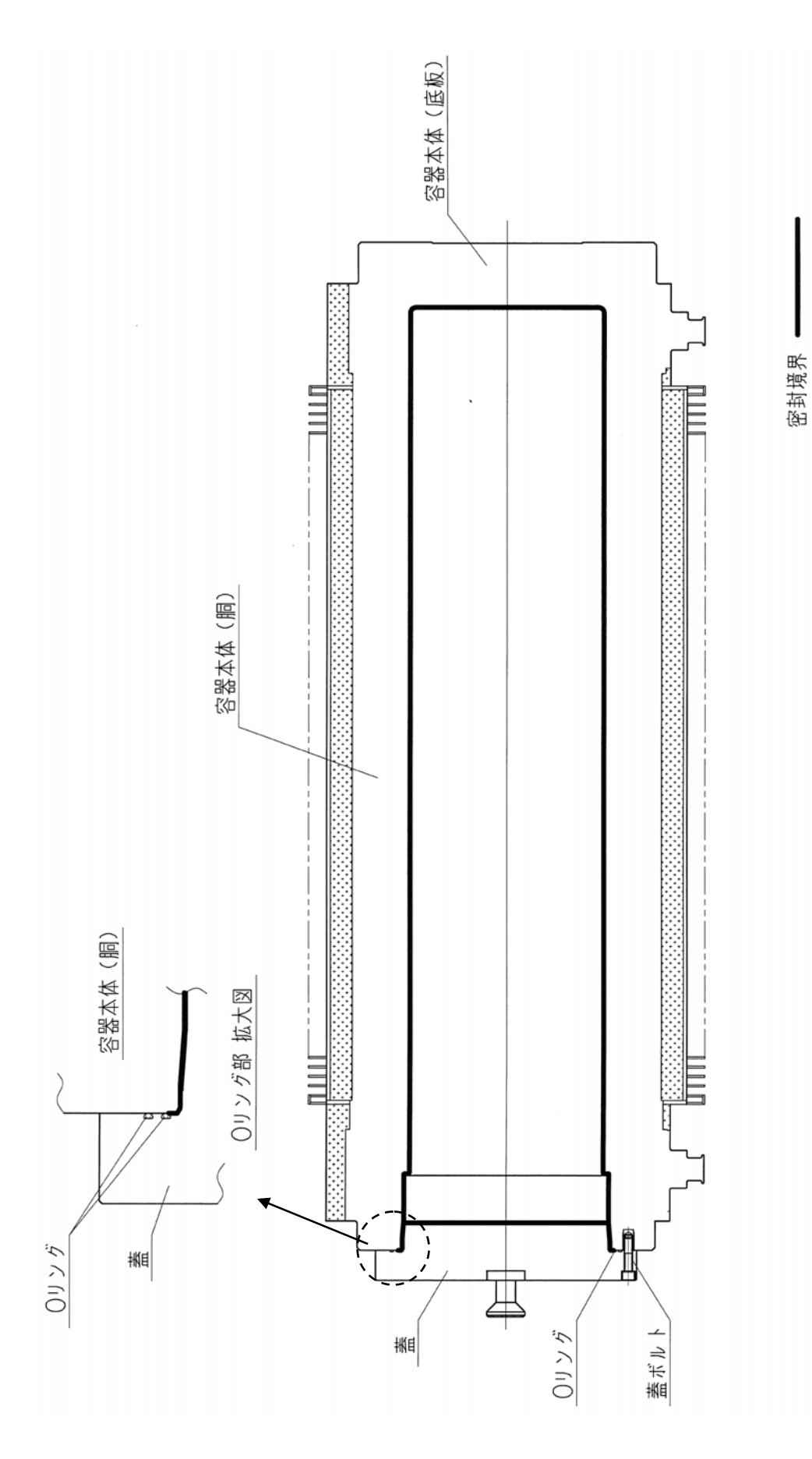
密封機能の評価にあたっては,構造強度評価及び除熱機能評価の結果から,構内用輸送 容器の密封性能が維持されることを確認する。

## (2) 評価結果

3.1 項に示したとおり、構造強度評価から蓋、蓋ボルト、胴及び底板は構内輸送における荷重条件に対して十分な強度を有しており、密封装置の構造健全性に問題がないことが確認されている。

また、3.2 項に示したとおり、除熱機能評価から構内輸送時のOリングの温度は 115  $^{\circ}$  以下であり、設計基準温度である 300  $^{\circ}$  を大きく下回ることから、熱的健全性に問題ないことが確認されている。

以上から、構内用輸送容器の密封性能は維持される。



Ⅱ-2-11-添 2-1-38

#### 3.4. 遮へい機能

#### (1) 基本的な考え方

遮へい設計にあたっては、周辺公衆及び放射線業務従事者に対し、放射線被ばく上影響 を及ぼすことのないよう、使用済燃料の放射線を適切に遮へいする能力を有するよう以下 のとおり設計する。

- a. 構内用輸送容器はガンマ線遮へいと中性子遮へいの機能を有する。
- b. 主要なガンマ線遮へい材は、胴、底板及び外筒の炭素鋼と蓋のステンレス鋼である。
- c. 主要な中性子遮へい材は、胴内水及び胴と外筒間のレジンである。

遮へい機能の評価においては、収納する使用済燃料の線源強度を考慮し、構外用輸送容器としての安全評価に用いられている評価手法を用い、構内用輸送容器表面及び表面から 1 mにおける線量当量率が制限値を超えないことを評価する。

なお、表 2-2 に示したように、構内用輸送容器に収納する燃料仕様は既存評価に用いている燃料仕様に包絡されるが、構内輸送では緩衝体がない状態で運用することから、再評価を実施する。ただし、緩衝体がない解析モデルである事以外は既存評価と同じとし、既存評価書の内容を引用する。

### (2) 設計基準

設計基準を表 3.4-1 に示す。

表 3.4-1 設計基準

(単位: μ Sv/h)

	設計基準
構内用輸送容器 表面	2000 以下
構内用輸送容器 表面から1 m	100 以下

## (3) 評価条件

## 1) 遮へい厚さ

構内用輸送容器の遮へい厚さを表 3.4-2 に示す。

表 3.4-2 遮へい厚さ

(単位:mm)

	炭素鋼	ステンレス鋼	レジン
側部 方向	307	_	115
頭部軸方向	_	305	_
底部軸方向	338	_	

#### 2) 線源条件

表 2-2 に示すように、構内輸送においては 9×9 燃料を収納する場合が、最も放射能 強度が大きく、遮へい上厳しい線源条件となる。なお、遮へい機能の評価においては、 既存評価の燃料の線源条件で評価する。

構内用輸送容器の収納物の線源条件を表 3.4-3 に示す。

 項目
 線源条件

 平均燃焼度
 (MWd/t)
 50,000

 冷却期間
 (日)
 820

 収納体数
 (体)
 22

 放射能強度
 (Bq)
 2.04×10<sup>17</sup>

表 3.4-3 線源条件

# 3) 線源強度及びエネルギー

#### a. ガンマ線源強度

燃料有効部のガンマ線源強度の計算は ORIGEN2 コードにより行う。得られたガンマ線源強度を表 3.4-4 に示す。また、構造材の放射化によるガンマ線源強度は次式で計算する。構造材の放射化によるガンマ線源強度を表 3.4-5 に示す。

$$A = N_0 \cdot \sigma \cdot \phi \cdot \{1 - \exp(-\lambda \cdot T_1)\} \cdot \exp(-\lambda \cdot T_2)$$

ここで, A:放射化核種(<sup>60</sup>Co)の放射能(Bq)

N<sub>0</sub>: ターゲット核種 (<sup>59</sup>Co) の個数 (atoms)

 $\sigma$  : 2200m/s の中性子による ( $^{59}$ Co) の(n,  $\gamma$ )反応断面積(cm $^{2}$ )

 $\phi$ : 炉内照射熱中性子東 $(n/(cm^2 \cdot s))$ 

λ: <sup>60</sup>Co の崩壊定数(/日)

 $T_1$  : 照射期間 (日)  $T_2$  : 冷却期間 (日)

表3.4-4 ガンマ線源強度

(輸送容器1基あたり)

エネルギー	平均エネルギー	線源強度
群 数	(MeV)	(photons/s)
1	0. 01	$5.449 \times 10^{16}$
2	0. 025	$1.247 \times 10^{16}$
3	0. 0375	$1.258 \times 10^{16}$
4	0. 0575	$1.118 \times 10^{16}$
5	0. 085	$7.725 \times 10^{15}$
6	0. 125	$8.303 \times 10^{15}$
7	0. 225	$6.758 \times 10^{15}$
8	0. 375	$3.839 \times 10^{15}$
9	0. 575	$6.581 \times 10^{16}$
10	0.85	$2.387 \times 10^{16}$
11	1. 25	$3.830 \times 10^{15}$
12	1. 75	$2.132 \times 10^{14}$
13	2. 25	$1.937 \times 10^{14}$
14	2. 75	$5.750 \times 10^{12}$
15	3. 5	$7.341 \times 10^{11}$
16	5. 0	$5.153 \times 10^8$
17	7. 0	$5.943 \times 10^7$
18	9. 5	$6.828 \times 10^6$
合	計	$2.113 \times 10^{17}$

表 3.4-5 構造材の放射化によるガンマ線源強度 (輸送容器 1 基あたり)

	<sup>60</sup> Co 線源強度(Bq)
ハンドル部	$3.52 \times 10^{12}$
上部グリッド部	$4.70 \times 10^{13}$
上部プレナム部	$2.62 \times 10^{14}$
下部タイプレート部	$9.59 \times 10^{13}$

# b. 中性子線源強度

中性子線源強度の計算は ORIGEN2 コードにより行う。得られた中性子線源強度を表 3.4-6 に示す。また、評価に用いる中性子エネルギースペクトルを表 3.4-7 に示す。

表 3.4-6 中性子線源強度 (輸送容器1基あたり)

		中性子線源強度(n/s)
1次中性子源	自発核分裂によるもの	$1.177 \times 10^{10}$
	(α, n) 反応によるもの	$1.489 \times 10^{8}$
	合計	$1.192 \times 10^{10}$
増倍効果を考慮した全中性子線源強度		$2.785 \times 10^{10}$

表3.4-7 中性子線源スペクトル

エネルギー群数	上限エネルギー (eV)	スペクトル
1	$1.492 \times 10^7$	5. $72 \times 10^{-4}$
2	$1.220 \times 10^7$	$2.02 \times 10^{-3}$
3	$1.000 \times 10^7$	6. $07 \times 10^{-3}$
4	$8.180 \times 10^6$	$2.00 \times 10^{-2}$
5	$6.360 \times 10^6$	4. $12 \times 10^{-2}$
6	$4.960 \times 10^6$	$5.27 \times 10^{-2}$
7	$4.060 \times 10^6$	$1.10 \times 10^{-1}$
8	$3.010 \times 10^6$	$8.74 \times 10^{-2}$
9	$2.460 \times 10^6$	$2.28 \times 10^{-2}$
10	$2.350 \times 10^6$	1. $15 \times 10^{-1}$
11	$1.830 \times 10^6$	$2.07 \times 10^{-1}$
12	$1.110 \times 10^6$	$1.89 \times 10^{-1}$
13	$5.500 \times 10^5$	1. $31 \times 10^{-1}$
14	$1.110 \times 10^5$	1. $59 \times 10^{-2}$
15	$3.350 \times 10^3$	8. $12 \times 10^{-5}$
16	$5.830 \times 10^2$	$5.89 \times 10^{-6}$
17	$1.010 \times 10^2$	$3.89 \times 10^{-7}$
18	$2.900 \times 10^{1}$	5. $53 \times 10^{-8}$
19	$1.070 \times 10^{1}$	1. 33×10 <sup>-8</sup>
20	$3.060 \times 10^{0}$	$1.88 \times 10^{-9}$
21	$1.120 \times 10^{0}$	4. $19 \times 10^{-10}$
22	$4.140 \times 10^{-1}$	$1.20 \times 10^{-10}$

#### (4) 評価方法

遮へい計算は、ガンマ線、中性子共に DOT3.5 コードを用いて計算し、構内用輸送容器 表面及び表面から1 mの線量当量率を求める。

遮へい解析モデルを図3.4-1~図3.4-3に示す。解析モデルは、構内用輸送容器の実形状を考慮した上で、構内用輸送容器の底部トラニオン周辺について中性子遮へい材の遮へい厚さが水位方向とトラニオン方向で異なることから、頭部方向、底部水位方向及び底部トラニオン方向に分けてモデル化する。

ライブラリとしては、DLC-23/CASK データを用い、線量当量率への変換は ICRP Pub1.74 に従う。

解析モデルでは既存評価と同様に以下の条件を考慮する。

- ・ 胴内での燃料の軸方向の移動を考慮し,安全側に頭部方向評価モデルでは蓋方向に, 底部方向評価モデルでは底方向に移動したモデルとする。
- ・胴内水温度は、収納物の崩壊熱量25kWにおける水温(127℃)より高い150℃に設定する。
- ・胴内水位は、安全側に水の膨張を考慮しない場合の水位とする。
- ・バスケットの最外周部は、遮へい体として考慮し、他の部分については、水没部は 燃料領域に均質化し、非水没部はボイドに置換え、均質化領域から除外する。
- ・フィンは、空気に置換え、距離のみ考慮する。
- ・ チャンネルボックスはボイドに置換え、均質化領域から除外する。
- ・各部寸法はすべてノミナル値とし、公差は密度係数として考慮する。

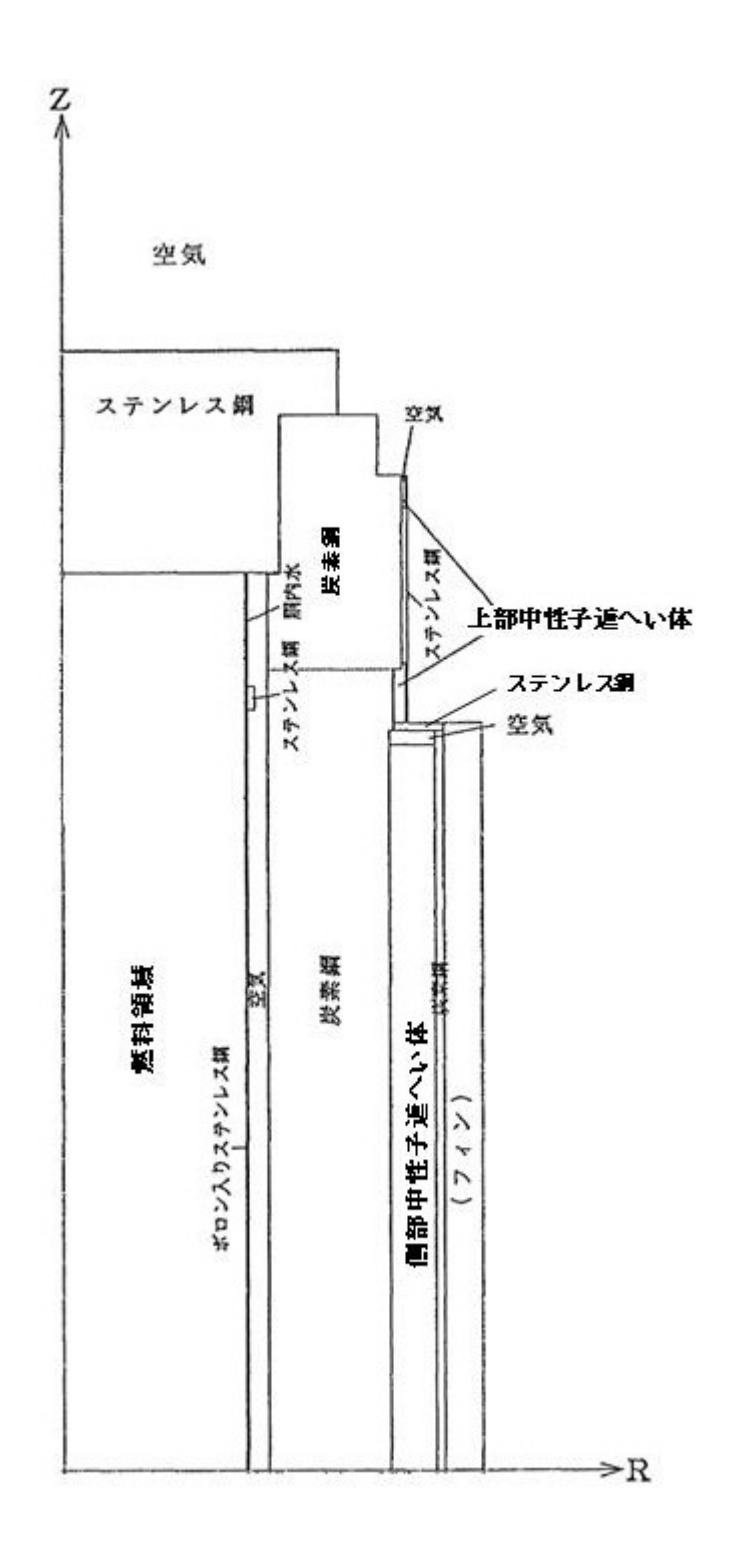


図 3.4-1 遮へい解析モデル (頭部方向)

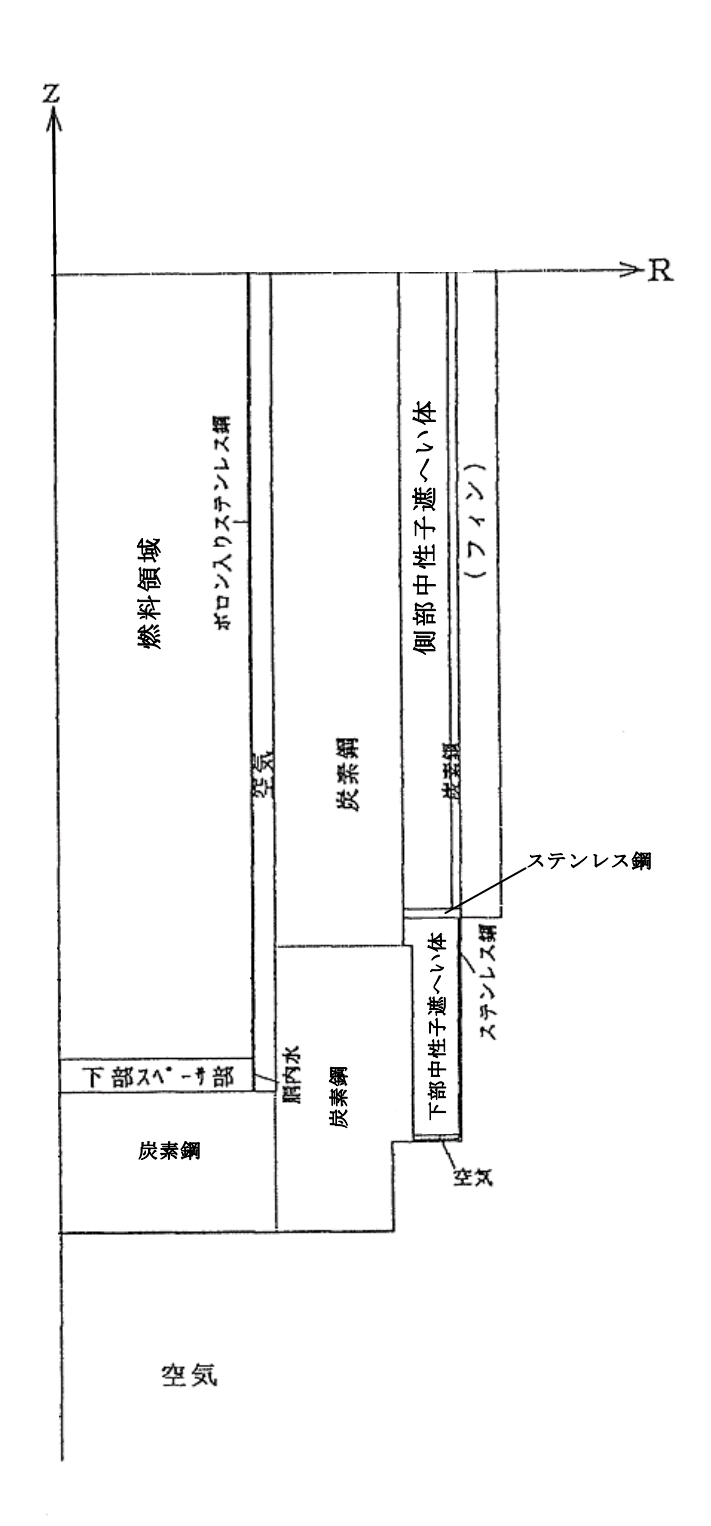


図3.4-2 遮へい解析モデル (底部水位方向)

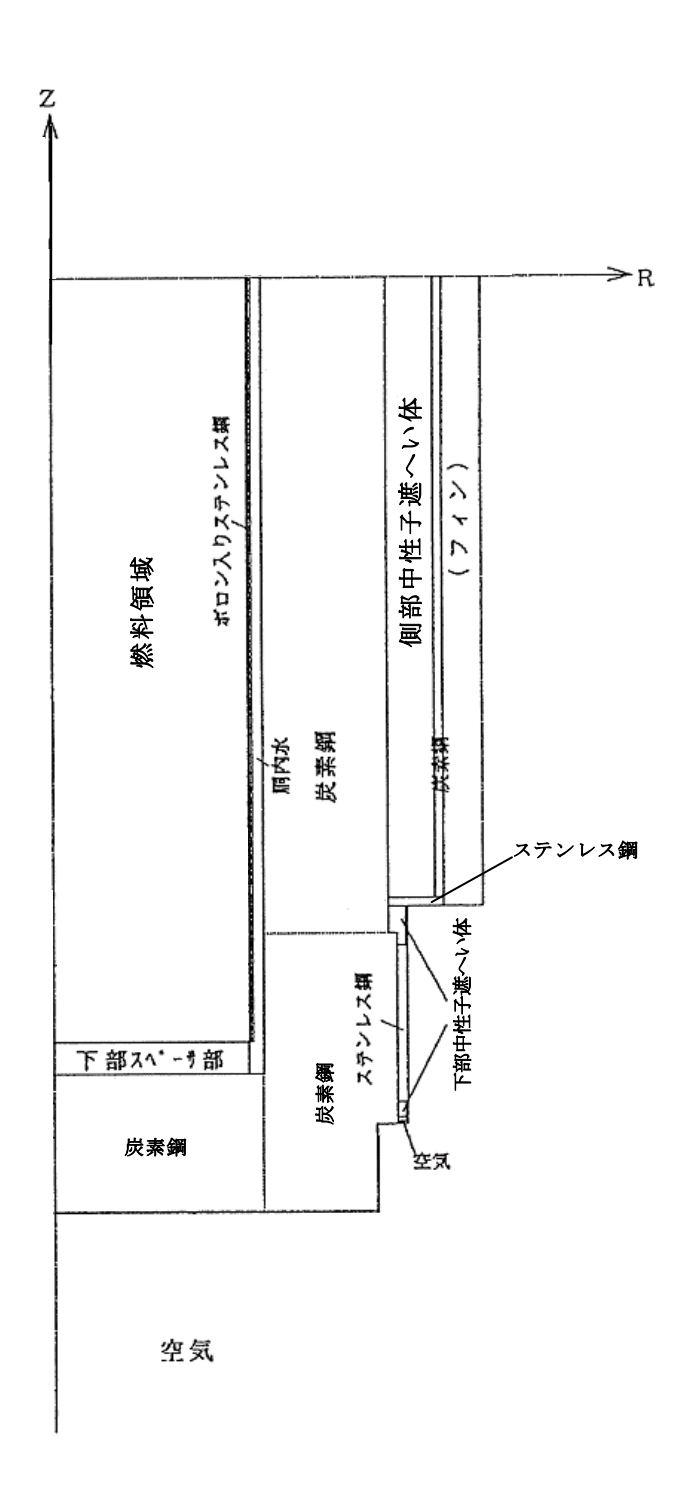
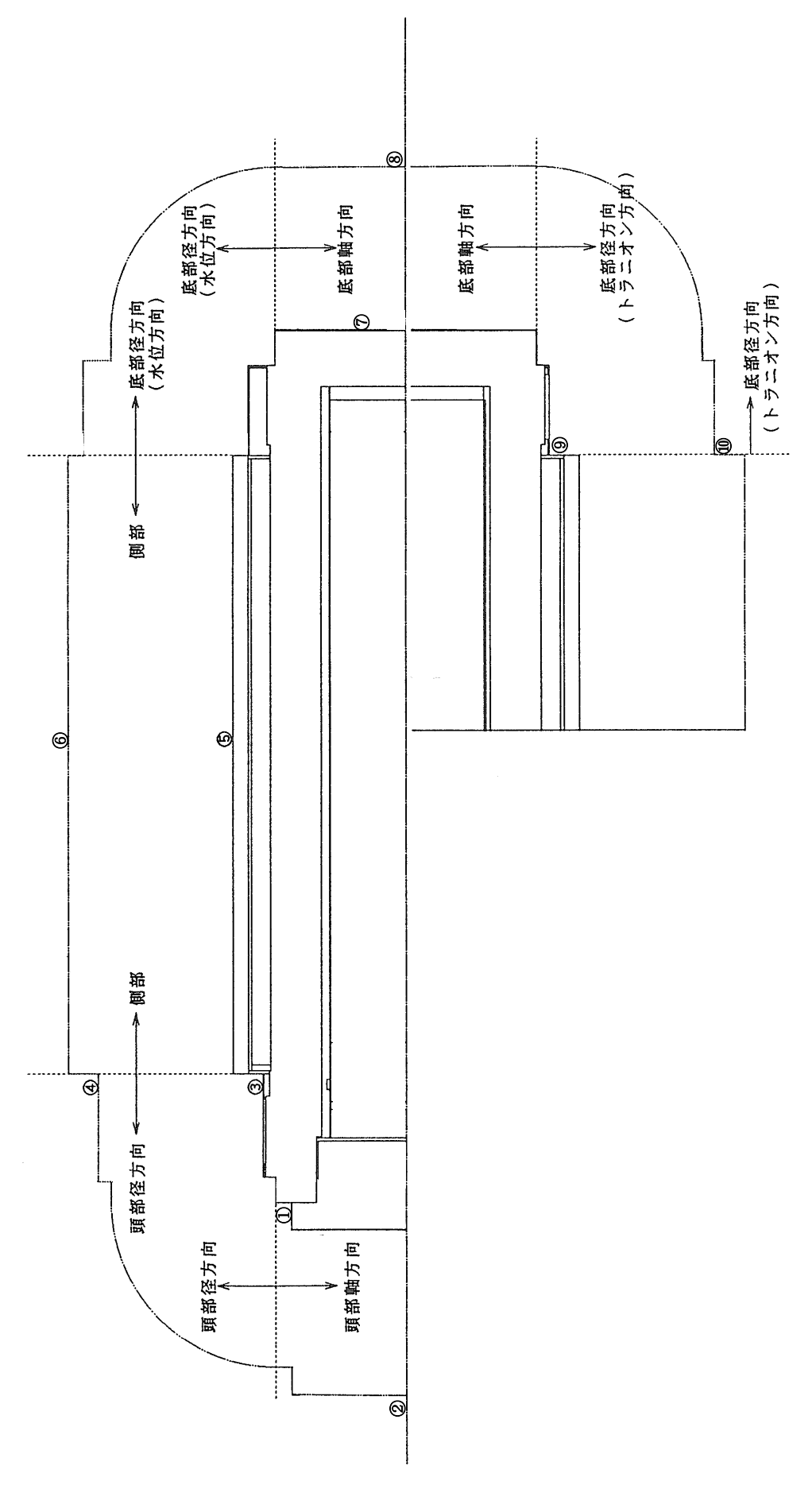


図3.4-3 遮へい解析モデル(底部トラニオン方向)

# (5) 評価結果

構内用輸送容器の線量当量率評価位置を図 3.4-4 に, 評価結果を表 3.4-8 に示す。なお, 評価結果は頭部軸方向, 頭部径方向, 側部, 底部径方向, 底部軸方向における線量当量率の最大値を示している。

本表に示すとおり、構内用輸送容器は設計基準値を満足している。



線量当量率評価位置

⊠3.4-4

Ⅱ-2-11-添 2-1-48

表3.4-8 最大線量当量率の計算結果

(単位: μ Sv/h)

		頭部		側 部	底部	
			径方向	NH DAI	軸方向	径方向
評価点		1)	3	5	7	9
表面	計算結果	1628. 2	416. 3	225. 0	137. 2	631. 2
	設計基準値			2000		
評価点		2	4	6	8	10
表面から	計算結果	72. 1	45. 1	84. 2	39. 8	50. 1
1 m	設計基準値			100		

### 遮へい解析に用いるコード (ORIGEN2) について

# (1) 概要

ORIGEN2 コードは、米国オークリッジ国立研究所(ORNL)で開発された炉内中性子東の1点近似による燃焼計算コードである。ORIGEN2 コードは汎用解析コードであり、輸送容器の放射線源強度計算等に広く利用されている。

# (2) 機能

ORIGEN2 コードは、燃焼解析に際して以下の機能を有している。

- ① 燃料の炉内での燃焼計算,炉取出し後の減衰計算により,冷却期間に対応した崩壊 熱,放射線の強度,各核種の放射能量等が求められる。
- ② 原子炉の炉型と燃料の組合せに対し、中性子エネルギースペクトルの違いにより重 みをつけた断面積ライブラリが内蔵されており、任意に選択できる。
- ③ 計算結果は、放射化生成物、アクチニド、核分裂生成物に分類して出力される。
- ④ 燃焼計算に必要な放射性核種データ(崩壊熱,ガンマ線のエネルギー分布,自発核分裂と  $(\alpha, n)$  反応により発生する中性子源強度等)に関しては、ORIGEN2 コード専用のライブラリがあり、これを用いる。

# (3) 計算フロー

ORIGEN2 コードの計算フローを図 3.4-5 に示す。

# (4) 使用実績

ORIGEN2 コードは,輸送容器,核燃料施設の放射線源強度計算に広く使用されている\*1。

### (5) 検証方法

汎用コードの導入評価\*<sup>1</sup> が実施されていることが確認されている。 大型実験/ベンチマーク試験による検証\*<sup>2</sup> が実施されていることが確認されている。

\*1 ORNL, "ORIGEN2 Isotope Generation and Depletion Code MATRIX EXPONENTIAL METHOD", CCC-371 \*2 (社)日本原子力学会"原子炉崩壊熱とその推奨値", 1989 年 8 月

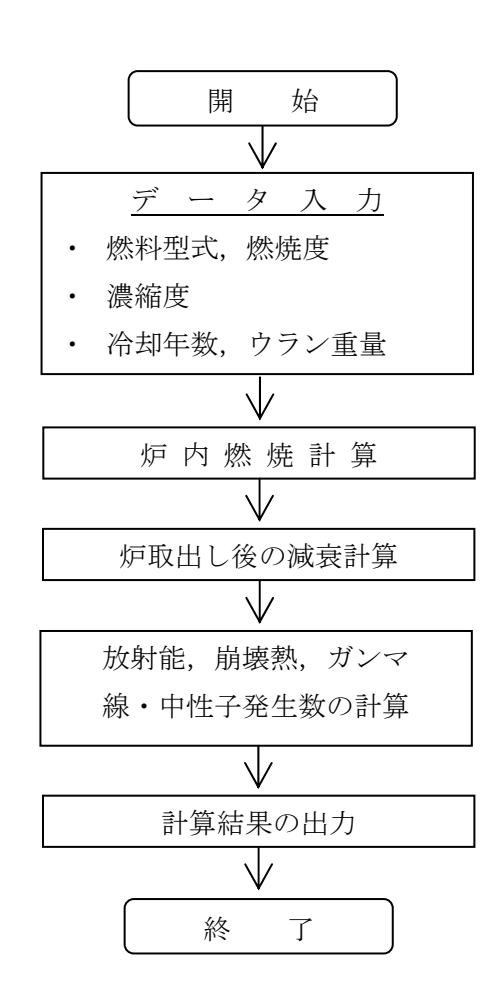


図 3.4-5 ORIGEN2 コードの計算フロー図

### 遮へい解析に用いるコード (DOT3.5 コード) について

# (1) 概要

DOT3.5 コード(以下「DOT コード」という。)は二次元輸送コードであり、米国オークリッジ国立研究所(ORNL)で開発された汎用解析コードである。

# (2)機能

DOT コードは、遮へい解析に際して以下の機能を有する。

- ① ガンマ線や中性子線に対するボルツマン輸送方程式を解くことによる数値解析 法であり、放射線の挙動を追跡するのに重要な非等方性が表現できる。
- ② DOT コードは、二次元の体系を扱うことができる。

# (3)解析フロー

DOT コードの解析フローを図 3.4-6 に示す。

### (4) 使用実績

DOT コードは、原子力施設の遮へい計算に広く用いられており、輸送容器の遮へい解析に豊富な実績がある。

# (5) 検証

汎用コードの導入評価\*1が実施されていることが確認されている。 大型実験/ベンチマーク試験による検証\*2が実施されていることが確認されている。

- \*1 W. A. Rhoades, "DOT3.5 TWO DIMENSIONAL DISCRETE ORDINATES RADIATION TRANSPORT CODE", CCC-276, 1978 年 10 月
- \*2(社)日本原子力学会"中性子遮蔽設計ハンドブック",1993年4月

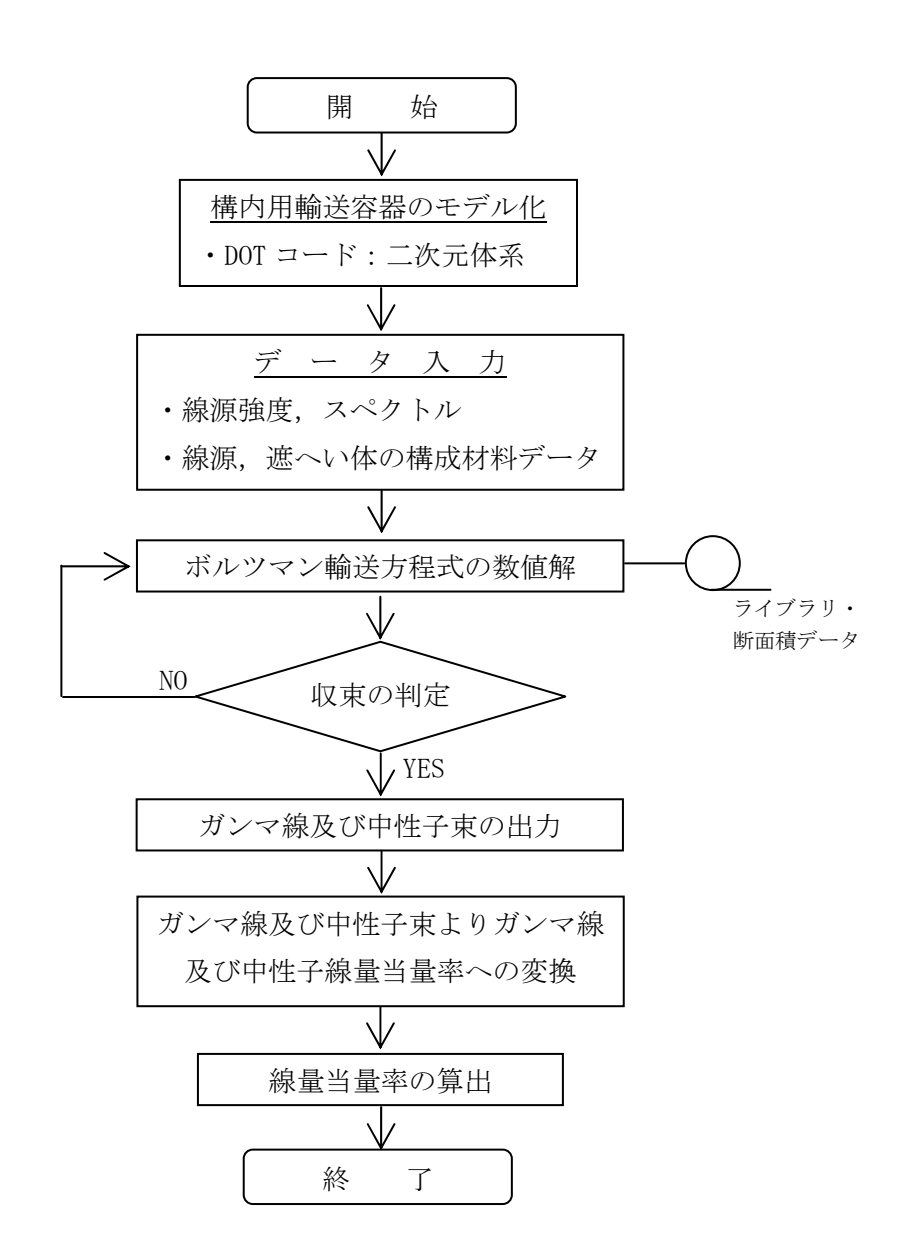


図 3.4-6 DOT コードの解析フロー図

#### 3.5. 臨界防止機能

#### (1) 基本的な考え方

臨界防止にあたっては、想定されるいかなる場合にも燃料が臨界に達することを防止するため以下のとおり設計する。

- a. 燃料を収納するバスケットは格子構造として,燃料を所定の幾何学的配置に維持する設計とする。
- b. バスケットの主要材料には、中性子を吸収するボロン入りステンレス鋼を使用する。

なお、臨界防止機能の評価においては、表 2-2 に示したとおり、構内用輸送容器に収納する燃料の初期濃縮度(約3.8wt%)は既存評価に用いている初期濃縮度(4.19wt%)に包絡されるため、評価結果は既存評価書の内容を引用する。

## (2) 設計基準

想定されるいかなる場合も実効増倍率が 0.95 以下であること。

### (3) 評価条件

既存評価の内容を以下に示す。また、臨界解析モデルを図3.5-1及び図3.5-2に示す。

- ・評価は初期濃縮度の高い 9×9 燃料について行う。
- ・燃料のウラン-235の濃縮度は未照射のままの減損していない値(初期濃縮度)とする。
- ・燃料集合体には可燃性毒物としてガドリニウムを添加した燃料棒が含まれるが、中性 子吸収断面積の大きいガドリニウムの存在を無視し、安全側にガドリニウムを添加し ていない燃料棒に置換える。
- ・燃料が構内用輸送容器の中心寄りに配置された状態とする。また、燃料集合体の変形 を考慮し、臨界評価上安全側の仮定となるように収納される全燃料について一部領域 の燃料棒ピッチを変化させた配列とする。
- ・バスケット材料のボロン入りステンレス鋼材中の 10 B 含有量は、製造下限値とする。
- チャンネルボックスを水に置換える。
- ・胴内における燃料として実在する部分は燃料有効長に相当する部分のみとし、上・下 部タイプレート部などを水に置換える。
- ・胴内の燃料有効長の範囲外の構造物は水に置換える。
- ・中性子遮へい体及びフィンは無いものとする。
- ・輸送容器外部の雰囲気は安全側に真空とする。

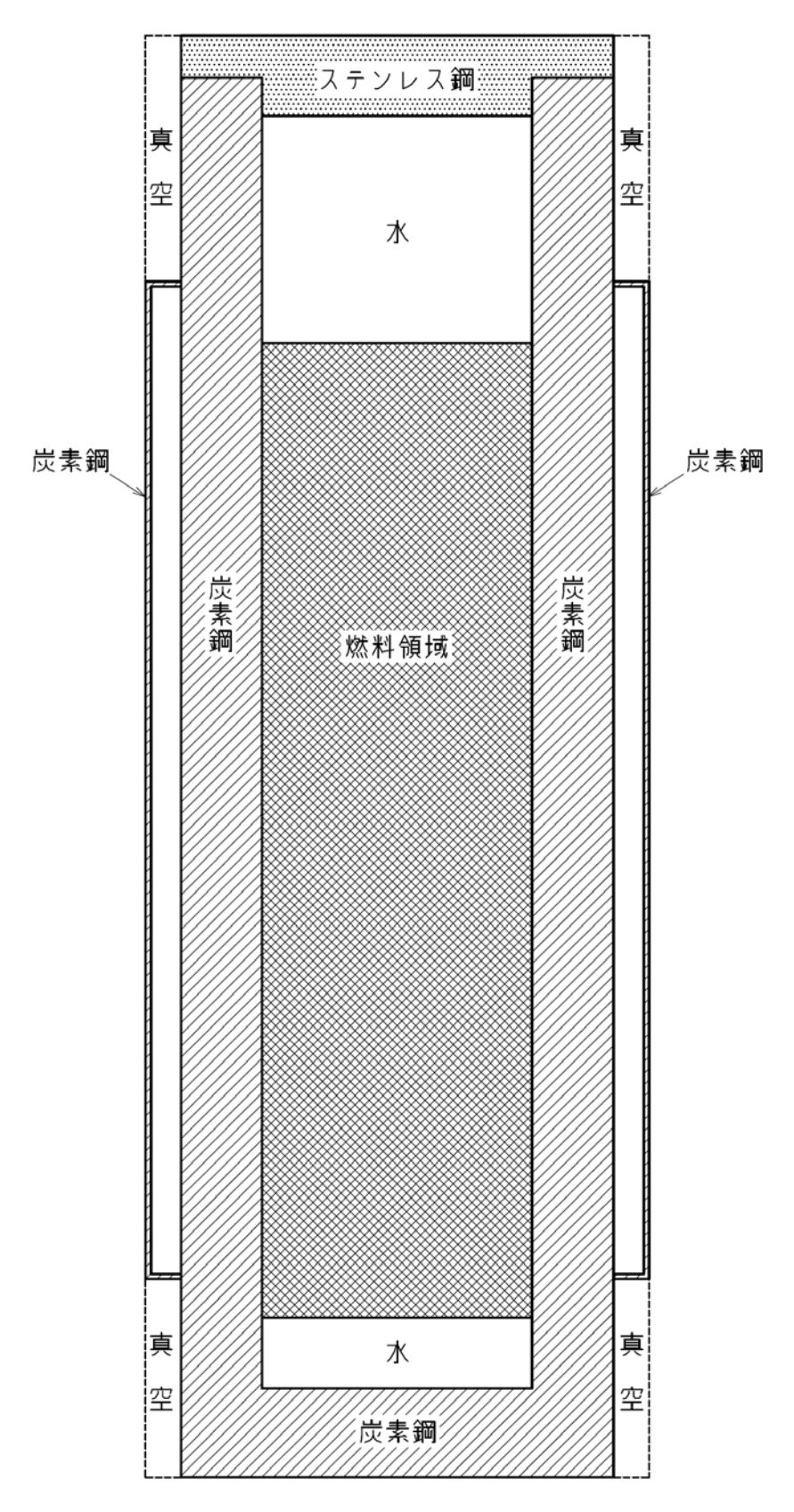
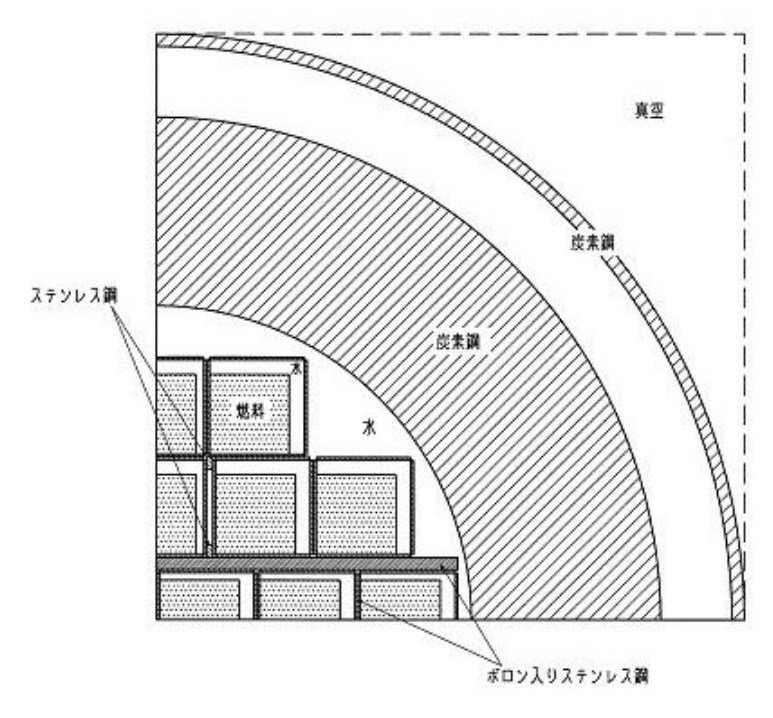
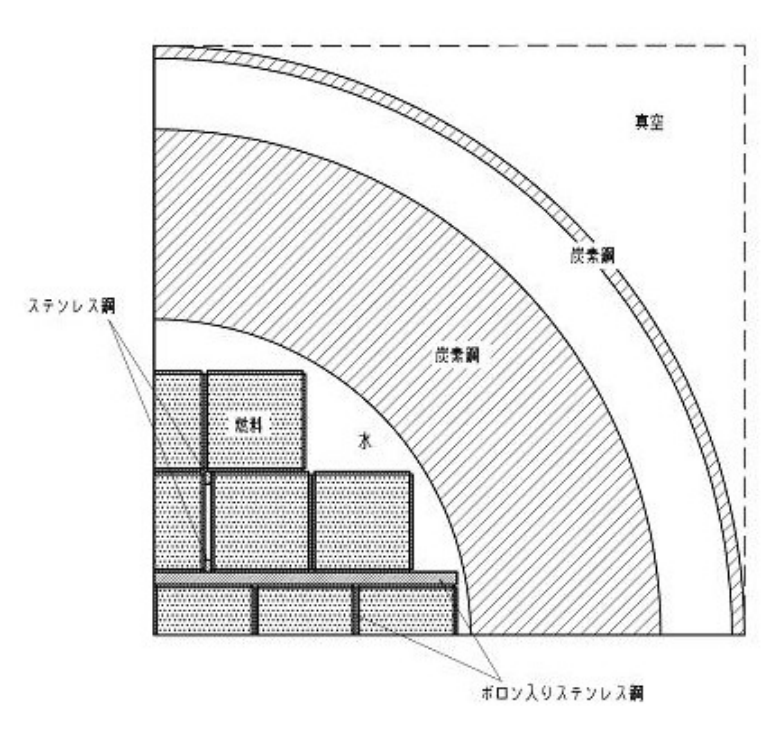


図 3.5-1 臨界解析モデル (縦断面図)



燃料棒ピッチの変化のない領域



燃料棒ピッチの変化のある領域

図 3.5-2 臨界解析モデル (燃料領域部横断面図)

# (4) 評価方法

構内用輸送容器の実効増倍率は、燃料のウラン-235の濃縮度は未照射のままの減損していない値をとる安全側の仮定で、構内用輸送容器の実形状をモデル化し、臨界解析コード KENO-V.a を使用して求める。

# (5) 評価結果

評価結果を表 3.5-1 に示す。本表に示すとおり、構内用輸送容器の実効増倍率は設計基準を満足している。

表 3.5-1 評価結果

評価対象	実効増倍率	設計基準
構内用輸送容器	0. 91*1	0. 95

<sup>\*1</sup> モンテカルロ計算の統計誤差(3σ)を考慮した値

### 臨界解析に用いるコード (KENO-V.a) について

### (1) 概要

KENO-V.a コードは、米国オークリッジ国立研究所(ORNL)で開発されたモンテカルロ 法に基づく公開の臨界解析コードであり、輸送容器の臨界解析などに利用されている。

# (2) 機能

KENO-V.a コードは、臨界解析に際して以下の機能を有している。

- ① 実際に中性子が出会う物理現象を確率理論を用いて模擬するため、どのような物理 的問題にも適用できる。なお、統計的な手法を用いるため、計算結果には統計誤差 が付随する。
- ② 一次元~三次元の任意形状の体系を扱うことができる。

### (3) 解析フロー

KENO-V.a コードの解析フローを図 3.5-3 に示す。

### (4) 使用実績

KENO-V.a コードは、国内外で輸送容器の臨界解析をはじめ、核燃料施設の臨界解析に使用されている。

# (5) 検証

米国のバッテル研究所(パシフィック ノースウエスト研究所、PNL)で行われた臨界 実験 $^{*1}$ の中から 16 種類の臨界体系をベンチマーク試験 $^{*2}$ として選び、検証を行った。

- \*1 S. R. Bierman and E. D. Clayton, "Criticality Experiments with Subcritical Clusters of 2.35 Wt% and 4.31 Wt%  $^{235}$ U Enriched UO $_2$  Rods in Water with Steel Reflecting Walls", NUREG/CR-1784(PNL-3602), U.S. Nuclear Regulatory Commission, April 1981.
- \*2 "International Handbook of Evaluated Criticality Safety Benchmark Experiments", LEU-COMP-THERM-010, LEU-COMP-THERM-013, LEU-COMP-THERM-017, LEU-COMP-THERM-042, NEA/NSC/DOC(95)03, September 2009.

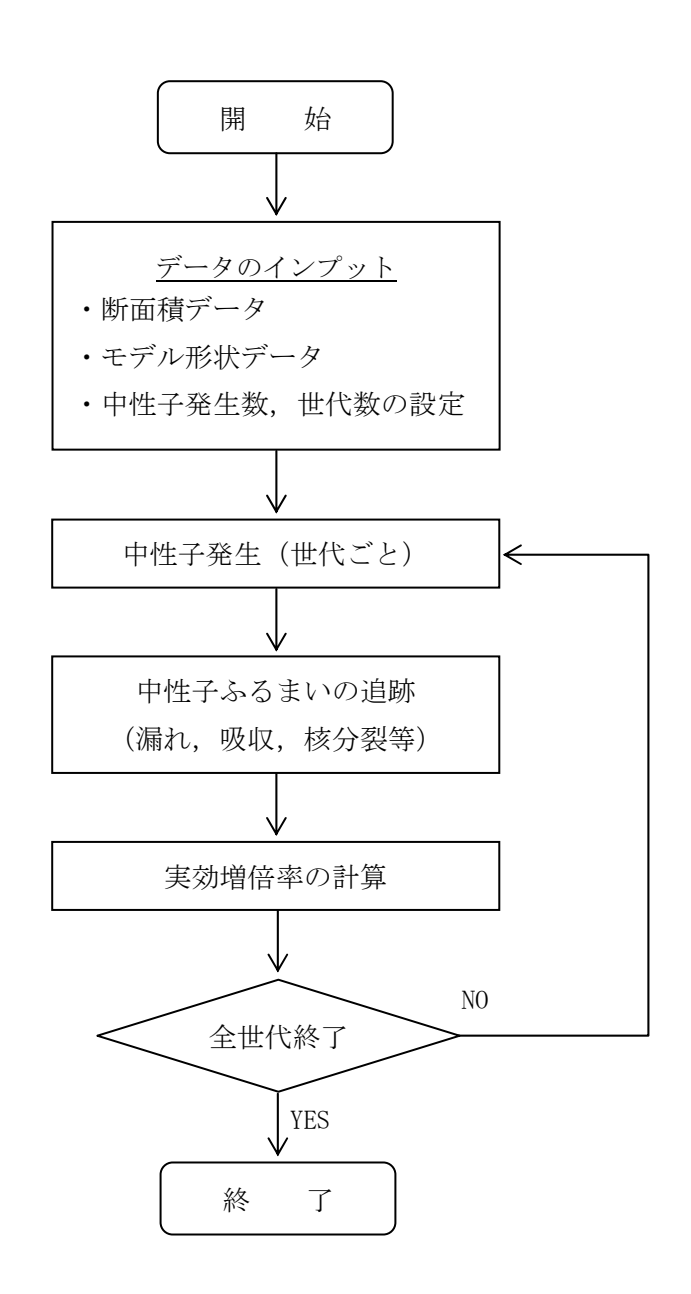


図 3.5-3 KENO-V.a コードの解析フロー図

#### 4. 構内用輸送容器の落下

#### 4.1. 原因

構内用輸送容器の取り扱い中に,何らかの原因で構内用輸送容器が落下して密封境界が 破損し,放射性物質が環境に放出される。

#### 4.2. 発生防止対策

構内用輸送容器の落下を防止するために、次のような設計及び運転上の対策を講じる。

- (1) クレーン主巻フックは二重のワイヤーロープで保持する構造とする。
- (2) クレーン巻上装置は電源断時に電動油圧押上機ブレーキで保持する構造とする。
- (3) クレーン主巻フックと吊具、吊具と構内用輸送容器の取付けを二重化する。
- (4) 取付け作業後の取付け状態を確認し、外れ止めを取り付ける。
- (5) 作業開始前にクレーン及び吊具の事前点検を実施する。
- (6) 作業手順書を整備し、作業員への教育周知を行う。
- (7) 有資格者による設備操作,作業管理を行う体制とする。

### 4.3. 核分裂生成物の放出量及び線量の評価

- 4.3.1. 核分裂生成物の放出量
  - (1) 破損燃料棒の評価

破損する燃料棒の本数の評価は、次の仮定に基づいて行う。

- a. 構内用輸送容器の取り扱い作業に際し、構内用輸送容器が落下して、構内用輸送容器に収納された燃料集合体が破損するものと仮定する。
- b. 落下による燃料集合体の破損体数は、構内用輸送容器の収納体数 22 体とする。
- (2) 評価条件

核分裂生成物の移行と放出量の評価は、次の仮定に基づいて行う。

- a. 燃料ギャップ内の核分裂生成物の量は、表 2-2 に記載のとおり燃焼度 50,000MWd/t の  $9 \times 9$  燃料集合体について行う。
- b. 燃料集合体の冷却期間は表 2-2 に記載のとおり 820 日とする。 なお、表 2-2 に記載のとおり、第 4 号機に貯蔵中の燃料集合体の冷却期間は最短で 1035 日である。
- c. 破損した燃料棒のギャップ内核分裂生成物の全量が構内用輸送容器内に放出されるものとする。破損した燃料棒のギャップ内核分裂生成物の存在量については、半減期の長い核種の放出が支配的であることを考えて、破損した燃料棒内の全蓄積量に対して希ガス(Kr-85)及びよう素(I-129)それぞれ30%とする。
- d. 放出された希ガスは、全量が構内用輸送容器から大気中へ移行するものとする。
- e. 放出されたよう素は、全量が構内用輸送容器から大気中へ移行するものとし、構内

用輸送容器に内包する水による除去は無いものとする。

### (3) 評価結果

上記の評価条件に基づいて計算した核分裂生成物の大気中への放出量は表 4.1 の通りである。

核分裂生成物放出量希ガス約 4. 5×1014Bqよう素約 2. 0×109Bq

表 4.1 核分裂生成物の大気中への放出量

# 4.3.2. 線量当量の評価

#### (1) 評価の前提

大気中へ放出される核分裂生成物は,地上放出されるものとし,これによる実効線量の計算は,次の仮定に基づいて行う。

a. 敷地境界外の地表空気中濃度は、設置許可申請書添付書類六の「5.5 安全解析に使用する気象条件」に記述される相対濃度に核分裂生成物の全放出量を乗じて求める。

なお,相対濃度( $\chi$  / Q)は設置許可申請書記載の主蒸気管破断(地上放出)の値  $3.4 \times 10^{-5} \mathrm{s/m}^3$  を適用する。

b. 敷地境界外の希ガスによる γ 線空気吸収線量は、設置許可申請書添付書類六の 「5.5 安全解析に使用する気象条件」に記述される相対線量に希ガスの全放出量を乗じて 求める。

なお、相対線量(D/Q)は設置許可申請書記載の主蒸気管破断(地上放出)の値  $3.4\times10^{-19}$ Gy/Bg を適用する。

# (2) 評価方法

敷地境界外における実効線量は、次に述べる内部被ばくによる実効線量及び外部被ばくによる実効線量の和として計算する。

よう素の内部被ばくによる実効線量H<sub>1</sub>(Sv)は,(4.1)式で計算する。

 $H_I = R \cdot H \cdot \chi / Q \cdot Q_I \cdot \dots$  (4.1)

R : 呼吸率 (m³/s) 「発電用軽水型原子炉施設の安全評価に関する

審査指針」の活動中の呼吸率を秒当たりに換算して用いる。

(小児: 0.31m³/h, 成人: 1.2m³/h)

H :よう素(I-129)を1Bq吸入した場合の実効線量はICRP Pub1.72

の値を用いる。

(小児: 2.0×10<sup>-7</sup>Sv/Bq, 成人: 9.6×10<sup>-8</sup>Sv/Bq)

 $\chi/Q$  : 相対濃度  $(s/m^3)$ 

Q<sub>I</sub> :よう素の大気放出量(Bq)

希ガスのγ線外部被ばくによる実効線量H、(Sv)は、(4.2)式で計算する。

$$H_{\gamma} = K \cdot D/Q \cdot Q_{K} \cdot E_{\gamma}/0.5 \cdots (4.2)$$
   
  $\subset \subset \mathcal{C}$ ,

K: 空気吸収線量から実効線量への換算係数 (1Sv/Gv)

D/Q: 相対線量 (Gy/Bq)

Q<sub>K</sub>: 希ガスの大気放出量(Bq)

Ε, : γ線実効エネルギー「被ばく計算に用いる放射線エネルギー

等について」を用いる。(0.0022MeV)

また、希ガスの $\beta$ 線外部被ばくによる実効線量 $H_{\beta}$  (Sv) は、(4.3)式で計算する。

$$H_{\beta} = 6.2 \times 10^{-14} \cdot \chi / Q \cdot Q_{K} \cdot E_{\beta} \cdot W_{TS} \cdot \cdots (4.3)$$

$$\subset \subset \mathcal{C},$$

χ/Q: 相対濃度 (s/m³)

Q<sub>K</sub>: 希ガスの大気放出量(Bq)

Ε β 線実効エネルギー「被ばく計算に用いる放射線エネルギー

等について」を用いる。(0.251MeV)

W<sub>TS</sub> : 皮膚の組織荷重係数は ICRP Publ. 60 の値を用いる。(0.01)

# (3) 評価結果

上記の評価前提及び方法に基づき敷地境界外の実効線量を評価した結果は表 4.2 の通りである。

表 4.2 構内用輸送容器の落下時の実効線量

	小児	成人
よう素のγ線による実効線量	約 1.2×10 <sup>-3</sup> mSv	約 2.2×10 <sup>-3</sup> mSv
希ガスのγ線による実効線量	約 6.7×10 <sup>-4</sup> mSv	約6.7×10 <sup>-4</sup> mSv
希ガスのβ線による実効線量	約 2.4×10 <sup>-3</sup> mSv	約2.4×10 <sup>-3</sup> mSv
実効線量 (合計)	約 4. 3×10 <sup>-3</sup> mSv	約 5.3×10 <sup>-3</sup> mSv

上記の値から判断して、本事象による周辺の公衆に与える放射線被ばくのリスクは 十分に小さいものと考えられる。

### 構内輸送時の措置に関する説明書(4号機)

### 1. 構内輸送の概要

第4号機の使用済燃料プールに貯蔵されている燃料は、使用済燃料プールで燃料取扱機を使用して構内用輸送容器に装填する。燃料を装填した構内用輸送容器はクレーンを使用して燃料取り出し用カバーから吊り下ろし、輸送車両に積載し、共用プールに向けて構内輸送する。構内用輸送容器は、福島第一原子力発電所に使用済燃料運搬用容器として設置され、これまで第4号機から共用プールへの使用済燃料の構内輸送に使用している使用済燃料輸送容器(NFT-22B型)を用いる。

#### 2. 構内輸送時に講じる措置

「Ⅲ.3.3.1 放射線防護及び管理」において、管理区域と同等の管理を要する区域として管理対象区域を定義しており、保安規定により4号機から共用プールへの輸送経路も管理対象区域に設定されている。

構内輸送時に講じる措置は、「実用発電用原子炉の設置、運転等に関する規則の第 13 条 (工場又は事業所において行われる運搬)」に準じて実施するが、周辺の雰囲気線量や汚染密度が高いことから、周辺環境によっては運搬物の表面及び表面から 1 メートルの距離における線量当量率及び運搬物の表面の放射性物質の密度に関しては法令に適合していることを確認できない可能性がある。

このため,運搬物の表面及び表面から 1 メートルの距離における線量当量率及び運搬物の表面の放射性物質の密度に関しては,作業実施時の最新の保安規定,社内マニュアル等に基づき管理する。

#### 放射性物質の飛散・拡散を防止するための機能に関する説明書

#### 1. 本説明書の記載範囲

本説明書は、第3号機及び第4号機燃料取り出し用カバーの放射性物質の飛散・拡散を防止するための機能について記載するものである。

- 2. 第4号機放射性物質の飛散・拡散を防止するための機能について
- 2.1 燃料取り出し用カバーについて

### 2.1.1 概要

燃料取り出し用カバーは、作業に支障が生じることのないよう作業に必要な範囲をカバーし、風雨を遮る構造とする。また、使用済燃料プール内がれき撤去時の放射性物質の舞い上がり、燃料取り出し作業に伴い建屋等に付着した放射性物質の舞い上がりによる大気放出を抑制するため、燃料取り出し用カバーは隙間を低減した構造とするとともに、換気設備を設け、排気はフィルタユニットを通じて大気へ放出する。また、現在、発電所敷地内でよう素(I-131)は検出されていないことから、フィルタユニットは、発電所敷地内等で検出されているセシウム(Cs-134,137)の大気への放出が低減できる設計とする。

### 2.1.2 燃料取り出し用カバー

燃料取り出し用カバーの大きさは、約69m(南北)×約31m(東西)×約53m(地上高)である。主体構造は鉄骨造であり、壁面及び屋根面は風雨を遮る外装材で覆う計画である。屋根面及び壁面上部には勾配を設けて、雨水の浸入を防止する構造とする。(図2-1燃料取り出し用カバー概略図参照)

### 2.1.3 換気設備

#### 2.1.3.1 系統構成

換気設備は、燃料取り出し用カバー内気体を吸引し、排気ダクトを経由して燃料取り出し用カバーの外部に設置した排気フィルタユニットへ導く。排気フィルタユニットは、プレフィルタ、高性能粒子フィルタ、排風機等で構成され、各フィルタで放射性物質を捕集した後の気体を吹上用排気ダクトから大気へ放出する。

排気フィルタユニットは,換気風量約 25,000 $m^3$ /h のユニットを 3 系列 (うち 1 系列 は予備) 設置し,約 50,000 $m^3$ /h の換気風量で運転する。

また,燃料取り出し用カバー内の放射性物質や吹上用排気ダクトから大気に放出される放射性物質の濃度を測定するため,放射性物質濃度測定器を排気フィルタユニットの出入口に設置する。(図 2-2 燃料取り出し用カバー換気設備概略構成図,図 2-3

燃料取り出し用カバー換気設備配置図,図 2-4 燃料取り出し用カバー換気設備系統図参照)

燃料取り出し用カバー換気設備の電源は,異なる系統の所内高圧母線から受電可能な構成とする。(図 2-5 燃料取り出し用カバー換気設備電源系統図参照)

なお、第4号機での燃料取り出し作業は、有人での作業を計画していることから、燃料取り出し用カバー内の放射性物質濃度の低減のため、給気フィルタユニットを有する構造とする。給気フィルタユニットは、プレフィルタ、送風機、高性能粒子フィルタ等で構成され、各フィルタで放射性物質を捕集した後の気体を燃料取り出し用カバー内へ放出する。

給気フィルタユニットは、換気風量約 25,000 $m^3$ /h のユニットを 3 系列 (うち 1 系列 は予備) 設置し、約 50,000 $m^3$ /h の換気風量で運転する。

表 2-1 換気設備構成

設備名	構成・配置等
給気フィルタユニット	配置:原子炉建屋南側の屋外に3系列(うち予備1系列)設置
	構成:プレフィルタ
	送風機
	高性能粒子フィルタ(効率 97%(粒径 0.3 μm)以上)
	フィルタ線量計 (高性能粒子フィルタに設置)
	フィルタ差圧計(プレフィルタ,高性能粒子フィルタに
	設置)
給気吹出口	配置:カバー内の側部に設置
排気吸込口	配置:カバー内の天井部に設置
排気フィルタユニット	配置:原子炉建屋南側の屋外に3系列(うち予備1系列)設置
	構成:プレフィルタ
	高性能粒子フィルタ(効率 97%(粒径 0.3 μm)以上)
	排風機
	フィルタ線量計 (高性能粒子フィルタに設置)
	フィルタ差圧計(プレフィルタ,高性能粒子フィルタに
	設置)
吹上用排気ダクト	配置:排気フィルタユニットの下流側に設置

設備名	構成・配置等		
	測定対象:カバー内及び大気放出前の放射性物質濃度		
	仕様 : 検出器種類 シンチレーション検出器		
放射性物質濃度測定器	計測範囲 $10^{0} \sim 10^{4} \mathrm{s}^{-1}$		
	台数 排気フィルタユニット入口 1台		
	排気フィルタユニット出口 2台		

#### 2.1.3.2 換気風量について

燃料取り出し用カバー内の環境は、燃料取扱機、クレーン及び電源盤の設備保護のため 40℃以下(設計値)となる換気設備を設けるものとする。また、カバー内での燃料取り出し作業は、有人による作業を計画していることから、作業エリアには、局所的にローカル空調機を設け夏期及び冬期の作業環境の向上を図るものとする。

燃料取り出し用カバー内の熱負荷を除熱するのに必要な換気風量は、下式により求められ約50,000m³/h となる。

 $Q=q/(Cp \cdot \rho \cdot (t1-t2) \cdot 1/3600)$ 

Q: 換気 (排気) 風量 (m³/h)

q:設計用熱負荷,約143 (kW) (機器発熱) \*1

Cp:定圧比熱, 1.004652 (k.J/kg・℃)

 $\rho$ : 密度, 1.2 (kg/m<sup>3</sup>)

t1:カバー内温度, 40 (℃)

t2:設計用外気温度, 31.5 (℃) \*\*2

※1 10%の余裕を含む

※2 28.5℃(小名浜気象台で観測された 1971 年~1975 年の 5 年間の観測データにおける累積出現率が 99%となる最高温度)+約3℃(送風機のヒートアップによる温度上昇)

# 2.1.3.3 運転管理および保守管理

### (1) 運転管理

送風機・排風機の起動/停止操作は、屋外地上部に設置した現場制御盤で行うもの とし、故障等により送風機・排風機が停止した場合には、予備機が自動起動する。

現場制御盤では、送風機・排風機の運転状態(起動停止状態)、放射性物質濃度が表示され、それらの異常を検知した場合には、警報を発する。また、免震重要棟でも同様に、送風機・排風機の運転状態(起動停止状態)、放射性物質濃度が表示され、それらの情報に異常を検知した場合は、警報を発するシステムとなっている。

放射性物質濃度測定器を排気フィルタユニットの出入口に設置し、燃料取り出し用 カバー内から大気に放出される放射性物質濃度を測定する。

#### (2) 保守管理

換気設備については安全上重要な設備ではなく、運転継続性の要求が高くない。保守作業に伴う被ばくを極力低減する観点から、異常の兆候が確認された場合に対応する。なお、排気フィルタユニット出口の放射性物質濃度測定器については、外部への放射性物質放出抑制の監視の観点から多重化し、機器の単一故障により機能が喪失した場合でも測定可能な設備構成とする。

また、フィルタについては、差圧計(プレフィルタ、高性能粒子フィルタに設置) 又は線量計(高性能粒子フィルタに設置)の値を確認しながら、必要な時期に交換する。

### 2.1.3.4 異常時の措置

燃料取り出し用カバー換気設備が停止しても、セシウムの使用済燃料プールから大気への移行割合は、 $1\times10^{-3}\sim1\times10^{-5}$ %程度であり、第4号機から放出される放射性物質は小さいと評価されている(II.2.3 使用済燃料プール設備参照)ことから、放射性物質の異常な放出とならないと考えられる。また、第4号機の使用済燃料プール水における放射性物質濃度は、 $Cs-134:4.5\times10^{6}$ Bq/cm³、 $Cs-137:6.6\times10^{6}$ Bq/cm³(平成24年1月30日に使用済燃料プールより採取した水の分析結果)である。

なお、燃料取り出し用カバー換気設備は、機器の単一故障が発生した場合を想定して、送風機、排風機及び電源の多重化を実施しており、切替等により機能喪失後の速やかな 運転の再開を可能とする。また、排気フィルタユニット出口の放射性物質濃度測定器に ついては、2台の連続運転とし、1台故障時においても放射性物質濃度を計測可能とする。。

# 2.2 放射性物質の飛散・拡散を防止するための機能について

### 2.2.1 排気フィルタによる低減効果

燃料取り出し用カバー内から排気フィルタユニットを通じて大気へ放出される放射性物質は、高性能粒子フィルタ(効率 97% (粒径  $0.3 \mu m$ )以上)により低減される。

セシウムの使用済燃料プールから大気への移行割合は、 $1\times10^{-3}\sim1\times10^{-5}\%$ 程度であり、第4号機から放出される放射性物質は小さいと評価されている。(II.2.3使用済燃料プール設備参照)

表 2-2 に発電所敷地内で測定された放射性物質濃度を示す。仮に、燃料取り出し用カバー内が表 2-2 に示す放射性物質濃度のうち、濃度の高い第4号機オペレーティングフロア上の放射性物質濃度であった場合、排気フィルタを通過して大気へ放出される放射性物質濃度は表 2-3 の通りとなる。

	第4号機原子炉建屋オペレー	福島第一原子力発電所西門の
核種	ティングフロア上の濃度	濃度 (平成 23 年 6 月 18 日測
	(平成 23 年 6 月 18 日測定)	定) ※
Cs-134	約 1.2×10 <sup>-4</sup>	約 5. 4×10 <sup>-6</sup>
Cs-137	約 1.1×10 <sup>-4</sup>	約 6.2×10 <sup>-6</sup>

※現在は、検出限界値以下であるが、第4号機オペレーティングフロア上の測定値との比較のため、平成23年6月18日の測定値とした。

#### $Q=C \cdot (1-f)$

Q :フィルタ通過後の放射性物質濃度 (Bq/cm³)

C:カバー内に吸い込まれる外気の放射性物質濃度(Bg/cm³)(表 2-2 参照)

f:フィルタ効率(高性能粒子フィルタ 97%)

表 2-3 フィルタ通過後の放射性物質濃度

核種	濃度(Bq/cm³)
Cs-134	約 3.6×10 <sup>-6</sup>
Cs-137	約 3. 3×10 <sup>-6</sup>

以上の結果,表 2-2 及び表 2-3 より,フィルタ通過後の放射性物質濃度は西門での放射性物質濃度よりも低いレベルとなる。

### 2.2.2 敷地境界線量

### 2.2.2.1 評価条件

- (1) 燃料取り出し用カバー内が、表 2-2 に示す第4号機オペレーティングフロア上の放射性物質濃度であった場合に排気フィルタユニットを介して大気に放出されるものと仮定する。
- (2) 減衰は考慮しない。
- (3) 地上放出と仮定する。
- (4) 燃料取り出し用カバーの供用期間である5年間(想定)に放出される放射性物質が地表に沈着し蓄積した時点のγ線に起因する実効線量と仮定し評価する。
- (5) 大気拡散の評価に用いる気象条件は、福島第一原子力発電所原子炉設置変更許可申請書で採用したものと同じ気象データを使用する。

## 2.2.2.2 評価方法

燃料取り出し用カバー排気フィルタユニットから放出される放射性物質による一般 公衆の実効線量は、以下の被ばく経路について年間実効線量(mSv/年)を評価する。

- (1) 放射性雲からのγ線に起因する実効線量
- (2) 吸入摂取による実効線量
- (3) 地面に沈着した放射性物質からのγ線に起因する実効線量

### 2.2.2.3 放射性雲からのγ線に起因する実効線量

放射性物質の $\gamma$ 線に起因する実効線量については、「発電用軽水型原子炉施設周辺の線量目標値に対する評価指針」の放射性雲からの $\gamma$ 線による実効線量の評価の評価式を用いて評価する。

(1) 計算地点における空気カーマ率の計算

計算地点(x, y, 0)における空気カーマ率は、次式により計算する。

$$D = K_1 \cdot E \cdot \mu_{en} \int_0^\infty \int_{-\infty}^\infty \int_0^\infty \frac{e^{-\mu \cdot r}}{4\pi r^2} \cdot B(\mu r) \cdot \chi(x', y', z') dx' dy' dz' \cdot \cdot \cdot 2-1$$

ここで, D : 計算地点(x, y, 0)における空気カーマ率 (μ Gy/y)

 $K_1$  : 空気カーマ率への換算係数(4.46× $10^{-4}$   $\frac{\mathrm{dis} \cdot \mathrm{m}^3 \cdot \mu \; \mathrm{Gy}}{\mathrm{MeV} \cdot \mathrm{Bg} \cdot \mathrm{h}}$ )

E: γ線の実効エネルギ(0.5MeV/dis)

 $\mu_{en}$ : 空気に対する  $\gamma$  線の線エネルギ吸収係数  $(m^{-1})$ 

μ: 空気に対するγ線の線減衰係数 (m<sup>-1</sup>)

 $\mathbf{r}$ : 放射性雲中の点 $(\mathbf{x},\mathbf{y},\mathbf{z})$ から計算地点 $(\mathbf{x},\mathbf{y},\mathbf{0})$  までの距離 $(\mathbf{m})$ 

B(μr): 空気に対するγ線の再生係数

$$B(\mu r) = 1 + \alpha (\mu r) + \beta (\mu r)^2 + \gamma (\mu r)^3$$

ただし、 $\mu_{\rm en}$ 、 $\mu$ 、 $\alpha$ 、 $\beta$ 、 $\gamma$  については、 $0.5 {\rm MeV}$  の $\gamma$  線に対する値を用い、以下のとおりとする。

$$\mu$$
  $_{\rm en} = 3.~84 \times 10^{-3} \, (\rm m^{-1})$  ,  $~~\mu = 1.~05 \times 10^{-2} \, (\rm m^{-1})$ 

 $\alpha = 1.000$ ,  $\beta = 0.4492$ ,  $\gamma = 0.0038$ 

 $\chi(x',y',z')$  : 放射性雲中の点(x',y',z')における濃度 (Bg/m³)

なお、 $\chi(x',y',z')$ は、次式により計算する。

$$\chi(\vec{x}, \vec{y}, \vec{z}) = \frac{Q}{2\pi \cdot \sigma_{y} \cdot \sigma_{z} \cdot U} \cdot e^{-\frac{\vec{y}^{2}}{2\sigma_{y}^{2}}} \cdot \left\{ e^{-\frac{(\vec{z} - H)^{2}}{2\sigma_{z}^{2}}} + e^{-\frac{(\vec{z} + H)^{2}}{2\sigma_{z}^{2}}} \right\} \cdot 2-2$$

ここで、 Q : 放射性物質の放出率 (Bg/s)

U:放出源高さを代表する風速 (m/s)

H:放出源の有効高さ (m)

 $\sigma_v$ : 濃度分布の y' 方向の拡がりのパラメータ (m)

 $\sigma_7$ : 濃度分布の z' 方向の拡がりのパラメータ (m)

このとき、有効高さと同じ高度 (z'=H) の軸上で放射性物質濃度が最も濃くなる。 被ばく評価地点は地上 (z'=0) であるため、地上放散が最も厳しい評価を与えることになる。

#### (2) 実効線量の計算

計算地点における年間の実効線量は、計算地点を含む方位及びその隣接方位に向かう放射性雲のγ線からの空気カーマを合計して、次式により計算する。

ここで、 $H_{\nu}$ : 放射性物質の $\gamma$ 線に起因する年間の実効線量 ( $\mu$  Sv/y)

 $K_2$  : 空気カーマから実効線量への換算係数  $(0.8 \mu \, \mathrm{Sv}/\, \mu \, \mathrm{Gy})$ 

f<sub>h</sub>:家屋の遮へい係数(1.0)

f<sub>0</sub> :居住係数 (1.0)

 $(\overline{D}_L + \overline{D}_{L-1} + \overline{D}_{L+1})$ :計算地点を含む方位(L)及びその隣接方位に向かう放射性雲によ

る年間平均の $\gamma$ 線による空気カーマ( $\mu$  Gy/y)。これらは 2-1 式から得られる空気カーマ率 D を放出モード,大気安定度別風向分布

及び風速分布を考慮して年間について積算して求める。

# 2.2.2.4 吸入摂取による実効線量

吸入摂取による実効線量については,「発電用軽水型原子炉施設周辺の線量目標値に 対する評価指針」の吸入摂取による実効線量の評価の評価式を用いて評価する。

### (1) 放射性物質の年平均地表空気中濃度の計算

計算地点における年平均地表空気中濃度 $_{\chi}$ は、2-2 式を用い、隣接方位からの寄与も考慮して、次式により計算する。

ここで, j : 大気安定度 (A~F)

L:計算地点を含む方位

# (2) 線量の計算

放射性物質の呼吸による実効線量は、次式により計算する。

ここで, H<sub>τ</sub> : 吸入摂取による年間の実効線量 (μ Sv/y)

365 : 年間日数への換算係数 (d/y)

 $K_{Ii}$  :核種 i の吸入摂取による成人実効線量換算係数 ( $\mu$  Sv/Bq)

A<sub>1i</sub> :核種 i の吸入による摂取率 (Bq/d)

M<sub>a</sub> :人間の呼吸率 (m<sup>3</sup>/d)

(成人の1日平均の呼吸率: 22.2m3/dを使用)

〒i :核種 i の年平均地表空気中濃度 (Bq/m³)

表 2-4 吸入摂取による成人の実効線量換算係数 (μ Sv/Bq)

核種	Cs-134	Cs-137
$K_{Ii}$	$2.0 \times 10^{-2}$	$3.9 \times 10^{-2}$

# 2.2.2.5 地面に沈着した放射性物質からの y 線に起因する実効線量

地面に沈着した放射性物質からのγ線に起因する実効線量については、「発電用軽水型原子炉施設の安全審査における一般公衆の線量評価について」の地面に沈着した放射性物質濃度を計算し、放射性物質濃度からの実効線量への換算係数を用いて評価する。

(1) 放射性物質の年平均地上空気中濃度の計算 計算地点における年平均地上空気中濃度 x は, 2-4 式により計算する。

#### (2) 線量の計算

地面に沈着した放射性物質からのγ線に起因する実効線量は、次式により計算する。

ここで、  $H_G$  : 地面に沈着した放射性物質からの $\gamma$ 線に起因する

年間の実効線量 (μ Sv/y)

 $K_{Gi}$  : 核種 i の地表沈着による外部被ばく線量換算係数  $(\frac{\mu \text{ Sv/y}}{Bg/m^2})$ 

S<sub>0i</sub> :核種iの地表濃度 (Bq/m²)

マi : 核種 i の年平均地表空気中濃度 (Bq/m³)

V。: 沈着速度 (0.01m/s)

λ; :核種 i の物理的減衰係数 (s<sup>-1</sup>)

T。: 放射性物質の放出期間 (s) (カバー供用期間の5年を想定)

f<sub>1</sub>:沈着した放射性物質のうち残存する割合(保守的に1を用いる)

表 2-5 放射性物質濃度から実効線量への換算係数 ((Sv/s)/(Bq/m²))

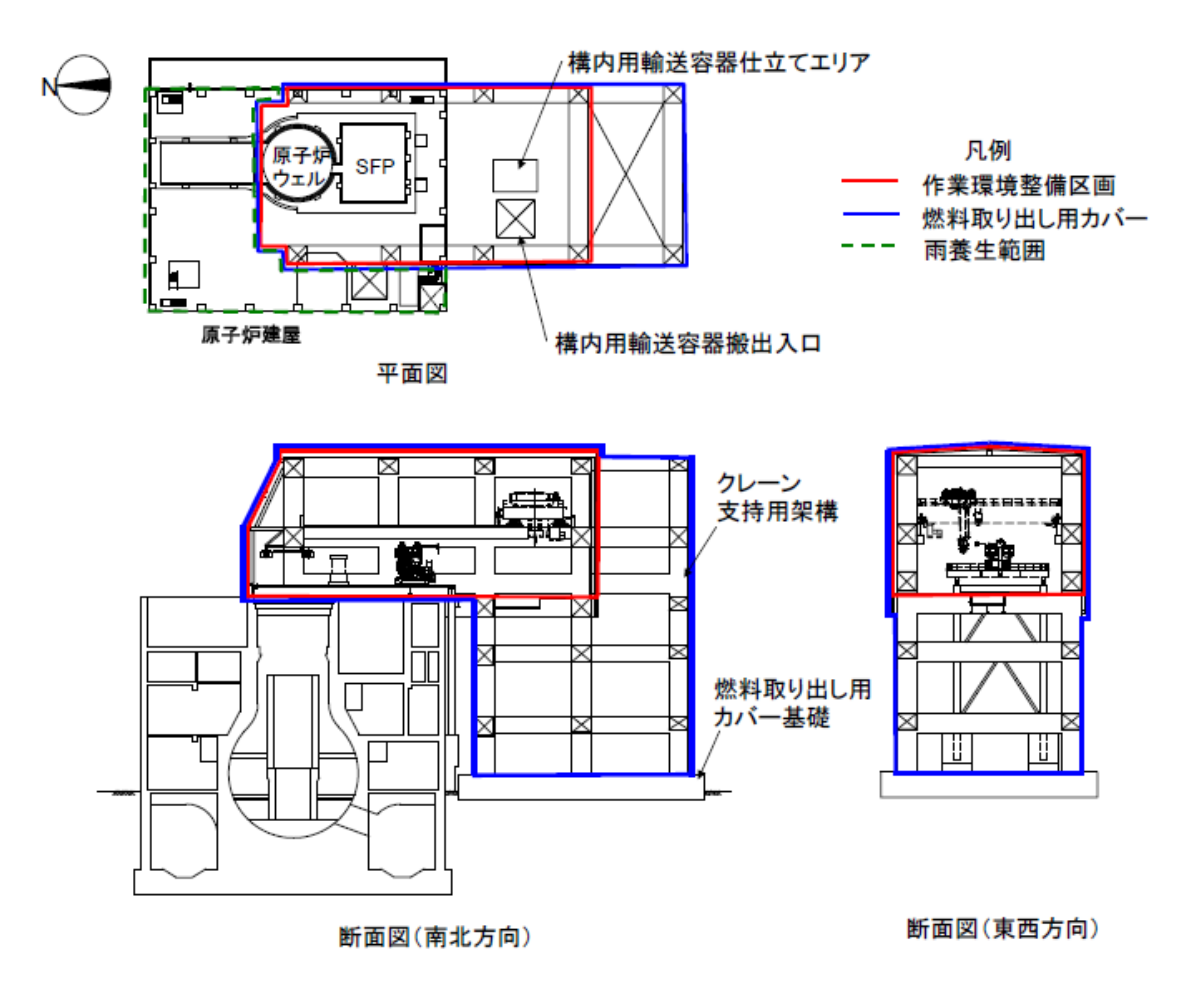
核種	Cs-134	Cs-137
$K_{Gi}$	$1.5 \times 10^{-15}$	$5.8 \times 10^{-16}$

# 2.2.2.6 評価結果

表 2-3 に示す濃度の放射性物質の放出が燃料取り出し用カバーの供用期間である 5 年間(想定)続くと仮定して算出した結果,年間被ばく線量は敷地境界で約 0.008mSv/年であり,法令の線量限度 1mSv/年に比べても十分低いと評価される。(表 2-6 参照)また,「III.3.2 放射性廃棄物等の管理に関する補足説明」での評価(約 0.03mSv/年)に比べても十分に低いと評価される。

表 2-6 燃料取り出し用カバー排気フィルタユニットからの 放射性物質の放出による一般公衆の実効線量 (mSv/年)

評価項目			<b>♦</b>
放射性雲 吸入摂取 地表沈着			合計
約 1. 3×10 <sup>-7</sup>	約 5. 4×10 <sup>-5</sup>	約 7.4×10 <sup>-3</sup>	約 7.5×10 <sup>-3</sup>



# 【燃料取り出し用カバー】

- ・ 作業環境整備区画を構成・支持する架構及び附属設備を指す。
- ・ 燃料取り出し用カバーのうち,作業環境整備区画は外装材等により区画し,換気対象範囲とする。

### 【雨養生範囲】

- ・ 燃料取り出し用カバー以外のオペレーティングフロアエリアは雨水対策を施す。
- ・ 換気対象範囲外とする。

図 2-1 燃料取り出し用カバー概略図

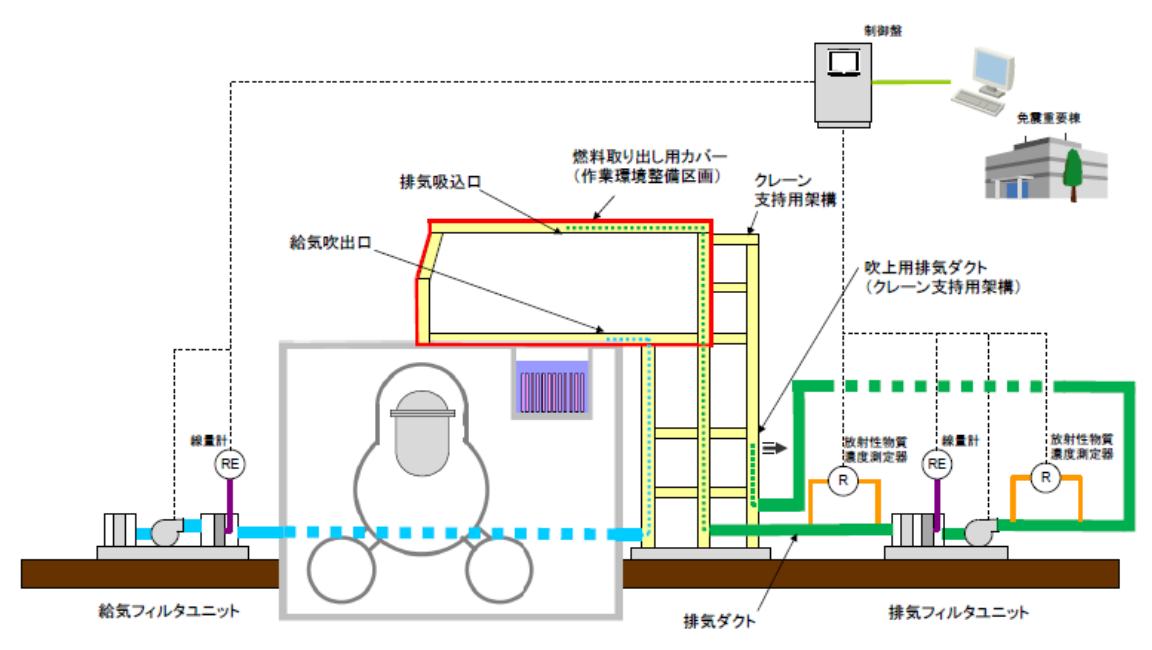


図 2-2 燃料取り出し用カバー換気設備概略構成図

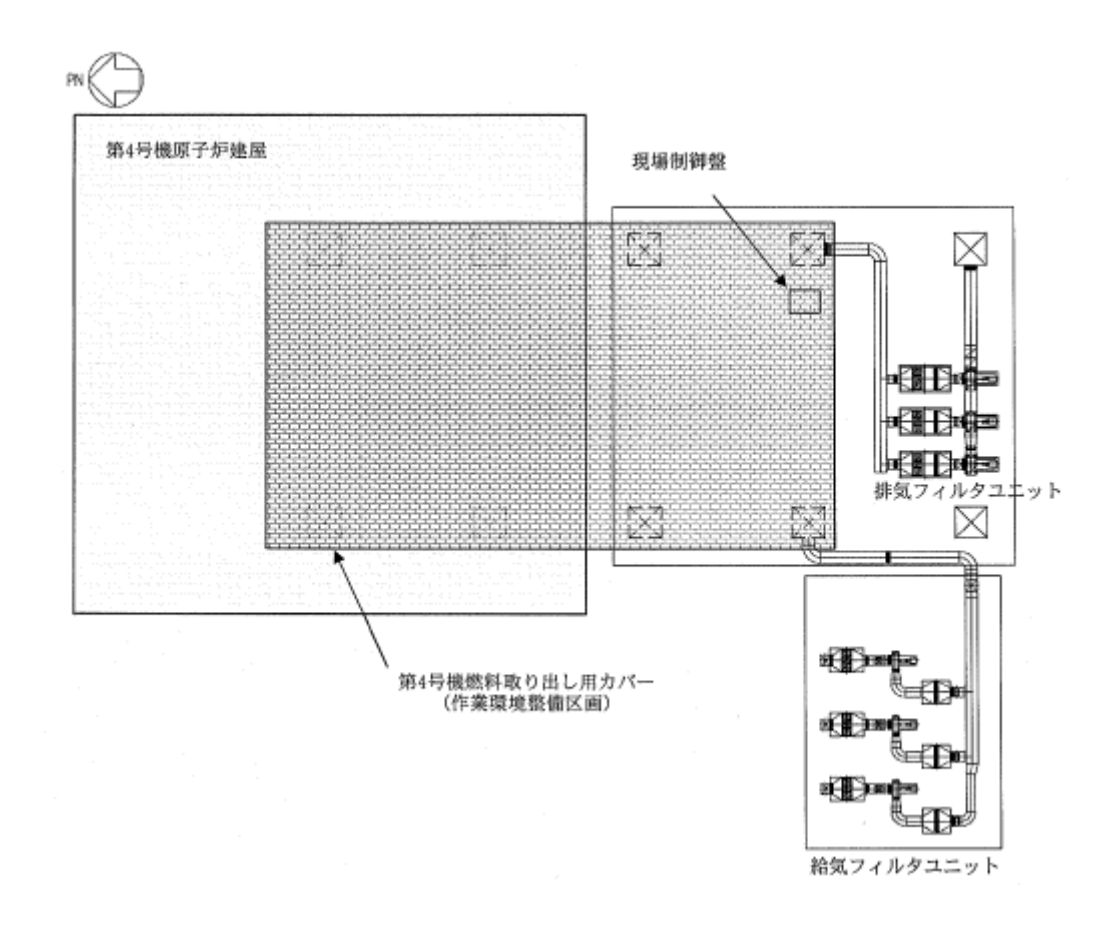


図 2-3 燃料取り出し用カバー換気設備配置図

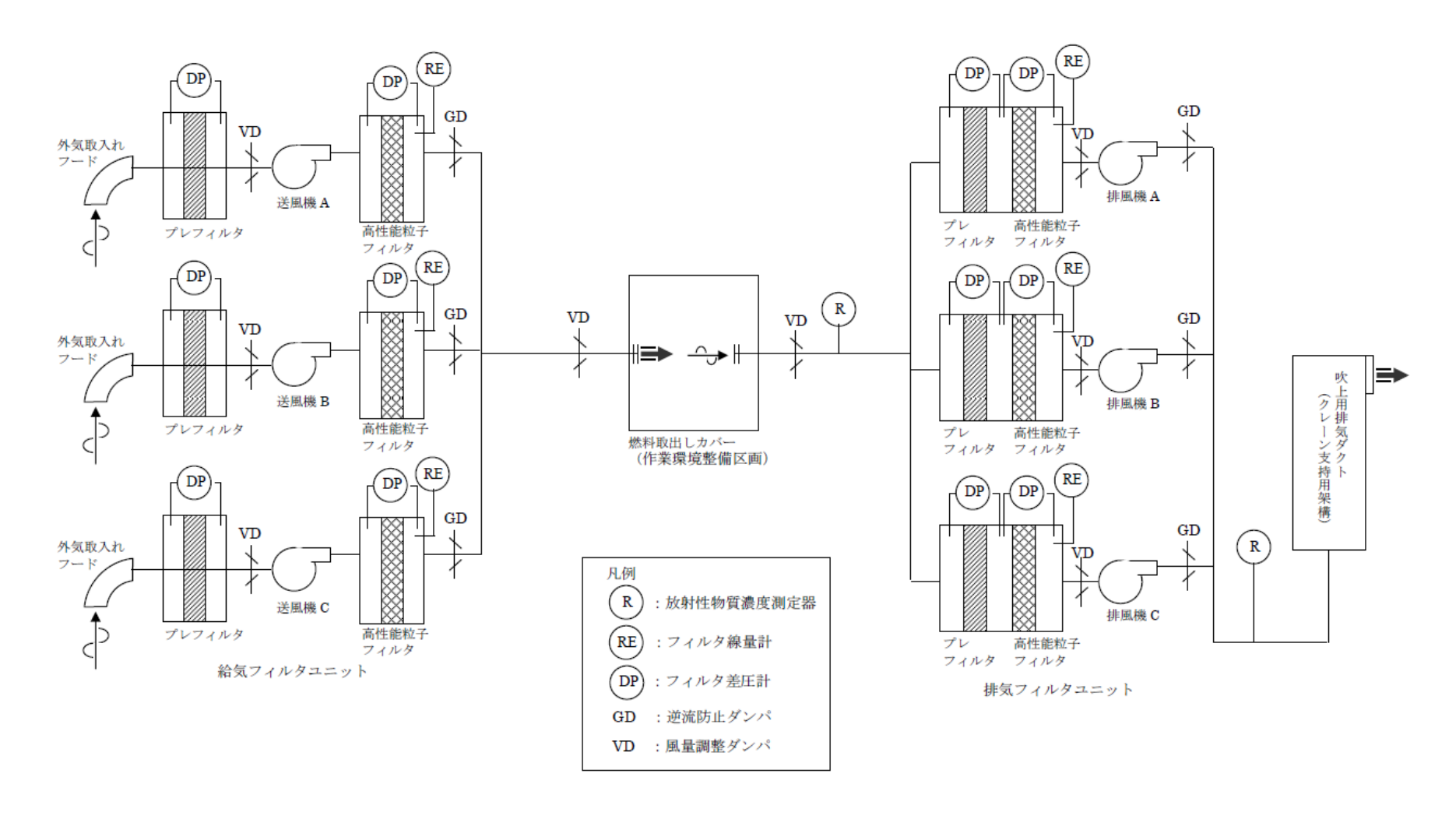
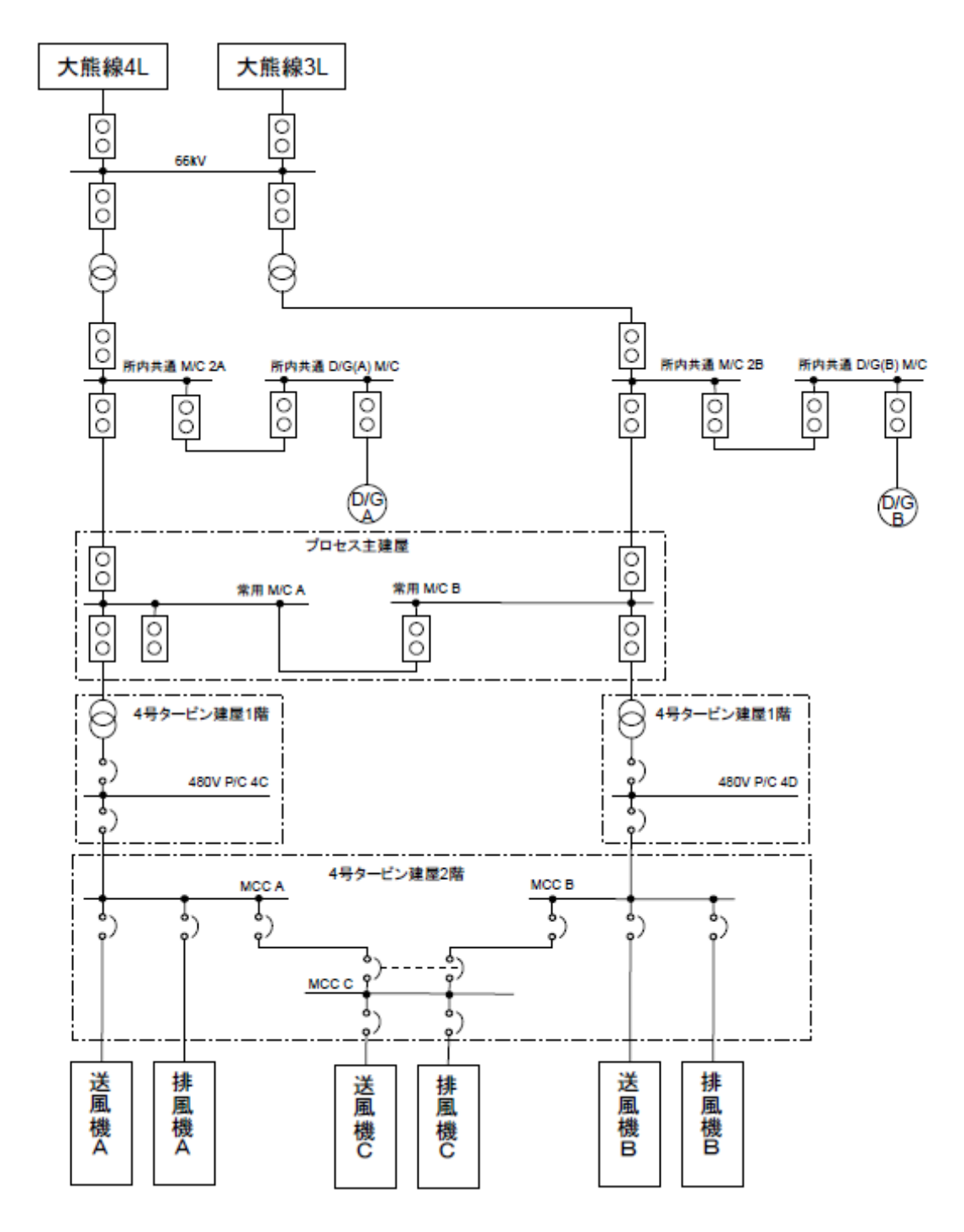


図 2-4 燃料取り出し用カバー換気設備系統図



※今後の設計の進捗により変更の可能性有り。

図 2-5 燃料取り出し用カバー換気設備電源系統図

- 3. 第3号機放射性物質の飛散・拡散を防止するための機能について
- 3.1 燃料取り出し用カバーについて

### 3.1.1 概要

燃料取り出し用カバーは、作業に支障が生じることのないよう作業に必要な範囲をカバーし、風雨を遮る構造とする。また、使用済燃料プール内がれき撤去時の放射性物質の舞い上がり、燃料取り出し作業に伴い建屋等に付着した放射性物質の舞い上がりによる大気放出を抑制するため、燃料取り出し用カバーは隙間を低減した構造とするとともに、換気設備を設け、排気はフィルタユニットを通じて大気へ放出する。また、現在、発電所敷地内でよう素(I-131)は検出されていないことから、フィルタユニットは、発電所敷地内等で検出されているセシウム(Cs-134,137)の大気への放出が低減できる設計とする。

### 3.1.2 燃料取り出し用カバー

燃料取り出し用カバーの大きさは、約19m(南北)×約57m(東西)×約54m(地上高)である。主体構造は鉄骨造であり、ドーム状の屋根を外装材で覆い、風雨を遮る構造とする。(図3-1 燃料取り出し用カバー概略図参照)

#### 3.1.3 換気設備

#### 3.1.3.1 系統構成

換気設備は、燃料取り出し用カバー内気体を吸引し、排気ダクトを経由して燃料取り出し用カバーの外部に設置した排気フィルタユニットへ導く。排気フィルタユニットは、プレフィルタ、高性能粒子フィルタ等で構成され、各フィルタで放射性物質を捕集した後の気体を吹上用排気ダクトから大気へ放出する。

排気フィルタユニットは、約  $10,000 \text{m}^3/\text{h}$  のユニットを 4 系列 (うち 1 系列は予備)、排風機は、換気風量約  $30,000 \text{m}^3/\text{h}$  のユニットを 2 系列 (うち 1 系列は予備) 設置し、約  $30,000 \text{m}^3/\text{h}$  の 換気風量で運転する。

また,燃料取り出し用カバー内の放射性物質や吹上用排気ダクトから大気に放出される放射性物質の濃度を測定するため,放射性物質濃度測定器を排気フィルタユニットの出入口に設置する。(図 3-2 燃料取り出し用カバー換気設備概略構成図,図 3-3 燃料取り出し用カバー換気設備配置図,図 3-4 燃料取り出し用カバー換気設備系統図参照)

燃料取り出し用カバー換気設備の電源は、異なる系統の所内高圧母線から受電可能 な構成とする。(図 3-5 燃料取り出し用カバー換気設備電源系統図参照)

表 3-1 換気設備構成

設備名	構成・配置等	
排気吸込口	配置:カバー内の天井部に設置	
排気フィルタユニット	配置:原子炉建屋西側の屋外に4系列(うち予備1系列)設置構成:プレフィルタ 高性能粒子フィルタ(効率97%(粒径0.3μm)以上) フィルタ線量計(高性能粒子フィルタに設置) フィルタ差圧計(プレフィルタ,高性能粒子フィルタに 設置)	
排風機	配置:原子炉建屋西側の屋外に2系列(うち予備1系列)設置	
吹上用排気ダクト 配置:排気フィルタユニットの下流側に設置		
放射性物質濃度測定器	測定対象:カバー内及び大気放出前の放射性物質濃度 仕様 :検出器種類 シンチレーション検出器 計測範囲 10 <sup>-1</sup> ~10 <sup>5</sup> s <sup>-1</sup> 台数 排気フィルタユニット入口 1台 排気フィルタユニット出口 2台	

# 3.1.3.2 換気風量について

燃料取り出し用カバー内の環境は、燃料取扱機、クレーン及び電源盤の設備保護のため 40℃以下(設計値)となる換気設備を設けるものとする。

燃料取り出し用カバー内の熱負荷を除熱するのに必要な換気風量は、下式により求められる風量に余裕をみた約30,000m³/hとする。

 $Q=q/(Cp \cdot \rho \cdot (t1-t2) \cdot 1/3600)$ 

Q:換気(排気)風量 (m³/h)

q:設計用熱負荷,約60 (kW)

(機器発熱,日射,使用済燃料プールからの熱,原子炉からの熱)※1

Cp:定圧比熱, 1.004652 (kJ/kg・℃)

 $\rho$ : 密度, 1.2 (kg/m<sup>3</sup>)

t1:カバー内温度, 40 (℃)

t2:設計用外気温度, 28.5 (℃) <sup>\*\*2</sup>

※1 約10%の余裕を含む

※2 小名浜気象台で観測された 1972 年~1976 年の 5 年間の観測データにおける累積出現率が 99% となる最高温度

#### 3.1.3.3 運転管理および保守管理

#### (1) 運転管理

排風機の起動/停止操作は、屋外地上部に設置したコンテナハウス内の現場制御盤で行うものとし、故障等により排風機が停止した場合には、予備機が自動起動する。現場制御盤では、排風機の運転状態(起動停止状態)、放射性物質濃度が表示され、それらの異常を検知した場合には、警報を発する。また、免震重要棟でも同様に、排風機の運転状態(起動停止状態)、放射性物質濃度が表示され、それらの情報に異常を検知した場合は、警報を発するシステムとなっている。

放射性物質濃度測定器を排気フィルタユニットの出入口に設置し、燃料取り出し用 カバー内から大気に放出される放射性物質濃度を測定する。

#### (2) 保守管理

換気設備については安全上重要な設備ではなく、運転継続性の要求が高くない。保守作業に伴う被ばくを極力低減する観点から、異常の兆候が確認された場合に対応する。なお、排気フィルタユニット出口の放射性物質濃度測定器については、外部への放射性物質放出抑制の監視の観点から多重化し、機器の単一故障により機能が喪失した場合でも測定可能な設備構成とする。

また、フィルタについては、差圧計(プレフィルタ、高性能粒子フィルタに設置) 又は線量計(高性能粒子フィルタに設置)の値を確認しながら、必要な時期に交換する。

### 3.1.3.4 異常時の措置

燃料取り出し用カバー換気設備が停止しても、セシウムの使用済燃料プールから大気への移行割合は、 $1\times10^{-3}\sim1\times10^{-5}$ %程度であり、第 3 号機から放出される放射性物質は小さいと評価されている(II.2.3 使用済燃料プール設備参照)ことから、放射性物質の異常な放出とならないと考えられる。また、第 3 号機の使用済燃料プール水における放射性物質濃度は、 $Cs-134:2.4\times10^{3}$ Bq/cm³、 $Cs-137:3.9\times10^{3}$ Bq/cm³(平成 24 年 9 月 24 日に使用済燃料プールより採取した水の分析結果)である。

なお、燃料取り出し用カバー換気設備は、機器の単一故障が発生した場合を想定して、送風機、排風機及び電源の多重化を実施しており、切替等により機能喪失後の速やかな運転の再開を可能とする。また、排気フィルタユニット出口の放射性物質濃度測定器については、2台の連続運転とし、1台故障時においても放射性物質濃度を計測可能とする。

- 3.2 放射性物質の飛散・拡散を防止するための機能について
- 3.2.1 排気フィルタによる低減効果

燃料取り出し用カバー内から排気フィルタユニットを通じて大気へ放出される放射性物質は、高性能粒子フィルタ(効率 97% (粒径  $0.3 \mu m$ )以上)により低減される。

セシウムの使用済燃料プールから大気への移行割合は、 $1\times10^{-3}\sim1\times10^{-5}$ %程度であり、第3号機から放出される放射性物質は小さいと評価されている。(II.2.3使用済燃料プール設備参照)

表 3-2 に第 3 号機原子炉建屋上部で測定された放射性物質濃度を示す。仮に、燃料取り出し用カバー内が表 3-2 に示す放射性物質濃度であった場合、排気フィルタを通過して大気へ放出される放射性物質濃度は表 3-3 の通りとなる。

表 3-2 第 3 号機原子炉建屋上部の放射性物質濃度 (Bq/cm³)

核種	原子炉上北東側(横方向)*
Cs-134	約 5.2×10 <sup>-4</sup>
Cs-137	約 8.0×10 <sup>-4</sup>

※平成24年9月6日測定

### $Q=C \cdot (1-f)$

Q :フィルタ通過後の放射性物質濃度 (Bq/cm³)

C : カバー内に吸い込まれる外気の放射性物質濃度 (Bq/cm³) (表 3-2 参照)

f:フィルタ効率(高性能粒子フィルタ 97%)

表 3-3 フィルタ通過後の放射性物質濃度

核種	濃度(Bq/cm³)
Cs-134	約 1.6×10 <sup>-5</sup>
Cs-137	約 2.4×10 <sup>-5</sup>

以上の結果,表 3-2 及び表 3-3 より,フィルタ通過後の放射性物質濃度は約 1/30 となる。

### 3.2.2 敷地境界線量

#### 3.2.2.1 評価条件

(1) 燃料取り出し用カバー内が、表 3-2 に示す第3号機オペレーティングフロア上の放射性物質濃度であった場合に排気フィルタユニットを介して大気に放出されるものと仮定する。

- (2) 減衰は考慮しない。
- (3) 地上放出と仮定する。
- (4) 燃料取り出し用カバーの供用期間である5年間(想定)に放出される放射性物質が地表に沈着し蓄積した時点のγ線に起因する実効線量と仮定し評価する。
- (5) 大気拡散の評価に用いる気象条件は、福島第一原子力発電所原子炉設置変更許可申請 書で採用したものと同じ気象データを使用する。

### 3.2.2.2 評価方法

燃料取り出し用カバー排気フィルタユニットから放出される放射性物質による一般 公衆の実効線量は、以下の被ばく経路について年間実効線量(mSv/年)を評価する。

- (1)放射性雲からのγ線に起因する実効線量
- (2)吸入摂取による実効線量
- (3)地面に沈着した放射性物質からのγ線に起因する実効線量

# 3.2.2.3 放射性雲からのγ線に起因する実効線量

放射性物質の $\gamma$ 線に起因する実効線量については、「発電用軽水型原子炉施設周辺の線量目標値に対する評価指針」の放射性雲からの $\gamma$ 線による実効線量の評価の評価式を用いて評価する。

(1) 計算地点における空気カーマ率の計算

計算地点(x, y, 0)における空気カーマ率は、次式により計算する。

$$D = K_1 \cdot E \cdot \mu_{en} \int_0^\infty \int_{-\infty}^\infty \int_0^\infty \frac{e^{-\mu \cdot r}}{4\pi r^2} \cdot B(\mu r) \cdot \chi(x', y', z') dx' dy' dz' \cdot \cdot \cdot 3-1$$

ここで, D : 計算地点(x, y, 0)における空気カーマ率 (μ Gy/h)

 $extbf{K}_1$  : 空気カーマ率への換算係数( $4.46 imes 10^{-4} rac{ ext{dis} \cdot ext{m}^3 \cdot \mu \text{ Gy}}{ ext{MeV} \cdot ext{Bq} \cdot ext{h}}$ )

E : γ線の実効エネルギ (0.5MeV/dis)

 $\mu_{\text{on}}$ : 空気に対する  $\gamma$  線の線エネルギ吸収係数  $(m^{-1})$ 

μ : 空気に対する γ 線の線減衰係数 (m<sup>-1</sup>)

 $\mathbf{r}$  : 放射性雲中の点 $(\mathbf{x}',\mathbf{v}',\mathbf{z}')$ から計算地点 $(\mathbf{x},\mathbf{v},\mathbf{0})$  までの距離 $(\mathbf{m})$ 

B(μr):空気に対するγ線の再生係数

$$B(\mu r) = 1 + \alpha (\mu r) + \beta (\mu r)^{2} + \gamma (\mu r)^{3}$$

ただし、 $\mu_{en}$ ,  $\mu$ ,  $\alpha$ ,  $\beta$ ,  $\gamma$  については、0.5 MeV の $\gamma$  線に対する値を用い、以下のとおりとする。

$$\mu_{\text{en}} = 3.84 \times 10^{-3} \, (\text{m}^{-1}), \quad \mu = 1.05 \times 10^{-2} \, (\text{m}^{-1})$$
 $\alpha = 1.000, \quad \beta = 0.4492, \quad \gamma = 0.0038$ 

 $\chi(x',y',z')$ : 放射性雲中の点(x',y',z')における濃度 (Bq/ $n^3$ ) なお,  $\chi(x',y',z')$ は, 次式により計算する。

$$\chi(\vec{x}, \vec{y}, \vec{z}) = \frac{Q}{2\pi \cdot \sigma_{y} \cdot \sigma_{z} \cdot U} \cdot e^{-\frac{\vec{y}^{2}}{2\sigma_{y}^{2}}} \cdot \left\{ e^{-\frac{(\vec{z} - H)^{2}}{2\sigma_{z}^{2}}} + e^{-\frac{(\vec{z} + H)^{2}}{2\sigma_{z}^{2}}} \right\} \cdot 3-2$$

ここで, Q : 放射性物質の放出率 (Bg/s)

U:放出源高さを代表する風速 (m/s)

H : 放出源の有効高さ (m)

σ<sub>ν</sub>:濃度分布の y'方向の拡がりのパラメータ (m)

 $\sigma_7$ : 濃度分布の z'方向の拡がりのパラメータ (m)

このとき,有効高さと同じ高度 (z'=H) の軸上で放射性物質濃度が最も濃くなる。被ばく評価地点は地上 (z'=0) であるため、地上放散が最も厳しい評価を与えることになる。

### (2) 実効線量の計算

計算地点における年間の実効線量は、計算地点を含む方位に向かう放射性雲の $\gamma$ 線からの空気カーマを合計して、次式により計算する。

$$H_{\nu} = K_2 \cdot f_h \cdot f_0 \cdot \overline{D}_L \qquad \qquad \cdot \cdot \cdot \cdot \cdot \cdot \qquad 3-3$$

ここで、  $H_{\gamma}$ : 放射性物質の  $\gamma$  線に起因する年間の実効線量 ( $\mu$  Sv/y)

K。: 空気カーマから実効線量への換算係数 (0.8 μ Sv/μ Gy)

f<sub>h</sub>:家屋の遮へい係数(1.0)

f<sub>0</sub> :居住係数 (1.0)

D<sub>1</sub>:計算地点を含む方位(L)に向かう放射性雲による年間平均のγ線

による空気カーマ(μ Gy/y)。

# 3.2.2.4 吸入摂取による実効線量

吸入摂取による実効線量については、「発電用軽水型原子炉施設周辺の線量目標値に 対する評価指針」の吸入摂取による実効線量の評価の評価式を用いて評価する。

### (1) 放射性物質の年平均地表空気中濃度の計算

計算地点における年平均地表空気中濃度 $_{\chi}^{-}$ は、3-2 式を用い、隣接方位からの寄与も考慮して、次式により計算する。

ここで, j : 大気安定度 (A~F)

L : 計算地点を含む方位

#### (2) 線量の計算

放射性物質の呼吸による実効線量は、次式により計算する。

$$A_{Ii} = M_a \cdot \overline{\chi}_i \cdot \cdots \cdot \cdots \cdot \cdots \cdot \cdots \cdot \cdots \cdot 3-6$$

ここで, H<sub>1</sub> : 吸入摂取による年間の実効線量 (μ Sv/y)

365 : 年間日数への換算係数 (d/y)

K<sub>1i</sub> : 核種 i の吸入摂取による成人実効線量換算係数 (μ Sv/Bq)

A<sub>Ti</sub> : 核種 i の吸入による摂取率 (Bq/d)

M<sub>a</sub> :人間の呼吸率 (m<sup>3</sup>/d)

(成人の1日平均の呼吸率: 22.2m³/d を使用)

〒i :核種 i の年平均地表空気中濃度 (Bq/m³)

表 3-4 吸入摂取による成人の実効線量換算係数 (μ Sv/Bq)

核種	Cs-134	Cs-137
$K_{Ii}$	$2.0 \times 10^{-2}$	$3.9 \times 10^{-2}$

## 3.2.2.5 地面に沈着した放射性物質からの y 線に起因する実効線量

地面に沈着した放射性物質からのγ線に起因する実効線量については、「発電用軽水型原子炉施設の安全審査における一般公衆の線量評価について」の地面に沈着した放射性物質濃度を計算し、放射性物質濃度からの実効線量への換算係数を用いて評価する。

(1) 放射性物質の年平均地上空気中濃度の計算

計算地点における年平均地上空気中濃度χは、3-4式により計算する。

# (2) 線量の計算

地面に沈着した放射性物質からのγ線に起因する実効線量は、次式により計算する。

ここで, H<sub>c</sub>:地面に沈着した放射性物質からのγ線に起因する

年間の実効線量 (μ Sv/y)

 $K_{Gi}$  : 核種 i の地表沈着による外部被ばく線量換算係数  $(\frac{\mu~Sv/y}{Bq/m^2})$ 

S<sub>0i</sub> : 核種 i の地表濃度 (Bq/m²)

χ<sub>i</sub> :核種 i の年平均地表空気中濃度 (Bq/m³)

V<sub>g</sub> : 沈着速度 (0.01m/s)

 $\lambda_i$ :核種 i の物理的減衰係数  $(s^{-1})$ 

T。: 放射性物質の放出期間(s)(カバー供用期間の5年を想定)

 $f_1$ : 沈着した放射性物質のうち残存する割合(保守的に1を用いる)

表 3-5 放射性物質濃度から実効線量への換算係数 ((Sv/s)/(Bq/m²))

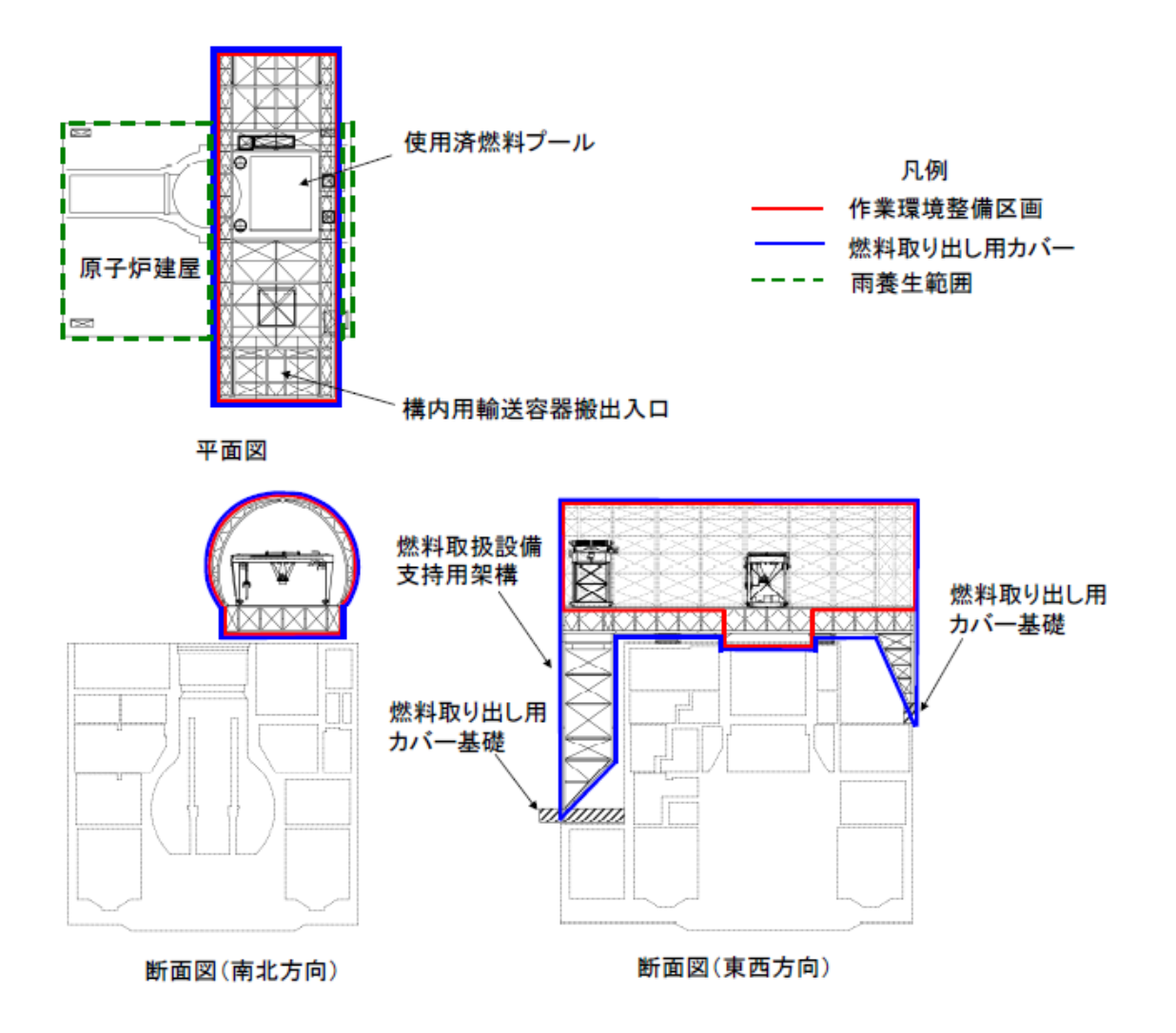
核種	Cs-134	Cs-137
$K_{Gi}$	1. $5 \times 10^{-15}$	5. $8 \times 10^{-16}$

## 3.2.2.6 評価結果

表 3-3 に示す濃度の放射性物質の放出が燃料取り出し用カバーの供用期間である 5 年間(想定)続くと仮定して算出した結果,年間被ばく線量は敷地境界で約 0.015mSv/年であり,法令の濃度限度 1mSv/年に比べても十分低いと評価される。(表 3-6 参照)また,「III.3.2 放射性廃棄物等の管理に関する補足説明」での評価(約 0.03mSv/年)に比べても低いと評価される。

表 3-6 燃料取り出し用カバー排気フィルタユニットからの 放射性物質の放出による一般公衆の実効線量 (mSv/年)

評価項目			<b>♦</b>
放射性雲 吸入摂取 地表沈着			合計
約 4.5×10 <sup>-7</sup>	約 1. 3×10 <sup>-4</sup>	約 1.5×10 <sup>-2</sup>	約 1.5×10 <sup>-2</sup>



## 【燃料取り出し用カバー】

- ・ 作業環境整備区画を構成・支持する架構及び附属設備を指す。
- ・ 燃料取り出し用カバーのうち,作業環境整備区画は外装材等により区画し,換気 対象範囲とする。

## 【雨養生範囲】

- ・ 燃料取り出し用カバー以外のオペレーティングフロアエリアは雨水対策を施す。
- ・ 換気対象範囲外とする。

図 3-1 燃料取り出し用カバー概略図

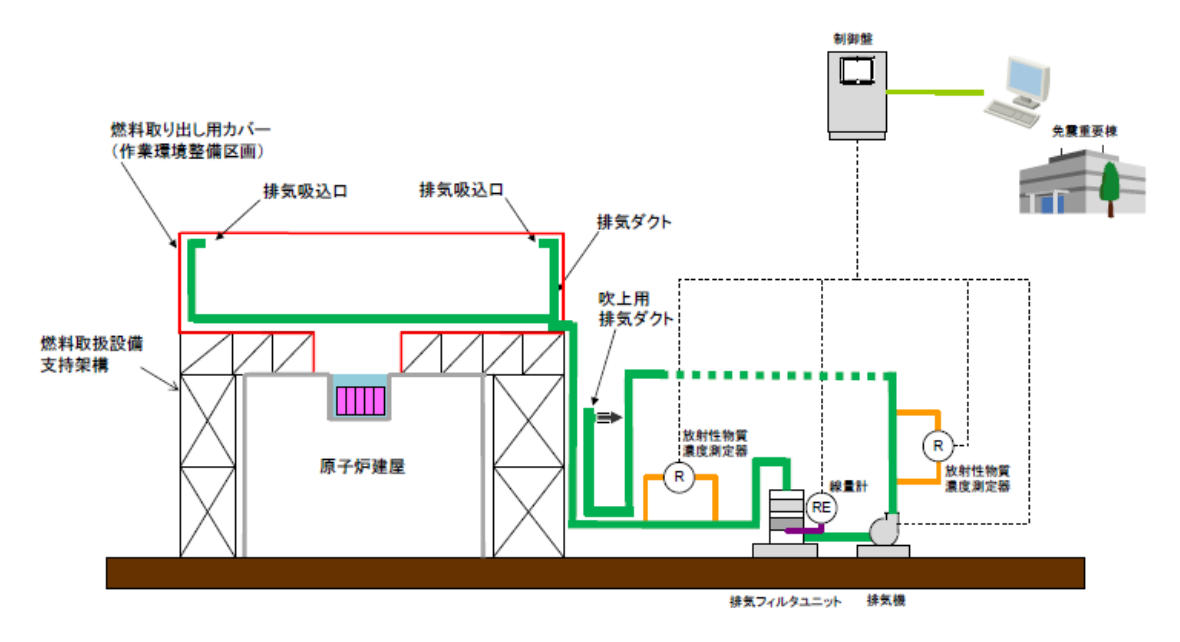


図 3-2 燃料取り出し用カバー換気設備概略構成図

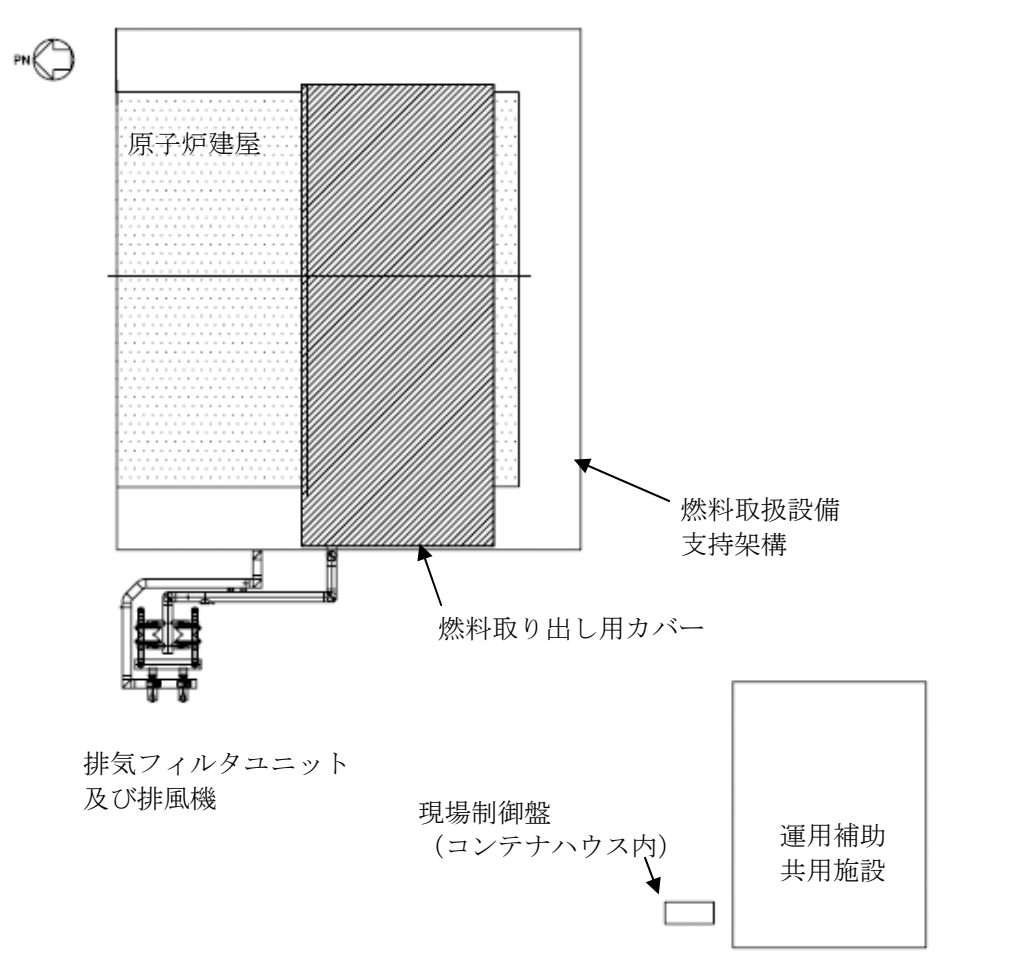


図 3-3 燃料取り出し用カバー換気設備配置図

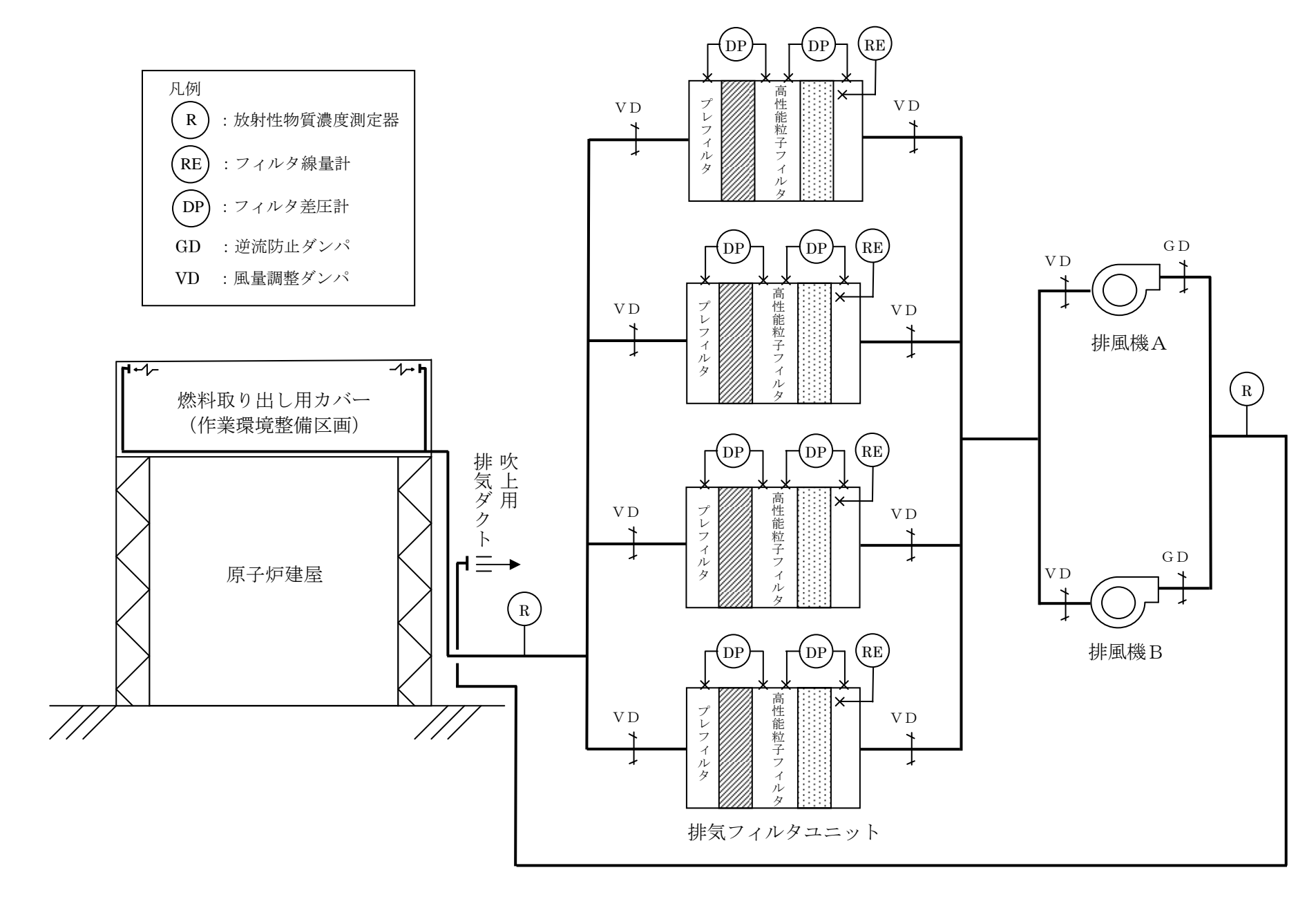
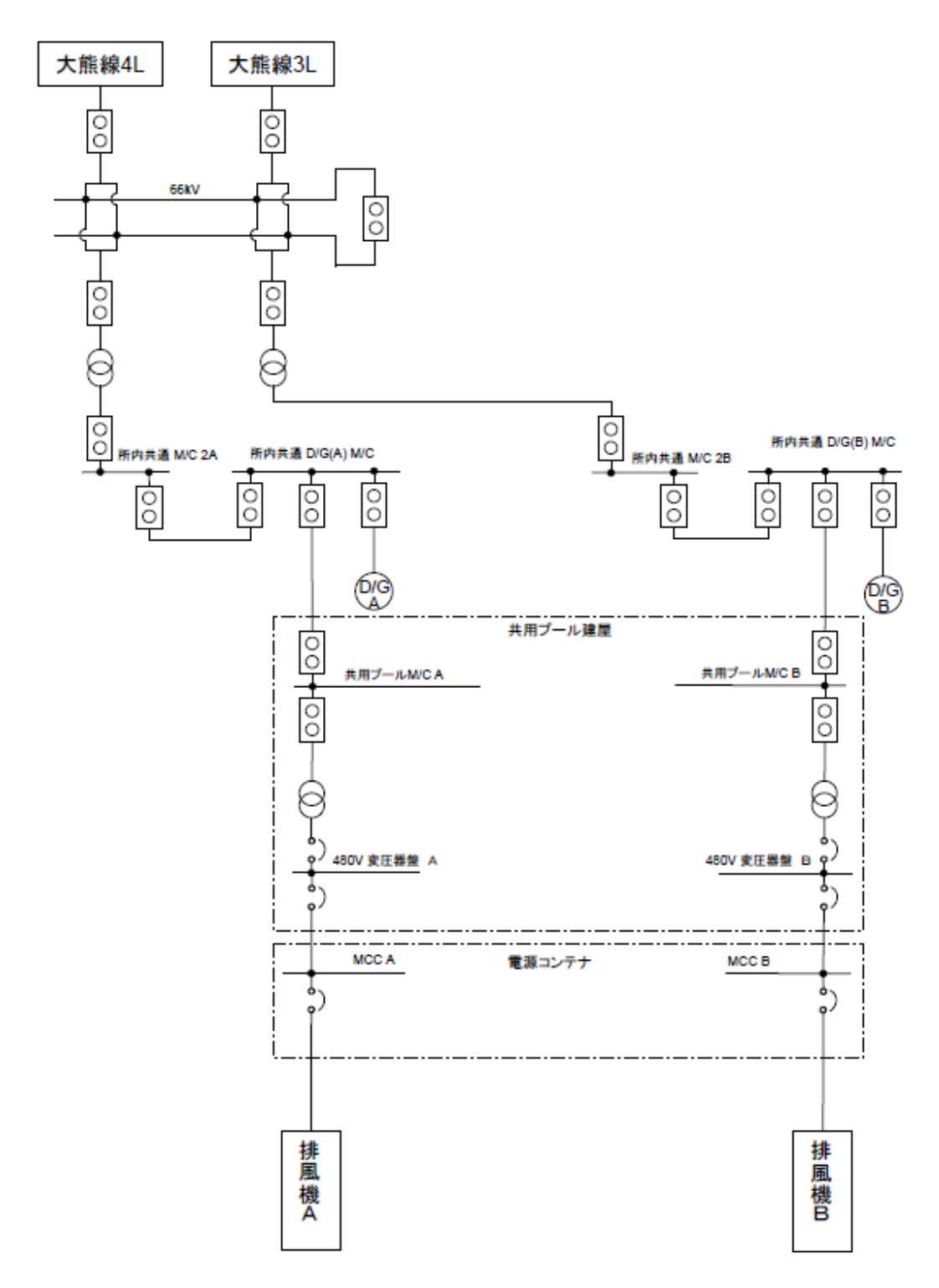


図 3-4 燃料取り出し用カバー換気設備系統図



※今後の設計の進捗により変更の可能性有り。

図 3-5 燃料取り出し用カバー換気設備電源系統図

# 4. 別添

別添-1 4号機燃料取り出し用カバー換気設備に係る確認事項

# 4号機燃料取り出し用カバー換気設備に係る確認事項

4号機燃料取り出し用カバー換気設備に係る主要な確認事項を表-1に示す。

表-1 4号機燃料取り出し用カバー換気設備に係る確認事項

確認事項	確認項目		確認内容	判定基準	
放出抑制	風量確認 機能確認 フィルタ 性能確認	風量確認	送風機・排風機の換気風量を確認する。	送風機・排風機が1台当たり 25,000m³/h以上であること。 送風機・排風機が定格運転(2 台運転1台予備)において, 50,000m³/h以上であること。	
沙人口34小山3		フィルタの放射性物質の除去効率を確認する。	放射性物質の除去効率が 97%以 上であること。		
	構造確認	据付確認	放射性物質濃度の測定箇所を確 認する。	放射性物質濃度測定箇所が実施 計画通りであること。	
監視	機能確認	監視機能確認	監視設備により運転状態等が監 視できることを確認する。	送風機・排風機の運転状態,放射性物質濃度が免震重要棟内の モニタに表示され監視可能であること。	

### がれき撤去等の手順に関する説明書

#### 1 現状と今後の作業

福島第一原子力発電所第1,第3,第4号機は天井や外壁が損傷して建屋上部に積み重なっている状況にある。第2号機は東側外壁のブローアウトパネルが開放されているものの外見上の大きな損傷は確認されていない。

第1~第4号機において,使用済燃料プール内燃料の取り出しを計画しているが,第1,第3, 第4号機については使用済燃料プール内燃料の取り出しに先立ち,原子炉建屋上部において,が れき撤去等が必要である。

がれき撤去等の作業においては、がれき等を使用済燃料プールに落下させ波及的影響を与えないよう対策を講じる必要がある。本説明書は原子炉建屋上部のがれき撤去等の手順を示すものである。

### 2 がれき撤去等の監理体制

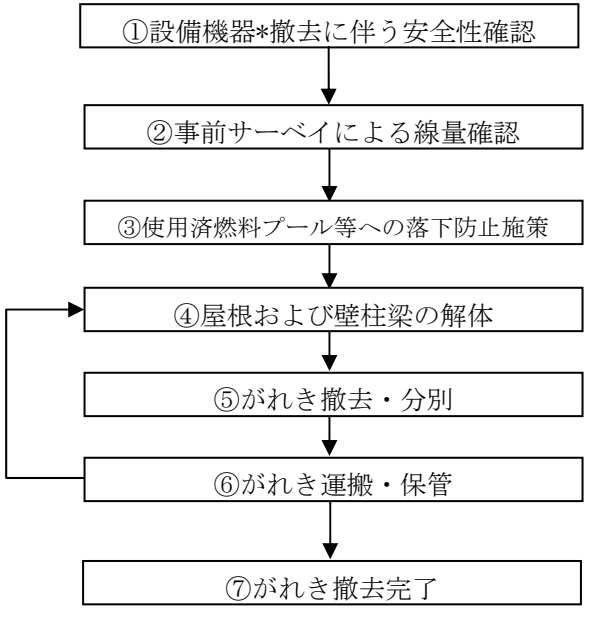
協力会社ががれき撤去等の計画を立案し、当社がその計画の確認を行う。また、放射線管理に関わる計画は、協力会社が立案し、当社がその計画の確認を行う。確認された計画に基づき協力会社が作業を行い、当社が監理を行う。なお、不測事態が発生した場合、協力会社から当社監理員に連絡を行い、当社および協力会社を交え計画の再検討等今後の対応について協議する。

## 3 がれき撤去等の手順

#### (1) がれき撤去フロー

オペレーティングフロア上のがれきを安全に撤去するために、図 1 に示すがれき撤去フローに 従い、作業計画を立案する。なお、オペレーティングフロア上のがれき撤去は、作業状況につい て常時監視した状況で実施する。監視にあたり以下の点に注意し、異常があった場合は直ちに作 業を中止し、関係者へ報告する。

- ・使用済燃料プールに異常が無いか
- ・重機による作業区画内に人がいないか
- ・飛散物、落下物、建屋の異常等はないか



\*がれき撤去等の工事において支障となる 設備機器等

図1 がれき撤去フロー

また,がれき撤去フローにおける①設備機器撤去に伴う安全性確認,③使用済燃料プール等への落下防止施策については、次に具体的な内容を示す。

#### a. ①設備機器撤去に伴う安全性確認

がれき撤去工程においては、設備機器の撤去作業を伴うが、安全性確保の為、当社および協力 会社において十分な調査・計画立案が必要である。設備機器の撤去に関するフローを図2に示す。

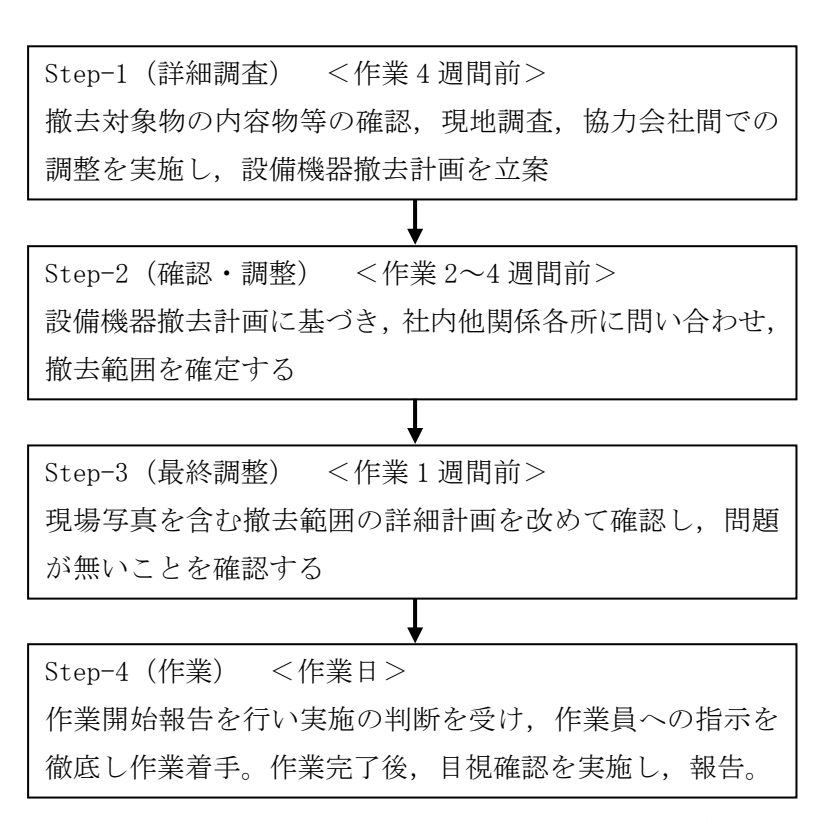


図 2 設備機器撤去に伴う詳細調査・確認・調整業務フロー Ⅱ-2-11-添 3-2-2

## b. ③使用済燃料プール等への落下防止施策

使用済燃料プールにがれきが落下し、使用済燃料貯蔵ラックや使用済燃料プールが損傷することを防止するため、がれき撤去に先立ち、がれきの状況を写真の分析や模型等により把握し作業手順を検討する。

がれき解体用重機には、下部へのがれき落下防止策を施した吊り治具等を使用し、使用済燃料プール外のがれき撤去を行う際には、使用済燃料プール上を通過しないように手順を策定する。 また、使用済燃料プール内のがれき撤去を行う際には、使用済燃料貯蔵ラック上を通過しないように手順を策定し、使用済燃料プール内であって使用済燃料貯蔵ラック上に位置するがれきについては、極力使用済燃料貯蔵ラック上の移動距離が短くなるように手順を策定する。

プール内のがれき撤去にあたっては、事前に燃料、ラックとがれきとの干渉について確認する。 干渉が想定される場合は、燃料及びラックの健全性並びに作業員の安全を確保するためのがれき 撤去の方法について検討し、必要に応じモックアップ等により安全性の確認を実施する。

燃料取扱機,燃料取り出し用カバーの設置等のオペレーティングフロア上で行う作業にあたっては、極力使用済燃料プール上で作業を行わないように手順を策定する。

なお、必要に応じて使用済燃料プールの表面養生等の対策を施す。

#### (2) がれき撤去等における留意事項

### a. 重機によるがれき撤去

- ① 安全対策:作業範囲周辺の安全性に配慮し、がれきの落下防止及びがれき落下に伴う設備機器・重機損傷の防止を図る。
- ② がれき撤去:使用済燃料プールへがれきを落下させないよう十分に注意し、作業を行う。 万一がれきが使用済燃料プールに落下した場合には、作業を一時中断し、異常のないこと を確認した後、作業を再開する。
- ③ がれきの分別:がれきは、解体重機でダンプに積み込める大きさに小割し、分別する。
- ④ がれきの運搬:原子炉建屋周辺ヤードで、遮蔽措置を施したダンプ等へがれき類を積み替え、指定された集積場所へ運搬する。

#### b. がれきの仮置き及び分別

がれきは、原子炉建屋周辺ヤード内に仮置き場所を設置し、分別集積する。仮置きしたがれき は線量を計測し、高線量の場合は作業員が近寄らないように区画及び表示を行う。

がれきには粉塵などの飛散防止を目的とした飛散防止剤の散布等を行い、ダンプにて搬出する。 なお、搬出するがれきについては、放射線量に応じて分別し構内に一時保管する。

#### c. 作業員の安全対策

作業開始前は、事前サーベイによる線量確認を実施し、高線量箇所の注意喚起を行うなど作業員の被ばく量低減に努める。また、事前サーベイによる線量確認状況に応じエリアモニタを設置し、線量の目視確認が可能な状況とする。なお、緊急時(津波警報発生時の避難等)にはサイレン等により警報を発報し、作業員に避難情報を提供する。

### d. 既存建屋への影響評価

がれき撤去に伴い既存建屋に作用する荷重は低下傾向を示すが、がれきの飛散防止のための養生材や解体重機の積載などの影響により作用荷重が増加する場合も考えられる。がれき撤去により大幅な荷重増減が生じる場合には、既存建屋が局部的に荷重を負担することのないよう、配慮して計画を行う。

なお、がれき撤去が進むに伴い建屋の損傷状況が確認できた場合には、必要に応じて既存建屋 への影響を再度評価することとする。

## e. 燃料取扱設備, 燃料取り出し用カバー等の設置

- ① 安全対策:作業範囲周辺の安全性に配慮し、設置設備の落下防止及び設備落下に伴う設備機器・重機損傷の防止を図る。
- ② 設備設置:設備設置は極力使用済燃料プール上で行わないこととする。やむを得ず使用済 燃料プール上での作業を行う場合は、使用済燃料プールへ設置設備を落下させないよう十 分に注意し、作業を行う。

### 移送操作中の燃料集合体の落下

## 1. 原因

第3号機及び第4号機使用済燃料プール内における燃料の移送操作中に,何らかの原因で燃料集合体が落下して破損し、放射性物質が環境に放出される。

#### 2. 事故防止対策

燃料集合体の落下を防止するため、次のような設計及び運転管理上の対策を講じる。

- (1) 燃料取扱機は、燃料集合体の総重量を十分上回る重量に耐えることのできる強度に設計する。
- (2) 燃料把握機のワイヤを二重化する。
- (3) 燃料把握機は、圧縮空気等の駆動源が喪失した場合、燃料集合体が外れないフェイル・セイフ設計とする。
- (4) 燃料把握機が燃料集合体を確実につかんでいない場合には、吊上げができないようなインターロックを設ける。
- (5) 運転要領を十分整備し、よく訓練された監督者の直接指揮下で燃料取扱作業を行う 運転管理体制をとる。
- (6) 使用済燃料プールに貯蔵されている燃料集合体について,移送前に燃料集合体の機械的健全性を確認する。
- (7) 燃料集合体の機械的健全性確認において、破損が確認された燃料集合体を移送する場合には、破損形態に応じた適切な取扱手法及び収納方法により、放射性物質の飛散・拡散を防止する。
- 3. 第4号機核分裂生成物の放出量及び線量の評価
  - 3.1. 核分裂生成物の放出量
    - (1) 破損燃料棒の評価

本事故時に破損する燃料棒の本数は、次の仮定に基づいて評価する。

- a. 燃料取り出し作業に際し、使用済燃料貯蔵ラックの上部で取扱中の燃料集合体 1 体が使用済燃料貯蔵ラックに落下するものと仮定する。
- b. 落下による燃料集合体の破損体数は、炉心での落下を想定した設置許可申請書の 評価と同様の2.3 体とする。

なお、炉心での落下高さ 10m に対し、使用済燃料プールでの落下高さは使用済燃料貯蔵ラックへの落下及び構内用輸送容器への落下共に 1m 以下であり、装荷・貯蔵されている燃料集合体の配置密度も炉心と比較して使用済燃料プール及び構内用輸

送容器の方が低いため、使用済燃料プールでの落下を想定した場合の破損体数が、 炉心での落下を想定した場合の破損体数を上回ることはない。

### (2) 評価条件

事故時の核分裂生成物の移行と放出量の評価は、次の仮定に基づいて行う。

- a. 燃料ギャップ内の核分裂生成物の量は,原子炉が定格出力の約 105% (熱出力 2,483MW) で十分長時間 (2,000 日) 運転された取替炉心のサイクル末期の最大出力 燃料集合体について行う。
- b. 燃料取り出し作業は、原子炉停止後365日冷却された後に行われるものとし、原子炉停止後の放射能の減衰は考えるものとする。

なお,第4号機の発電停止は2010年11月30日であり,使用済燃料プールからの燃料取り出しはステップ2終了から2年以内の2013年11月頃の開始を目標としている。この場合の冷却日数は約1100日となる。

- c. 破損した燃料棒のギャップ内核分裂生成物の全量が水中に放出されるものとする。破損した燃料棒のギャップ内核分裂生成物の存在量については、半減期の長い 核種の放出が支配的であることを考えて、破損した燃料棒内の全蓄積量に対して希 ガス及びよう素それぞれ30%とする。
- d. 放出された希ガスは、全量が水中から燃料取り出し用カバーの空気中へ移行する ものとする。
- e. 燃料取り出し作業開始時には、燃料及び冷却材温度は低下しているので、放出されたよう素のうち 1%は有機状とし、すべて燃料取り出し用カバー内に移行するものとする。
- f. 水中へ放出された無機よう素の水中での除染係数は500とする。

#### (3) 評価結果

上記の評価条件に基づいて計算した核分裂生成物の大気中への放出量は表 3.1 の通りである。

核分裂生成物	放出量	
希ガス(γ線実効エネルギ 0.5MeV換算値)	∜h ⊑ o∨1ollp	
大気放出量	約 5.0×10 <sup>11</sup> Bq	
よう素(I-131 等価量 <mark>(小児実効)</mark> )大気放出量	約3.3×10 <sup>6</sup> Bq	
よう素(I-131 等価量(成人実効))大気放出量	約 1. 3×10 <sup>7</sup> Bq	

表 3.1 核分裂生成物の大気中への放出量

## 3.2. 線量当量の評価

### (1) 評価の前提

大気中へ放出される核分裂生成物は、地上放出されるものとし、これによる実効線量の計算は、次の仮定に基づいて行う。

a. 敷地境界外の地表空気中濃度は、設置許可申請書添付書類六の「5.5 安全解析に使用する気象条件」に記述される相対濃度に核分裂生成物の全放出量を乗じて求める。

なお、相対濃度( $\chi/Q$ )は設置許可申請書記載の主蒸気管破断(地上放出)の値  $3.4\times10^{-5}$ s/ $m^3$  を適用する。

b. 敷地境界外の希ガスによるγ線空気吸収線量は、設置許可申請書添付書類六の「5.5 安全解析に使用する気象条件」に記述される相対線量に希ガスの全放出量を乗じて求める。

なお、相対線量(D/Q)は設置許可申請書記載の主蒸気管破断(地上放出)の値  $3.4\times10^{-19}$ Gy/Bq を適用する。

## (2) 評価方法

敷地境界外における実効線量は、次に述べる内部被ばくによる実効線量及び外部被 ばく (γ線及びβ線) による実効線量の和として計算する。

よう素の内部被ばくによる実効線量 $H_{I}$  (Sv) は、(3.2-1)式で計算する。

$$H_I = R \cdot H_{\infty} \cdot \chi / Q \cdot Q_I \cdot \dots$$
 (3. 2-1)

R : 呼吸率 (m³/s)

「発電用軽水型原子炉施設の安全評価に関する審査指針」の活動中の呼吸率 (小児:0.31m³/h,成人:1.2m³/h) を秒当たりに換算して用いる。

H∞ :よう素 (I-131) を 1Bq 吸入した場合の実効線量

(I-131, 小児:1.6×10<sup>-7</sup>Sv/Bq, 成人:2.0×10<sup>-8</sup>Sv/Bq)

 $\chi/Q$  :相対濃度  $(s/m^3)$ 

Q<sub>I</sub> : 事故期間中のよう素の大気放出量 (Bq) (I-131 等価量)

希ガスの  $\gamma$  線外部被ばくによる実効線量 $H_{\gamma}$  (Sv) は, (3.2-2)式で計算する。

 $H_{\gamma} = K \cdot D/Q \cdot Q_{\gamma} \cdot \cdots (3.2-2)$   $\Xi \Xi \mathcal{C},$ 

K: 空気吸収線量から実効線量への換算係数 (K=1Sv/Gy)

D/Q: 相対線量 (Gy/Bq)

Q 。: 事故期間中の希ガスの大気放出量 (Bq)

(γ線実効エネルギ 0.5MeV 換算値)

希ガスのβ線外部被ばくによる実効線量 $H_g$ (Sv)は、(3.2-3)式で計算する。

χ/Q: 相対濃度 (s/m³)

Q<sub>8</sub>: 事故期間中の希ガスの大気放出量(Bq)

E<sub>β</sub> : β線のエネルギ (MeV) (0.251MeV Kr-85 実効エネルギ)

W<sub>TS</sub>: 皮膚の組織荷重係数は ICRP Publication. 60 の値を用いる。

(0.01)

## (3) 評価結果

上記の評価前提及び方法に基づき敷地境界外の実効線量を評価した結果は表 3.2 の 通りである。

表 3.2 燃料集合体の落下時の実効線量

実効線量 (小児)	実効線量 (成人)
約 7.8×10 <sup>-4</sup> mSv	約7.8×10 <sup>-4</sup> mSv

上記の値から判断して、本事象による周辺の公衆に与える放射線被ばくのリスクは 十分に小さいものと考えられる。

今回評価した実効線量は設置許可申請書での評価 (6.8×10<sup>-2</sup>mSv) と比較して 2 桁以上減少しているが、その原因は、設置許可申請書の評価で排気筒放出であったものが、今回地上放出として評価することによる実効線量の上昇要因があるものの、冷却が進んだことによる希ガス及びよう素の減少効果がそれ以上に大きいことである。

## 3.3. 判断基準への適合性の検討

3.1, 3.2 に示した通り、周辺公衆に対し、著しい放射線被ばくのリスクを与えることはない。

#### 4. 第3号機核分裂生成物の放出量及び線量の評価

- 4.1. 核分裂生成物の放出量
  - (1) 破損燃料棒の評価

本事故時に破損する燃料棒の本数は、次の仮定に基づいて評価する。

- a. 燃料取り出し作業に際し、使用済燃料貯蔵ラックの上部で取扱中の燃料集合体 1 体が使用済燃料貯蔵ラックに落下するものと仮定する。
- b. 落下による燃料集合体の破損体数は、炉心での落下を想定した設置許可申請書の 評価と同様の2.3 体とする。

なお、炉心での落下高さ 10m に対し、使用済燃料プールでの落下高さは使用済燃料貯蔵ラックへの落下及び構内用輸送容器への落下共に 1m 以下であり、装荷・貯蔵されている燃料集合体の配置密度も炉心と比較して使用済燃料プール及び構内用輸送容器の方が低いため、使用済燃料プールでの落下を想定した場合の破損体数が、炉心での落下を想定した場合の破損体数を上回ることはない。

### (2) 評価条件

事故時の核分裂生成物の移行と放出量の評価は、次の仮定に基づいて行う。

- a. 燃料ギャップ内の核分裂生成物の量は,原子炉が定格出力の約 105% (熱出力 2,483MW) で十分長時間 (2,000 日) 運転された取替炉心のサイクル末期の最大出力 燃料集合体について行う。
- b. 燃料取り出し作業は,原子炉停止後365日冷却された後に行われるものとし,原子炉停止後の放射能の減衰は考えるものとする。

なお、第3号機の使用済燃料プールに貯蔵中の使用済燃料は2010年6月18日に発電停止したものであり、使用済燃料プールからの燃料取り出しはステップ2終了から3年程度後の2014年末の開始を目標としている。この間の冷却日数は約1600日となる。

- c. 破損した燃料棒のギャップ内核分裂生成物の全量が水中に放出されるものとする。破損した燃料棒のギャップ内核分裂生成物の存在量については、半減期の長い 核種の放出が支配的であることを考えて、破損した燃料棒内の全蓄積量に対して希 ガス及びよう素それぞれ30%とする。
- d. 放出された希ガスは、全量が水中から燃料取り出し用カバーの空気中へ移行する ものとする。
- e. 燃料取り出し作業開始時には、燃料及び冷却材温度は低下しているので、放出されたよう素のうち 1%は有機状とし、すべて燃料取り出し用カバー内に移行するものとする。
- f. 水中へ放出された無機よう素の水中での除染係数は500とする。
- (3) 評価結果

上記の評価条件に基づいて計算した核分裂生成物の大気中への放出量は表 4.1 の通

りである。

表 4.1 核分裂生成物の大気中への放出量

核分裂生成物	放出量	
希ガス(γ線実効エネルギ 0.5MeV換算値)	約 5. 0×10 <sup>11</sup> Bq	
大気放出量	亦y ∂. U Ҳ 10 <sup></sup> Bq	
よう素(I-131 等価量 <mark>(小児実効)</mark> )大気放出量	約 3.3×10 <sup>6</sup> Bq	
よう素(I-131 等価量(成人実効))大気放出量	約 1. 3×10 <sup>7</sup> Bq	

### 4.2. 線量当量の評価

# (1) 評価の前提

大気中へ放出される核分裂生成物は,地上放出されるものとし,これによる実効線量の計算は,次の仮定に基づいて行う。

a. 敷地境界外の地表空気中濃度は、設置許可申請書添付書類六の「5.5 安全解析に使用する気象条件」に記述される相対濃度に核分裂生成物の全放出量を乗じて求める。

なお、相対濃度( $\chi/Q$ )は設置許可申請書記載の主蒸気管破断(地上放出)の値  $2.6\times10^{-5}$ s/m³ を適用する。

b. 敷地境界外の希ガスによるγ線空気吸収線量は、設置許可申請書添付書類六の「5.5 安全解析に使用する気象条件」に記述される相対線量に希ガスの全放出量を乗じて求める。

なお、相対線量(D/Q)は設置許可申請書記載の主蒸気管破断(地上放出)の値  $3.0\times10^{-19}$  Gy/Bq を適用する。

#### (2) 評価方法

敷地境界外における実効線量は、次に述べる内部被ばくによる実効線量及び外部被ばく  $(\gamma$  線及び  $\beta$  線)による実効線量の和として計算する。

よう素の内部被ばくによる実効線量H<sub>1</sub>(Sv)は,(4.2-1)式で計算する。

 $H_I = R \cdot H_{\infty} \cdot \chi / Q \cdot Q_I \cdot \dots$  (4. 2-1)

R : 呼吸率 (m³/s)

「発電用軽水型原子炉施設の安全評価に関する審査指針」の活動中の呼吸率 (小児:0.31m³/h,成人:1.2m³/h) を秒当たりに換算して用いる。

H<sub>∞</sub> :よう素 (I-131) を 1Bq 吸入した場合の小児の実効線量

(I-131,小児:1.6×10<sup>-7</sup>Sv/Bq,成人:2.0×10<sup>-8</sup>Sv/Bq)

χ/Q: 相対濃度 (s/m³)

Q<sub>1</sub> : 事故期間中のよう素の大気放出量(Bq)(I-131 等価量)

希ガスの $\gamma$ 線外部被ばくによる実効線量 $H_{\gamma}$ (Sv)は、(4.2-2)式で計算する。

$$H_{\gamma} = K \cdot D/Q \cdot Q_{\gamma} \cdot \cdots (4.2-2)$$

K : 空気吸収線量から実効線量への換算係数 (K=1Sv/Gy)

D/Q : 相対線量 (Gy/Bq)

Q 、 : 事故期間中の希ガスの大気放出量 (Bq)

(γ線実効エネルギ 0.5MeV 換算値)

希ガスのβ線外部被ばくによる実効線量 $H_g$ (Sv)は、(4.2-3)式で計算する。

$$H_{\beta} = 6.2 \times 10^{-14} \cdot \chi / Q \cdot Q_{\beta} \cdot E_{\beta} \cdot W_{TS} \cdots (4.2-3)$$

χ/Q: 相対濃度 (s/m³)

Q<sub>β</sub>: 事故期間中の希ガスの大気放出量(Bq)

 $E_{\beta}$  :  $\beta$ 線のエネルギ (MeV) (0.251MeV Kr-85 実効エネルギ)

W<sub>TS</sub> : 皮膚の組織荷重係数は ICRP Publication. 60 の値を用いる。

(0.01)

### (3) 評価結果

上記の評価前提及び方法に基づき敷地境界外の実効線量を評価した結果は表 4.2 の 通りである。

表 4.2 燃料集合体の落下時の実効線量

実効線量 (小児)	実効線量 (成人)
約 6.2×10 <sup>-4</sup> mSv	約 6.2×10 <sup>-4</sup> mSv

上記の値から判断して,本事象による周辺の公衆に与える放射線被ばくのリスクは 十分に小さいものと考えられる。

今回評価した実効線量は設置許可申請書での評価 (6.8×10<sup>-2</sup>mSv) と比較して 2 桁以上減少しているが、その原因は、設置許可申請書の評価で排気筒放出であったものが、今回地上放出として評価することによる実効線量の上昇要因があるものの、冷却が進んだことによる希ガス及びよう素の減少効果がそれ以上に大きいことである。

#### 4.3. 判断基準への適合性の検討

4.1, 4.2 に示した通り、周辺公衆に対し、著しい放射線被ばくのリスクを与えることはない。

### 燃料取扱設備の構造強度及び耐震性に関する説明書

#### 1. 本説明書の記載範囲

本説明書は、第4号機燃料取扱設備の構造強度及び耐震性について記載するものである。

2. 第4号機燃料取扱設備の構造強度及び耐震性について

#### 2.1. 概要

#### 2.1.1. 一般事項

第4号機燃料取扱設備は、燃料取扱機とクレーンを有し、それぞれについて構造強度 及び耐震性について検討を行う。燃料取扱設備は使用済燃料プールを覆う燃料取り出し 用カバーに設置される。

燃料取扱機の構造強度及び耐震性は、検討用地震動として基準地震動 Ss に対する地震 応答解析を実施し、燃料取扱機が使用済燃料プール及び使用済燃料ラックに波及的影響 を及ぼさないことを確認する。ここで、波及的影響の確認は燃料取扱機が落下に至らないことを確認する。

クレーンの構造強度及び耐震性は、検討用地震動として弾性設計用地震動 Sd に対する 地震応答解析を実施し、クレーンが使用済燃料プール及び使用済燃料ラックに波及的影響を及ぼさないことを確認する。ここで、波及的影響の確認は、クレーンが落下に至ら ないことを確認する。

弾性設計用地震動 Sd は、基準地震動 Ss の1/2として評価する。

なお、キャスクの縦揺れについては、キャスクの荷重に対して、クレーンのワイヤが 切断しない(キャスクが落下しない)ことを確認している。また、キャスクの横揺れに ついては、クレーンの水平方向固有周期と比較し、ワイヤロープで吊り下げられたキャ スクの固有周期は十分に長いことから、クレーン自体の振動には影響されないことを確 認している。

燃料取扱設備の検討は、原則として下記に準拠して行う。

- (1) 原子力発電所耐震設計技術指針(JEAG 4601・補-1984)
- (2) 原子力発電所耐震設計技術指針(JEAG 4601-1987)
- (3) 原子力発電所耐震設計技術規程 (JEAC 4601-2008)
- (4) 発電用原子力設備規格 設計・建設規格 (JSME S NC1-2005)
- (5) 発電用原子力設備規格 設計・建設規格 (2007 年追補版) (JSME S NC1-2007)

### 2.1.2. 燃料取扱機

燃料取扱機は、燃料取扱機支持用架構(添付資料-4-2「燃料取り出し用カバーの構造強度及び耐震性に関する説明書」参照)に設置されるもので、東西方向を長手方向として2本のガーダが配置され、南北方向に走行する。このガーダ上にトロリが設置され、東西方向に走行する。燃料取扱機フレームは、ガーダ、サドル、トロリで構成される。燃料取扱機の概要を図2.1.2-1に示す。

ブリッジ及びトロリは,各々走行レール及び横行レール上に乗っているので地震時, 走行方向に対しては,最大静止摩擦力以上の水平力が加わった場合すべりを生じる。

ブリッジ及びトロリの車輪は各々4個であり、そのうち各々2個は摩擦を受ける駆動輪であり、他の2個は従動輪である。ゆえに、最大静止摩擦係数を $\mu$ =0.3とすれば、水平力は鉛直方向荷重× $\mu$ ×2/4=鉛直方向荷重×0.15である。

ブリッジ及びトロリは,走行方向に直角な方向に対しては,脱線防止ラグによって荷 重を支持する。

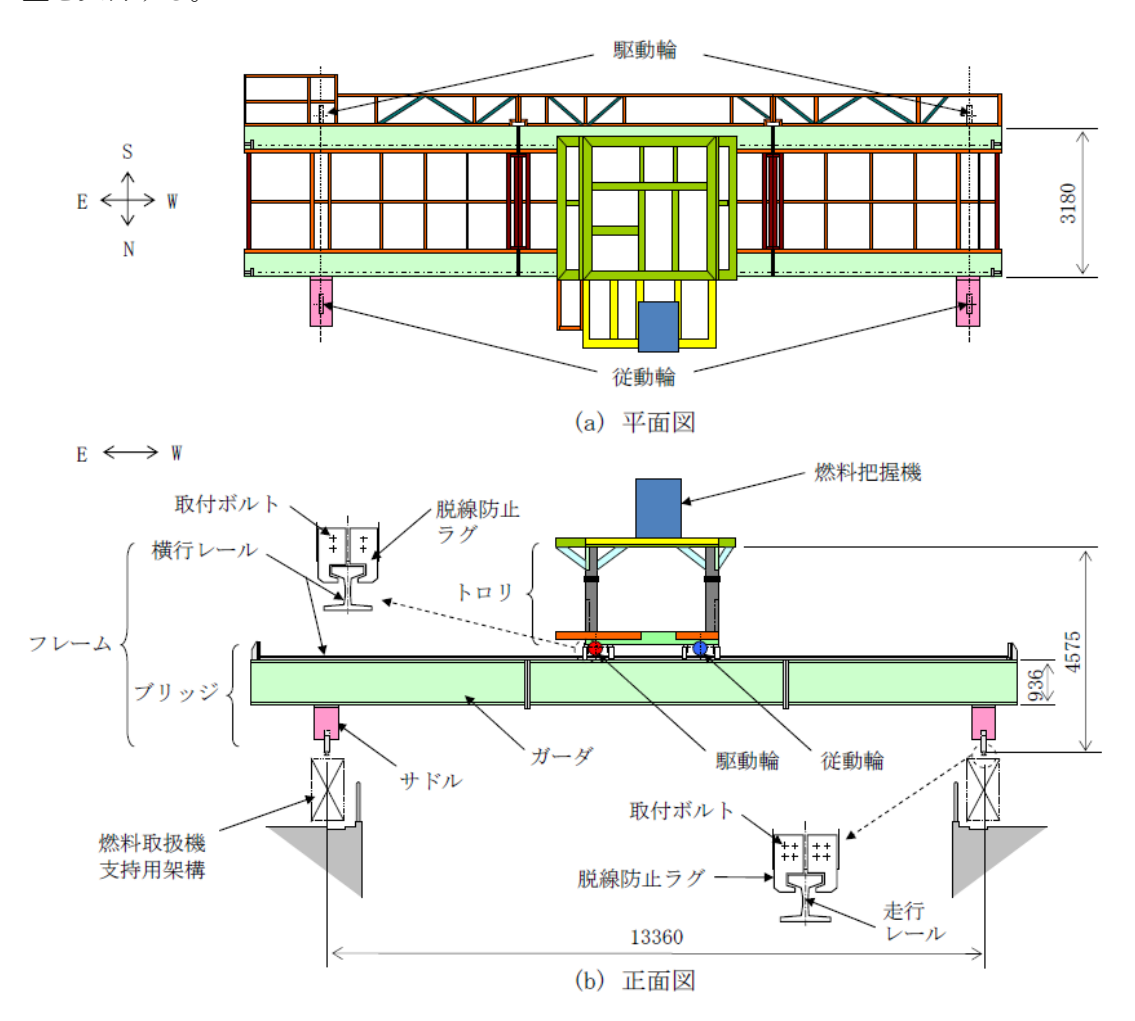


図 2.1.2-1 燃料取扱機の概要

### 2.1.3. クレーン

クレーンは、クレーン支持用架構(添付資料-4-2「燃料取り出し用カバーの構造 強度及び耐震性に関する説明書」参照)に設置されるもので、南北方向に 2 本のガーダ が配置され、南北方向に走行する。このガーダ上にトロリが設置され、東西方向に走行 する。クレーンは、ガーダ、サドル、トロリで構成される。クレーンの概要を図 2.1.3-1 に示す。

クレーンは、各々走行レール及び横行レール上に乗っているので地震時、走行方向及 び横行方向に対しては、最大静止摩擦力以上の水平力が加わった場合すべりを生じる。

ガーダの車輪は 8 個であり、そのうち 2 個は摩擦を受ける駆動輪であり、他の 6 個は従動輪である。ゆえに、最大静止摩擦係数を  $\mu=0.3$  とすれば、水平力は鉛直方向荷重×  $\mu\times2/8=$  鉛直方向荷重×0.075 である。

トロリの車輪は 4 個であり、そのうち 2 個は摩擦を受ける駆動輪であり、他の 2 個は従動輪である。ゆえに、最大静止摩擦係数を  $\mu=0.3$  とすれば、水平力は鉛直方向荷重×  $\mu\times2/4=$  鉛直方向荷重×0.15 である。

ガーダ及びトロリは、走行方向に直角な方向に対しては、脱線防止ラグ、トロリストッパによって荷重を支持する。

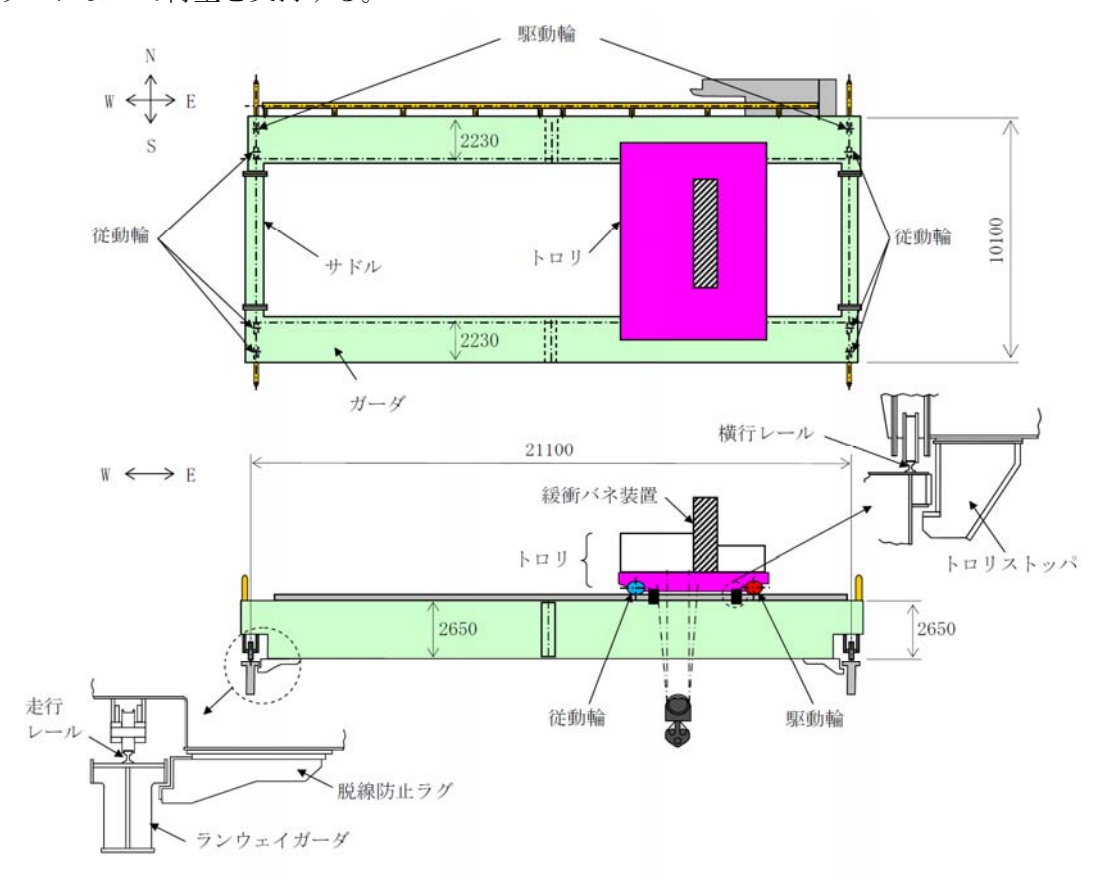


図 2.1.3-1 クレーンの概要

# 2.2. 燃料取扱機の構造強度及び耐震性について

## (1) 検討方針

燃料取扱機について、地震応答解析を実施し、応力評価を行う。

## 1) 使用材料及び許容応力

燃料取扱機の物性値及び許容応力を表 2.2-1 に示す。温度は運転エリアの最高温度  $(40^{\circ})$  に余裕を見込んだ  $50^{\circ}$ とする。落下防止の観点から,曲げと組合せは設計引張強さSuを許容応力とする。せん断応力は,JEAG 4601・補-1984 に従い引張応力から換算して,設計引張強さSuを  $1/\sqrt{3}$  倍して用いる。

表 2.2-1 物性値及び許容応力

## 材料定数

部位	使用材料	縦弾性係数 (MPa)	ポアソン比	温度 (℃)
燃料取扱機構造物 フレーム	SS400 STKR400	201,000	0.3	50

## 許容応力

	部位	使用材料	応力の種類	許容応力(MPa)
燃料取扱機構造物		SS400	曲げ	394
K	アレーム	STKR400	せん断	227
		S1KK400	組合せ	394
ブ			曲げ	394
IJ	脱線防止ラグ	SS400	せん断	227
ツ			組合せ	394
ジ	取付ボルト	SCM435	せん断	523
1			曲げ	394
トロロ	脱線防止ラグ	SS400	せん断	227
リリ			組合せ	394
9	取付ボルト	SCM435	せん断	523
		レール鋼	曲げ	1080
	走行レール	(CR 73K-DHH)	せん断	623
		(CR /3R-DHH)	組合せ	1080
		1、一九年	曲げ	690
	横行レール	レール鋼 (1 類 AR 30A)	せん断	398
		(1 炽 AK SUA)	組合せ	690

# 2) 荷重及び荷重組合せ

設計で考慮する荷重は死荷重及び地震荷重である。

死荷重は吊り荷を含む燃料取扱機自身の質量による荷重である。

地震荷重は基準地震動 Ss による荷重であり、水平 2 方向それぞれの地震荷重に鉛直 方向地震荷重を加算する。具体的には次の通りである。

- · 死荷重+水平地震(NS 方向)+鉛直地震
- · 死荷重+水平地震(EW 方向)+鉛直地震

ブリッジ質量	42,000(kg)
トロリ質量※	17,000(kg)

※吊り荷質量(450(kg)含む)

## (2) 燃料取扱機の地震応答解析

解析は、地震応答解析モデルにより計算機コード「SAP-IV」を用いたモーダル解析による応答スペクトル法により行う。

## 1) 解析に用いる入力地震動

燃料取扱機への入力地震動は、基準地震動 Ss を入力したときの燃料取扱機支持用架構位置 O.P.40.77m(添付資料-4-2「燃料取り出し用カバーの構造強度及び耐震性に関する説明書」参照)の床応答スペクトルを用いる。床応答スペクトルを図 2.2-1 に示す。

この床応答スペクトルは、燃料取扱機の走行範囲で想定される床応答スペクトルを 包絡したものである。

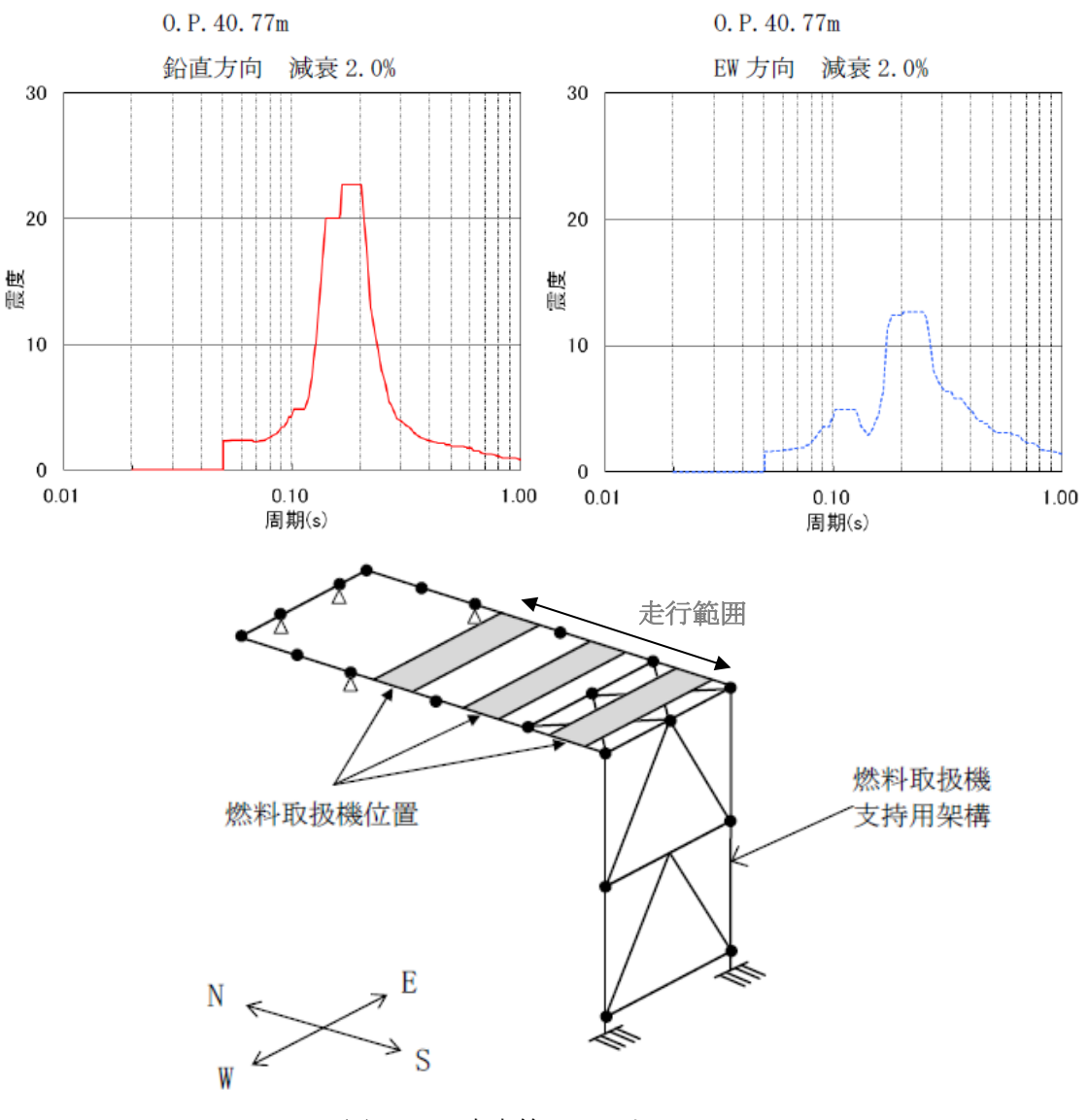


図 2.2-1 床応答スペクトル

# 2) 地震応答解析モデル

燃料取扱機の地震応答解析モデルを図 2.2-2 に示す。

解析モデルはビームでモデル化しており、ブリッジ脱線防止ラグ下端が架構側との 取り合い点であり、脱線防止ラグにより浮上りを押さえる構造としているため、そこ を拘束点とする。

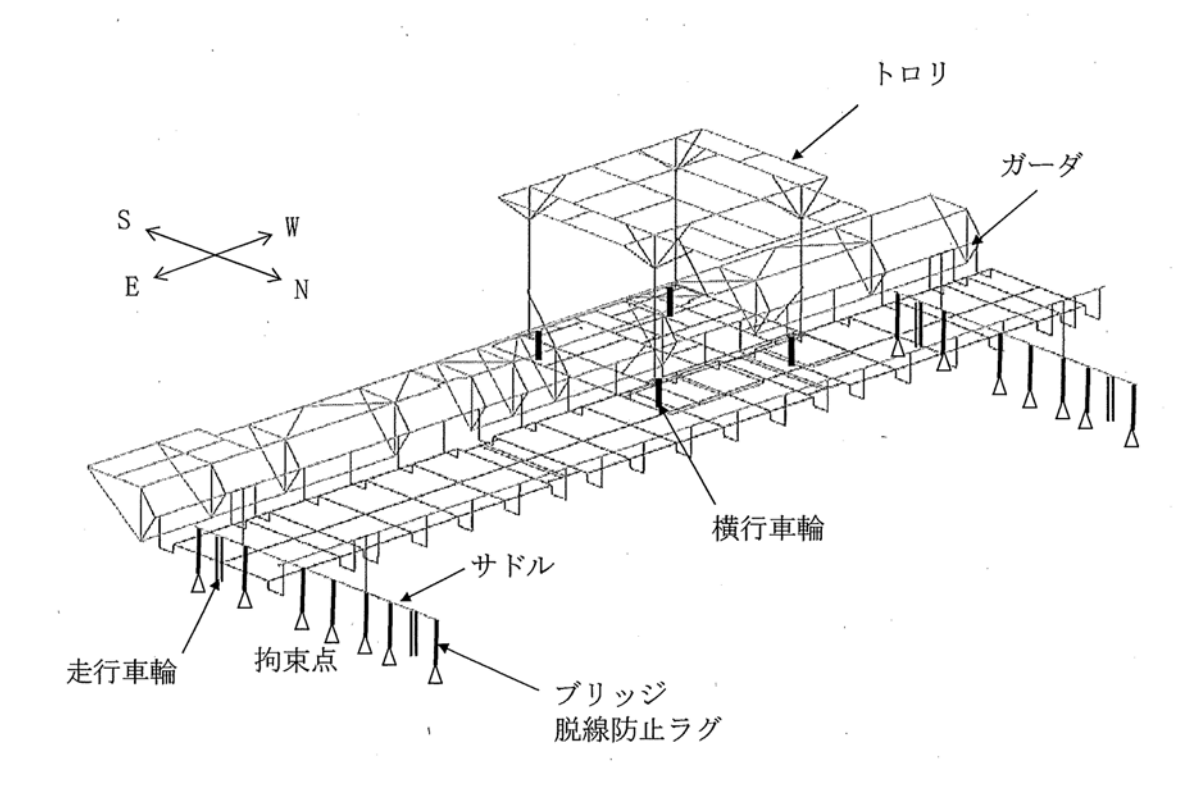


図 2.2-2 地震応答解析モデル

# 3) 設計震度

- ・死荷重は鉛直下向きに1Gとする。
- ・地震荷重は、図 2.2-1 に示す床応答スペクトルを入力する。ただし、レールと車輪の走行方向のすべりを考慮し、ブリッジの NS 方向及びトロリの NS, EW 方向については、2.1.2 項で述べた最大静止摩擦係数より求めた値を水平方向設計震度とする。

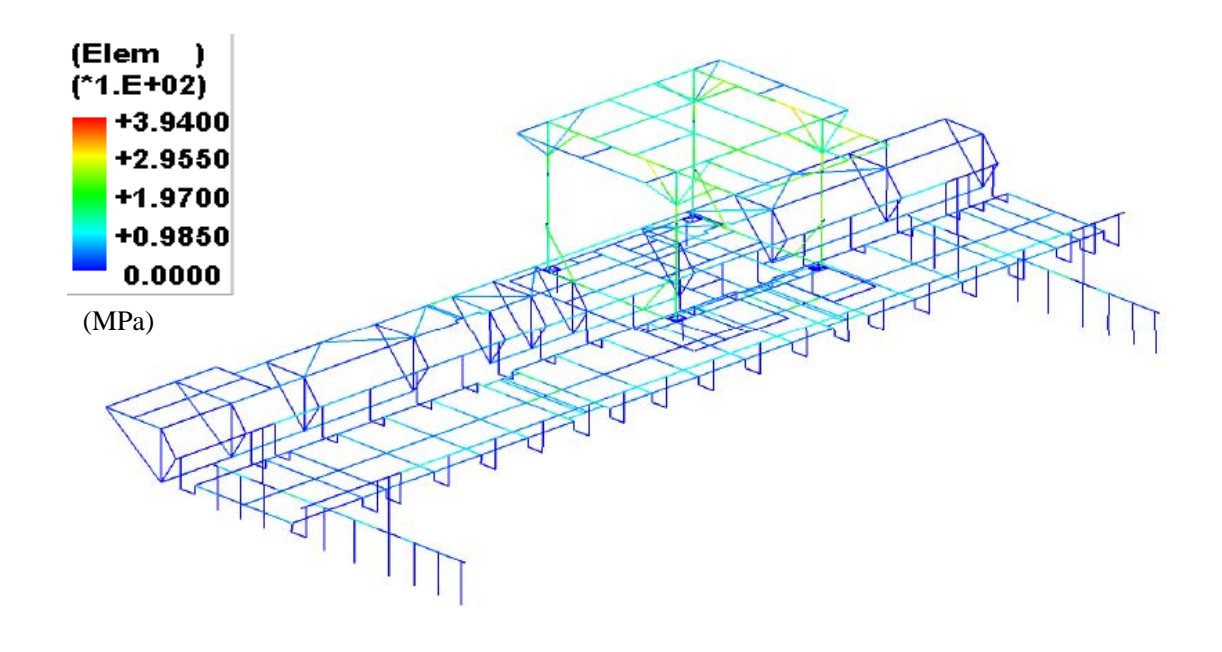
		固有周期(s)	設計震度	
	ブリッジ	NS 方向	_	0.15**
水平方向		EW 方向	0.034	1.76
水平方向	トロリ	NS 方向	_	0.15**
	EW 方向	_	0.15**	
鉛直方向		0.065	2.34	

注記※:最大静止摩擦係数より求めた水平方向設計震度

# 4) 地震応答解析結果

燃料取扱機の地震応答解析結果を図 2.2-3 に示す。

これは死荷重,水平地震及び鉛直地震の荷重を加算して,各部材毎に応力を求めて表示したものである。



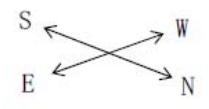


図 2.3-3 地震応答解析結果

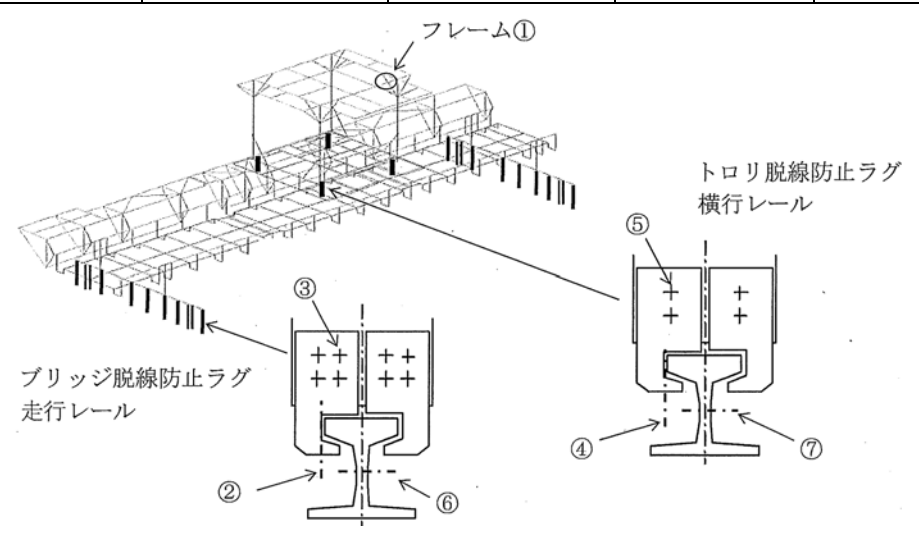
# (3) 燃料取扱機の構造強度評価結果

燃料取扱機の応力評価結果を表 2.2-2 に示す。算出応力は許容応力以下であるので、燃料取扱機は基準地震動 Ss に対して落下に至らないことを確認した。

表 2.2-2 応力評価結果纏め

(単位:MPa)

部位		使用材料	応力の種類	算出応力	許容応力
燃料取扱機構造物 フレーム①		22400	曲げ	316	394
		SS400 STKR400	せん断	13	227
			組合せ	316	394
ブ	昭 始 [7士] 1.		曲げ	125	394
IJ	脱線防止 ラグ②	SS400	せん断	38	227
ツ	774		組合せ	140	394
ジ	取付ボルト③	SCM435	せん断	66	523
ì.	ト 脱線防止 コ ラグ④	SS400	曲げ	90	394
			せん断	35	227
リリ			組合せ	107	394
	取付ボルト⑤	SCM435	せん断	139	523
		レール鋼	曲げ	531	1080
Ā	走行レール⑥	(CR 73K-DHH)	せん断	42	623
		(CK /3K-DIIII)	組合せ	535	1080
横行レール⑦		・ レール (1 類 AR 30A)	曲げ	568	690
			せん断	24	398
		(1 規 AK 30A)	組合せ	569	690



Ⅱ-2-11-添 4-1-10

# 2.3. クレーンの構造強度及び耐震性について

# (1) 検討方針

クレーンについて, 地震応答解析を実施し, 応力評価を行う。

## 1) 使用材料及び許容応力

クレーンの物性値及び許容応力を表 2.3-1 に示す。温度は運転エリアの最高温度  $(40^{\circ})$  に余裕を見込んだ  $50^{\circ}$ とする。落下防止の観点から,曲げと組合せは設計引張強さSuを許容応力とする。せん断応力は JEAG4601・補-1984 に従い引張応力から換算して,設計引張強さSuを  $1/\sqrt{3}$  倍して用いる。

表 2.3-1 物性値及び許容応力

### 材料定数

部位	使用材料	縦弾性係数 (MPa)	ポアソン比	温度 (℃)
クレーン本体 ガーダ	SM490A	201,000	0.3	50

## 許容応力

部位		使用材料	応力の種類	許容応力(MPa)	
クレーン本体	中央	SM490A	曲げ	480	
ガーダ	端部	SM490A	せん断	277	
脱線防止ラグ			曲げ	394	
		SS400	せん断	227	
			組合せ	394	
トロリストッパ			曲げ	394	
		SS400	せん断	227	
			組合せ	394	

# 2) 荷重及び荷重組合せ

設計で考慮する荷重は死荷重及び地震荷重である。

死荷重は吊り荷を含むクレーン自身の質量による荷重である。

地震荷重は弾性設計用地震動 Sd による荷重であり、水平 2 方向の地震荷重に鉛直方向地震荷重を加算する。具体的には次の通りである。

· 死荷重+水平地震(NS, EW 方向)+鉛直地震

クレーン本体ガーダ質量	170,000(kg)
トロリ質量	103,000(kg)
吊り荷質量	100,000(kg)

# (2) クレーンの地震応答解析

解析は、地震応答解析モデルにより計算機コード「ABAQUS」を用いた直接積分法による時刻歴解析により行う

### 1) 解析に用いる入力地震動

クレーンの入力地震動は、弾性設計用地震動 Sd を入力した時のクレーン支持用架構の地震応答計算から得られる O.P.50.22m (添付資料-4-2「燃料取り出し用カバーの構造強度及び耐震性に関する説明書」参照)の時刻歴加速度波を用いる。時刻歴加速度波形を図 2.3-1 に示す。なお、死荷重は鉛直下向きに 1G とする。

この時刻歴加速度波はクレーンの走行範囲で想定される時刻歴加速度波のうち,クレーンに対し最も影響を与えるものである。

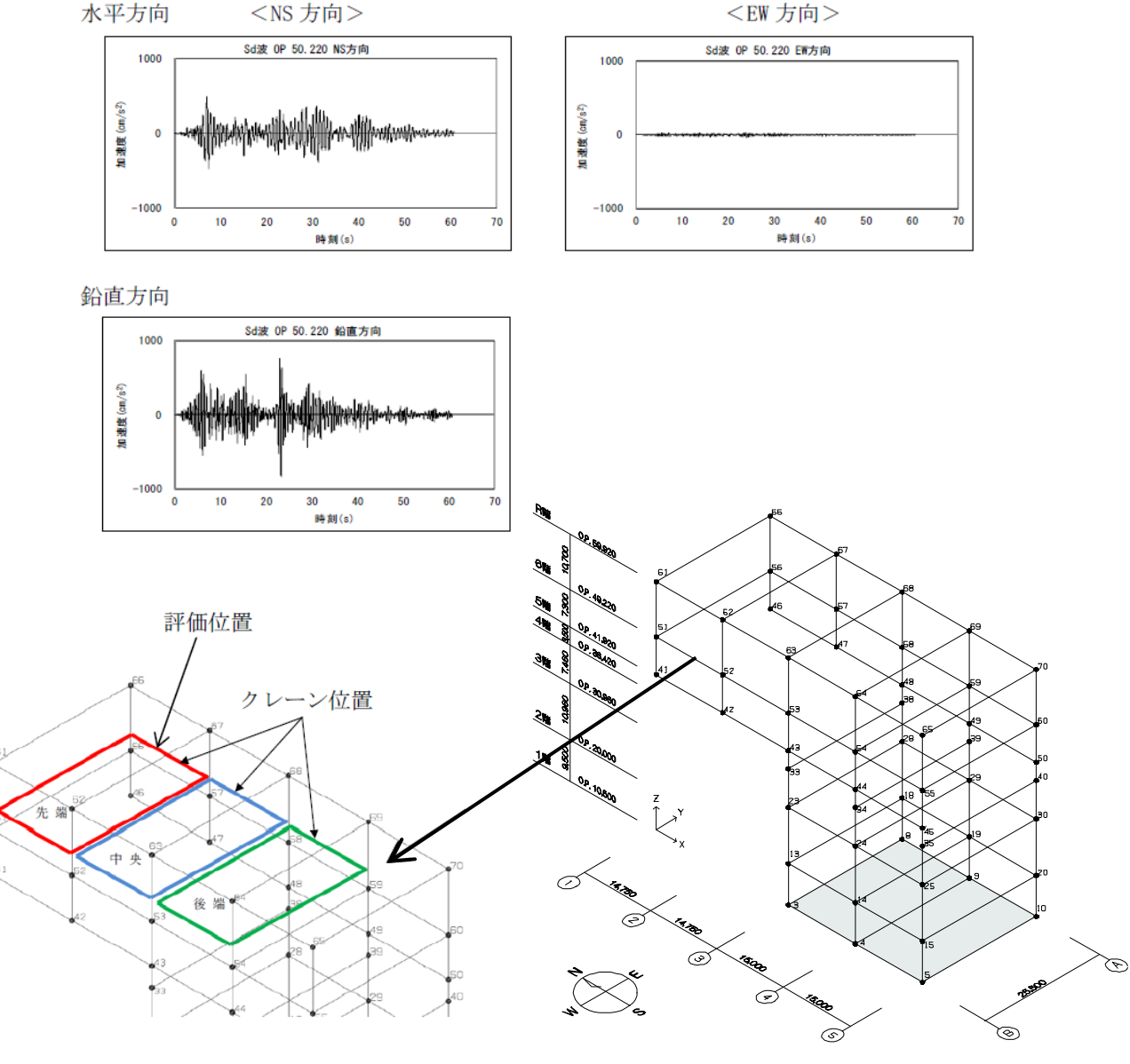


図 2.3-1 時刻歴加速度波形

# 2) 地震応答解析モデル

クレーンの地震応答解析モデルを図 2.3-2 に示す。

解析モデルは、ビーム及び非線形要素でモデル化しており、走行車輪部下端がクレーン支持用架構側との取り合い点であるため、それを拘束点とする。

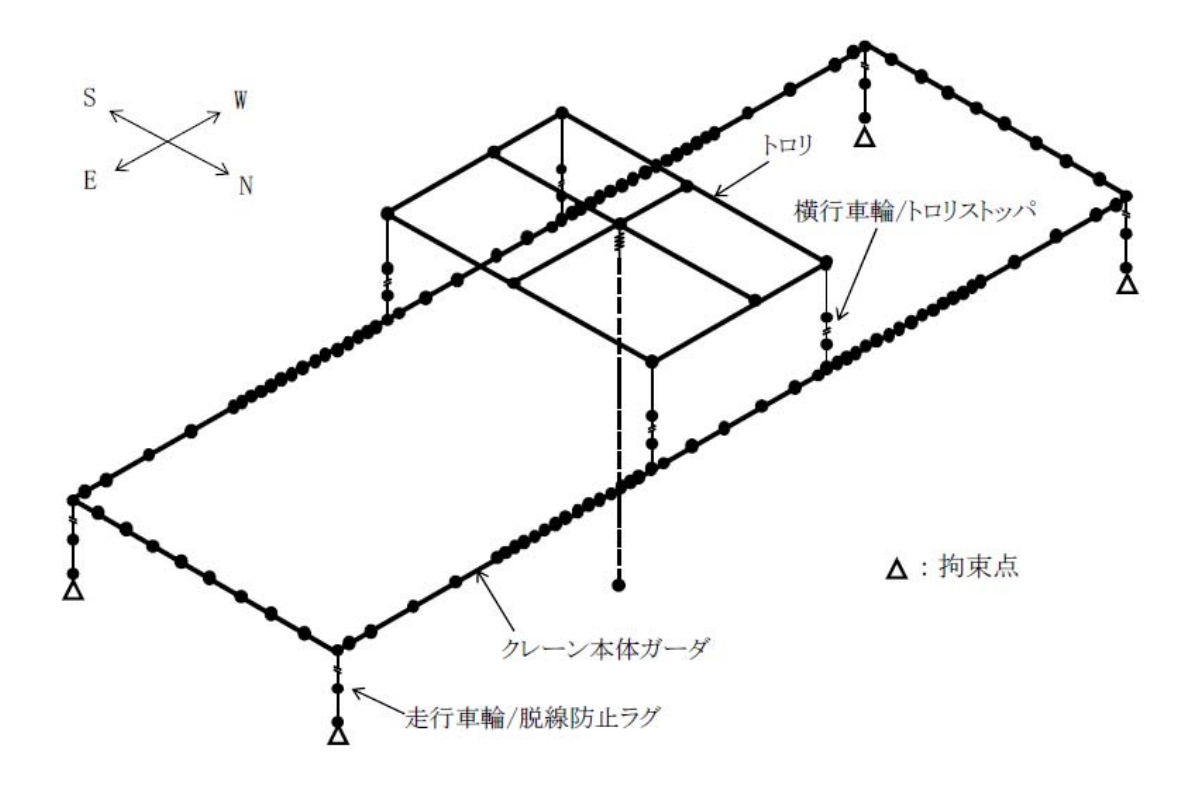


図 2.3-2 地震応答解析モデル

# 3) 設計地震

脱線防止ラグ及びトロリストッパの評価において、設計震度は以下とする。

	固有周期(s)	設計震度
走行方向(NS 方向)	_	0.075**
横行方向(EW 方向)	0.020	0.89

注記※:最大静止摩擦係数より求めた水平方向設計震度

# 4) 地震動の入力方法の考え方

クレーンに入力される時刻歴波は、クレーン周囲のクレーン支持用架構の節部分からランウェイガーダ/走行レールを経由してクレーン車輪部に入力されることとなるが、クレーンの位置により時刻歴波が異なることから、クレーン重心位置に応じて平均化した時刻歴波を入力地震動とする。

# 5) 地震応答解析結果

クレーンの地震応答解析結果を表 2.3-2 に示す。 地震応答解析結果は時刻歴応答結果の最大値を用いる。

表 2.3-2 クレーンの地震応答解析結果

部位		荷重の種類	荷重の方向	荷重値
クレーン本体	中央	曲げモーメント	鉛直	$1.707 \times 10^{10}$
ガーダ		(N·mm)	水平	$8.429 \times 10^{8}$
	端部	せん断力(N)	鉛直	$2.372 \times 10^{6}$
脱線防止ラグ トロリストッパ		工统力AD	鉛直	$2.779 \times 10^{5}$
		圧縮力(N)	鉛直	$1.877 \times 10^5$

注:絶対値にて表示している。

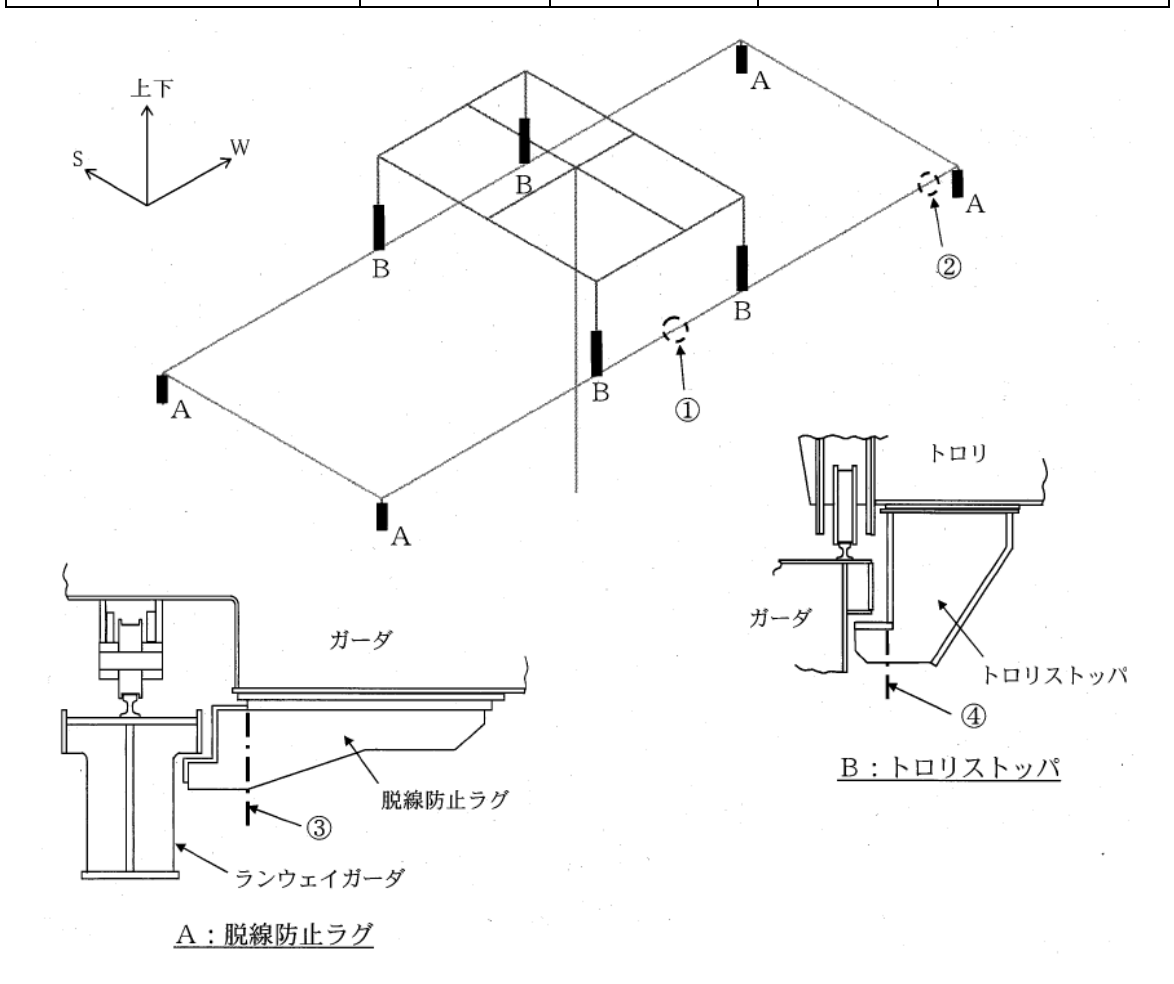
## (3) クレーンの構造強度評価結果

クレーンの構造強度評価結果を表 2.3-3 に示す。算出応力は許容応力以下であるので、 クレーンは弾性設計用地震動 Sd に対して落下に至らないことを確認した。

表 2.3-3 応力評価結果纏め

(単位:MPa)

部位		使用材料	応力の種類	算出応力	許容応力
クレーン本体	- 本体 中央① SM490A		曲げ	140	480
ガーダ	ガーダ 端部②		せん断	60	277
脱線防止ラグ③			曲げ	87	394
		SS400	せん断	12	227
			組合せ	89	394
トロリストッパ④			曲げ	30	394
		SS400	せん断	9	227
			組合せ	34	394



## 耐震解析に用いるコード (SAP-IV) について

コード名	SAP-IV				
項目					
開発機関	米国カリフォルニア大学				
使用したバージョン	導入時バージョンのまま				
開発時期	1973 年				
計算機コードの概要	本計算機コードは、有限要素法による静的・動的解析汎用				
	プログラムである。				
	1970年に SAP の初版が発表された後、SOLID SAP				
	(SAP−Ⅱ),SAP−Ⅲを経て,全面的改訂を加えられ 1973				
	年にSAP-IVとして公開された。				
	以下に示す構造に対し,4種類の解析を行うことができる。				
	<構造>				
	1. トラス構造問題				
	2. ラーメン構造問題				
	3. 平面応力/平面ひずみ問題, 軸対象固体問題				
	4. 固体問題				
	5. 厚肉殼				
	6. 板曲げ及び薄肉殻問題				
	7. 配管系問題				
	<b>&lt;解析&gt;</b>				
	1. 静的解析				
	2. 固有値解析				
	3. 動的応答解析				
	4. スペクトル解析				
検証方法	・別計算機コード「構造解析用計算機コード				
	(NASTRAN 2005.0.0 による検証が実施されてい				
	ることを確認した。				
	・ 理論解による検証が実施されていることを確認した。				
	(詳細は添付1参照)				

## 添付1 解析及び計算機コードの検証

## 1. 解析の検証

## 1.1 解析フローチャート

本資料において使用した計算機コード「SAP-IV」を用いて得られた計算結果の妥当性を確認し、本計算機コードの検証を行うものである。また、本計算機コードを用いた計算のフローを図 1-1 に示す。

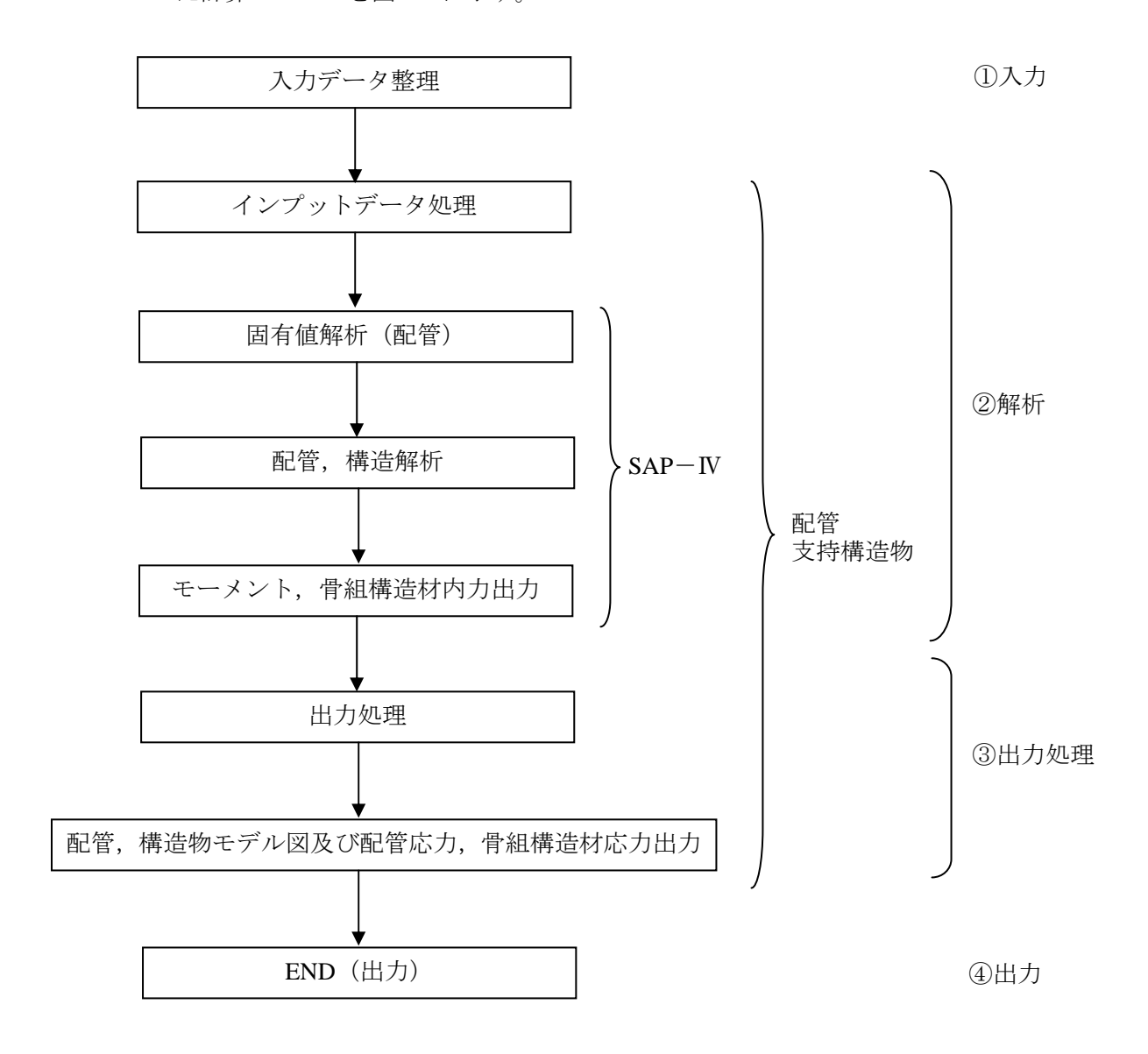


図 1-1 計算フロー

## 1.2 解析の検証

図 1-1 に示した各フローにおける検証方法を以下に示す。

## ・「①入力」

材料, 弁質量及び骨組材断面性能等の解析条件の入力に対し, 正しく条件が入力 されていることの確認を行った。

## •「②解析」

配管については、別の構造解析用計算機コードを用いて、代表的な配管検証用モデルに対する計算を行い、比較を行うことによって、計算結果の妥当性の確認を行った(2.1 配管参照)。

支持構造物については、材料力学に基づく手計算手法を用いて、代表的な簡易骨組モデルに対する計算を行い、比較を行うことによって計算結果の妥当性の確認を行った(2.2 支持構造物参照)。

「①入力」+「②解析」+「③出力処理」+「④出力」

「SAP-IV」により出力されたモーメントは応力に変換され、正しく出力されていることを確認した。これらの処理は、手計算によりその妥当性について確認を行った。

#### 1.3 結論

以上より、解析結果の検証を行い、手順①~④の妥当性を確認した。

## 2. 計算機コードの検証

## 2.1 配管

## (1) 検証の概要

計算機コード「SAP-IV」による計算結果の検証用に用いた構造解析用計算機コード「NASTRAN」は NASA で開発されたプログラムであり、1965 年開発後、これまで約40 年の使用実績があり、世界的に使用実績及びクライアント数の多いプログラムの一つである。「SAP-IV」と「NASTRAN」を用いて代表的な配管検証用モデルを対象に解析を行い、得られた結果を比較することにより、検証を行った。

## (2) 検証解析

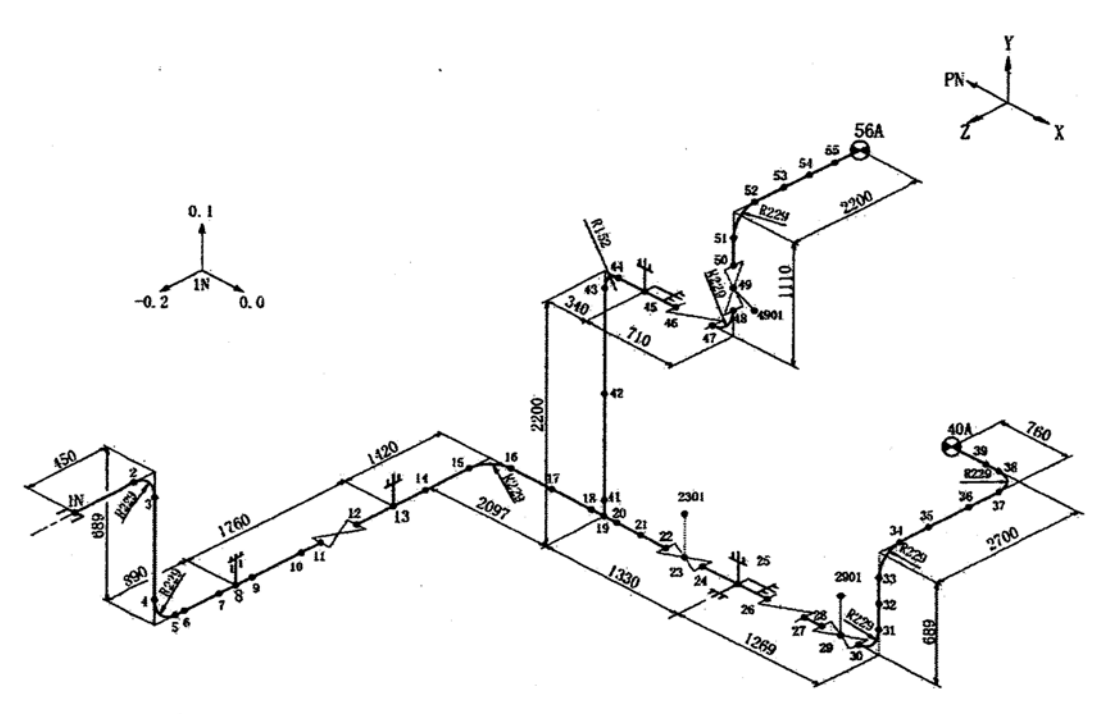
代表的な配管検証用モデルについて、「SAP-IV」及び「NASTRAN」を用いて解析し、両者の解析結果を比較評価する。以下に解析内容及び検証項目を示す。

解析内容	検証項目		
静的解析 (自重・熱膨張)	拘束点反力		

## (3) 解析条件

以下に解析モデル及び設計条件を示す。

# ・解析モデル



鳥瞰図記号凡例

<b>鳥瞰</b> 図記号凡例	
記号	内 容
•	質点
•	アンカ
<del></del>	レストレイント
<del>] =</del>	リジットハンガ
Y(mm)	. •
Î	主要機器取合点等の移動量
	注: 鳥瞰図中の寸法の単位は㎜である。
Z (mm) X (mm)	

弁部の質量

質量	対応する評価点	質量	対応する評価点
278.4kg/m	11~12	59.9kg	22~23
59.9kg	23~24	185.4kg/m	26~27
59.7kg	28~29	127.4kg	29~30
185.4kg/m	46~47	127.9kg	48~49
59.9	49~50	119.9kg	2301
119.4kg	2901	119.9kg	4901

## • 設計条件

以下に示す荷重条件のもとで、配管系の静的な解析を行った。

- a. 自重
- b. 熱膨張

解析									
範囲									
Mr vi. 口		最高使用圧力	最高資料温度	運転温度	外径	厚さ	材料	縦弾性係数*	熱膨張係数*
管番号	対応する評価点	(MPa)	(℃)	(℃)	(mm)	(mm)	1/1 1/1	(MPa)	(×10 <sup>-6</sup> mm/mm°C)
	1N~11,12~22								
	24~26,27~28	1.04	93	40	165.2	7.1	STPT410	201667	10.3
1	24~26,27~28 19~43,44~46							201007	10.3
	47~48								
2	30~40A	0.43	93	40	165.2	7.1	STPT410	201667	10.3
3	43~44	1.04	93	40	165.2	7.1	STPT410	201667	10.3
4	50∼56A	1.04	93	40	165.2	7.1	SUS304TP	193667	15.4

注記\*:運転温度における縦弾性係数及び熱膨張係数を示す。

## (4)解析結果の比較

表 2-1 拘束点反力(「SAP-IV」と「NASTRAN」の比較)

自重 (単位:N)

節点	SAP-IV			NASTRAN		
見いぶ	Fx	Fy	Fz	Fx	Fy	Fz
1N	10	442	-99	20	452	-99
8	0	1001	0	0	981	0
13	0	1991	0	0	2021	0
25	599	7365	344	618	7385	344
40A	-89	1226	-89	-89	1226	-99
45	275	4649	0	246	4629	0
56A	-795	1373	-148	-785	1354	-148

熱膨張 (単位:N)

節点	SAP-IV			NASTRAN		
見い点	Fx	Fy	Fz	Fx	Fy	Fz
1N	99	-138	-148	99	-138	-148
8	0	50	0	0	50	0
13	0	383	0	0	383	0
25	-89	1030	-246	-89	1030	-246
40A	-89	-148	246	-89	-148	246
45	363	-991	0	363	-991	0
56A	-295	-187	148	295	-197	148

## (5) 検証結果

表 2-1 における自重及び熱膨張による拘束点反力の比較結果のとおり, 両者でよく一致している。

以上の結果から、代表的な配管検証用モデルを用いた両者の解析結果はほぼ同等であり、「SAP-IV」の妥当性が確認された。

## 2.2 支持構造物

## (1) 検証の概要

材料力学に基づく手計算手法を用いて、代表的な簡易骨組構造モデルに対する計算を行い、得られた結果を比較することにより検証を行った。

## (2) 検証解析

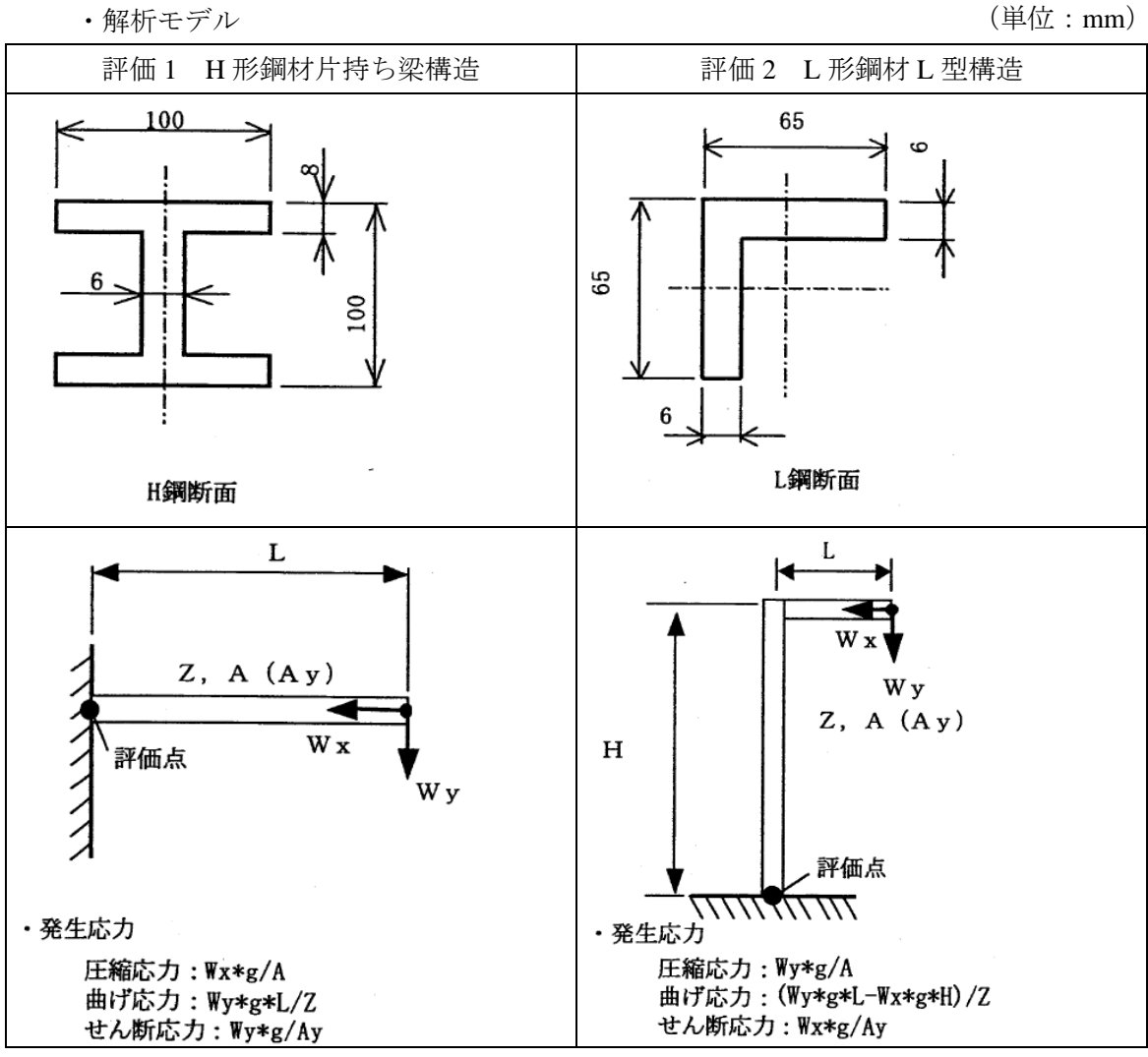
代表的な支持構造物検証用モデル「H 形鋼材」及び「L 形鋼材」について、「SAP- IV」及び「手計算手法」を用いて、両者の比較評価をする。

以下に, 計算内容及び検証項目を示す。

計算内容	検証項目
圧縮応力、曲げ応力、せん断応力	発生応力

## (3) 解析条件

・解析モデル



## • 設計条件

			評価 1	評価 2	
/	Wx	kg	0	0	
付加質量	Wy	kg	61	36	
梁長さ	L	mm	300	67.5	
柱高さ	Н	mm	_	292.5	
重力加速度	gg	m/s2	9.80665	9.80665	
断面係数	Z	mm3	67800	6270	
断面積	A	mm2	2190	752.7	
有効断面積	Av	mm2	504	354	
(せん断面積)	Ay	1111112	304	334	

## (4) 評価結果の比較

表 2-2 発生応力 (「SAP-IV」と「手計算手法」の比較)

## H形鋼材

	SAP-IV			手計算手法		
	圧縮応力	曲げ応力	せん断応力	圧縮応力	曲げ応力	せん断応力
生応力 (MPa)	0	3	2	0	2.7	1.2

## L形鋼材

	SAP-IV			手計算手法		
	圧縮応力	曲げ応力	せん断応力	圧縮応力	曲げ応力	せん断応力
発生応力 (MPa)	1	4	0	0.5	3.9	0

## (5) 検証結果

表 2-2 における H 形鋼材及び L 形鋼材による発生応力の比較結果のとおり、両者でよく一致している。

以上の結果から、代表的な簡易骨組構造モデルを用いた両者の計算結果はほぼ同等であり、「SAP-IV」の妥当性が確認された。

## 耐震解析に用いるコード (ABAQUS) について

コード名	ABAQUS					
項目						
開発機関	ABAQUS 社					
使用したバージョン	Version 6.5.4					
開発時期	2005 年(初版開発時期 1978 年)					
計算機コードの概要	本計算機コードは、有限要素法による線形/非線形の静					
	的・動的解析汎用プログラムである。以下に示す解析機能及					
	び要素を有している。					
	<解析機能>					
	1. 線形・非線形静的応力/変位解析					
	2. 動的/変位解析					
	3. 非定常の動的/変位解析					
	4. 定常・非定常の伝熱解析					
	5. 弾塑性解析					
	6. 大変形解析					
	<要素>					
	1. 軸対象					
	2. 平面ひずみ/平面応力					
	3. 三次元ソリッド					
	4. 三次元シェル					
	5. トラス					
	6. はり					
検証方法	・ 振動試験結果とコードによる地震応答計算結果を比					
	較して検証*が実施されていることを確認した。					

注記:以下の文献を確認し、検証されたコードであることを確認した。

\*: 平成 19 年度 原子力施設等の耐震性評価技術に関する試験及び調査

動的上下動耐震試験(クレーン類)に係る報告書

(平成21年1月 独立行政法人 原子力安全基盤機構)

## 3. 別添

別添-1 4号機燃料取扱設備の耐震性に係る確認事項

## 4号機燃料取扱設備の耐震性に係る確認事項

4号機燃料取扱設備の耐震性に係る主要な確認事項を表-1及び表-2に示す。

表-1 4号機燃料取扱設備の耐震性に係る確認事項(燃料取扱機)

確認事項	確認項目		確認項目 確認内容		
	材料確認		実施計画に記載されている主 要部材の材質を確認する。	実施計画通りの材料を使用していること。	
構造強度・		寸法確認	実施計画に記載されている主 要寸法を確認する。	寸法が許容範囲内であること。	
耐震性	構造確認	外観確認	組み立てた状態における外観を確認する。	有意な欠陥がないこと。	
		据付確認	組み立てた状態における据付状態を確認する。	実施計画の通りに施工・据付がなされていること。	

表-2 4号機燃料取扱設備の耐震性に係る確認事項 (クレーン)

確認事項	確認	確認項目 確認内容		判定基準
オ料確認 ・ ・ ・ ・ ・ ・ ・ ・ ・ ・ ・ ・ ・ ・ ・ ・ ・ ・ ・	材料	確認	実施計画に記載されている主 要部材の材質を確認する。	実施計画通りの材料を使用していること。
	実施計画に記載されている主 ・ 寸法確認 要寸法を確認する。		寸法が許容範囲内であること。	
耐震性		外観確認	組み立てた状態における外観を確認する。	有意な欠陥がないこと。
		据付確認	組み立てた状態における据付 状態を確認する。	実施計画の通りに施工・据付がなされていること。

#### 1. 本説明書の記載範囲

本説明書は、第3号機及び第4号機燃料取り出し用カバーの構造強度及び耐震性について記載するものである。なお、第3号機及び第4号機以外については、現地工事開始前までに報告を行い、確認を受けることとする。

## 2. 第4号機燃料取り出し用カバーの構造強度及び耐震性について

#### 2.1 概要

#### 2.1.1 一般事項

第4号機燃料取り出し用カバーは、使用済燃料プールを覆う構造としており、クレーン支持用架構と燃料取扱機支持用架構を有し、それぞれについて構造強度と耐震性について検討を行う。なお、耐震設計上の重要度分類は、燃料取扱設備の間接支持構造物としてBクラス相当とする。

燃料取り出し用カバーの構造強度は一次設計に対応した許容応力度設計を実施し、耐震性は基準 地震動 Ss に対する地震応答解析を実施し、燃料取り出し用カバーの損傷が原子炉建屋、使用済燃 料プール及び使用済燃料ラックに波及的影響を及ぼさないことを確認する。ここで、波及的影響の 確認は、架構が崩壊機構に至らないことを確認する。図 2.1.1-1 に燃料取り出し用カバーのイメー ジを示す。

なお,一部損壊した原子炉建屋に接合される燃料取扱機支持用架構の施工前において,本説明書で想定しているように,原子炉建屋の接合部が施工に十分な状態かどうか確認した点検結果を別途報告するとともに,不具合が見つかった場合には,適切に補修等を実施する。

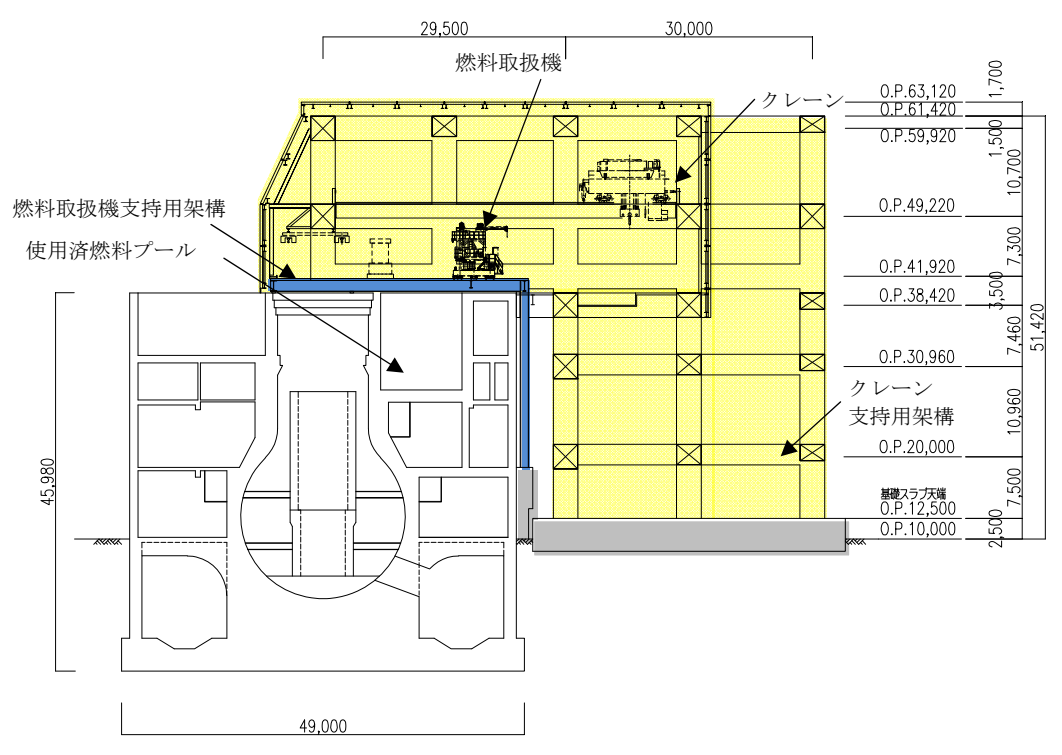


図 2.1.1-1 燃料取り出し用カバーのイメージ Ⅲ-2-11-添 4-2-1

燃料取り出し用カバーの検討は原則として下記の法規及び基規準類に準拠して行う。

- (1) 建築基準法・同施行令及び関連告示
- (2) 原子力施設鉄筋コンクリート構造計算規準・同解説(日本建築学会, 2005 制定)
- (3) 鉄筋コンクリート構造計算規準・同解説 (日本建築学会, 2010 改定)
- (4) 鋼構造設計規準(日本建築学会, 2005 改定)
- (5) 建築基礎構造設計指針(日本建築学会, 2001 改定)
- (6) 2007 年版 建築物の構造関係技術基準解説書(国土交通省住宅局建築指導課・国土交通省 国土技術政策総合研究所・独立行政法人建築研究所・日本建築行政会議, 2007 刊行)
- (7) 鋼構造塑性設計指針(日本建築学会, 1975 発行)
- (8) 建築工事標準仕様書・同解説 JASS14 カーテンウォール工事 (日本建築学会, 1996 改定)
- (9) 各種合成構造設計指針・同解説(日本建築学会,2010改定)

また、原子力施設の設計において参照される下記の指針及び規程を参考にして検討を行う。

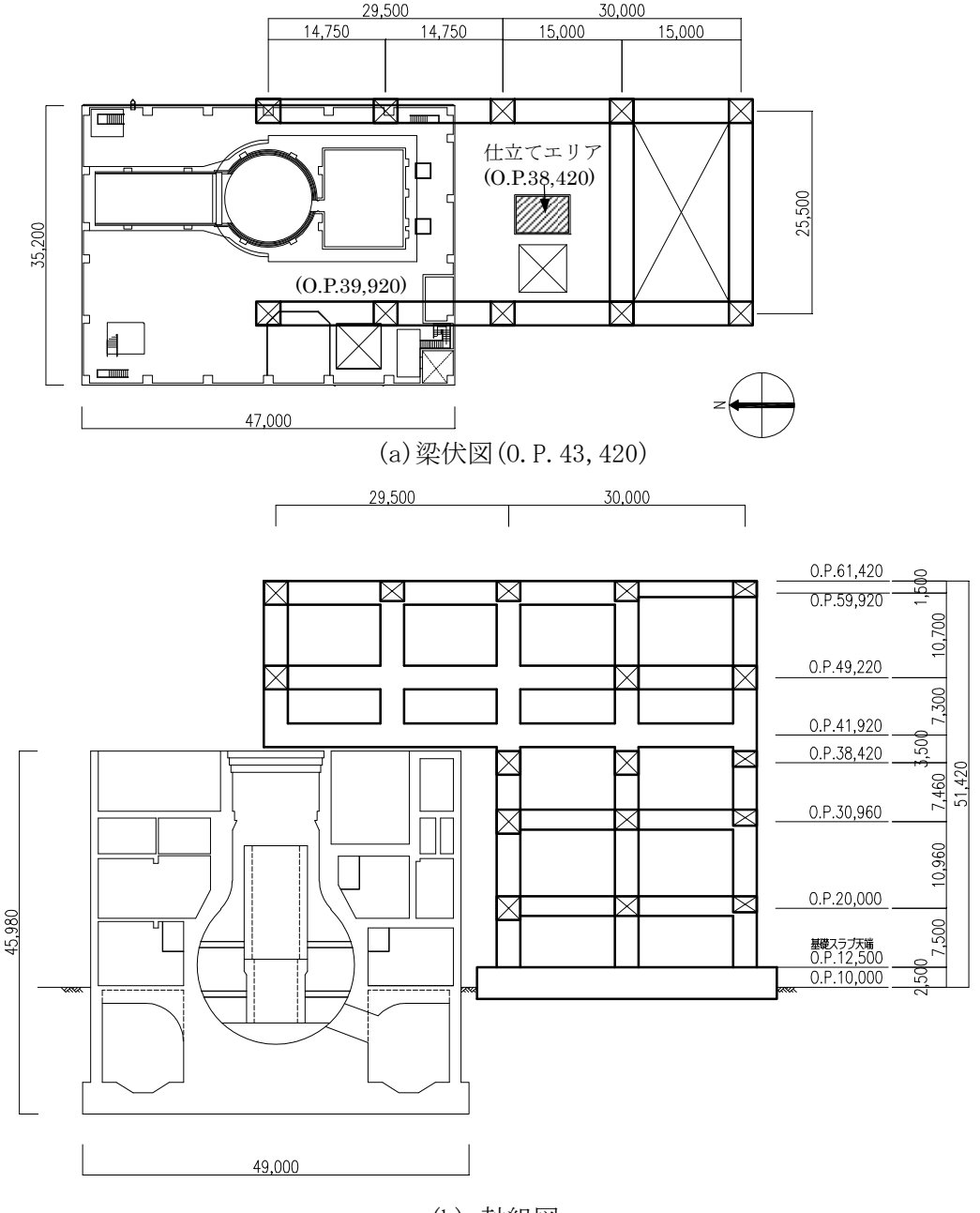
- (1) 原子力発電所耐震設計技術指針(JEAG 4601-1987)(日本電気協会 電気技術基準調査委員会, 昭和 62 年 8 月 改訂)
- (2) 原子力発電所耐震設計技術指針(JEAG 4601-1991 追補版)(日本電気協会 電気技術基準調査 委員会,平成3年6月発刊)
- (3) 原子力発電所耐震設計技術規程(JEAC 4601-2008) (日本電気協会 原子力規格委員会,平成 20年12月 改定)
- (4) 乾式キャスクを用いる使用済燃料中間貯蔵建屋の基礎構造の設計に関する技術規程 (JEAC 4616-2009) (日本電気協会 原子力規格委員会,平成21年12月制定)

## 2.1.2 クレーン支持用架構

クレーン支持用架構はキャスク搬出入用の天井クレーンを支持する架構で、南北方向に 30.00m、東西方向に 25.50m、地盤面からの高さが 51.42m の柱部分と、北方向に 29.50m 跳ね出した片持ち梁部分からなる逆 L 字型の架構である。構造形式はラーメン構造で、構造種別は鉄骨造である。柱、大梁には、箱型断面部材を用いる。

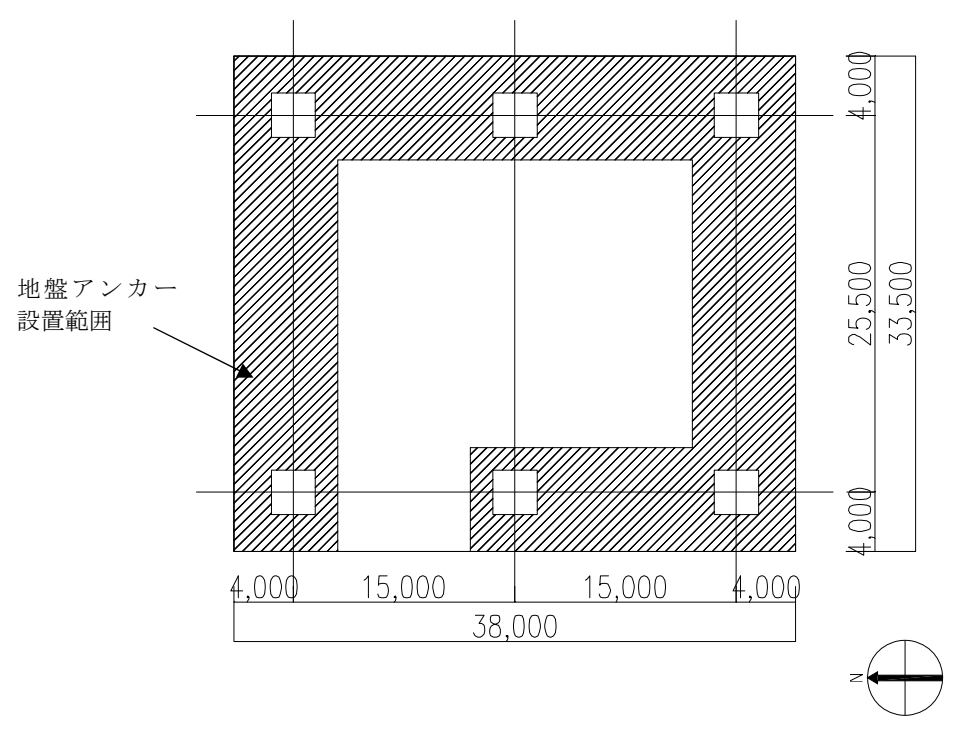
基礎形式は基礎スラブによる直接基礎とし、地震時の基礎の転倒防止対策として地盤アンカーを用い、基礎スラブを支持する地盤は地盤改良により強固な支持地盤を形成する。改良地盤は既存の原子炉建屋と同様に泥岩に着底している。

クレーン支持用架構の概要を図 2.1.2-1 に, 基礎スラブ及び改良地盤の概要を図 2.1.2-2 に示す。

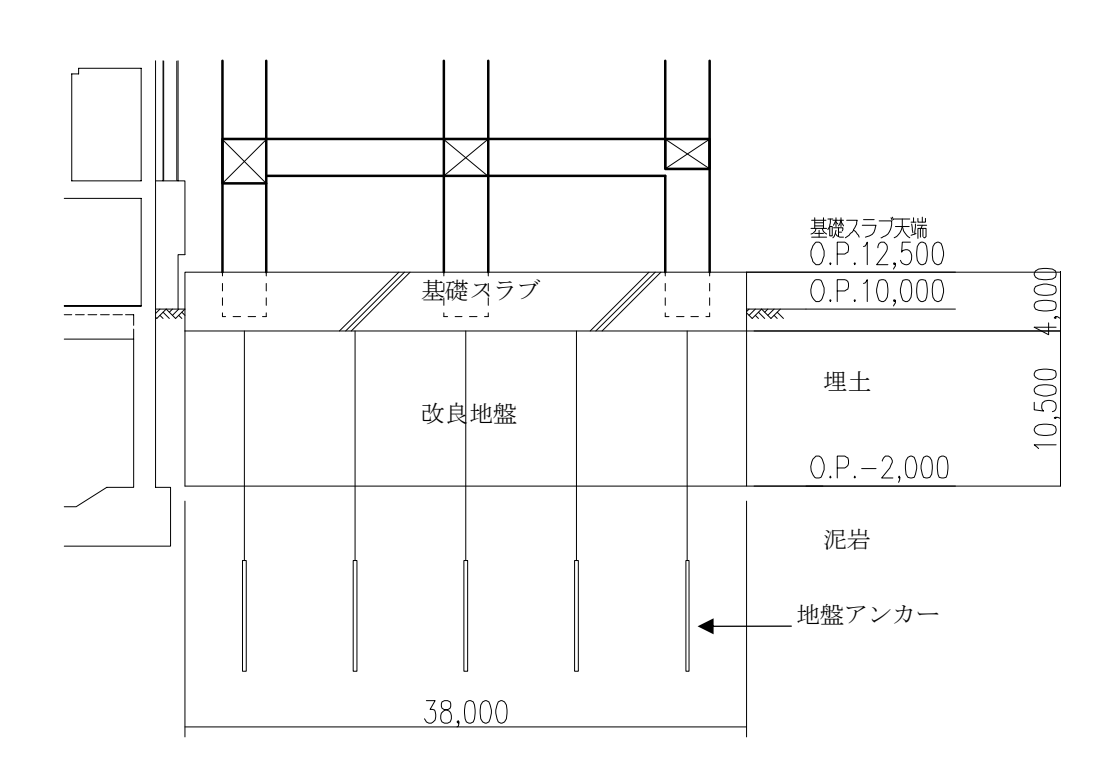


(b) 軸組図

図 2.1.2-1 クレーン支持用架構の概要(単位:mm)



(a) 基礎伏図



(b) 基礎断面図

図 2.1.2-2 基礎スラブ及び改良地盤の概要(単位:mm)

## 2.1.3 燃料取扱機支持用架構

燃料取扱機支持用架構は燃料取扱機を支持する架構で、南北方向に 30.50m, 東西方向に 13.36m, 地盤面からの高さが 30.77m の柱及び梁からなる逆 L 字型の架構である。構造形式はラーメン構造で、構造種別は鉄骨造である。

支持形式は,原子炉建屋シェル壁上端及び1階から2階の南側外壁に支持する構造である。燃料 取扱機支持用架構の概要を図2.1.3-1(1)及び図2.1.3-1(2)に示す。

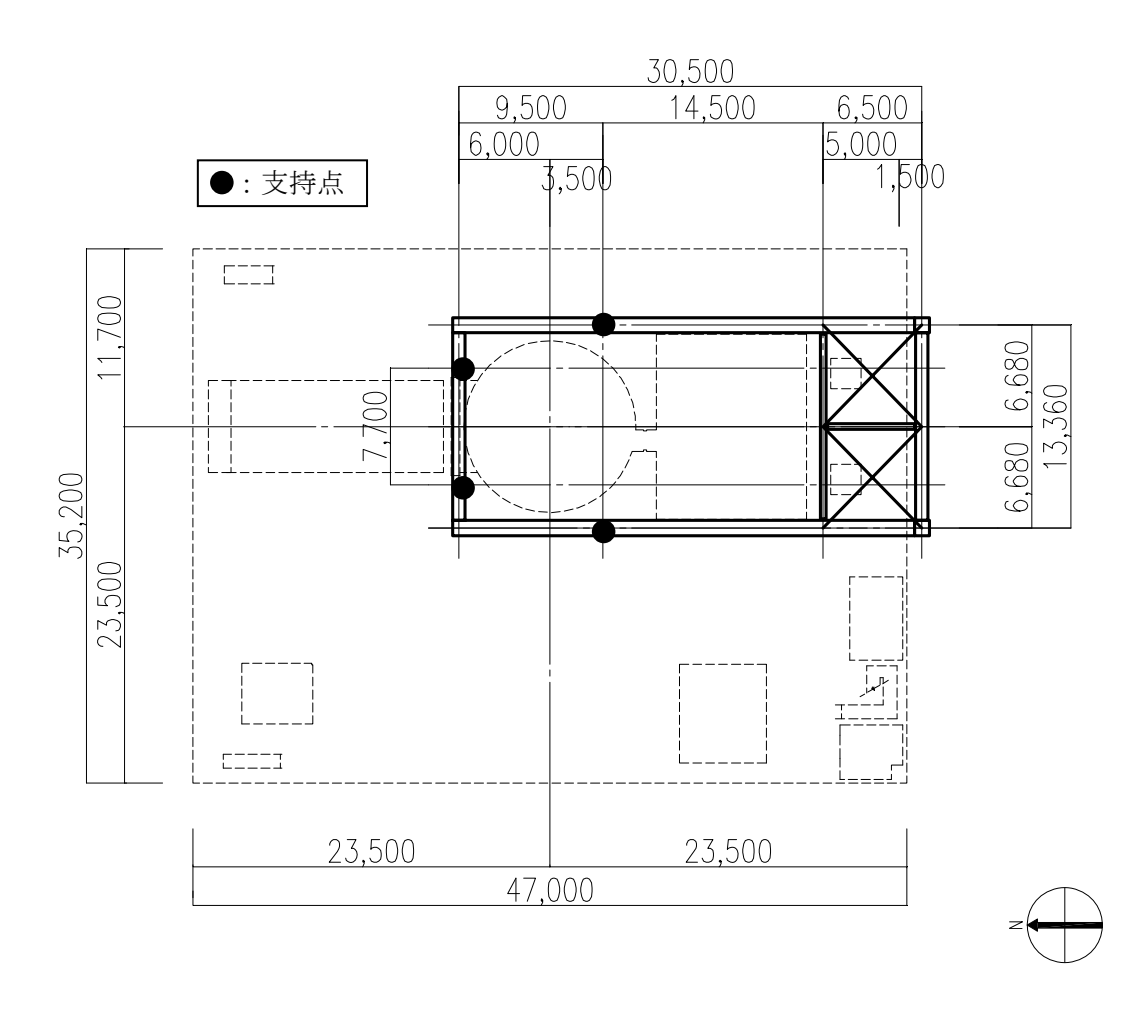
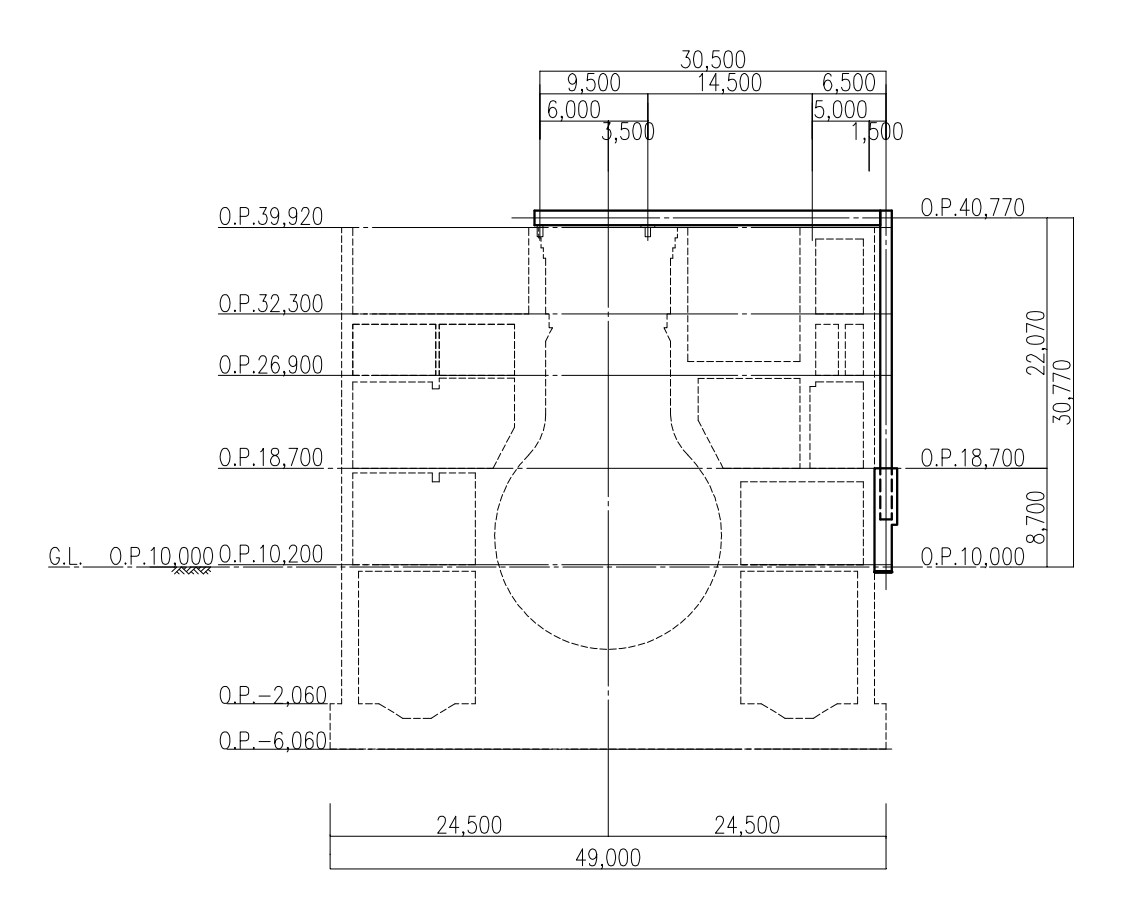
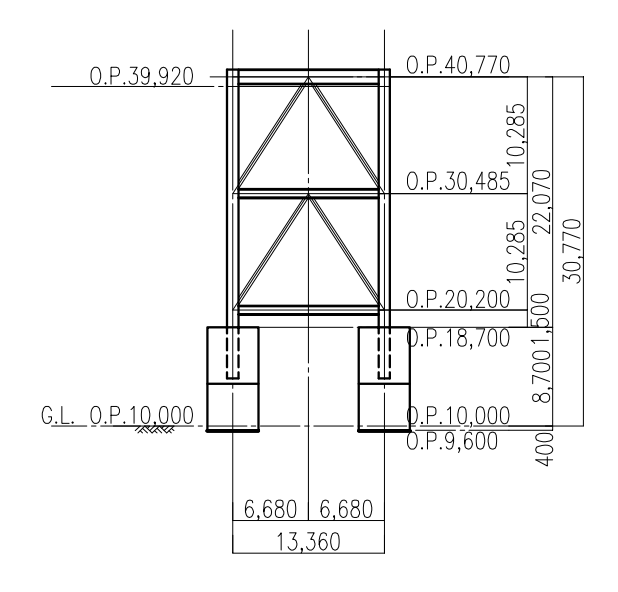


図 2.1.3-1(1) 燃料取扱機支持用架構の概要(梁伏図(0.P.41,420))(単位:mm)

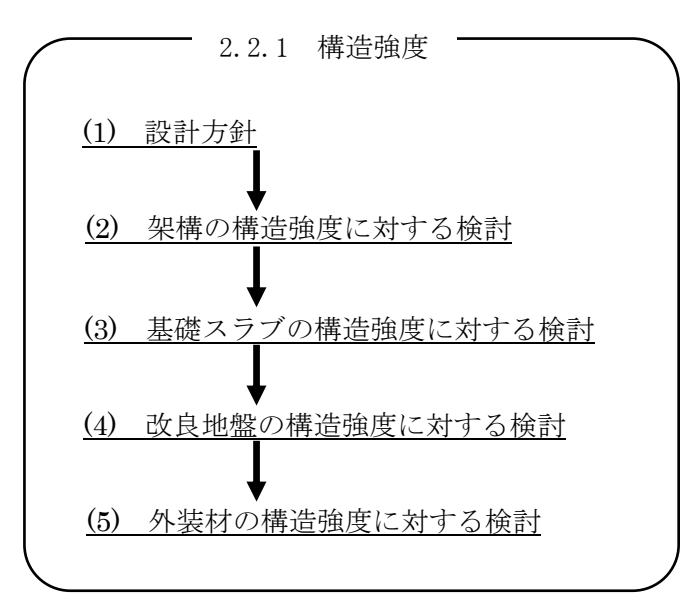


(a) 断面図



(b) 立面図 図 2.1.3-1(2) 燃料取扱機支持用架構の概要(単位:mm)

## 2.2 クレーン支持用架構の構造強度及び耐震性について クレーン支持用架構の構造強度及び耐震性の検討フローを図 2.2-1 に示す。



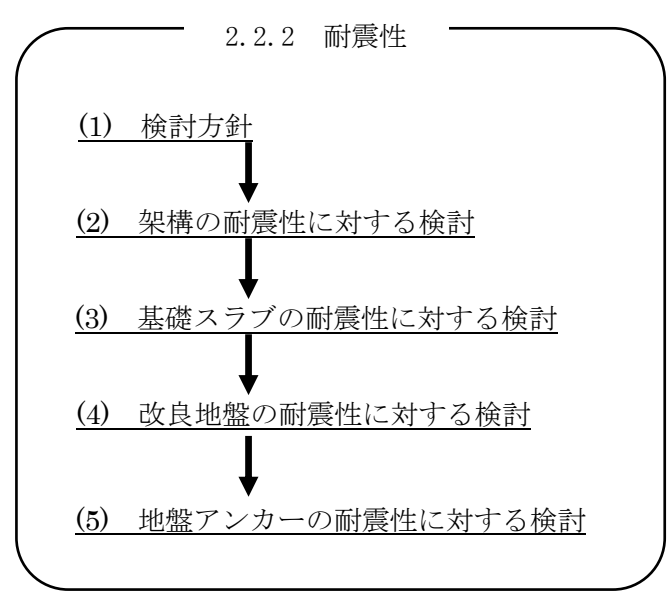


図 2.2-1 クレーン支持用架構の検討フロー

## 2.2.1 構造強度

## (1) 設計方針

構造強度の検討は、クレーン支持用架構、基礎スラブ、改良地盤及び外装材について許容応力度 設計を実施する。

## 1) 使用材料及び許容応力度

使用材料の物性値及び許容応力度を表 2.2.1-1(1)及び表 2.2.1-1(2)に示す。

表 2.2.1-1(1) クレーン支持用架構の物性値及び許容応力度

## 材料定数

部位	材料	ヤング係数	ポアソン比	単位体積重量	
		$E (N/mm^2)$	ν	γ (kN/m³)	
架構	鉄骨	$2.05 \times 10^{5}$	0.3	77.0	
基礎スラブ	コンクリート	$2.44 \times 10^{4}$	0.2	24.0	

## コンクリートの許容応力度

(単位: N/mm<sup>2</sup>)

		長期		短期		
設計基準強度=30	圧縮	引張	せん断	圧縮	引張	せん断
	10.0	_	0.790	20.0		1.185

## 鉄筋の許容応力度

(単位: N/mm<sup>2</sup>)

記号 鉄筋径		長其	朝	短期		
마나 ク	少人別儿主	引張及び圧縮		せん断補強		
SD345	D29 未満	215	105	9.45	9.45	
SD349	D29 以上	195	199	040	345	
CD200	D29 未満	215	105	200	200	
SD390	D29 以上	195		ე <del>მ</del> 0	390	

## 構造用鋼材の許容応力度

(単位: N/mm<sup>2</sup>)

板厚	材料	基準強度 F	許容応力度
T≦40mm	SS400, SN400B	235	
T>40mm	SN400B	215	「鋼構造設計規準」に 従い,左記Fの値より
T≦40mm	SM490A, SN490B	325	水める
T≦40mm	$\mathrm{SM}520\mathrm{B}$	355	

表 2.2.1-1(2) 改良地盤,支持地盤の物性値及び許容応力度

## 改良地盤の許容応力度

(単位: kN/m<sup>2</sup>)

設計基準強度=2300*1	長期			短期		
欧可圣华派及-2000	圧縮	引張	せん断	圧縮	引張	せん断
改良地盤	766	_	153	1533	_	306
断面欠損を考慮*2	750	_	114	1502	_	229

\*1:施工結果を反映した

\*2:「JEAC4616-2009」に準拠し、断面欠損を鉛直方向に 2%、せん断方向に 25%考慮した

## 支持地盤の許容支持力度

(単位: kN/m²)

種別	長期*1	短期*1
泥岩 (岩盤)	1960	3920

\*1:「福島第一原子力発電所第4号機工事計画認可申請書」による

## 2) 荷重及び荷重組合せ

設計で考慮する荷重を以下に示す。

## ·鉛直荷重 (VL)

クレーン支持用架構に作用する鉛直方向の荷重で,固定荷重,機器荷重,配管荷重,積載荷重及 び地盤アンカーの効果を考慮した荷重とする。

## ・クレーン荷重 (CL)

天井クレーンによる荷重を表 2.2.1-2 に示す。

表 2.2.1-2 クレーン荷重一覧表

クレーン自重	1666 kN
トロリ自重	1010 kN
吊荷	980 kN

## ・積雪荷重 (SL)

積雪荷重は建築基準法施行令及び福島県建築基準法施行規則細則に準拠し以下の条件とする。

積雪量:30cm, 単位荷重:20N/m²/cm

## · 風圧力 (WL)

風圧力は建築基準法施行令に準拠し、基準風速を 30m/s、地表面粗度区分Ⅱとして算定する。速度圧の算定結果を表 2. 2. 1-3 に示す。

表 2. 2. 1-3 速度圧の算定結果

建物高さ*	平均風速の 鉛直分布係数	ガスト 影響係数	建物高さと粗度 区分による係数	基準風速	速度圧
H (m)	Er	Gf	E	Vo (m/s)	q (N/m²)
52.73	1.28	2.00	3.28	30	1769

\*: 建物高さは、軒高さ (52.34m) と最高高さ (53.12m) の平均値とした

## ・地震荷重 (K)

水平地震力は 0. P. 10. 0m を基準面として,下式により算定し,算定結果を表 2. 2. 1-4 に示す。

 $Qi=n \cdot Ci \cdot Wi$  $Ci=Z \cdot Rt \cdot Ai \cdot Co$ 

## ここで,

Qi:水平地震力(kN)

n:施設の重要度に応じた係数(n=1.5)

建築基準法で定める地震力の1.5倍を考慮する。

Ci:地震層せん断力係数

Wi: 当該部分が支える重量(kN)

Z : 地震地域係数 (Z=1.0) Rt:振動特性係数 (Rt=1.0)

Ai:地震層せん断力係数の高さ方向の分布係数で、クレーン支持用架構の固有値を用いた

モーダル法(二乗和平方根法)により求める。

C<sub>0</sub>:標準せん断力係数(C<sub>0</sub>=0.2)

表 2. 2. 1-4 水平地震力の算定結果

階	標高	各階重量	Wi	Α	si .	n ·	Ci	(k	<b>)</b> i N)
P自	O.P. (m)	(kN)	(kN)	NS 方向	EW 方向	NS 方向	EW 方向	NS 方向	EW 方向
R	61.42	10569				_		_	
6	50.72~61.42	13780	10569	1.443	1.477	0.433	0.443	4576	4683
5	43.42~50.72	5195	24349	1.302	1.328	0.391	0.398	9514	9702
4	39.92~43.46	9019	29544	1.254	1.272	0.376	0.382	11118	11271
3	32.46~39.92	5782	38563	1.183	1.187	0.355	0.356	13685	13730
2	21.50~32.46	6390	44345	1.113	1.114	0.334	0.334	14807	14818
1	12.50~21.50	_	50735	1.000	1.000	0.300	0.300	15221	15221

## ・荷重組合せ

設計で考慮するクレーンの位置を図 2.2.1-1 に、荷重組合せを表 2.2.1-5 に示す。

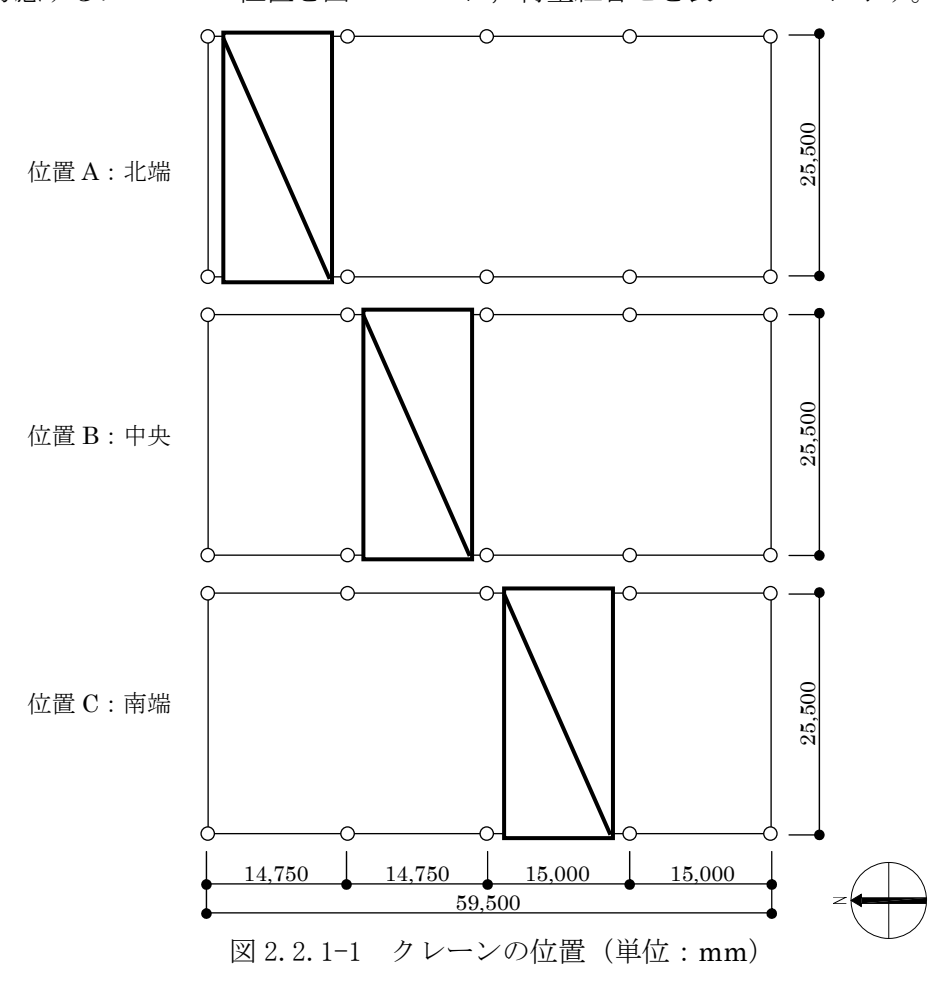


表 2.2.1-5 クレーン支持用架構の荷重組合せ

想定する状態	荷重ケース	荷重組合せ内容	許容応力度			
常時	C	$\mathrm{VL}+\mathrm{CL}^{\star_1}$	長期			
積雪時*3	S	$VL+CL^{*1}+SL$				
暴風時*3	W	$VL+CL^{*1}+WL$				
	E1	$VL+CL^{*1}+K(+NS)^{*2}$	短期			
地震時	E2	$VL+CL^{*1}+K(-NS)^{*2}$	<del>垃圾</del>			
地長时	E3	VL+CL*1+K(+EW)*2				
	E4	VL+CL*1+K(-EW)*2				

\*1: 吊荷重量は、常時、積雪時及び暴風時はクレーン位置、地震時は仕立てエリアにて考慮する。

\*2: 地震荷重は NS 方向及び EW 方向を考慮する。

\*3: 短期事象では地震時が支配的であることから,積雪時及び暴風時の検討は省略する。ただし,外装材の検討は暴風時が支配的であることから暴風時に対し検討を行う。

なお、地震時と暴風時のクレーン支持用架構の層せん断力について、風荷重の受圧面積が最大になる EW 方向で比較した結果を図 2.2.1-2 に示す。図 2.2.1-2 より、地震時の層せん断力は暴風時の層せん断力を包絡しており、支配的な荷重である。

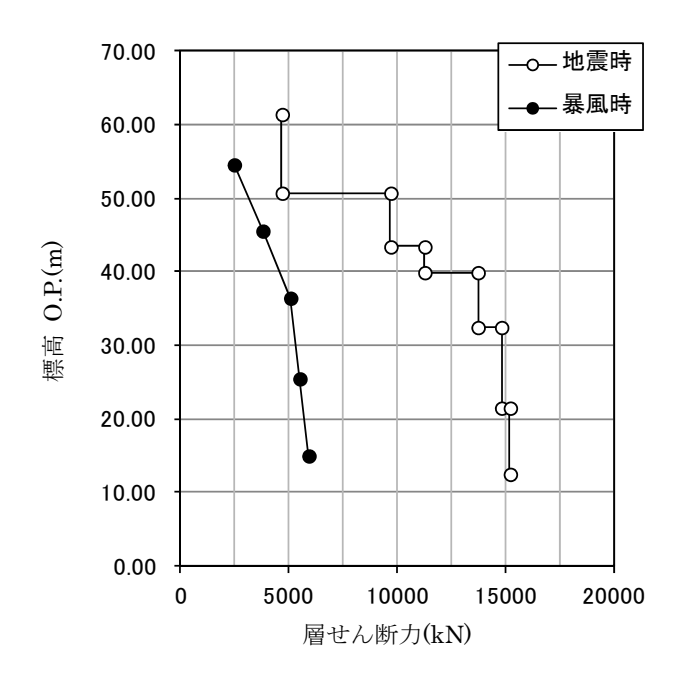


図 2.2.1-2 地震時と暴風時の層せん断力の比較

## (2) 架構の構造強度に対する検討

## 1) 解析モデル

クレーン支持用架構の解析モデルは、基礎スラブ厚中央(O.P.10.5m)より上部を立体架構モデルとし、柱及び梁の部材端部の条件は剛接、柱脚部は基礎下でピン支持とする。解析モデル、部材寸法及び応力検討箇所を図 2.2.1-3 に示す。ここに、使用する材質は SM490A とする。

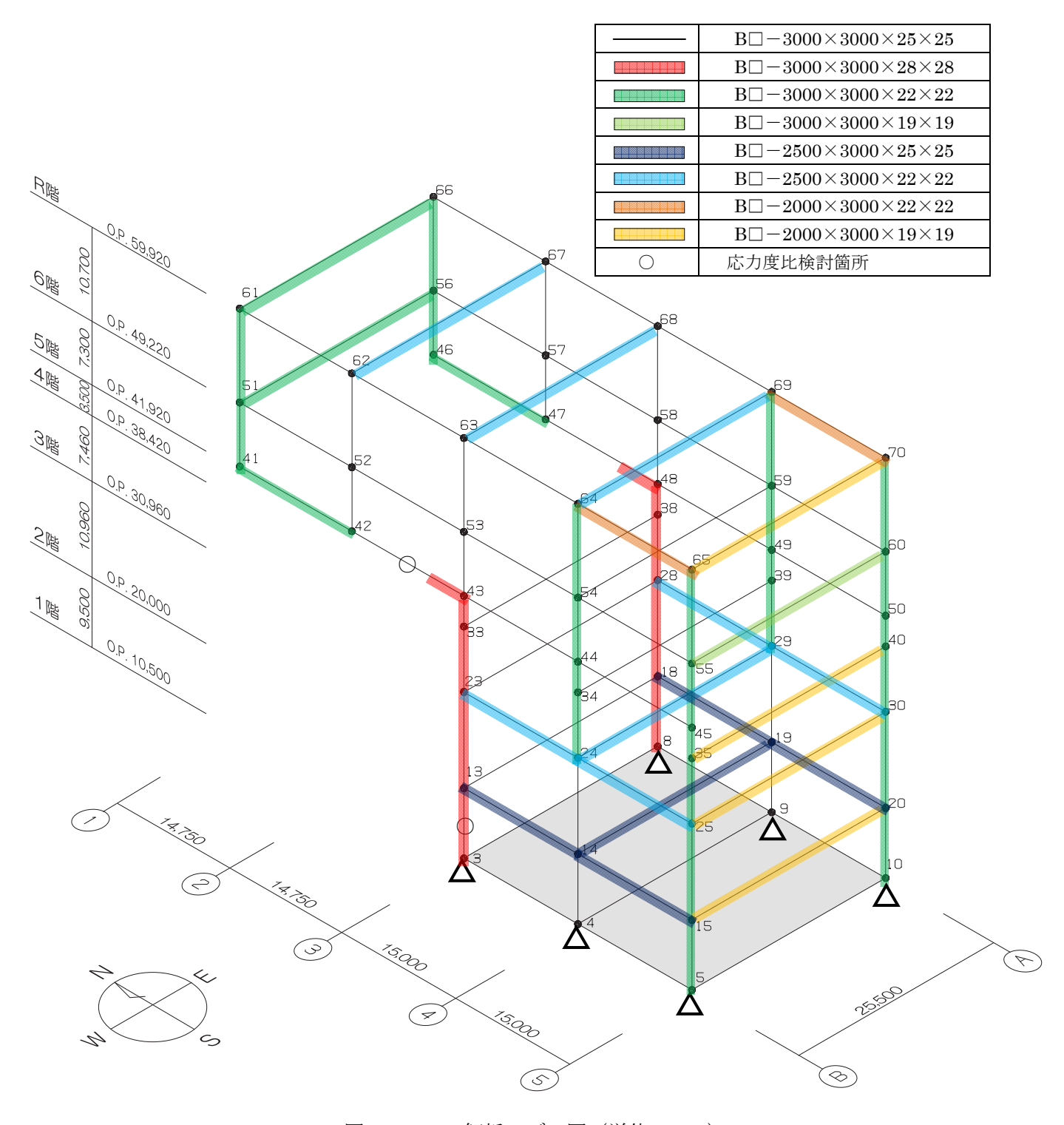


図 2.2.1-3 解析モデル図 (単位:mm)

## 2) 断面検討

応力解析結果を用い、断面検討は二方向の曲げを図2.2.1-4に示すように考慮する。

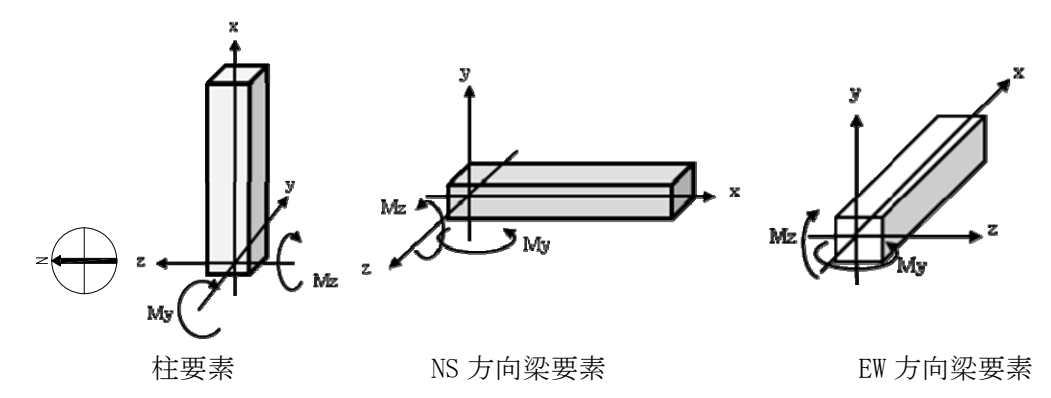


図 2.2.1-4 曲げモーメントの方向

応力度比の検討は「鋼構造設計規準」に従い、軸力及び曲げモーメントに対する検討は下式にて 行う。

・軸圧縮の場合 
$$\frac{\sigma_c}{f_c} + \frac{\sigma_{bz} + \sigma_{by}}{f_b} \le 1$$

・軸引張の場合 
$$\frac{\sigma_{\rm c} + \sigma_{\rm bz} + \sigma_{\rm by}}{f_{\rm t}} \leq 1$$

ここで, σ<sub>c</sub>: 軸応力度 (=N/A)

N:軸力, A:断面積

 $\sigma_{bz}$ : 部材 z 軸方向曲げ応力度 (= $M_z/Z_z$ )

Mz, Zz:部材z軸回りモーメント及び断面係数

 $\sigma$  by: 部材 y 軸方向曲げ応力度 (= $M_y/Z_y$ )

 $M_v$ ,  $Z_v$ : 部材 v 軸回りモーメント及び断面係数

 $f_c$ : 許容圧縮応力度  $f_b$ : 許容曲げ応力度  $f_t$ : 許容引張応力度

また, せん断力に対する検討は下式にて行う。

$$\frac{\sqrt{(\sigma_{c} + \sigma_{bz} + \sigma_{by})^{2} + 3\tau_{z}^{2}}}{f_{t}} \leq 1 \quad \text{for} \quad \frac{\sqrt{(\sigma_{c} + \sigma_{bz} + \sigma_{by})^{2} + 3\tau_{y}^{2}}}{f_{t}} \leq 1$$

ここで,  $\tau_z$ : 部材 z 軸方向せん断応力度 (= $Q_z/A_{wz}$ )

Q<sub>z</sub>, A<sub>wz</sub>: 部材 z 軸方向せん断力及びせん断断面積

 $\tau_y$ : 部材 y 軸方向せん断応力度 (=Q<sub>y</sub>/A<sub>wy</sub>)

Q<sub>v</sub>, A<sub>wv</sub>: 部材 y 軸方向せん断力及びせん断断面積

表 2.2.1-6 及び表 2.2.1-7 に応力度比が最大となる部位の断面検討結果を示す。 断面検討の結果,全ての部材に対する応力度比が1以下になることを確認した。

表 2.2.1-6 断面検討結果 (常時)

部位	検討 箇所	部材形状 (mm)	荷重ケース (位置)*1	作用 応力度 (N/mm²)		許容 応力度 (N/mm²)	応力度比	判定
柱		B□-3000×3000 ×28×28	C (A)	曲げ Mz	37.3	216.7		ОК
	1 階 3-B			曲げ My	8.4	216.7	0.52	
				圧縮 N	65.1	213.6		
				せん断 Qz	0.8	125.1		
				せん断 Qy	8.9	125.1		
梁	5 階 2-3/B	B□-3000×3000 ×28×28	C (A)	曲げ Mz	93.0	216.7	0.55	ОК
				曲げ My	0.4	216.7		
				圧縮 N	19.2	214.1		
				せん断 Qz	0.4	125.1		
				せん断 Qy	20.1	125.1		

\*1:クレーンの位置を示す

表 2.2.1-7 断面検討結果(地震時)

部位	検討 箇所	部材形状 (mm)	荷重ケース (位置)*1	作用 応力度 (N/mm²)		許容 応力度 (N/mm²)	応力度比	判定
		B□-3000×3000 ×28×28	E3 (A)	曲げ Mz	160.6	325.0		ОК
柱				曲げ My	31.9	325.0	0.86	
	1 階 3-B			圧縮 N	79.5	320.4		
				せん断 Qz	7.9	187.6		
				せん断 Qy	37.1	187.6		
梁	5 階 2-3/B	B□-3000×3000 ×28×28	E3 (A)	曲げ Mz	93.1	325.0		OK
				曲げ My	58.9	325.0		
				圧縮 N	20.0	321.1		
				せん断 Qz	8.3	187.6		
				せん断 Qy	20.5	187.6		

\*1:クレーンの位置を示す

#### (3) 基礎スラブの構造強度に対する検討

#### 1) 解析モデル

基礎スラブの応力解析は、弾性地盤上に支持された版として有限要素法を用いて行い、解析モデルは図 2.2.1-5 に示すように四辺形の均質等方な板要素により構成し、支持地盤は等価な弾性ばねとしてモデル化する。

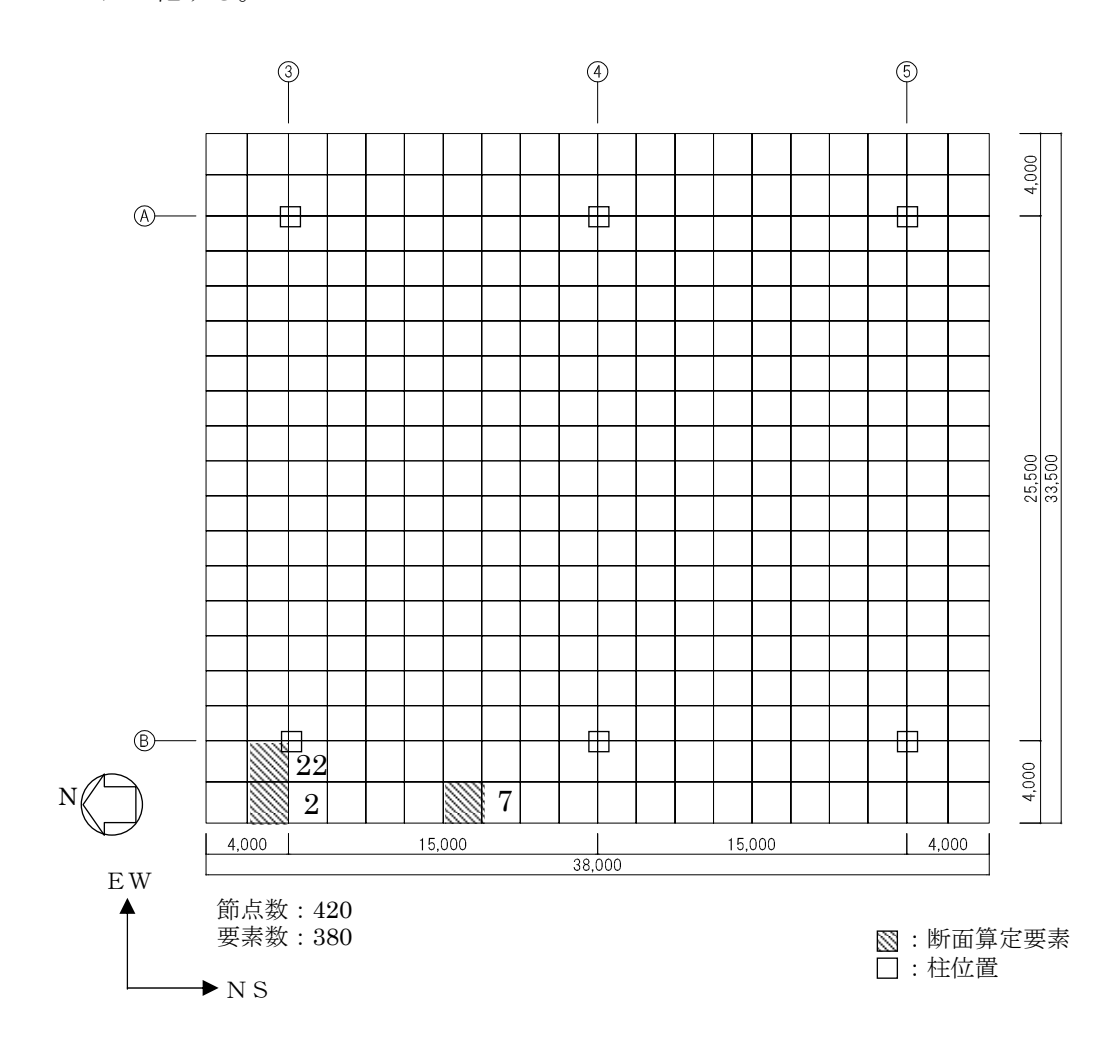


図 2.2.1-5 解析モデル図 (単位:mm)

#### 2) 断面検討

組合せた応力より、各要素の必要鉄筋比を「原子力施設鉄筋コンクリート構造計算規準・同解説」より求め、設計配筋が必要鉄筋比を上回ること及び面外せん断力が許容せん断力以下であることを確認する。必要鉄筋比が最大となる要素と設計面外せん断力と許容せん断力との比が最大になる要素の断面検討結果を表 2.2.1-8 に示し、必要鉄筋比が最大となる要素を含む EW 方向の配筋図を図 2.2.1-6 に示す。

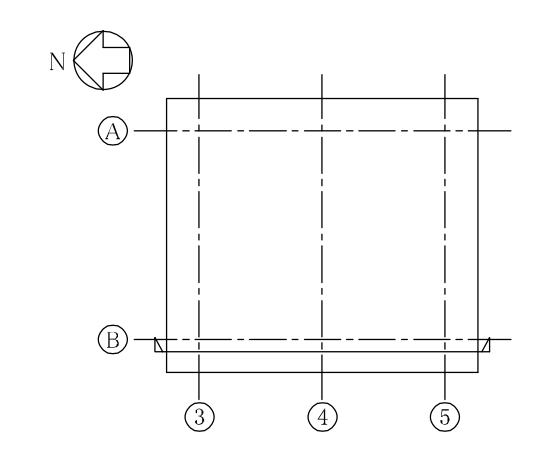
断面検討の結果,設計配筋は必要鉄筋比を上回り,また面外せん断力は許容せん断力以下である ことを確認した。

表 2.2.1-8 基礎スラブの断面算定表

要素番号	方向	荷重ケース	設計応力  N*2 M (kN/m) (kN·m/m)	N/(b·D) *2 (×10 <sup>-2</sup> N/mm <sup>2</sup> )	$\frac{\text{M/(b·D}^2)}{(\times 10^{-2} \text{N/mm}^2)}$	P t a t (mm²/n	· ·	設計配筋 上段:上端筋 [断面積 mm²/m] (	n²/m] (pt:%)	荷重ケース	設計面外 せん断力 Q	許容 せん断力 f <sub>s</sub> ·b·j	判定	
		(位置)*1		(**10*11)*******************************	(**10*11/11111)		(mm <sup>-</sup> /m)	下段:下端筋[断面積 mm	_	(位置)*1	(kN/m)	(kN/m)		
2 E	NC	C (A)	-53	2397	-1.4	15.0	0.09	3600	D38@200+D38@400 [85	550] (0. 21)	C(C)	126	2627	ОК
	No	E3(A)	-264	2643	-6. 6	16.6	0.06	2400	D38@200+D38@400 [85	550] (0. 21)	E1(C)	215	3940	ОК
	EW	C (A)	16	1589	0.4	10.0	0.06	2400	3-D38@200 [17	7100] (0.43)	C (A)	1583	2627	ОК
	EW	E3(A)	110	2111	2.8	13. 2	0.03	1200	2-D38@200 [11	1400] (0. 29)	E3(A)	1925	3940	ОК
7 EV	NC	C (A)	47	3678	1. 2	23.0	0. 13	5200	D38@200+D38@400 [85	550] (0. 21)	C(C)	245	2627	ОК
	No	E2(A)	29	3932	0.8	24.6	0.07	2800	1-D38@200 [	700] (0. 14)	E2(C)	396	3940	ОК
	EW	C(C)	-2	40	-0. 1	0.3	0.00	0	1-D38@200 [57	700] (0. 14)	C(B)	135	2627	ОК
	EW	E4(A)	-26	112	-0.7	0.7	0.00	0	1-D38@200 [57	700] (0. 14)	E2(A)	154	3940	ОК
	NS	C (A)	13	2582	0.4	16. 2	0.09	3600	D38@200+D38@400 [85	8550] (0. 21)	C(C)	104	2627	ОК
22	1/13	E2(A)	239	4038	6. 0	25. 3	0.06	2400	D38@200+D38@400 [85	550] (0. 21)	E1(C)	541	3940	ОК
	EW	C (A)	77	2818	2. 0	17.7	0. 10	4000	3-D38@200 [17	7100] (0.43)	C(C)	575	2627	ОК
	EW -	E3(A)	470	4754	11.8	29.8	0.07	2800	2-D38@200 [11	1400] (0. 29)	E4(A)	1227	3940	ОК

\*1: クレーンの位置を示す

\*2: 圧縮を正とする



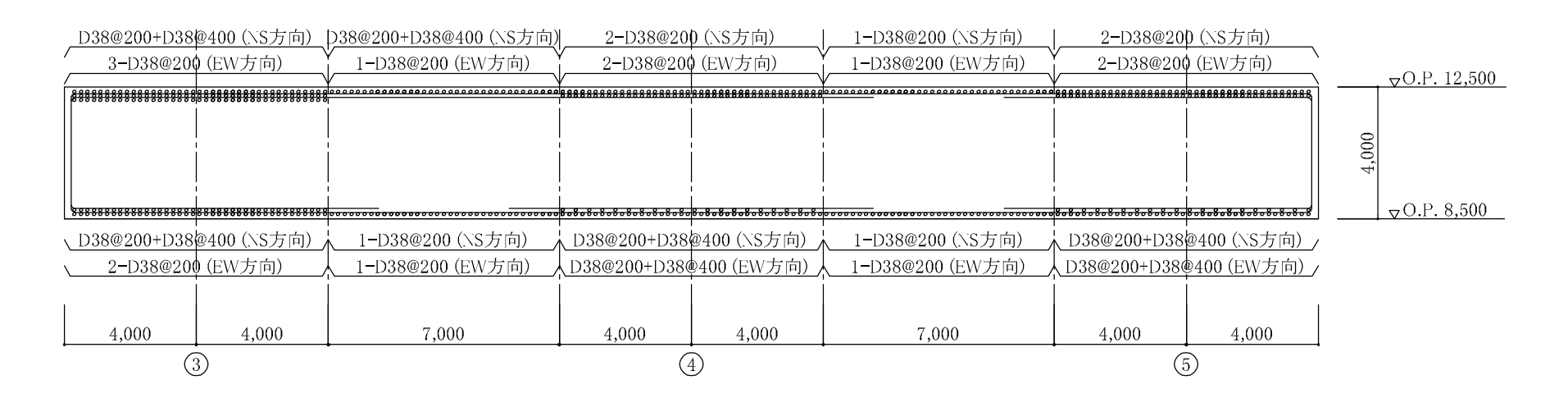


図 2.2.1-6 基礎スラブの配筋図 (B 通り) (単位:mm)

## (4) 改良地盤の構造強度に対する検討

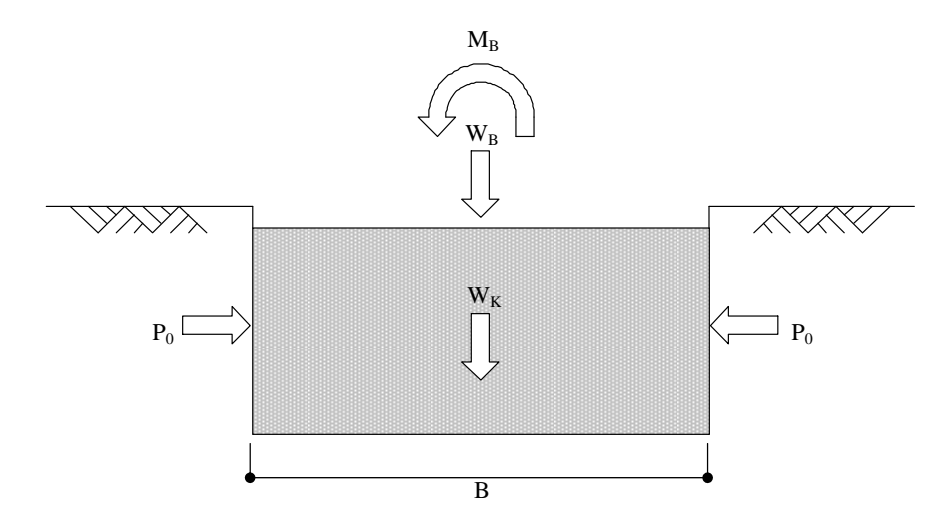
#### 1) 設計方針

クレーン支持用架構を支持する改良地盤は、基礎スラブ直下の地盤を南北方向に 38.0m、東西方向に 33.5m、改良厚さ 10.5m とし、0.P.-2.0m の泥岩に支持する。検討は「JEAC4616-2009」に準拠し、常時及び地震時の改良地盤に生じる最大応力が許容応力度以下であることを確認する。さらに、改良地盤直下の支持地盤の支持力に対して、常時及び地震時の改良地盤に生じる最大接地圧が許容支持力度以下であることを確認する。

## 2) 常時に対する検討

## ・改良地盤の検討

常時において、改良地盤底面に生じる最大接地圧が改良地盤の長期許容圧縮応力度以下であることを確認する。図 2.2.1-7 に作用荷重を示す。



W<sub>B</sub>:架構荷重+基礎スラブ荷重+地盤アンカー荷重

WK: 改良地盤の自重

M<sub>B</sub>:架構の偏心による転倒モーメント

Po: 長期設計用土圧

B: 改良幅

図 2.2.1-7 作用荷重(常時)

改良地盤の荷重負担範囲は、面積 A=1273m<sup>2</sup>、断面係数 Z=8062m<sup>3</sup>となり、改良地盤底面に生じる最大接地圧は下式にて求める。

鉛直力の合計  $\Sigma$  W=W<sub>B</sub>+W<sub>K</sub>=607373kN

転倒モーメントの合計  $\Sigma$ M=M<sub>B</sub>=666480kNm

改良地盤の最大接地圧  $q_r = \Sigma W/A + \Sigma M/Z = 560 kN/m^2$ 

改良地盤に生じる最大接地圧( $q_r$ )は、改良地盤の長期許容圧縮応力度( $_Lf_{sc}$ )以下であることを確認した。

 $q_r {=}\, 560 kN/m^2 \quad \leqq \quad {}_L f_{SC} {=}\, 750 kN/m^2$ 

## ・支持力の検討

改良地盤底面に生じる最大接地圧( $q_r$ )が、改良地盤直下の支持地盤の長期許容支持力度( $Lq_a$ )以下であることを確認した。

改良地盤の最大接地圧  $q_r=560 k N/m^2$  支持地盤の長期許容支持力度  $Lq_a=1960 k N/m^2$ 

 $q_r = 560 kN/m^2 \quad \leqq \quad {}_L q_a = 1960 \ kN/m^2$ 

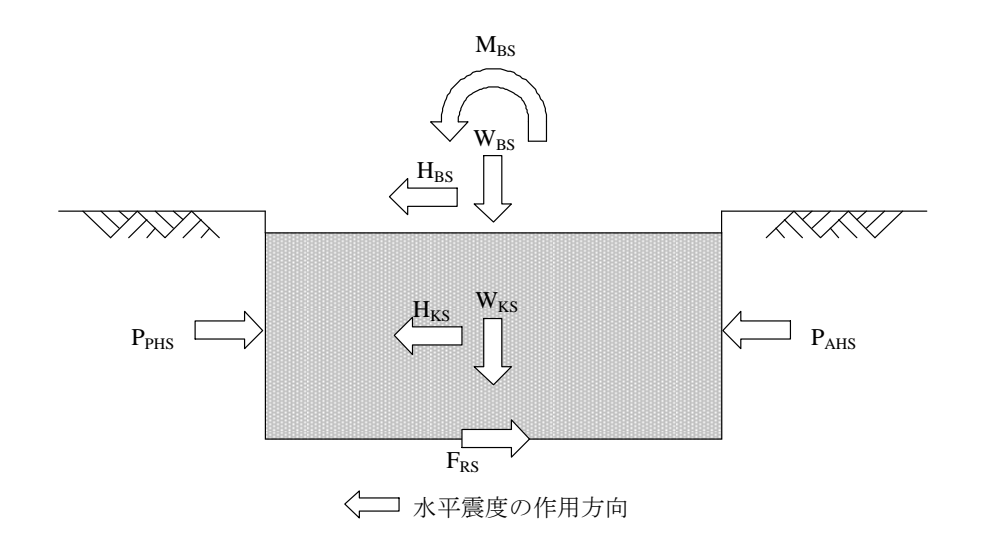
#### ・沈下の検討

支持地盤は泥岩(岩盤)であるため、沈下の検討は不要である。

## 3) 地震時に対する検討

## ・改良地盤の検討

地震時において、改良地盤底面の最大接地圧及びせん断応力が、改良地盤の短期許容応力度以下であることを確認する。図 2.2.1-8 に作用荷重を示す。



WBS:架構荷重+基礎スラブ荷重+地盤アンカー荷重

Wks: 改良地盤の自重

HBS:架構による水平力+基礎スラブによる水平力

Mbs:架構と基礎スラブによる改良地盤底面における転倒モーメント

HKS: 改良地盤の慣性力(地中震度 0.15)

P<sub>AHS</sub>: 地震時主働土圧による水平力

PPHS: 地震時受働土圧による水平力

FRS: 支持地盤のせん断抵抗力

図 2.2.1-8 作用荷重(地震時)

改良地盤の荷重負担範囲は、面積 A=1273m²、断面係数 Z=8062m³ となり、改良地盤底面の最大接地圧( $q_{1S}$ )及び最大せん断応力( $\tau$  max)は下式にて求める。

鉛直力の合計  $\Sigma$  W=W<sub>BS</sub>+W<sub>KS</sub>=607373kN

水平力の合計  $\Sigma$  H= H<sub>BS</sub>+H<sub>KS</sub>+P<sub>AHS</sub> +P<sub>PHS</sub> =94687kN

転倒モーメントの合計  $\Sigma$  M=M<sub>BS</sub>+M<sub>KS</sub>+M<sub>AHS</sub>+M<sub>PHS</sub>=1944139kNm

ここに、 MKS: 改良地盤の転倒モーメント

M<sub>AHS</sub>: 地震時主働土圧による転倒モーメント M<sub>PHS</sub>: 地震時受働土圧による転倒モーメント

改良地盤底面の最大接地圧  $q_{1S} = \Sigma W/A + \Sigma M/Z = 719 kN/m^2$  改良地盤底面の最大せん断応力  $\tau_{max} = 1.2 \times \Sigma H/A = 90 kN/m^2$ 

改良地盤底面の最大接地圧( $q_{1S}$ )及び最大せん断応力( $\tau_{max}$ )は短期許容応力度( $sf_{sc}$ 及び  $sf_{ss}$ )以下であることを確認した。

$$\begin{split} q_{1S} &= 719 k N/m^2 \; \leqq \; \; _{S}f_{SC} = 1502 \; k N/m^2 \\ \tau_{max} &= 90 k N/m^2 \; \leqq \; \; _{S}f_{SS} = 229 \; k N/m^2 \end{split}$$

#### ・支持力の検討

改良地盤底面に生じる最大接地圧 (q<sub>1</sub>s) が、改良地盤直下の支持地盤の短期許容支持力度 (sq<sub>a</sub>) 以下であることを確認した。

改良地盤の最大接地圧  $q_{1S} = 719 k N/m^2$  支持地盤の短期許容支持力度  $sq_a = 3920 k N/m^2$ 

 $q_{\rm 1S} = 719 kN/m^2 ~\leq~ {\rm s}q_a = 3920~kN/m^2$ 

## (5) 外装材の構造強度に対する検討

#### 1) 設計方針

クレーン支持用架構の屋根面及び側面を覆う外装材は、鋼板パネルを用いる。設計荷重は暴風時の影響が支配的であることから積雪時及び地震時の検討は省略し、暴風時の応力が短期許容応力度以下になることを確認する。なお、許容応力度は製造メーカの推奨値を、屋根面のたわみは「鋼板製屋根構法標準(SSR2007)」(社団法人日本金属屋根協会、2007)、壁面のたわみは「建築工事標準仕様書・同解説 JASS14 カーテンウォール工事」に準じて設定した。

## 2) 設計用荷重

設計用風圧力は,平均速度圧にピーク風力係数を乗じて算出する。速度圧の算定結果を表 2.2.1-9 に,ピーク風力係数を表 2.2.1-10 に示し,風力係数の算定箇所のイメージを図 2.2.1-9 に示す。

	<b>公司</b>	<u> </u>	
建物高さ*	平均風速の 鉛直分布係数	基準風速	平均速度圧
H (m)	Er	Vo (m/s)	q (N/m²)
52.73	1.28	30	885

表 2.2.1-9 速度圧の算定結果

\*: 建物高さは、軒高さ (52.34m) と最高高さ (53.12m) の平均値とした

建物高さ* H		屋根面	壁面		
(m)	一般部	周縁部	隅角部	一般部	隅角部
52.73	-2.5	-3.2	-4.3	-2.11	-2.62

表 2.2.1-10 ピーク風力係数

\*: 建物高さは、軒高さ(52.34m)と最高高さ(53.12m) の平均値とした

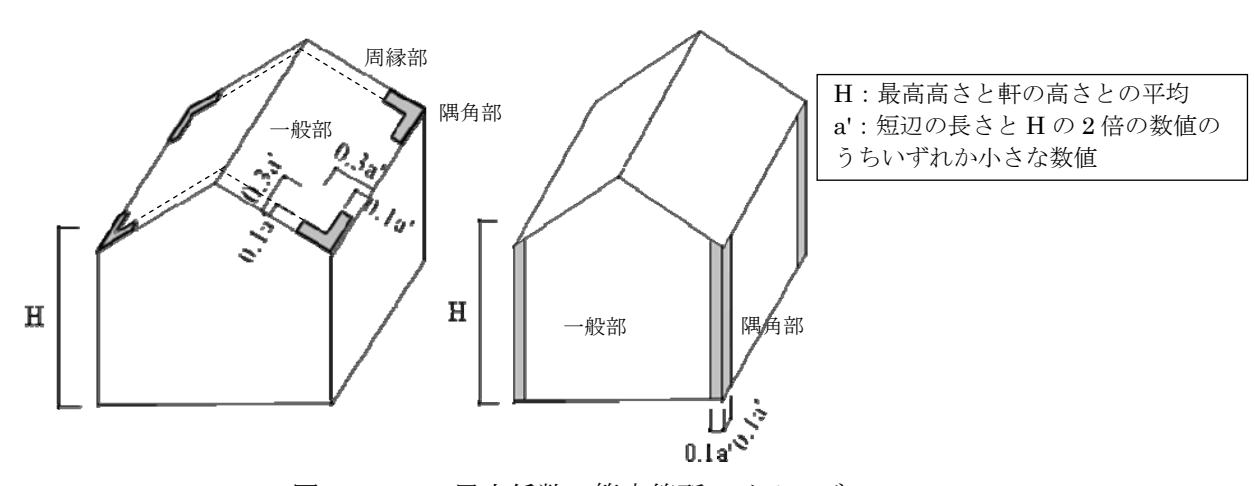


図 2.2.1-9 風力係数の算定箇所のイメージ

## 3) 外装材の強度検討

検討は応力が厳しくなる図 2.2.1-9 に示す隅角部について行う。ここでは、鋼板パネルの自重は 考慮しないものとする。

#### a. 屋根材

鋼板パネルは下地材の間隔が 1.8m で連続支持されているものとし、暴風時の応力度とたわみに対して検討を行う。屋根材の材料諸元を表 2.2.1-11 に示す。

	表面材							芯材		
ヤング 係数	せん断 弾性係数	せん断 断面積	形状係数	許 容 応力度	断面係数	せん断 弾性係数	断面積	形状係数		
$\mathbf{E}$	G	As		$\mathbf{f}_{\mathrm{b}}$	${f Z}$	G	A			
(N/mm <sup>2</sup> )	(N/mm <sup>2</sup> )	$(mm^2)$		$(N/mm^2)$	(mm <sup>3</sup> )	$(N/mm^2)$	$(mm^2)$			
2.06×10 <sup>5</sup>	7.92×10 <sup>4</sup>	210.7	0.022	59.8	26.3×10³	3.92	4.40×10 <sup>4</sup>	1.2		

表 2.2.1-11 屋根材の材料諸元

#### ・応力度に対する検討

$$\begin{split} \mathbf{M} &= \mathbf{w} \times \mathbf{L}^2 / 8 = (0.885 \times 4.3) \times 1.8^2 / 8 \ = \ 1.542 \ \text{kNm} \\ \sigma_b &= \mathbf{M} / \mathbf{Z} = 1.542 \times 10^6 / 26.3 \times 10^3 \ = \ 58.7 \ \text{N/mm}^2 \\ \frac{\sigma_b}{f_b} &= \frac{58.7}{59.8} = 0.982 \leqq 1.0 \quad \cdot \quad \cdot \quad \cdot \quad \text{OK} \end{split}$$

#### たわみの検討

たわみ量は曲げ変形成分( $\delta$  M)とせん断変形成分( $\delta$  Q)の和で評価し、屋根材の短期許容変形(1/300)\*以下であることを確認する。

$$*:$$
「鋼板製屋根構法標準(SSR2007)」(社団法人日本金属屋根協会,2007)による  $\delta=\delta$  м+  $\delta$  Q  $=0.220$  +  $0.302$  =  $0.522$  cm 
$$\frac{\delta}{L}=\frac{0.522}{180}=\frac{1}{344}\leqq \frac{1}{300}$$
 ・・・・OK

検討の結果、作用応力は屋根材の短期許容応力度以下であり、たわみは屋根材の短期許容変 形以下であることを確認した。

## b. 壁材

鋼板パネルは下地材の間隔が 1.2m で連続支持されているものとし、暴風時の応力とたわみに対して検討を行う。壁材の材料諸元を表 2.2.1-12 に示す。

表面材 芯材 ヤング せん断 許容 せん断 断面係数 形状係数 断面積 係数 応力度 弹性係数 弾性係数 Α  $\mathbf{f}_{\mathbf{b}}$  $(N/mm^2)$  $(N/mm^2)$  $(N/mm^2)$  $(mm^3)$  $(N/mm^2)$ (mm<sup>2</sup>) $2.06 \times 10^{5}$  $17.0 \times 10^{3}$  $7.92 \times 10^{4}$ 58.8 35000 4.90 1.2

表 2.2.1-12 壁材の材料諸元

#### ・応力度に対する検討

$$\begin{split} M &= w \times L^2 \ / 8 = \ (0.885 \times 2.62) \times 1.2^2 / 8 \ = \ 0.418 \ kNm \\ \sigma_b &= M / Z \ = \ 0.418 \times 10^6 / \ 17.0 \times 10^3 \ = \ 24.6 \ N/mm^2 \\ \\ \frac{\sigma_b}{f_b} &= \frac{24.6}{58.8} = 0.419 \leqq 1.0 \quad \cdot \quad \cdot \quad \cdot \quad OK \end{split}$$

#### たわみの検討

たわみ量は曲げ変形成分( $\delta_{\rm M}$ )とせん断変形成分( $\delta_{\rm Q}$ )の和で評価し、壁材の短期許容変形(1/300)\*以下であることを確認する。

\*:「建築工事標準仕様書・同解説 JASS14 カーテンウォール工事」による

$$\frac{\delta}{L} = \frac{0.368}{120} = \frac{1}{326} \le \frac{1}{300}$$
 · · · · · · OK

 $\delta = \delta_{M} + \delta_{Q} = 0.075 + 0.293 = 0.368 \text{ cm}$ 

検討の結果、作用応力は壁材の短期許容応力度以下であり、たわみは壁材の短期許容変形以下であることを確認した。

#### 2.2.2 耐震性

#### (1) 検討方針

耐震性の検討は、クレーン支持用架構、基礎スラブ、改良地盤及び地盤アンカーについて行い、 基準地震動 Ss に対して、クレーン支持用架構、基礎スラブ、改良地盤及び周辺地盤の応答性状を 適切に表現できる地震応答解析モデルを設定して実施する。

#### (2) 架構の耐震性に対する検討

#### 1) 解析に用いる入力地震動

検討用地震動は、「福島第一原子力発電所『発電用原子炉施設に関する耐震設計審査指針』の改訂に伴う耐震安全性評価結果 中間報告書」(平成20年3月31日 東京電力株式会社)にて作成した解放基盤表面で定義される基準地震動Ssを用いる。

地震応答解析に用いる入力地震動の概念図を図 2. 2. 2-1 に示す。モデルに入力する地震動は一次元波動論に基づき,解放基盤表面で定義される基準地震動 Ss に対する地盤の応答として評価する。解放基盤表面位置 (0. P. -196. 0m) における基準地震動 Ss-1, Ss-2 及び Ss-3 の加速度時刻歴波形を図 2. 2. 2-2(1) 及び図 2. 2. 2-2(2) に示す。

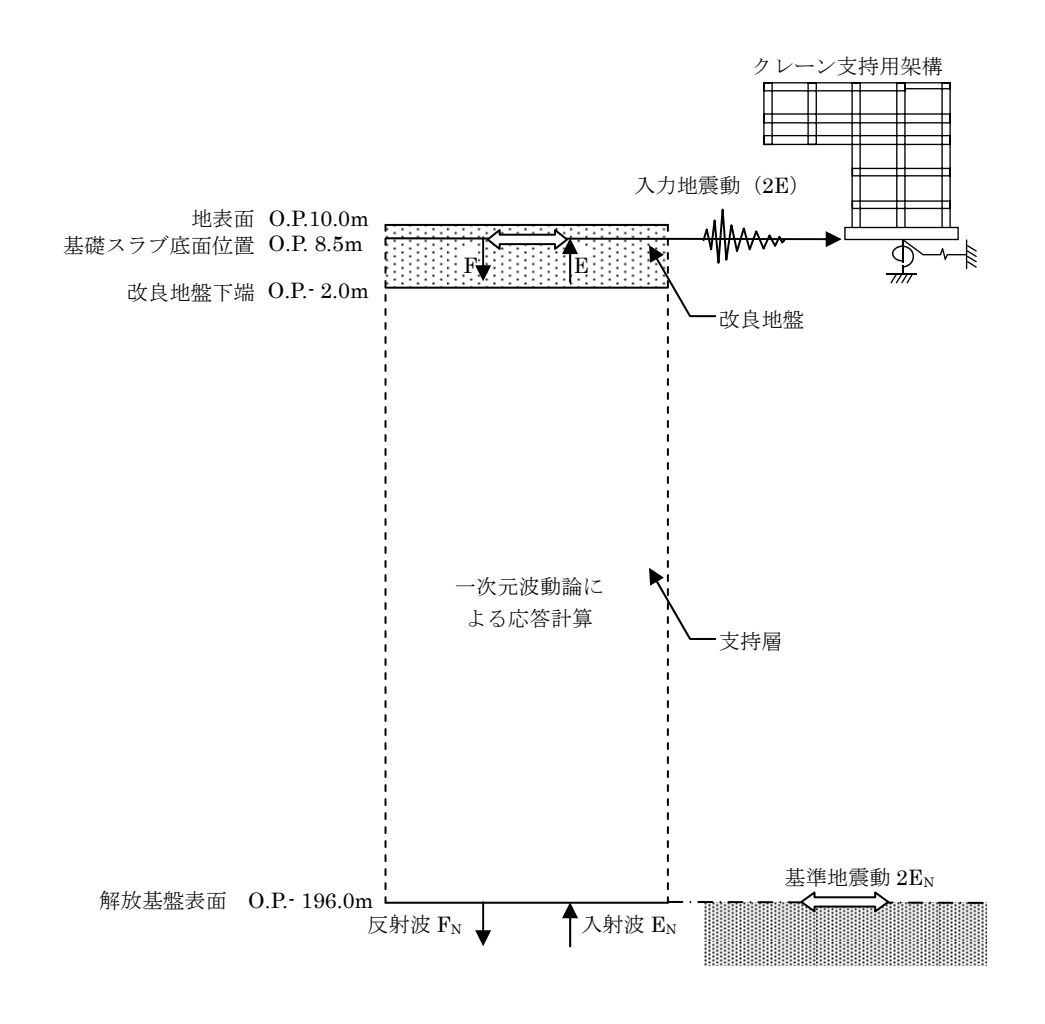
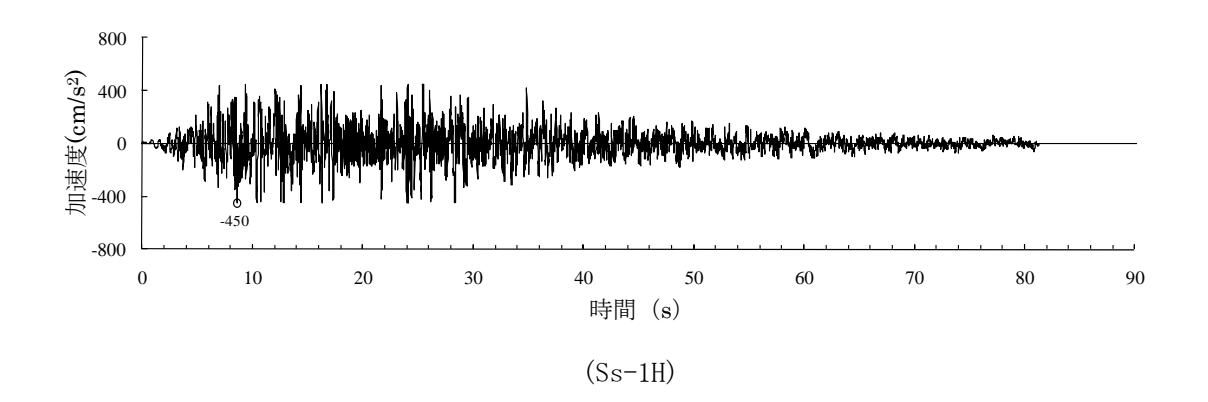
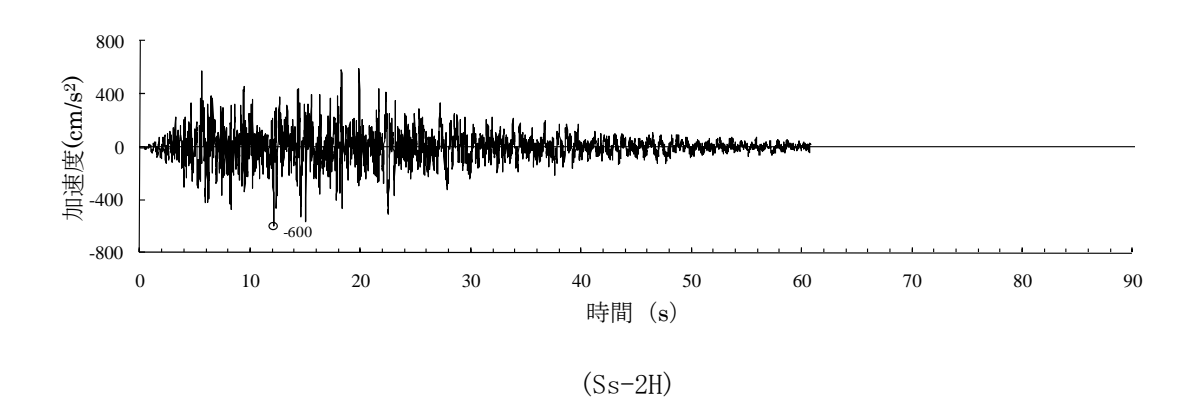


図 2.2.2-1 地震応答解析に用いる入力地震動の概念図





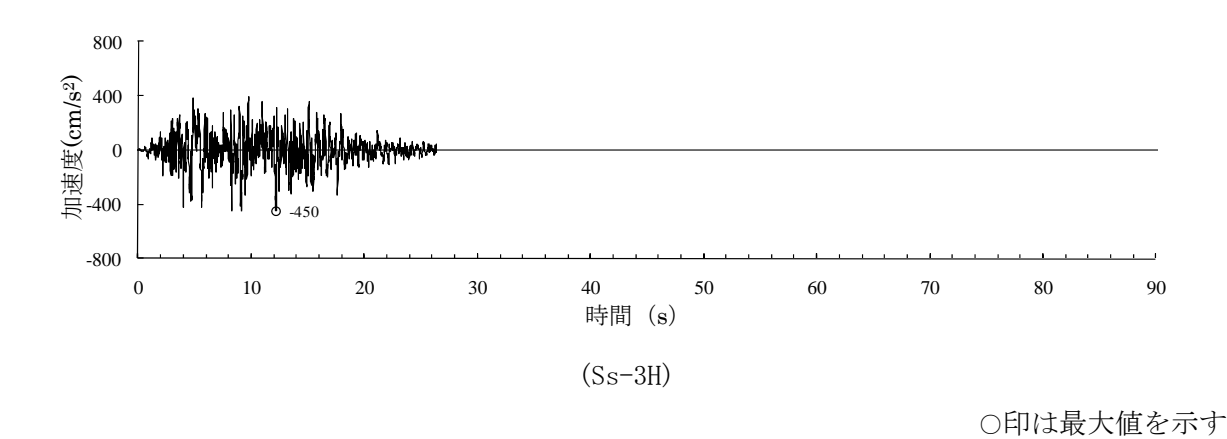
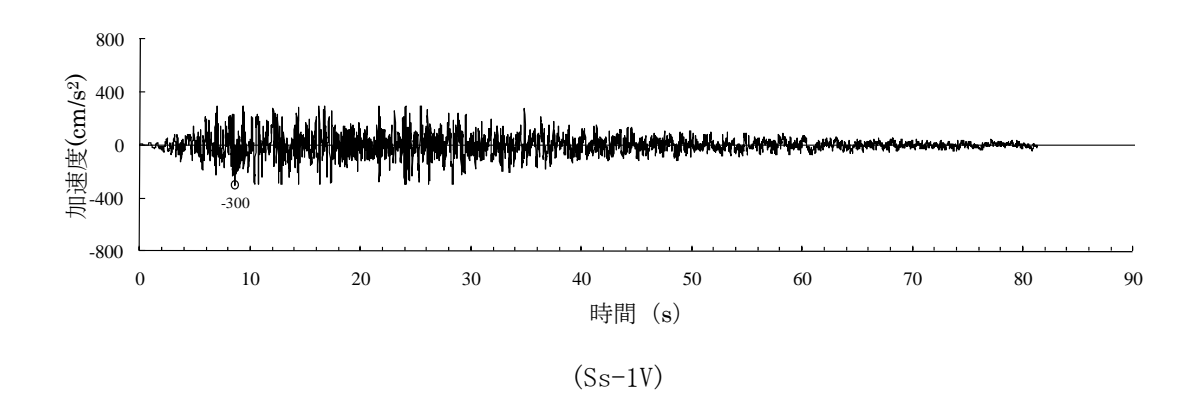
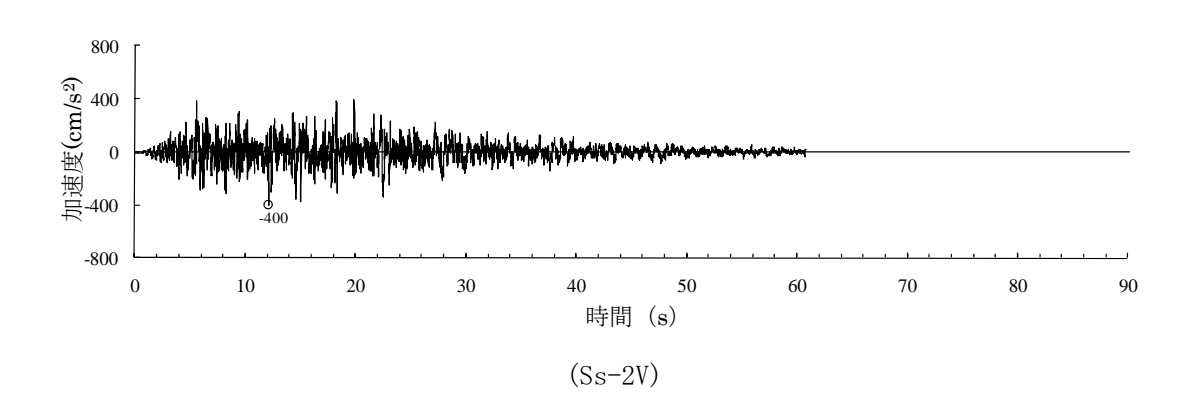


図 2.2.2-2(1) 解放基盤表面における地震動の加速度時刻歴波形 (水平方向)





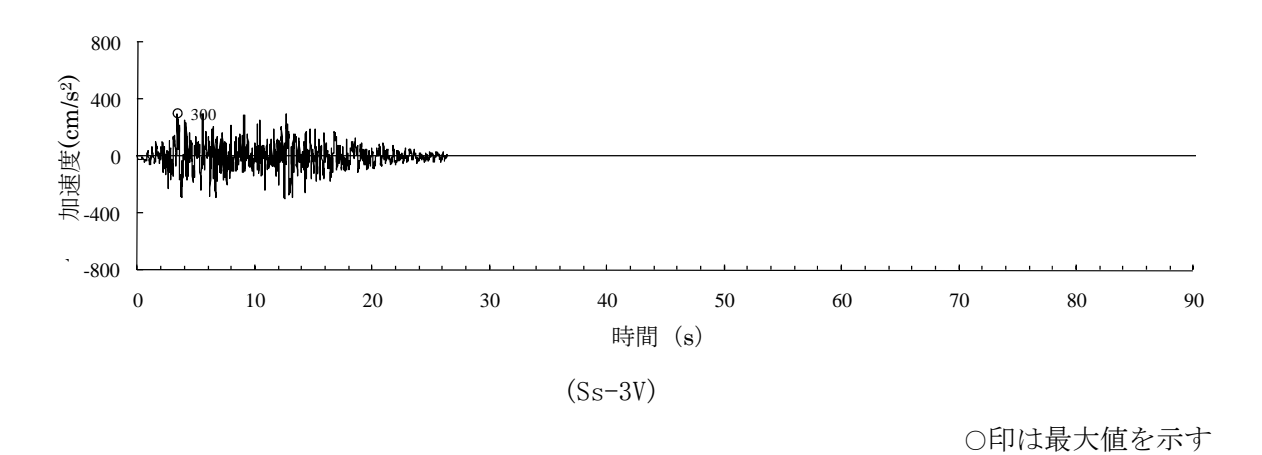


図 2. 2. 2-2(2) 解放基盤表面における地震動の加速度時刻歴波形 (鉛直方向)

#### 2) 地震応答解析モデル

地震応答解析モデルは、図 2. 2. 2-3 に示す柱及び梁を立体的にモデル化した立体架構モデルとし、 地盤を等価なばねで評価した建屋-地盤連成系モデルとする。

地震応答解析に用いる物性値を表 2. 2. 2-1 に、層間変形角が最大となるクレーンを北端に設置した場合の地震応答解析モデルの質点重量を表 2. 2. 2-2 に、クレーン支持用架構の復元力特性の設定を図 2. 2. 2-4 に示す。復元力特性の設定は「鋼構造塑性設計指針」に準じた。

地震応答解析に用いる地盤定数は、「福島第一原子力発電所『発電用原子炉施設に関する耐震設計審査指針』の改訂に伴う耐震安全性評価結果 中間報告書」(平成20年3月31日 東京電力株式会社)を参考に、水平成層地盤と仮定し地震時のせん断ひずみレベルを考慮して定めた。改良地盤の諸元を表2.2.2-3に、地盤のひずみ依存性を図2.2.2-5に、地盤定数の設定結果を表2.2.2-4に示す。基礎底面の地盤ばねについては、「JEAG 4601-1991」に示されている手法を参考にして、地盤を成層補正し振動アドミッタンス理論により評価した。

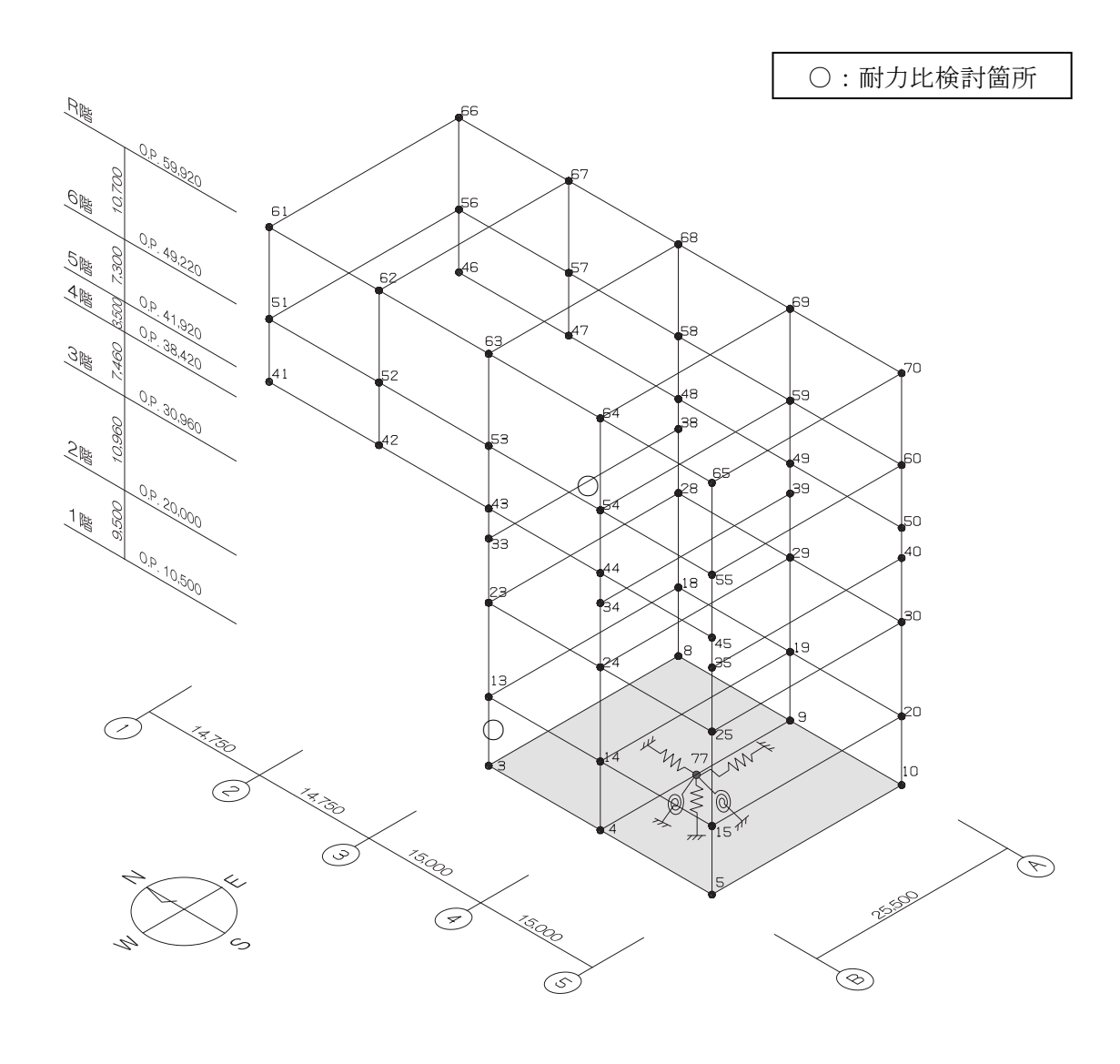
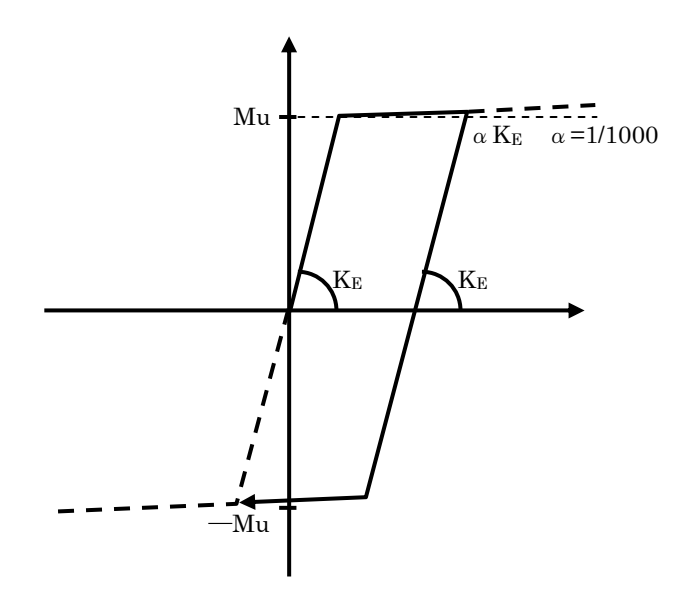


図 2. 2. 2-3 クレーン支持用架構の地震応答解析モデル (単位:mm)

表 2. 2. 2-1 地震応答解析に用いる物性値

部位	材料	ヤング係数 E(N/mm²)	ポアソン比 ν	単位体積重量 γ (kN/m³)	減衰定数 h(%)	備考
クレーン支持 用架構	鉄骨	2.05×10 <sup>5</sup>	0.3	77.0	2	SM490A
基礎スラブ	コンクリート	2.44×10 <sup>4</sup>	0.2	24.0	5	設計基準強度 30(N/mm²)

	表 2. 2. 2-2	地震応答解析	リモグルに.	わける質尽里	
階	節点番号	重量(kN)	階	節点番号	重量(kN)
	61	1129		33	2235
	62	1221		34	2135
	63	1225	4	35	374
	64	1200	4	38	2176
R	65	502		39	1726
n	66	1132		40	374
	67	1225		23	897
	68	1229		24	1647
	69	1202	0	25	635
	70	503	3	28	819
	51	2152		29	1178
	52	1894		30	607
	53	1094	,	13	1044
	54	1567		14	1722
0	55	718	9	15	700
6	56	1629	2	18	920
	57	1538		19	1315
	58	1094		20	689
	59	1375		3	26894
	60	718		4	41540
	41	393		5	21558
	42	600	1	8	26896
	43	657		9	41034
	44	598		10	21268
_	45	321		77	0
5	46	377	合	計	229924
	47	605			
	48	700			
	49	622			
	50	321			



ここに,

$$M_{\rm uy} = \left\{ A_{\rm fy} \big( b - t_1 \big) \! \sigma_{\rm y} + \frac{1}{4} A_{\rm wy} \big( b - 2 t_1 \big) \! \sigma_{\rm y} \right\} \qquad M_{\rm uz} = \left\{ A_{\rm fz} \big( d - t_2 \big) \! \sigma_{\rm y} + \frac{1}{4} A_{\rm wz} \big( d - 2 t_2 \big) \! \sigma_{\rm y} \right\}$$

$$A_{fy} = d \cdot t_1$$
  $A_{fz} = b \cdot t_2$   $A_{wy} = 2 \cdot (b - 2 \cdot t_1) \cdot t_2$   $A_{wz} = 2 \cdot (d - 2 \cdot t_2) \cdot t_1$   $A = b \cdot d - (b - 2 \cdot t_1) \cdot (d - 2 \cdot t_2)$   $\sigma_y : 降伏強度$ 

なお, せん断耐力は下式とする。

Qu: せん断耐力

$$Q_{uy} = \frac{1}{\sqrt{3}} A_{wz} \cdot \sigma_{y} \qquad Q_{uz} = \frac{1}{\sqrt{3}} A_{wy} \cdot \sigma_{y}$$

$$A_{fy}$$
= $d \cdot t_1$   $A_{fz}$ = $b \cdot t_2$   $A_{wy}$ = $2 \cdot (b-2 \cdot t_1) \cdot t_2$   $A_{wz}$ = $2 \cdot (d-2 \cdot t_2) \cdot t_1$   $A$ = $b \cdot d$ - $(b-2 \cdot t_1) \cdot (d-2 \cdot t_2)$   $\sigma_y$ : 降伏強度

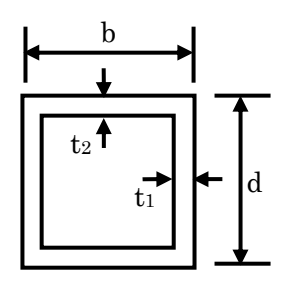


図 2.2.2-4 クレーン支持用架構の復元力特性の設定

表 2.2.2-3 改良地盤の諸元

せん断波速度*	単位体積重量	ポアソン比*	初期せん断弾性係数
Vs (m/s)	γ (kN/m³)	ν	G <sub>0</sub> (×10 <sup>5</sup> kN/m <sup>2</sup> )
800	17.7	0.31	11.52

\*: 『柏崎刈羽原子力発電所1号機 建物・構築物の耐震安全性評価について(指摘事項に関する回答)』(平成22年2月19日 東京電力株式会社),総合資源エネルギー調査会原子力安全・保安部会耐震・構造設計小委員会構造WG(第46回)会合資料

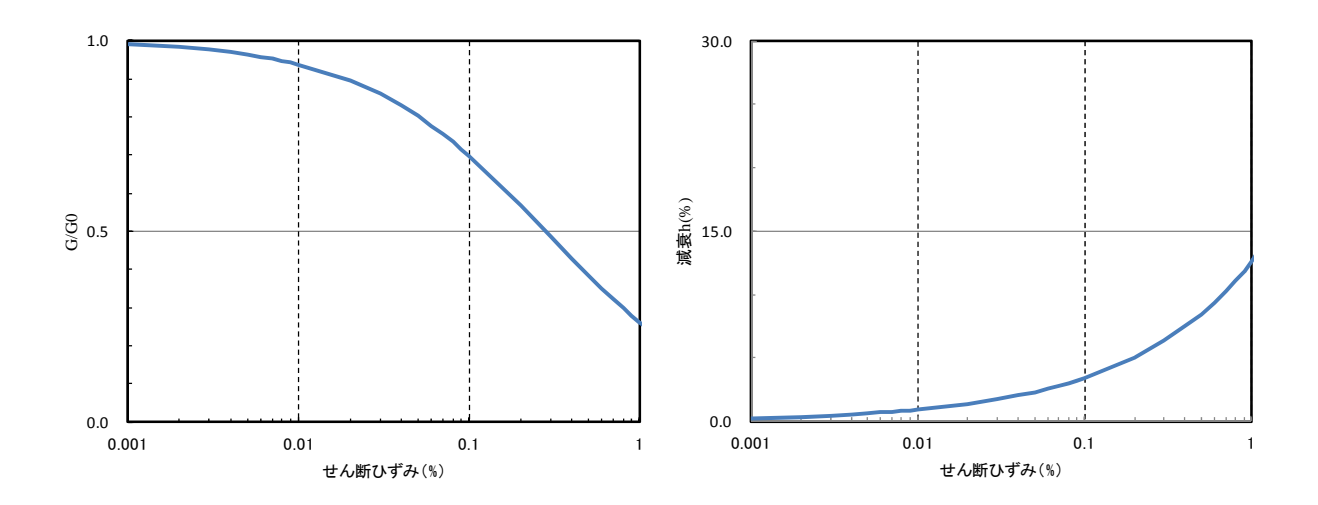


図 2.2.2-5 地盤のひずみ依存性(泥岩)\*

\*:『福島第一原子力発電所3号機「新耐震指針に照らした耐震安全性評価(中間報告)」に関する補足説明資料(コメント回答資料) - 建物・構築物-』(平成22年6月29日 東京電力株式会社),総合資源エネルギー調査会原子力安全・保安部会耐震・構造設計小委員会構造WG(第26回)Aサブグループ会合資料

表 2. 2. 2-4 地盤定数の設定結果

(a) Ss-1

標高	地質	せん断波 速度	単位体積 重量	ポ <sup>°</sup> アソン 比	せん断 弾性係数	初期せん断 弾性係数	剛性 低下率	ヤング 係数	減衰 定数	層厚
O.P.	地貝	Vs	γ	ν	G	$G_0$	$G/G_0$	E	h	Н
(m)		(m/s)	(kN/m3)		(×105kN/m2)	(×105kN/m2)		$(\times 10^5 \text{kN/m}^2)$	(%)	(m)
10.0										
-2.0	改良地盤	800	17.7	0.310	11.43	11.52	0.99	29.94	2	12.0
		450	16.5	0.464	2.97	3.41	0.87	8.70	3	8.0
-10.0 —	泥岩	500	17.1	0.455	3.59	4.36	0.82	10.44	3	70.0
-80.0 —	化石	560	17.6	0.446	4.60	5.63	0.82	13.31	3	28.0
-108.0 —		600	17.8	0.442	5.29	6.53	0.81	15.25	3	88.0
-196.0	(解放基盤)	700	18.5	0.421	9.24	9.24	1.00	26.26	-	-

# (b) Ss-2

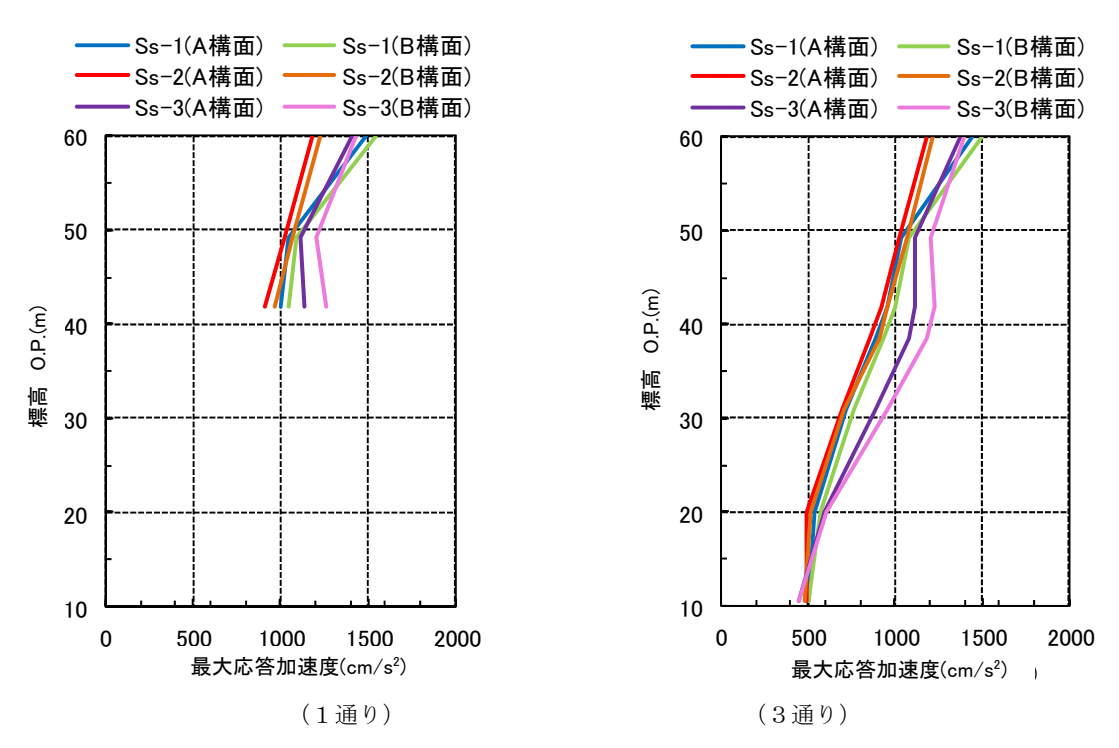
標高	地質	せん断波 速度	単位体積 重量	ポ <sup>°</sup> アソン 比	せん断 弾性係数	初期せん断 弾性係数	剛性 低下率	ヤング 係数	減衰 定数	層厚
O.P.	地貝	Vs	γ	ν	G	$G_0$	$G/G_0$	E	h	H
(m)		(m/s)	(kN/m <sup>3</sup> )		$(\times 10^5 \text{kN/m}^2)$	$(\times 10^5 \text{kN/m}^2)$		(×10 <sup>5</sup> kN/m <sup>2</sup> )	(%)	(m)
10.0										
-2.0	改良地盤	800	17.7	0.310	11.43	11.52	0.99	29.94	2	12.0
		450	16.5	0.464	2.98	3.41	0.87	8.72	3	8.0
-10.0 —	э <del>р</del> н	500	17.1	0.455	3.59	4.36	0.82	10.45	3	70.0
-80.0	泥岩	560	17.6	0.446	4.62	5.63	0.82	13.36	3	28.0
-196.0 —		600	17.8	0.442	5.50	6.53	0.84	15.85	3	88.0
-190.0	(解放基盤)	700	18.5	0.421	9.24	9.24	1.00	26.26	-	-

## (c) Ss-3

標高	lile FF	せん断波 速度	単位体積 重量	ポ <sup>°</sup> アソン 比	せん断 弾性係数	初期せん断 弾性係数	剛性 低下率	ヤング 係数	減衰定数	層厚
O.P.	地質	Vs	γ	ν	G	$G_0$	$G/G_0$	E	h	Н
(m)		(m/s)	(kN/m <sup>3</sup> )		(×105kN/m2)	(×105kN/m2)		(×105kN/m2)	(%)	(m)
10.0										
-2.0	改良地盤	800	17.7	0.310	11.44	11.52	0.99	29.98	2	12.0
		450	16.5	0.464	3.00	3.41	0.88	8.79	3	8.0
-10.0	ле ш	500	17.1	0.455	3.53	4.36	0.81	10.27	3	70.0
-80.0	泥岩	560	17.6	0.446	4.52	5.63	0.80	13.07	3	28.0
-108.0		600	17.8	0.442	4.97	6.53	0.76	14.34	3	88.0
-196.0 —	(解放基盤)	700	18.5	0.421	9.24	9.24	1.00	26.26	-	-

## 3) 地震応答解析結果

地震応答解析は水平方向と鉛直方向を同時入力した。最大応答加速度を図 2.2.2-6 及び図 2.2.2-7 に示す。



(a) 最大応答加速度(水平(NS)成分)

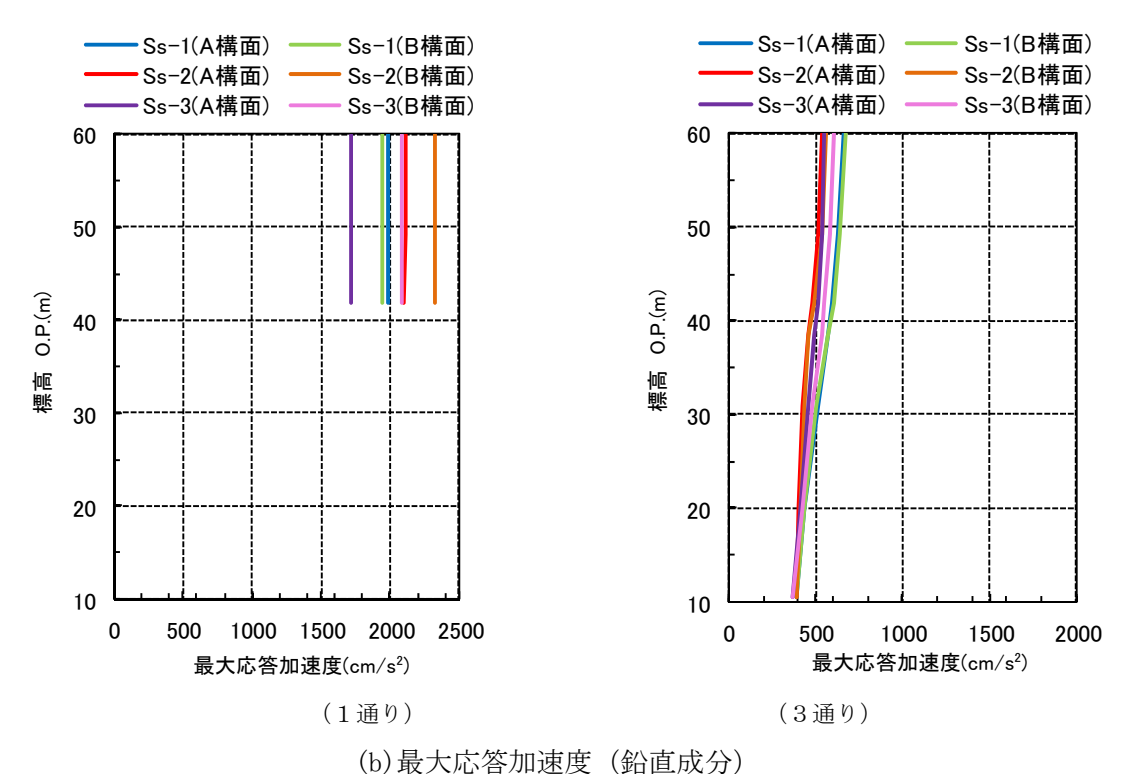
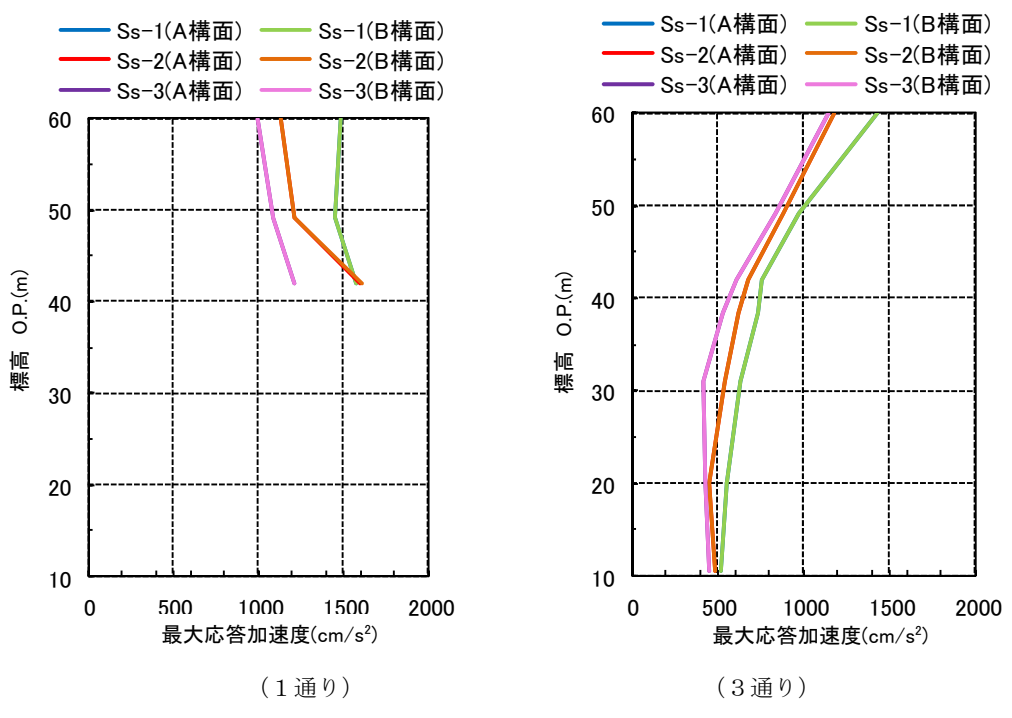
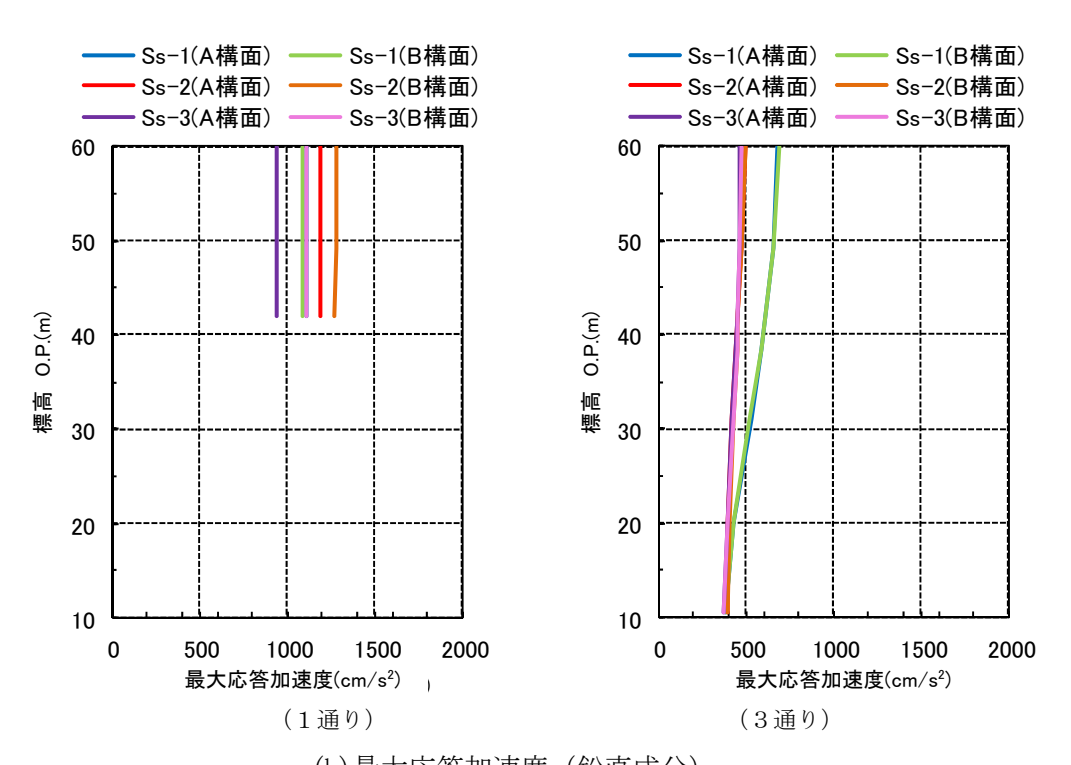


図 2. 2. 2-6 最大応答加速度(NS 方向入力時)



(a) 最大応答加速度(水平(EW) 成分)



(b)最大応答加速度(鉛直成分)

図 2.2.2-7 最大応答加速度(EW 方向入力時)

#### 4) 波及的影響の評価

地震応答解析結果が、JSCA 性能メニュー(社団法人日本建築構造技術者協会、2002 年)を参考に定めたクライテリア(「層間変形角は 1/75 以下、層の塑性率は 4 以下、部材の塑性率は 5 以下」\*1及びせん断力はせん断耐力以下)を満足することを確認する。

なお、解析結果が「時刻歴応答解析建築物性能評価業務方法書」(財団法人日本建築センター、 平成19年7月20日)に示されるクライテリア(層間変形角は1/100以下、層の塑性率は2以下、 部材の塑性率は4以下)を超える場合には水平変形に伴う鉛直荷重の付加的影響を考慮した解析を 実施し、安全性を確認する。

\*1:北村春幸,宮内洋二,浦本弥樹「性能設計における耐震性能判断基準値に関する研究」,日本建築学会構造系論文集,第604号,2006年6月

#### ・層間変形角の検討

層間変形の評価はクレーン支持用架構の剛心位置で評価し、表 2.2.2-5 に検討結果を示す。 検討の結果、層間変形角は 1/75 以下となりクライテリアを満足することを確認した。

	文 1 1 1 0 / / / / / / / / / / / / / / / /												
検討箇所	N	NS 方向入力時			EW 方向入力時			判定					
	Ss-1	Ss-2	Ss-3	Ss-1	Ss-2	Ss-3							
6 階	1/256	1/278	1/229	1/298	1/356	1/352	1/75	OK					
5 階	1/240	1/266	1/220	1/239	1/295	1/288	1/75	ОК					
4 階	1/228	1/249	1/225	1/207	1/243	1/252	1/75	ОК					
3 階	1/194	1/205	1/199	1/196	1/233	1/237	1/75	ОК					
2 階	1/206	1/211	1/194	1/187	1/224	1/229	1/75	ОК					
1階	1/357	1/359	1/317	1/329	1/397	1/409	1/75	OK					

表 2. 2. 2-5 層間変形角の検討結果

#### ・ 塑性率の検討

部材の塑性率は、最大応答曲げモーメント時の曲率を全塑性モーメントに至る時の曲率で除した値で表される。最大曲げモーメントが全塑性モーメント以下の場合は弾性であり塑性率は1以下となる。最大応答値を全塑性モーメントまたはせん断耐力で除した値を耐力比と定義し、表 2.2.2-6 に検討結果を示す。

表 2.2.2-6 より曲げモーメント及びせん断力については、全てのケースで耐力比が 1 を下回ることから塑性率は 1 以下となり、クライテリアを満足することを確認した。

表 2.2.2-6 耐力比の検討結果

部位	検討 箇所	部材形状 (mm)	地震波	入力方向	耐力比		判定	
	1階 B□-3000×3000	Ss-1	EW	$M_z/M_{\mathrm{uz}}$	0.85			
柱		Ss-3	NS	M <sub>y</sub> /M <sub>uy</sub>	0.86	ОК		
Ϯ土	3-B	×28×28	$ imes28{ imes}28$	Ss-3	NS	$Q_z/Q_{uz}$	0.27	OK
			Ss-1	EW	Qy/Quy	0.37		
		B□-3000×3000 ×25×25			$M_z/M_{\mathrm{uz}}$	0.80		
泖	梁 4階 3/A-B		Ss-1		M <sub>y</sub> /M <sub>uy</sub>	0.01	OK	
采			58-1	EW	Qz/Quz	0.00	OK	
					Q <sub>y</sub> /Q <sub>uy</sub>	0.32		

 $M_z$ : 部材 z 軸回りの曲げモーメントの最大値  $M_{uz}$ : 計

My: 部材 y 軸回りの曲げモーメントの最大値

Qz:部材z方向のせん断力の最大値

Qy:部材y方向のせん断力の最大値

Muz:部材z軸回りの全塑性モーメント

Muy: 部材 y 軸回りの全塑性モーメント

Quz: 部材 z 軸方向のせん断耐力

Quy: 部材 y 軸方向のせん断耐力

## (3) 基礎スラブの耐震性に対する検討

## 1)解析モデル

基礎スラブの応力解析は、弾性地盤上に支持された版として有限要素法を用いて行う。解析モデルは、図 2.2.2-8 に示すように四辺形の均質等方な板要素により構成し、支持地盤は等価な弾性ばねとしてモデル化する。

検討は組合せ係数法にて行い、荷重組合せケースを表 2.2.2-7 に示す。

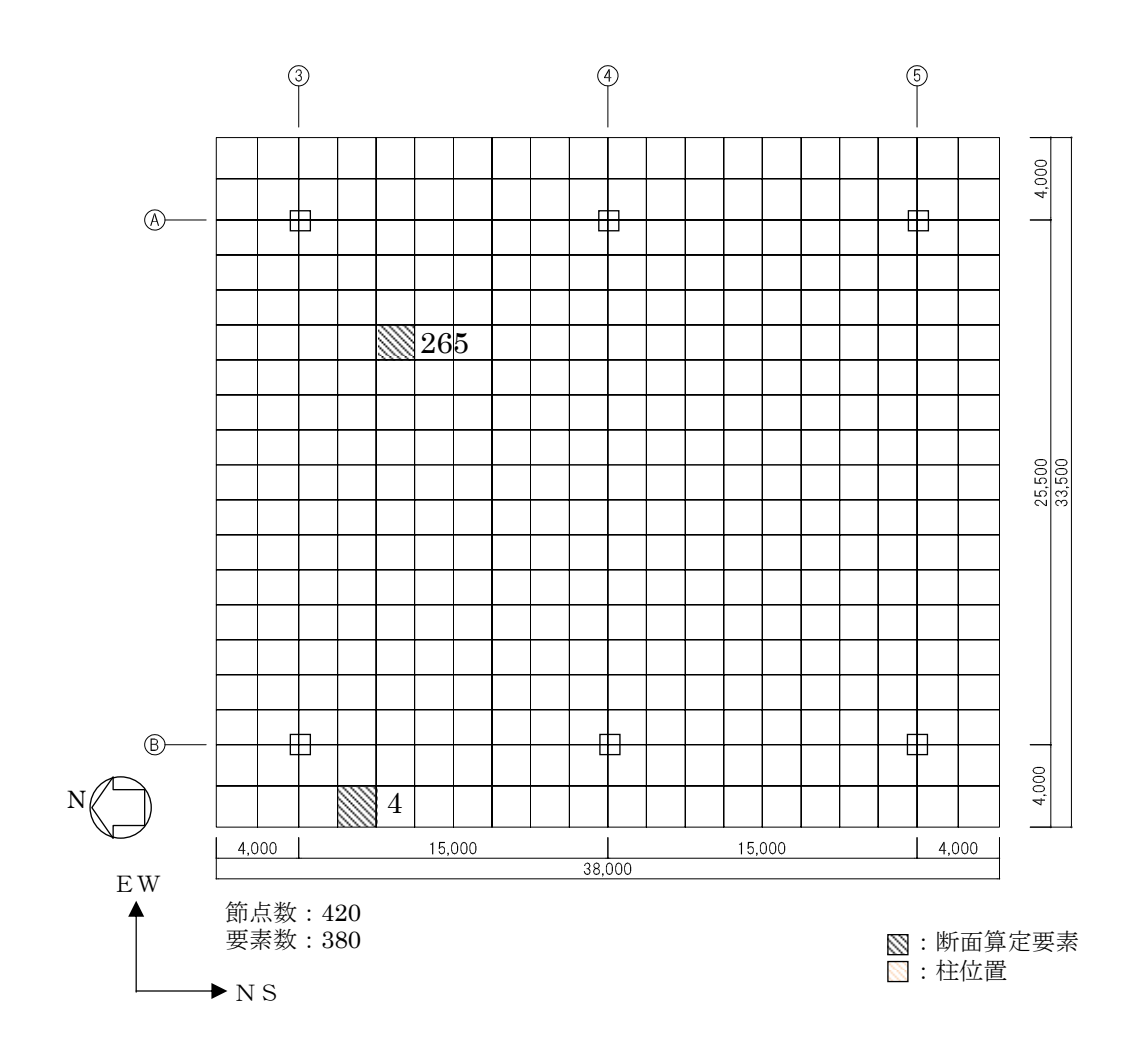


図 2.2.2-8 解析モデル図 (単位:mm)

表 2.2.2-7 荷重組合せケース一覧表

	地震力の作用方向								
荷重ケース	鉛直	方向		水平:	方向				
	上向き	下向き	N→S	S→N	$E \rightarrow W$	W→E			
Dn		0	0						
Ds		0		0					
De		0			0				
Dw		0				0			
Un	0		0						
Us	0			0					
Ue	0				0				
Uw	0					0			

## 2) 断面検討

各要素に対して、検討用応力が部材の終局耐力を下回ることを確認する。曲げ終局強度及びせん 断終局強度の算定は、「原子力施設鉄筋コンクリート構造計算規準・同解説」による柱の終局強度 算定式に準拠する。なお、鉄筋の引張強度は、平成12年建設省告示第2464号に定められた基準強 度の1.1倍を用いる。検討用曲げモーメントを曲げ終局強度で除した値が最大となる箇所及び検討 用せん断力をせん断終局強度で除した値が最大となる箇所の基礎スラブの断面検討結果を表 2.2.2-8に示す。

断面検討の結果、検討用曲げモーメントは曲げ終局強度を下回り、検討用せん断力はせん断終局 強度を下回ることを確認した。

表 2. 2. 2-8 基礎スラブの断面検討結果

要素		荷重		検討用応力		設計配筋	部材の約	冬局強度			
番号	方向	ケース	N*1 (kN/m)	${ m M} \ ({ m kN} { m \cdot m/m})$	m Q $(kN/m)$					Q/Q u	判定
4	NS	D e	129	1317	3958	D38@200+D38@400 [8550] (0.21) D38@200+D38@400 [8550] (0.21)	1 11995	6778	0. 11	0. 59	ОК
	EW	D e	61	1415	1507	3-D38@200 [17100] (0.43) 2-D38@200 [11400] (0.29)	16779	7294	0.09	0. 21	ОК
265	NS	D s	24	3316	52	1-D38@200 [5700] (0.14) 1-D38@200 [5700] (0.14)	1873	2215	0. 43	0.03	ОК
203	EW	Dw	-349	4927	76	1-D38@200 [5700] (0.14) 1-D38@200 [5700] (0.14)	7.26.7	2184	0. 68	0.04	ОК

\*1:圧縮を正とする

## (4) 改良地盤の耐震性に対する検討

#### 1) 検討方針

検討は「JEAC 4616-2009」に準拠し、基準地震動 Ss により発生する荷重に対して許容限界を満足することを確認する。改良地盤の許容限界は、改良地盤の設計圧縮強度、せん断抵抗に対する安全率に基づき設定する。支持地盤の許容限界は、支持地盤の極限支持力に対する安全率に基づき設定する。

## 2) 地震応答解析モデル

応力算定用の地震応答解析モデルを図 2.2.2-9 に示す。改良地盤及び支持地盤の物性は表 2.2.2-4 を用いた。

周辺地盤の物性は、一次元波動論であらかじめ実施した等価線形解析結果をもとに改良地盤及び 周辺地盤のひずみレベルに応じた等価なせん断剛性、減衰を設定した。

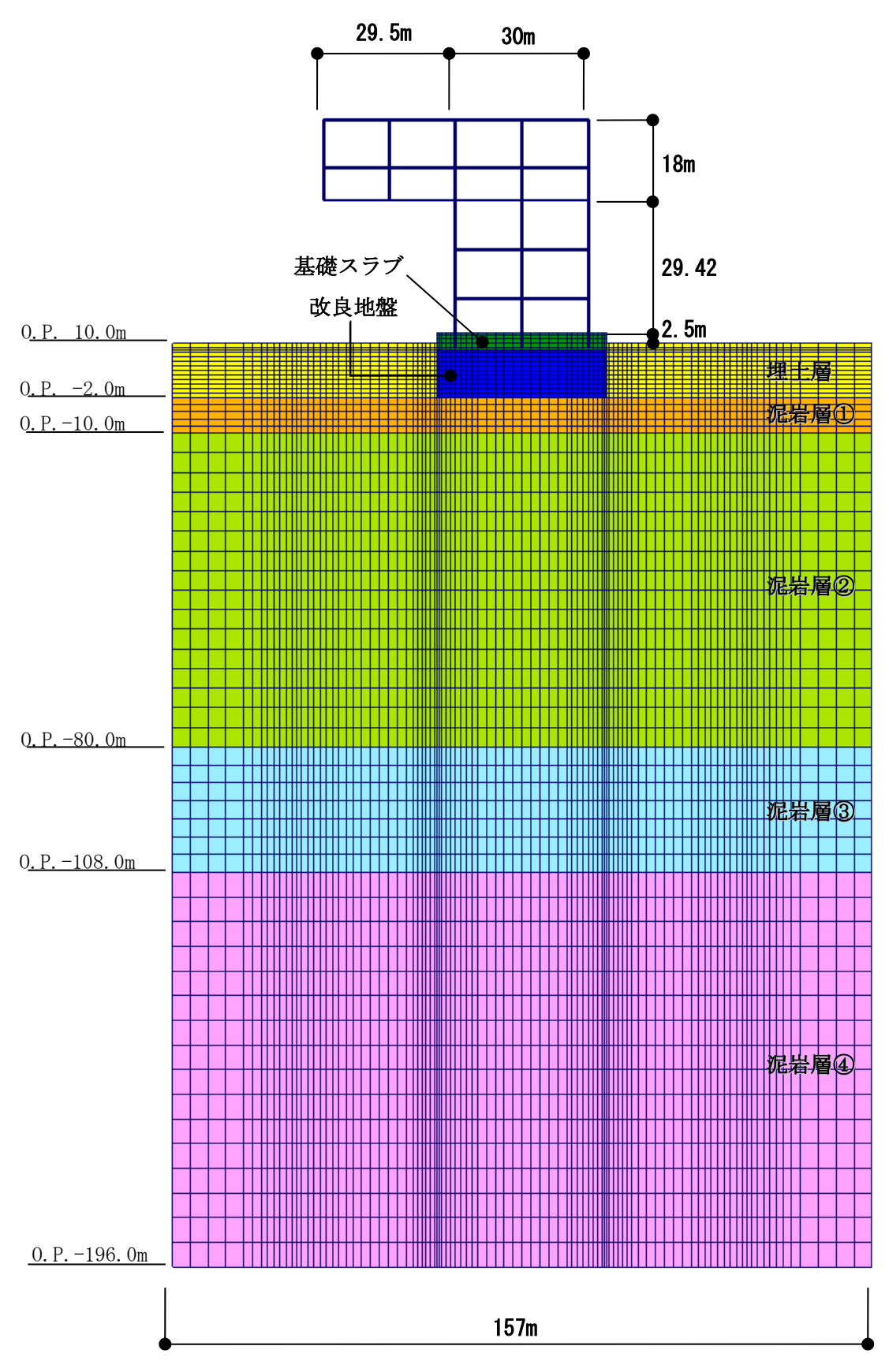


図 2.2.2-9 応力算定用地震応答解析モデル

## 3) 波及的影響の評価

改良地盤の評価は、「JEAC 4616-2009」に準じ、改良地盤に発生する最大応力が許容値に対して 1.5以上の安全率を有していることを確認する。

#### ・改良地盤に生じる鉛直応力に対する検討

改良地盤に作用する鉛直応力に対し改良地盤の圧縮強度の安全率が1.5以上であることを下式により確認する。

$$\frac{_{\mathrm{SS}}f_{\mathrm{SC}}}{\sigma_{_{\mathrm{ymax}}}} \ge 1.5$$

ここで, ssfsc : 改良地盤の圧縮強度

σ<sub>ymax</sub> :有限要素解析による各要素の鉛直応力の最大値

改良地盤の圧縮強度 (ssfsc) は、「JEAC 4616-2009」により改良地盤の圧縮強度の平均値である 設計圧縮強度 4498kN/m² (断面欠損 2%を考慮する)を改良地盤の圧縮強度として検討を行う。

安全率の検討結果を表 2.2.2-9 に示す。検討結果より改良地盤の圧縮強度は改良地盤の基礎スラブ直下における最大鉛直応力の 1.5 以上の安全率を有していることを確認した。

表 2.2.2-9 改良地盤の鉛直応力に対する検討結果

(改良地盤底部)

地震波	最大鉛直応力 σ <sub>y max</sub> (kN/m²)	圧縮強度 ssfsc(kN/m²)	安全率	クライテリア	判定
Ss-1	1809	4498	2.48	1.50	OK
Ss-2	1453	4498	3.09	1.50	OK
Ss-3	1821	4498	2.47	1.50	OK

#### ・改良地盤に作用するせん断力に対する検討

検討は、改良地盤の基礎スラブ直下及び改良地盤下端のせん断力について行う。改良地盤上端及び下端にせん断面を想定し、各時刻(t)における改良地盤に作用する水平方向せん断力  $F_H(t)$ と改良地盤の水平抵抗力  $F_R(t)$ を評価し、そのせん断に対する安全率  $F_S(t)$ が 1.5以上であることを下式により確認する。

$$\begin{aligned} F_{S}(t) &= \frac{F_{R}(t)}{F_{H}(t)} \geqq 1.5 \\ F_{R}(t) &= \sum_{i} F_{R}(t) = \sum_{i} \tau_{Ri}(t) \cdot l_{i} \\ F_{H}(t) &= \sum_{i} F_{H}(t) = \sum_{i} \tau_{Si}(t) \cdot l_{i} \end{aligned}$$

ここで, Fs(t) :せん断に対する安全率

F<sub>R</sub>(t) :せん断面上の地盤の水平抵抗力(kN)

 $F_H(t)$  :せん断面上の地盤のせん断力 (kN)

τ Ri(t) : せん断面の解析モデル要素 i のせん断抵抗力 (kN/m²)

 $\tau_{Ri}(t)$ は上載圧による強度増加は無視して設定し、せん断強度 ssfss を用いる。なお、せん断破壊及び鉛直方向応力が引張状態に

なった地盤要素は評価しない

 $\tau$  Si(t) : せん断面の解析モデル要素 i に作用するせん断応力 (kN/m²)

 $l_i$  :解析モデル要素 i を横切るせん断面の長さ(要素 i の長さ)(m)

ssfss : 改良地盤のせん断強度 (kN/m²)

改良地盤のせん断強度(ssfss)は下式より設定する。

$$_{SS}f_{SS} = \frac{1}{5}_{SS}f_{SC}$$

ここで, ssfss :688kN/m<sup>2</sup> (断面欠損 25%を考慮する)

安全率の検討結果を表 2.2.2-10 及び表 2.2.2-11 に示す。

検討結果より改良地盤の水平抵抗力は、改良地盤の基礎スラブ直下及び改良地盤下端の最大せん断力の1.5以上の安全率を有していることを確認した。なお、解析は二次元でモデル化しているため、単位長さ当りのせん断力及び水平抵抗力で検討する。

表 2.2.2-10 改良地盤のせん断力に対する検討 (基礎スラブ下端)

地震波	最大せん断力 F <sub>H</sub> (kN/m)	水平抵抗力 F <sub>R</sub> (kN/m)	安全率 Fs	クライテリア	判定
Ss-1	3635	21156	5.82	1.50	OK
Ss-2	3052	22188	7.26	1.50	OK
Ss-3	3548	20640	5.81	1.50	OK

表 2.2.2-11 改良地盤のせん断力に対する検討 (改良地盤底部)

地震波	最大せん断力 F <sub>H</sub> (kN/m)	水平抵抗力 F <sub>R</sub> (kN/m)	安全率 Fs	クライテリア	判定
Ss-1	7741	24080	3.11	1.50	OK
Ss-2	7481	24424	3.26	1.50	OK
Ss-3	6494	24080	3.70	1.50	OK

#### 4) 支持力の検討

支持力の評価は、改良地盤底部における最大鉛直応力が支持地盤の極限支持力度に対して 1.5 以上の安全率を有していることを確認する。

$$\frac{R_u}{V} \ge 1.5$$

ここで, Ru :極限鉛直支持力度

V:地震応答解析から得られる最大鉛直応力

検討の結果,支持地盤の極限支持力度(6860kN/m²)\*は改良地盤底部における最大鉛直応力の1.5以上の安全率を有していることを確認した。

\*:「福島第一原子力発電所 原子炉設置変更許可申請書 (4号炉増設)」による

 $6860 \text{kN/m}^2 / 1821 \text{ kN/m}^2 = 3.76 \ge 1.50 \cdot \cdot \cdot \cdot \text{OK}$ 

## (5) 地盤アンカーの耐震性に対する検討

#### 1) 検討方針

地盤アンカーは、図 2.2.2-10 に示すように基礎スラブ上端を緊張端とし、泥岩層 0.P.-7.0m 以深を定着長部としている。地盤アンカーの検討は基準地震動 Ss 時に自由長部に発生する応力が規格降伏耐力以下及び定着長部の設計定着長が必要定着長以上であることを確認する。検討は、旧建築基準法第 38 条の規定に基づく認定工法「STK 永久アンカー工法」(建設省阪住指発第 353 号、平成 8 年 10 月 16 日)における設計マニュアルに基づき実施する。

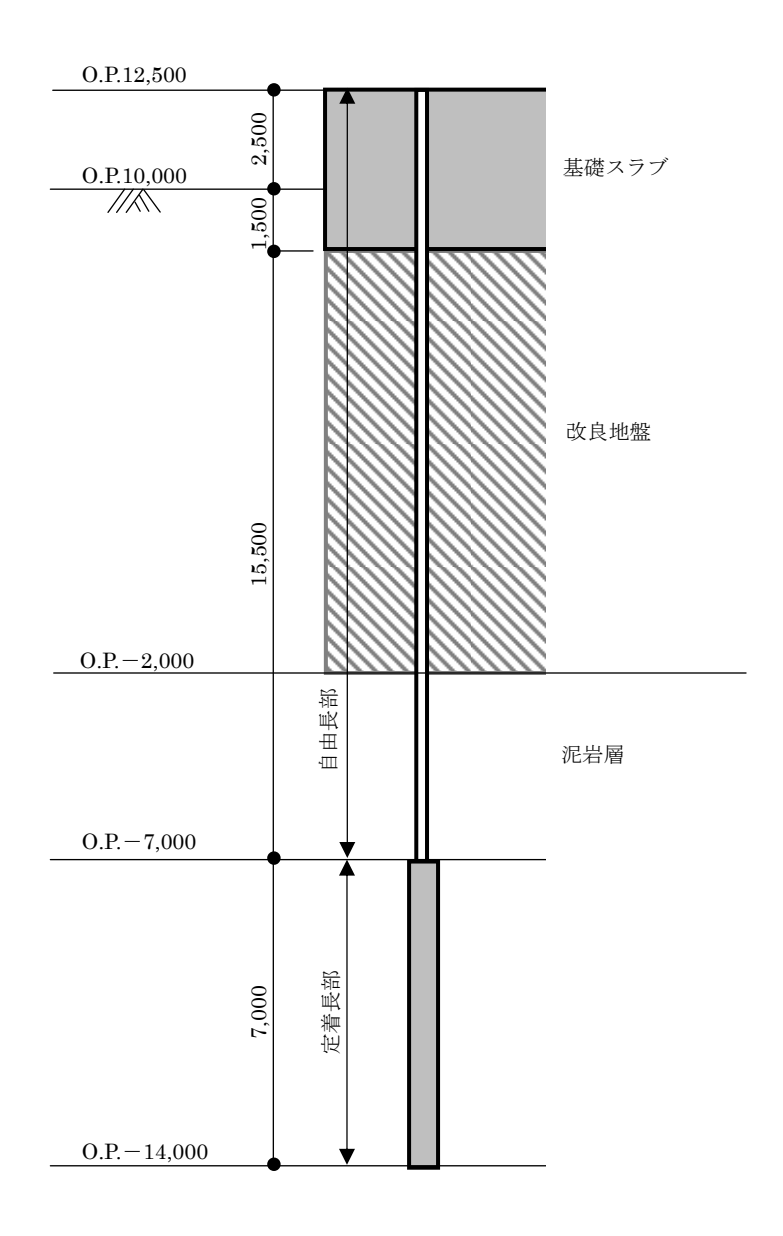


図 2.2.2-10 地盤アンカー設置計画 (単位:mm)

## 2) 地盤アンカーの検討

#### 自由長部の検討

地盤アンカーに発生する応力と規格降伏耐力を比較した結果を表 2.2.2-12 に示す。地盤アンカーは STK-200 (SWPR19 4- $\phi$ 21.8)を用いる。

検討の結果,耐力比が1以下になることを確認した。

表 2.2.2-12 自由長部の検討結果

発生応力 T <sub>max</sub> (kN/本)	規格降伏耐力 Tys (kN/本)	耐力比 T <sub>max</sub> /T <sub>ys</sub>	判定
1590	1981	0.81	OK

## ・定着長部の検討

定着長部の検討は、地盤アンカーの規格降伏耐力と地盤の極限摩擦抵抗力から求める必要定着長が、設計定着長を下回ることを確認する。結果を表 2.2.2-13 に示す。

検討の結果、検定比が1以下になることを確認した。

$$L_{a} = \frac{T_{ys} \times F}{\tau_{u} \times \pi \times D_{d}}$$

ここで, La : 必要定着長 (cm)

 $\mathrm{D}_{\mathrm{d}}$ 

T<sub>vs</sub>: 地盤アンカーの規格降伏耐力(1981kN)

F : 安全率 (=1.0)

τu: 地盤の極限摩擦抵抗力 (N/cm²) (137N/cm²) \*

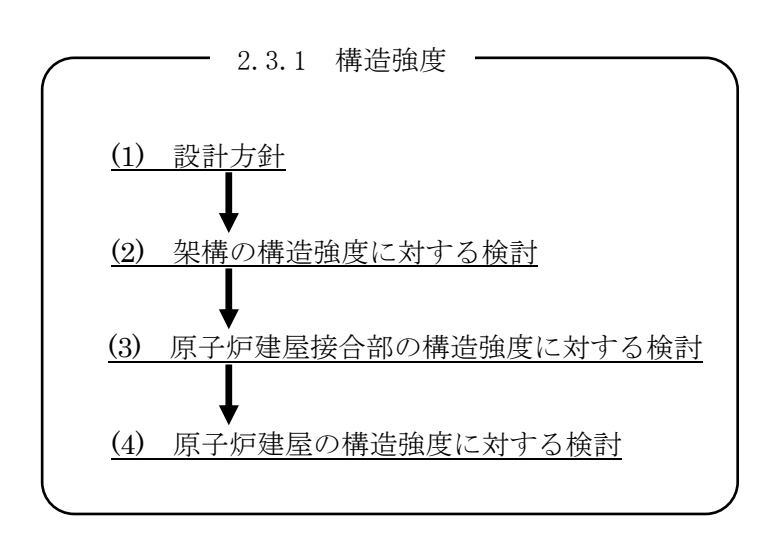
\*:旧建築基準法第38条の規定に基づく認定工法「STK永久 アンカー工法」(建設省阪住指発第353号,平成8年10月 16日),設計マニュアルよりN値50以上の泥岩の値

: 地盤アンカー体の設計径(17cm)

表 2.2.2-13 定着長の検討結果

必要定着長	設計定着長	検定比	
$L_{\mathrm{a}}$	${ m L_d}$	$L_a/L_d$	判定
(cm)	(cm)		
271	700	0.39	OK

2.3 燃料取扱機支持用架構の構造強度及び耐震性について 燃料取扱機支持用架構の構造強度及び耐震性の検討フローを図 2.3-1 に示す。



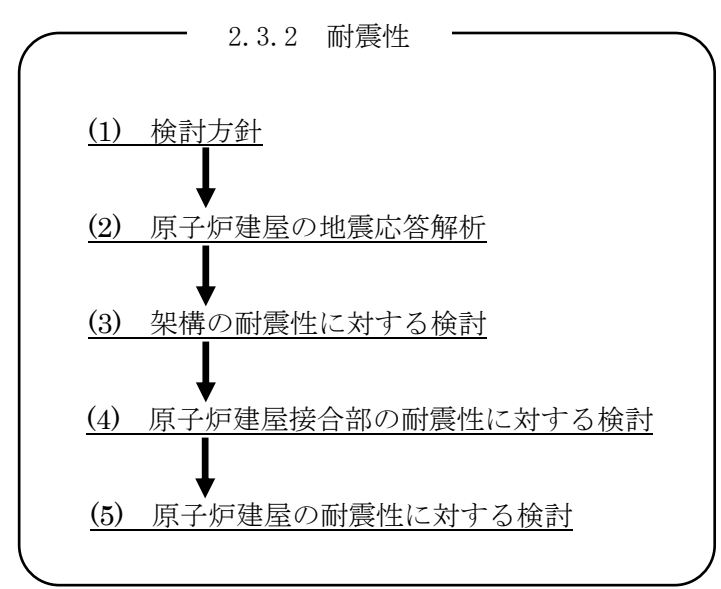


図 2.3-1 燃料取扱機支持用架構の検討フロー

## 2.3.1 構造強度

## (1) 設計方針

構造強度の検討は、燃料取扱機支持用架構、原子炉建屋接合部及び架構反力が作用する原子炉建 屋について許容応力度設計を実施する。

## 1) 使用材料及び許容応力度

燃料取扱機支持用架構の物性値及び許容応力度を表 2.3.1-1 に示す。

表 2.3.1-1 燃料取扱機支持用架構の物性値及び許容応力度

## 材料定数

部位	材料	ヤング係数	ポアソン比	単位体積重量
		E (N/mm <sup>2</sup> )	ν	γ (kN/m³)
架構	鉄骨	2.05×10 <sup>5</sup>	0.3	77.0
基礎構造	コンクリート	2.44×10 <sup>4</sup>	0.2	24.0

#### コンクリートの許容応力度

(単位: N/mm<sup>2</sup>)

	長期			短期		
設計基準強度= 30	圧縮	引張	せん断	圧縮	引張	せん断
	10.0	_	0.790	20.0	_	1.185

## 鉄筋の許容応力度

(単位: N/mm²)

記号	鉄筋径	長	長期		短期	
BC 73	野州 主	引張及び圧縮	せん断補強	引張及び圧縮	せん断補強	
CD945	D29 未満	215	105	9.45	9.45	
SD345	D29 以上	195	195	345	345	

#### 構造用鋼材の許容応力度

(単位: N/mm<sup>2</sup>)

板厚	材料	基準強度 F	許容応力度
T≦40 mm	SS400	235	
T≦40 mm	SM490A	325	
T>40 mm	TMCP325B*, TMCP325C*	325	「鋼構造設計規準」に従い、左記 F の値より求め
_	BCP325	325	い、左記 <b>F</b> の値より水の る
_	BCR295	295	
	SNR490B	325	

\*: 国土交通大臣指定書(国住指第326-2, 平成14年5月7日)による

### 2) 荷重及び荷重組合せ

設計で考慮する荷重を以下に示す。

## ·鉛直荷重 (VL)

燃料取扱機支持用架構に作用する鉛直方向の荷重で、固定荷重、機器荷重、配管荷重及び積載荷重とする。

#### ・クレーン荷重 (CL)

吊荷荷重を含む燃料取扱機による荷重を表 2.3.1-2に示す。

表 2.3.1-2 クレーン荷重一覧表

燃料取扱機	735 kN
作業台車	196 kN

## ・地震荷重 (K)

燃料取扱機支持用架構に作用させる地震荷重は, O.P.-2.06m (原子炉建屋基礎スラブ上端レベル) を基準面とした原子炉建屋の地震層せん断力係数の算定結果より設定する。原子炉建屋の地震層せん断力係数は下式より算定し、算定結果を表 2.3.1-4 に示す。

$$Qi = n \cdot Ci \cdot Wi$$
  
 $Ci = Z \cdot Rt \cdot Ai \cdot Co$ 

ここで,

Qi:水平地震力(kN)

n:施設の重要度に応じた係数 (n=1.5)

建築基準法で定める地震力の1.5倍を考慮する。

Ci:地震層せん断力係数

Wi: 当該部分が支える重量(kN)

ここに、燃料取扱機支持用架構の設計で考慮する原子炉建屋の全体重量は、瓦礫撤去の効果と燃料取扱機支持用架構を新規に設置する影響を考慮した。原子炉建屋の全体重量を表 2.3.1-3 に示す。

表 2.3.1-3 原子炉建屋の全体重量(kN)

原子炉建屋全体重量*1	1078100
瓦礫撤去による軽減重量	-39810
燃料取扱機支持用架構の付加重量	+6490
燃料取扱機支持用架構設計用原子炉建屋全体重量	1044780

\*1 「福島第一原子力発電所の原子炉建屋の現状の耐震安全性および補強等に関する検討に係る報告書(その1)」(平成23年5月28日 東京電力株式会社)にて用いた原子炉建屋重量(1069320kN)に使用済燃料プール底部の支持構造物の設置工事による重量(8780kN)を加算したもの

Z : 地震地域係数 (Z=1.0) Rt : 振動特性係数 (Rt=0.8)

Ai : 地震層せん断力係数の高さ方向の分布係数で、燃料取扱機支持用架構の固有値を用

いたモーダル法(二乗和平方根法)により求める。

C<sub>0</sub>:標準せん断力係数(C<sub>0</sub>=0.2)

表 2.3.1-4 原子炉建屋の地震層せん断力係数の算定結果

階	標高	各階重量	Wi	Ai		n•Ci	
	O.P. (m)	(kN)	(kN)	NS 方向	EW 方向	NS 方向	EW 方向
5	39.92	77700	ı	_	_	_	_
4	39.92~32.30	88770	77700	2.070	2.218	0.497	0.533
3	32.30~26.90	122210	166470	1.787	1.831	0.429	0.440
2	26.90~18.70	127700	288680	1.520	1.549	0.365	0.372
1	18.70~10.20	208960	416380	1.309	1.315	0.314	0.316
B1	10.20~-2.06	_	625340	1.000	1.000	0.240	0.240

燃料取扱機支持用架構に作用させる水平震度は、原子炉建屋 4 階の NS 方向地震層せん断力係数 (n・Ci=0.497)及び EW 方向地震層せん断力係数(n・Ci=0.533)より、水平震度を Ki=n・Ci として 水平地震力を設定する。表 2.3.1-5 に燃料取扱機支持用架構に作用させる水平地震力の算定結果を示す。

表 2.3.1-5 水平地震力の算定結果

標高	各階重量 (kN)	NS :	方向	EW 方向		
O.P. (m)		水平震度 Ki	水平地震力 Pi(kN)	水平震度 Ki	水平地震力 Pi(kN)	
40.77	2487	0.497	1236	0.533	1326	
30.485	298	0.497	148	0.533	159	
20.20	188	0.497	93	0.533	100	

ここに、燃料取扱機支持用架構は鉄骨造で剛性が小さく、原子炉建屋は壁式鉄筋コンクリート造で剛性が非常に高いことから、燃料取扱機支持用架構の変形量に対して原子炉建屋の変形量は非常に小さく、地震時の原子炉建屋の変形が燃料取扱機支持用架構に及ぼす影響は考慮しないものとした。

## ・荷重組合せ

設計で考慮する燃料取扱機の位置を図 2.3.1-1 に、荷重組合せを表 2.3.1-6 に示す。なお、燃料取扱機支持用架構はクレーン支持用架構に覆われているため、積雪時及び暴風時は考慮しないものとした。

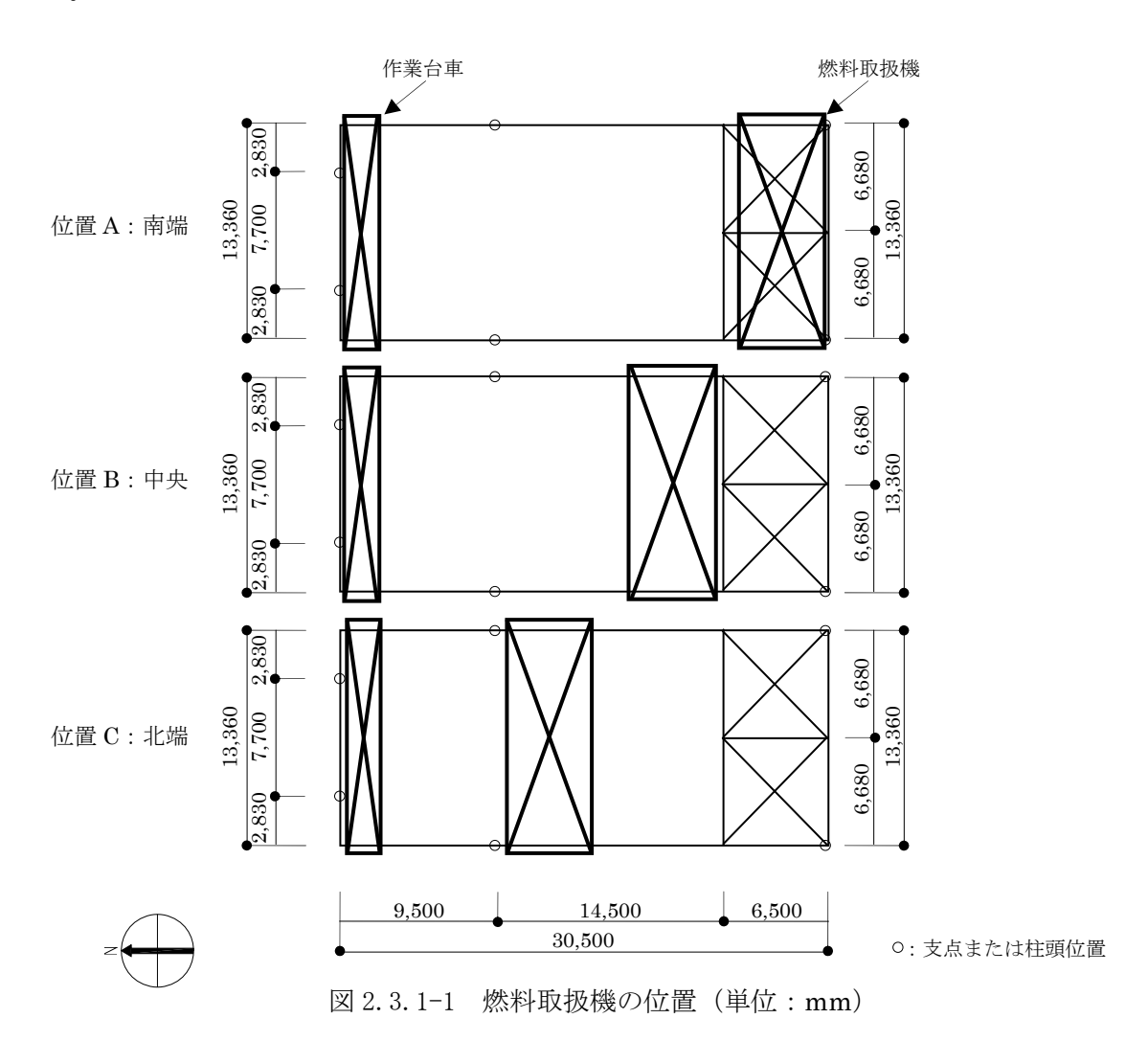


表 2.3.1-6 燃料取扱機支持用架構の荷重組合せ

想定する状態	荷重ケース	荷重組合せ内容	許容応力度	
常時	C	VL+CL	長期	
	E1	$VL+CL+K(+NS)^{*1}$		
地震時	E2	$VL+CL+K(-NS)^{*1}$	短期	
地辰时	E3	$VL+CL+K(+EW)^{*1}$		
	E4	$VL+CL+K(-EW)^{*1}$		

\*1:地震荷重は NS 方向及び EW 方向を考慮する

## (2) 架構の構造強度に対する検討

## 1) 解析モデル

燃料取扱機支持用架構の解析モデルは、O.P. 18.70m より上部を立体架構モデルとし、柱及び梁端部の境界条件は剛接、原子炉建屋シェル壁上端はピン及び原子炉建屋南側外壁の柱脚部は固定とする。解析モデル、部材寸法及び応力検討箇所を図 2.3.1-2 に示す。

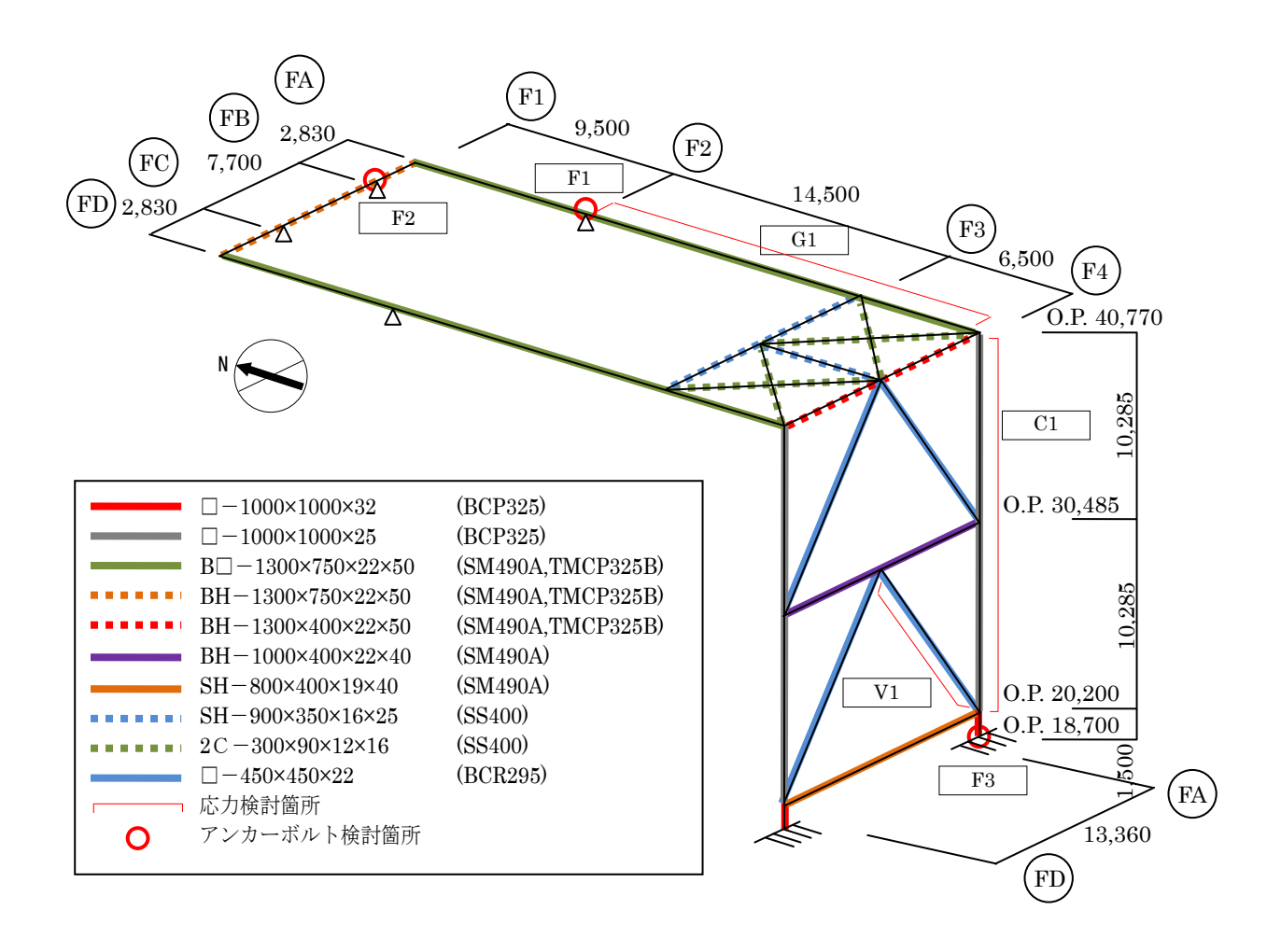


図 2.3.1-2 解析モデル図 (単位:mm)

## 2) 断面検討

応力解析結果を用い、断面検討は二方向の曲げを図2.3.1-3に示すように考慮する。

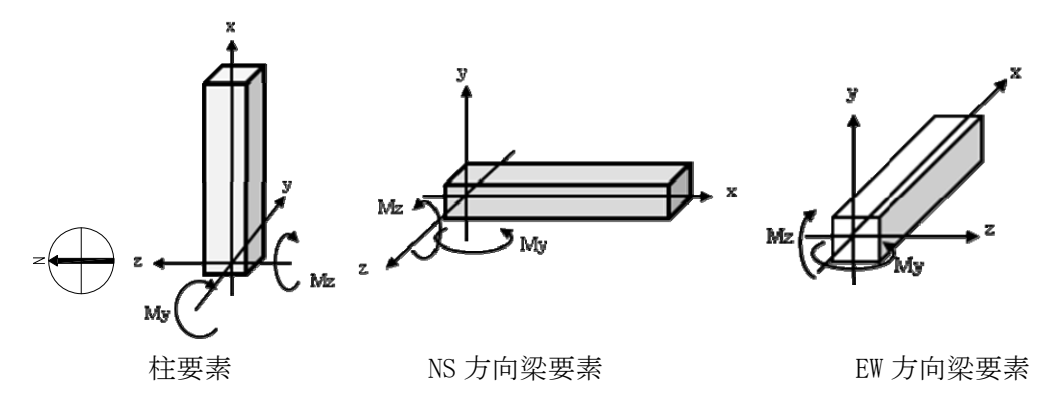


図 2.3.1-3 曲げモーメントの方向

応力度比の検討は「鋼構造設計規準」に従い、軸力及び曲げモーメントに対する検討は下式にて 行う。

・軸圧縮の場合 
$$\frac{\sigma_{c}}{f_{c}} + \frac{\sigma_{bz} + \sigma_{by}}{f_{b}} \le 1$$

・軸引張の場合 
$$\frac{\sigma_{\rm c} + \sigma_{\rm bz} + \sigma_{\rm by}}{f_{\rm t}} \leq 1$$

ここで, σ<sub>c</sub>: 軸応力度 (=N/A)

N: 軸力, A: 断面積

 $\sigma_{bz}$ : 部材 z 軸方向曲げ応力度 (= $M_z/Z_z$ )

Mz, Zz:部材z軸回りモーメント及び断面係数

 $\sigma$  by: 部材 y 軸方向曲げ応力度(= $M_y/Z_y$ )

 $M_v$ ,  $Z_v$ : 部材 v 軸回りモーメント及び断面係数

 $f_c$ : 許容圧縮応力度  $f_b$ : 許容曲げ応力度  $f_t$ : 許容引張応力度

また, せん断力に対する検討は, 下式にて行う。

$$\frac{\sqrt{(\sigma_{c} + \sigma_{bz} + \sigma_{by})^{2} + 3\tau_{z}^{2}}}{f_{t}} \leq 1 \quad \text{for } \frac{\sqrt{(\sigma_{c} + \sigma_{bz} + \sigma_{by})^{2} + 3\tau_{y}^{2}}}{f_{t}} \leq 1$$

ここで,  $\tau_z$ : 部材 z 軸方向せん断応力度 (= $Q_z/A_{wz}$ )

Q<sub>z</sub>, A<sub>wz</sub>: 部材 z 軸方向せん断力及びせん断断面積

 $\tau_y$ : 部材 y 軸方向せん断応力度 (=Q<sub>y</sub>/A<sub>wy</sub>)

Q<sub>v</sub>, A<sub>wv</sub>: 部材 y 軸方向せん断力及びせん断断面積

表 2.3.1-7 及び表 2.3.1-8 に応力度比が最大となる部位の断面検討結果を示す。 断面検討の結果,全ての部材に対する応力度比が 1 以下になることを確認した。

表 2.3.1-7 断面検討結果(常時)

部位	検討箇所	部材形状 (mm)	荷重ケース (位置)*1	作用 応力度 (N/mm²)		許容 応力度 (N/mm²)	応力度比	判定
			C (B)	曲げ Mz	0.3	216.7	0.13	ОК
		□ 1000×1000		曲げ My	20.0	216.7		
柱	C1	$ \begin{array}{c}     -1000 \times 1000 \\     \times 25 \times 25 \end{array} $		圧縮 N	4.2	150.1		
				せん断 Qz	0.9	125.1		
				せん断 Qy	0.0	125.1		
	G1	G1 $ \begin{array}{c c} B \square -1300 \times 750 \\ \times 22 \times 50 \end{array} $	C (B)	曲げ Mz	36.6	216.7	0.18	ОК
				曲げ My	1.2	216.7		
梁				圧縮 N	0.4	134.0		
				せん断 Qz	0.2	125.1		
				せん断 Qy	0.5	125.1		
				曲げ Mz	0.0	196.7	0.02	
		□ 450×450		曲げ My	ቻ Му 1.5 196.7	196.7		
ブレース	V1	□-450×450 ×22	(B)	圧縮 N	1.5	135.1		ОК
				せん断 Qz	0.1	113.5		
				せん断 Qy	0.0	113.5		

\*1:燃料取扱機の位置を示す

表 2.3.1-8 断面検討結果(地震時)

公 2. 0. 1 0 时间快时加入(20 Arv))								
部位	検討箇所	部材形状 (mm)	荷重ケース (位置)*1	作用 応力度 (N/mm²)		許容 応力度 (N/mm²)	応力度比	判定
				曲げ Mz	0.2	325.0		
				曲げ My	25.1	325.0		
柱	C1	$\Box$ -1000×1000 ×25×25	×25×25 (B) 上縮 N せん断 Q:	圧縮 N	4.3	225.2	0.10	OK
		X 20 X 20		せん断 Qz	1.7	187.6		
				せん断 Qy	0.0	187.6		
	G1	B□-1300×750 ×22×50	(C) E3	曲げ Mz	34.2	325.0	0.21	OK
				曲げ My	28.5	325.0		
梁				圧縮 N	1.2	201.0		
				せん断 Qz	3.4	187.6		
					せん断 Qy	10.2	187.6	
				曲げ Mz	2.8	295.0	5.0 2.7 0.13	
			Tio.	曲げ My	0.0	295.0		
ブレース	V1	$\square$ -450×450 ×22	E3 (A)	圧縮 N	23.9	202.7		OK
		\\ \ \ \ \ \ \ \ \ \ \ \ \ \ \ \ \ \ \		せん断 Qz	0.0	170.3		
				せん断 Qy	0.2	170.3		

\*1:燃料取扱機の位置を示す

## (3) 原子炉建屋接合部の構造強度に対する検討

#### 1) 許容耐力の算定

燃料取扱機支持用架構の原子炉建屋上の支点は接着系アンカーボルトを用いて一体化が図られる。接着系アンカーボルトの許容耐力は「各種合成構造設計指針・同解説」に従い、原子炉建屋の設計基準強度(22.1N/mm²)を用いて下式によって求め、計算結果を表 2.3.1-9 に示す。

 $p_a = min(p_{a1}, p_{a3})$  $q_a = min(q_{a1}, q_{a2}, q_{a3})$ 

ここで, pa :接着系アンカーボルトの許容引張力

pal : アンカーボルトの降伏により決まる許容引張力

pa3 : 付着力により決まる許容引張力

**q**a :接着系アンカーボルトの許容せん断力

**q**a1 : アンカーボルトのせん断強度により決まる許容せん断力

q<sub>a2</sub> : 躯体の支圧強度により決まる許容せん断力q<sub>a3</sub> : 躯体のコーン破壊により決まる許容せん断力

表 2.3.1-9 接着系アンカーボルトの許容耐力

箇所			シェル壁上端(F1, F2)	南側外壁(F3)	
標高	標高 m		O.P.39.92	O.P. 9.60~O.P.18.70	
鋼材種類		M27		D25	
亚門 1/2 / 1里	<del>)</del>		SNR490B	SD345	
埋め込	埋め込み長さ m		700	450	
アンカ	アンカーボルトの間隔		300	400	
長期	許容引張力(paL)	kN/本	58	51	
文朔	許容せん断力(qaL)	kN/本	53	58	
短期	許容引張力(pas)	kN/本	116	102	
四州	許容せん断力(qas)	kN/本	104	116	

## 2) シェル壁上端位置の検討

燃料取扱機支持用架構とシェル壁との接合部の概要を図 2.3.1-4 に,作用応力と許容耐力を比較した結果を表 2.3.1-10 に示す。

検討の結果,全ての応力度比が1以下になることを確認した。

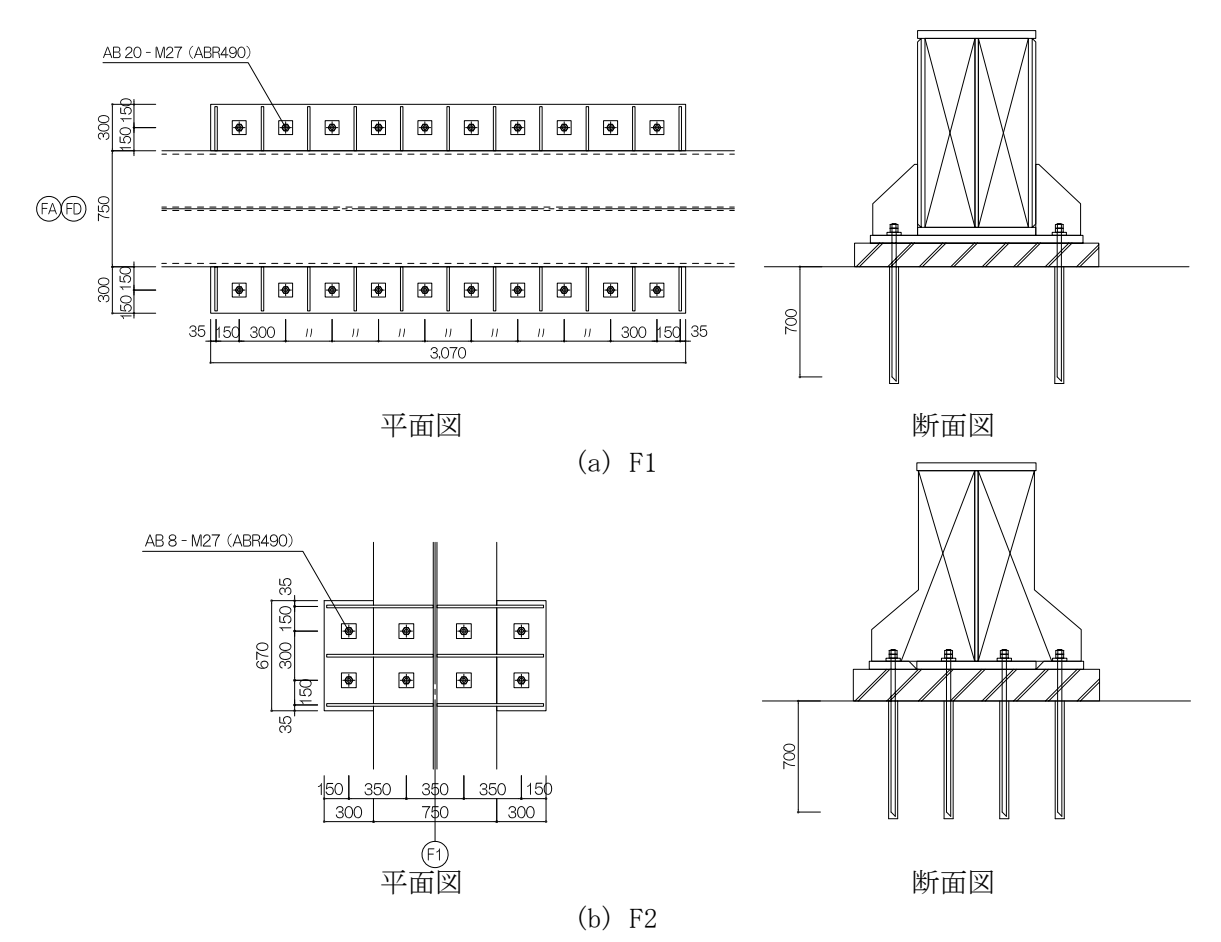


図 2.3.1-4 シェル壁上端位置の接合部概要(単位:mm)

表 2.3.1-10 シェル壁上端位置の検討結果

					4-11		
		作用	応力	許容			
検討箇所 (アンカー本数)*1	荷重ケース (位置)*2	引抜力 P (kN)	せん断力 Q (kN)	許容引張力 pa (kN)	許容せん断力 qa (kN)	応力度比	判定
F1	C (B)	0	41	1160	1060	0.04	ОК
(20)	E2 (B)	0	669	2320	2080	0.33	ОК
F2	C (A)	0	10	464	424	0.03	ОК
(8)	E3 (A)	0	94	928	832	0.12	ОК

\*1:設計で考慮するアンカーボルトの本数

\*2:燃料取扱機の位置を示す

# 3) 南側外壁位置の検討

燃料取扱機支持用架構と南側外壁との接合部の概要を図 2.3.1-5 に,作用応力と許容耐力を比較した結果を表 2.3.1-11 に示す。

検討の結果,全ての応力度比が1以下になることを確認した。

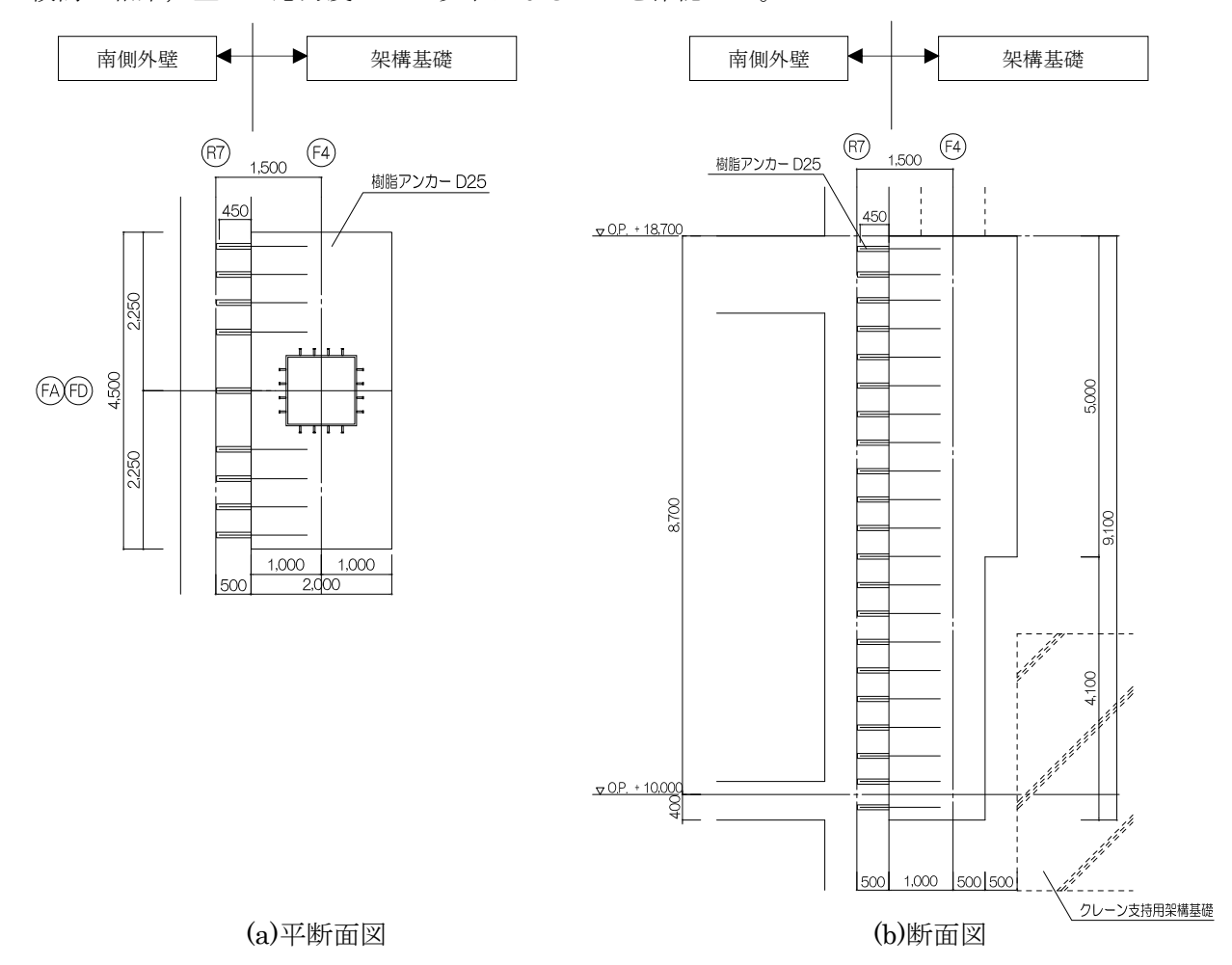


図 2.3.1-5 南側外壁位置の接合部概要(単位:mm)

表 2.3.1-11 南側外壁位置の検討結果

+ <u>A</u> ≥+ <i>t</i> ∕x=c		作用	応力	許容	耐力		
検討箇所 方向 (アンカー本数 <b>)</b> *1	荷重ケース (位置)*2	引抜力 P (kN)	せん断力 Q (kN)	許容引張力 pa (kN)	許容せん断力 qa (kN)	応力度比	判定
F3 NS 方向	C (A)	552	2622	1224	5742	0.46	ОК
(引張 24) (せん断 99)	E1 (A)	951	2613	2448	11484	0.39	ОК
F3 EW 方向	C (A)	24	2622	765	5742	0.46	ОК
(引張 15) (せん断 99)	E3 (A)	412	4049	1530	11484	0.36	ОК

\*1:設計で考慮するアンカーボルトの本数。アンカーボルトは引張に

抵抗するものとせん断に抵抗するものをそれぞれ設定した

\*2:燃料取扱機の位置を示す

#### (4) 原子炉建屋の構造強度に対する検討

#### 1) 検討方針

原子炉建屋の構造強度の検討では、当該躯体建設時の設計用応力\*1に架構反力により生じる応力を重ね合わせた応力が、許容応力度以下になることを確認する。ここで、燃料取扱機支持用架構の重量が原子炉建屋に比較して十分に小さいことから、検討は地震時についてのみ実施する。検討対象部位は、架構反力を受けるシェル壁と南側外壁とする。なお、シェル壁については O.P. 18.70m より上部を検討対象とする。検討対象部位を図 2.3.1-6に示す。

\*1:原子炉建屋全体重量は、瓦礫撤去の効果(-39810kN)及び燃料取扱機支持用架構の新設(+6490kN)を考慮すると軽減傾向にあり、地震時応力は低減されるが、安全側の評価として建設時の設計用応力を用いる

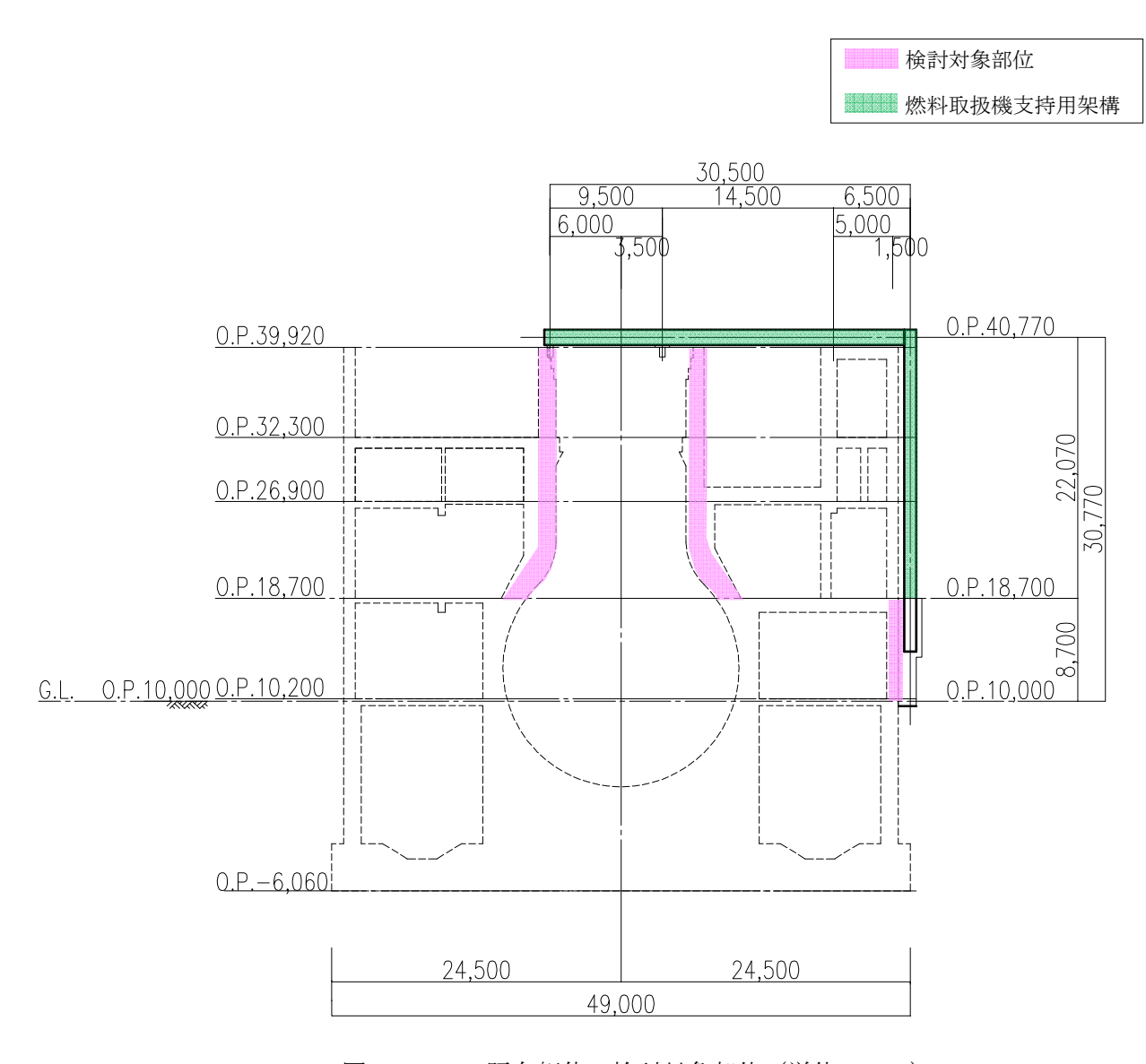


図 2.3.1-6 既存躯体の検討対象部位(単位:mm)

# 2) 断面検討

軸力及び曲げモーメントに対する断面検討とせん断に対する断面検討は,「原子力施設鉄筋コンクリート構造計算規準・同解説」に従い,設計基準強度(22.1N/mm²)を用いて行う。

シェル壁の軸力及び曲げモーメントに対する検討結果を表 2.3.1-12 に, せん断力に対する断面 検討結果を表 2.3.1-13 に示す。南側外壁の面内方向に対する断面検討結果を表 2.3.1-14 に, 面外 方向に対する断面検討結果を表 2.3.1-15 に示す。

検討の結果,全ての応力度比が1以下になることを確認した。また,燃料取扱機支持用架構の反力により生じる応力は,建設時の設計用応力の10%以下であることを確認した。

表 2.3.1-12 シェル壁の断面検討結果(1) (軸力及び曲げモーメントに対する検討)

		,,,,,				
標高	コア壁厚	配筋 タテ筋	鉄筋の 最大引張応力度	コンクリートの 最大圧縮応力度	応力度比	判定
O.P. (m)	t (m)	a <sub>t</sub> (cm <sup>2</sup> /m) P <sub>g</sub> (%)	$\sigma_{\rm t}$ (N/mm <sup>2</sup> )	σ <sub>c</sub> (N/mm²)	$\sigma_{ m t}/f_{ m t}$	刊足
39.92~32.30	1.50	a <sub>t</sub> =87.7 P <sub>g</sub> =1.16	58.1	2.0	0.17	ОК
32.30~26.90	1.85	a <sub>t</sub> =87.7 P <sub>g</sub> =0.94	80.1	3.4	0.24	ОК
26.90~18.70	2.08	a <sub>t</sub> =171.0 P <sub>g</sub> =1.64	64.3	3.7	0.19	ОК

表 2.3.1-13 シェル壁の断面検討結果(2) (せん断に対する検討)

標高	コア壁厚	配筋 上段:タテ筋 下段:ヨコ筋	鉄筋の 最大引張応力度	応力度比	判定
O.P. (m)	t (m)	$ m a_t(cm^2/m) \ P_g(\%)$	$\sigma_{ m t}$ (N/mm <sup>2</sup> )	$\sigma_{ m t}/f_{ m t}$	
$39.92\sim 32.30$	1.50	$a_{\rm t} = 87.7$ $P_{\rm g} = 1.16$	86.3	0.26	ОК
59.92~32.30	1.50	$a_{\rm t} = 76.0$ $P_{\rm g} = 1.01$	99.1	0.29	ОК
32.30~26.90	1.05	$a_{\rm t} = 87.7$ $P_{\rm g} = 0.94$	117.1	0.34	ОК
32.30 - 20.30	1.85	$a_{\rm t} = 76.0$ $P_{\rm g} = 0.82$	134.2	0.39	ОК
26.90~18.70	2.08	$a_t = 171.0$ $P_g = 1.64$	125.0	0.37	ОК
	2.08	$a_{\rm t} = 171.0$ $P_{\rm g} = 1.64$	125.0	0.37	ОК

表 2. 3. 1-14 南側外壁の断面検討結果(1) (面内方向)

	でである。 である である である である である でいます でいます でいまい でいまい でいまい でいまい でいまい でいまい		せん断	曲げモー	ーメント		
標高			鉄筋の 最大引張応力度	鉄筋の 最大引張応力度	コンクリートの 最大圧縮応力度	応力度比	判定
O.P. (m)	t (m)	P <sub>g</sub> (%)	σ <sub>t</sub> (N/mm²)	$\sigma_{\rm t}$ (N/mm <sup>2</sup> )	σ <sub>c</sub> (N/mm²)	$\sigma_t \diagup f_t$	
18.70 ~	1.00	2-D32@200 P <sub>g</sub> =0.79	278.5	0.0	2.0	0.81	ОК
10.20	1.00	2-D32@200 Pg=0.79	218.9	0.0	2.0	0.81	UK

表 2.3.1-15 南側外壁の断面検討結果(2) (面外方向)

₩÷	中一	配筋	せん断			曲げモーメント			
標高	壁厚	タテ筋	コンクリートの最大 せん断応力度	応力 度比	判定	鉄筋の最大 引張応力度	コンクリートの最大 圧縮応力度	応力 度比	判定
O.P. (m)	t (m)	P <sub>g</sub> (%)	τ <sub>s</sub> (N/mm²)	τ s/fs	刊化	$\sigma_{t}$ (N/mm <sup>2</sup> )	σ c (N/mm²)	σ t/ft	刊足
18.70 ~ 10.20	1.00	2-D32@200 P <sub>g</sub> =0.79	0.1	0.10	ОК	110.8	2.1	0.33	ОК

#### 2.3.2 耐震性

#### (1) 検討方針

耐震性の検討は、燃料取扱機支持用架構、原子炉建屋接合部及び原子炉建屋の健全性について行い、基準地震動 Ss に対して燃料取扱機支持用架構及び原子炉建屋の応答性状を適切に表現できる地震応答解析を用いて評価する。

#### (2) 原子炉建屋の地震応答解析

#### 1) 解析に用いる入力地震動

検討用地震動は、「福島第一原子力発電所『発電用原子炉施設に関する耐震設計審査指針』の改訂に伴う耐震安全性評価結果 中間報告書」(平成20年3月31日 東京電力株式会社)にて作成した解放基盤表面に定義される基準地震動Ss (図2.2.2-2(1)及び図2.2.2-2(2)参照)を用いる。

地震応答解析に用いる入力地震動の概念図を図 2.3.2-1 に示す。モデルに入力する地震動は一次元波動論に基づき,解放基盤表面に定義される基準地震動 Ss に対する地盤の応答として評価する。

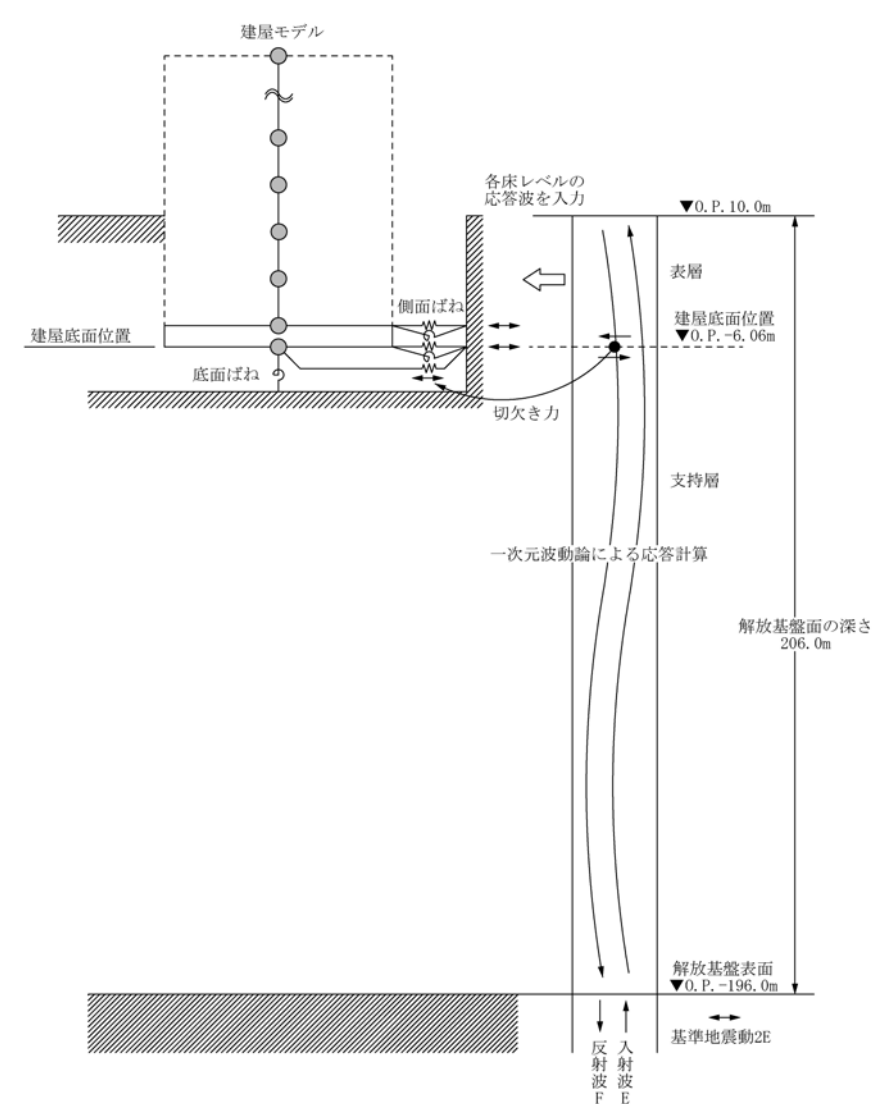


図 2.3.2-1 地震応答解析に用いる入力地震動の概念図

# 2) 地震応答解析モデル

原子炉建屋の地震応答解析モデルは、図 2.3.2-2 に示すように質点系でモデル化し、地盤を等価なばねで評価した建屋-地盤連成系モデルとする。

地震応答解析モデルの諸元は、「福島第一原子力発電所の原子炉建屋の現状の耐震安全性および補強等に関する検討に係る報告書(その1)」(平成23年5月28日 東京電力株式会社)に示される内容に、使用済燃料プール底部の支持構造物の設置工事、瓦礫撤去及び新規に設置する燃料取扱機支持用架構の重量を考慮した。解析諸元を表2.3.2-1(1)及び表2.3.2-1(2)に示す。

地盤定数は、水平成層地盤と仮定し地震時のせん断ひずみレベルを考慮して定めた。地盤定数の設定結果を表 2.3.2-2 に示す。基礎底面の地盤ばねについては、「JEAG 4601-1991」に示されている手法を参考にして、地盤を成層補正し振動アドミッタンス理論によりスウェイ及びロッキングばねを評価した。

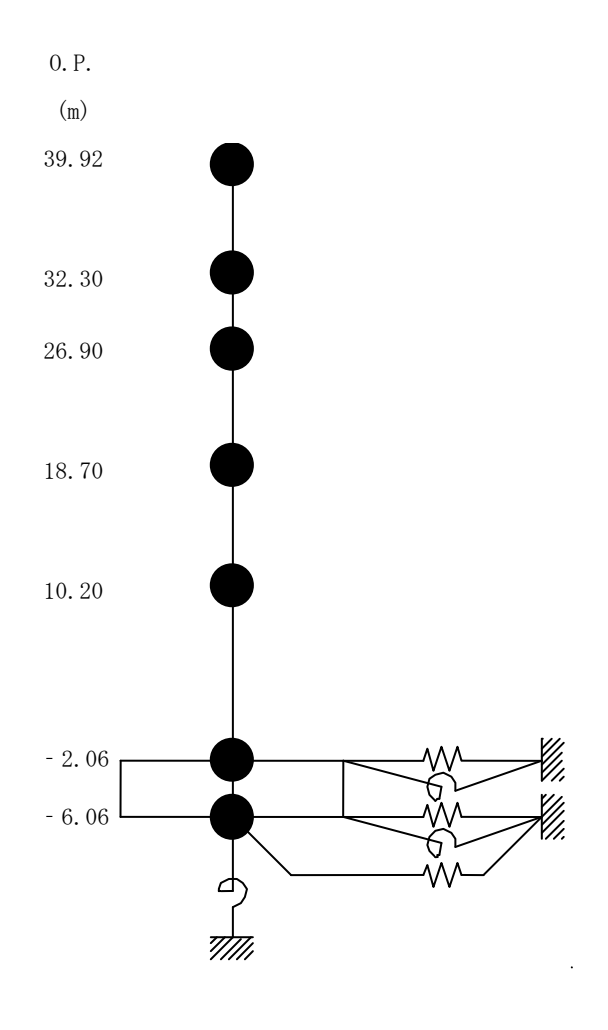


図 2.3.2-2 原子炉建屋の地震応答解析モデル

表 2.3.2-1(1) 原子炉建屋の地震応答解析モデルの諸元

(a)水平 (NS) 方向

				l
標高	質点重量	回転慣性重量	せん断断面積	断面二次モーメント
O.P. (m)	W (kN)	$I_G~( imes 10^5~\mathrm{kN}\!\cdot\!\mathrm{m}^2)$	As (m <sup>2</sup> )	I (m <sup>4</sup> )
39.92	77700	141.73		
			150.8	13068
32.30	88770	163.44		
			103.4	15942
26.90	122210	224.92		
10.50	105500	24444	223.4	45026
18.70	127700	244.14	155 4	40554
10.20	208960	391.33	175.4	46774
10.20	200300	551.55	460.4	114194
-2.06	287050	574.38	100.1	114104
		3, 1,66	2812.6	562754
-6.06	132390	264.88		
		L ヤング係数 Ec	$2.57 \times 10^7 (\text{kN/m}^2)$	
合計	1044780	せん断弾性係数G	$1.07 \times 10^7 (\text{kN/m}^2)$	

ポアソン比 v 0.20 減衰 h 5%

# (b)水平 (EW) 方向

標高 O.P. (m)	質点重量 W(kN)	回転慣性重量 I <sub>G</sub> (×10 <sup>5</sup> kN·m <sup>2</sup> )	せん断断面積 As (m²)	断面二次モーメント I (m <sup>4</sup> )
39.92	77700	78.78		1 (111 /
32.30	88770	91.66	90.4	6491
			105.8	6388
26.90	122210	224.92	167.5	32815
18.70	127700	232.88	166.4	46303
10.20	208960	570.57		
-2.06	287050	828.96	424.5	136323
-6.06	132390	346.27	2812.6	772237
0.00	152550		O FEN 107(1 N/ 2)	
合計	1044780	ヤング係数 Ec せん断弾性係数 G	$2.57 \times 10^7 (\mathrm{kN/m^2})$ $1.07 \times 10^7 (\mathrm{kN/m^2})$	

ポアソン比ν 0.20 減衰 h 5%

表 2. 3. 2-1(2) 原子炉建屋の地震応答解析モデルの諸元 (鉛直方向)

標高	質点重量	軸断面積	軸ばね剛性
O.P. (m)	W (kN)	An (m <sup>2</sup> )	$K_A (\times 10^8 \text{ kN /m}^2)$
39.92	77700	200 €	7.41
32.30	88770	222.6	7.41
26.90	122210	218.1	10.58
		380.4	11.92
18.70	127700	340.6	10.30
10.20	208960	07.1.7	10.50
-2.06	287050	654.7	13.72
-6.06	132390	2812.6	180.71
	102000		
合計	1044780	ヤング係数 Ec せん断弾性係数 G	$2.57 \times 10^7 (\mathrm{kN/m^2})$ $1.07 \times 10^7 (\mathrm{kN/m^2})$

ポアソン比ν 0.20 減衰 h 5%

表 2.3.2-2 地盤定数の設定結果

(a) Ss-1

標高	luk FF	せん断波 速度	単位体積 重量	ポ <sup>°</sup> アソン 比	せん断 弾性係数	初期せん断 弾性係数	剛性 低下率	ヤング 係数	減衰定数	層厚
O.P.	地質	Vs	γ	ν	G	$G_0$	$G/G_0$	E	h	Н
(m)		(m/s)	(kN/m <sup>3</sup> )		(×10 <sup>5</sup> kN/m <sup>2</sup> )	(×10 <sup>5</sup> kN/m <sup>2</sup> )		$(\times 10^5 \text{kN/m}^2)$	(%)	(m)
10.0										
1.9 —	砂岩	380	17.8	0.473	2.23	2.62	0.85	6.57	3	8.1
		450	16.5	0.464	2.66	3.41	0.78	7.79	3	11.9
-10.0	泥岩	500	17.1	0.455	3.40	4.36	0.78	9.89	3	70.0
-80.0	化石	560	17.6	0.446	4.39	5.63	0.78	12.70	3	28.0
-108.0		600	17.8	0.442	5.09	6.53	0.78	14.68	3	88.0
-196.0	(解放基盤)	700	18.5	0.421	9.24	9.24	1.00	26.26	-	-

# (b) Ss-2

標高	地質	せん断波 速度	単位体積 重量	ポ <sup>°</sup> アソン 比	せん断 弾性係数	初期せん断 弾性係数	剛性 低下率	ヤング 係数	減衰 定数	層厚
O.P.	地貝	Vs	γ	ν	G	$G_0$	$G/G_0$	E	h	Н
(m)		(m/s)	(kN/m <sup>3</sup> )		(×10 <sup>5</sup> kN/m <sup>2</sup> )	(×10 <sup>5</sup> kN/m <sup>2</sup> )		$(\times 10^5 \text{kN/m}^2)$	(%)	(m)
10.0										
1.9 —	砂岩	380	17.8	0.473	2.23	2.62	0.85	6.57	3	8.1
		450	16.5	0.464	2.76	3.41	0.81	8.08	3	11.9
-10.0 —	лен	500	17.1	0.455	3.53	4.36	0.81	10.27	3	70.0
-80.0	泥岩	560	17.6	0.446	4.56	5.63	0.81	13.19	3	28.0
-108.0		600	17.8	0.442	5.29	6.53	0.81	15.26	3	88.0
-196.0	(解放基盤)	700	18.5	0.421	9.24	9.24	1.00	26.26	-	-

# (c) Ss-3

標高	나는 단단	せん断波 速度	単位体積 重量	ポ <sup>°</sup> アソン 比	せん断 弾性係数	初期せん断 弾性係数	剛性 低下率	ヤング 係数	減衰 定数	層厚
O.P.	地質	Vs	γ	ν	G	$G_0$	$G/G_0$	E	h	Н
(m)		(m/s)	(kN/m³)		(×105kN/m2)	(×105kN/m2)		(×105kN/m2)	(%)	(m)
10.0										
1.9	砂岩	380	17.8	0.473	2.25	2.62	0.86	6.63	3	8.1
		450	16.5	0.464	2.66	3.41	0.78	7.79	3	11.9
-10.0	л ц	500	17.1	0.455	3.40	4.36	0.78	9.89	3	70.0
-80.0	泥岩	560	17.6	0.446	4.39	5.63	0.78	12.70	3	28.0
-108.0		600	17.8	0.442	5.09	6.53	0.78	14.68	3	88.0
-196.0	(解放基盤)	700	18.5	0.421	9.24	9.24	1.00	26.26	-	-

# 3) 地震応答解析結果

地震応答解析は水平方向と鉛直方向を別々に入力した。最大応答加速度分布を図2.3.2-3に示す。

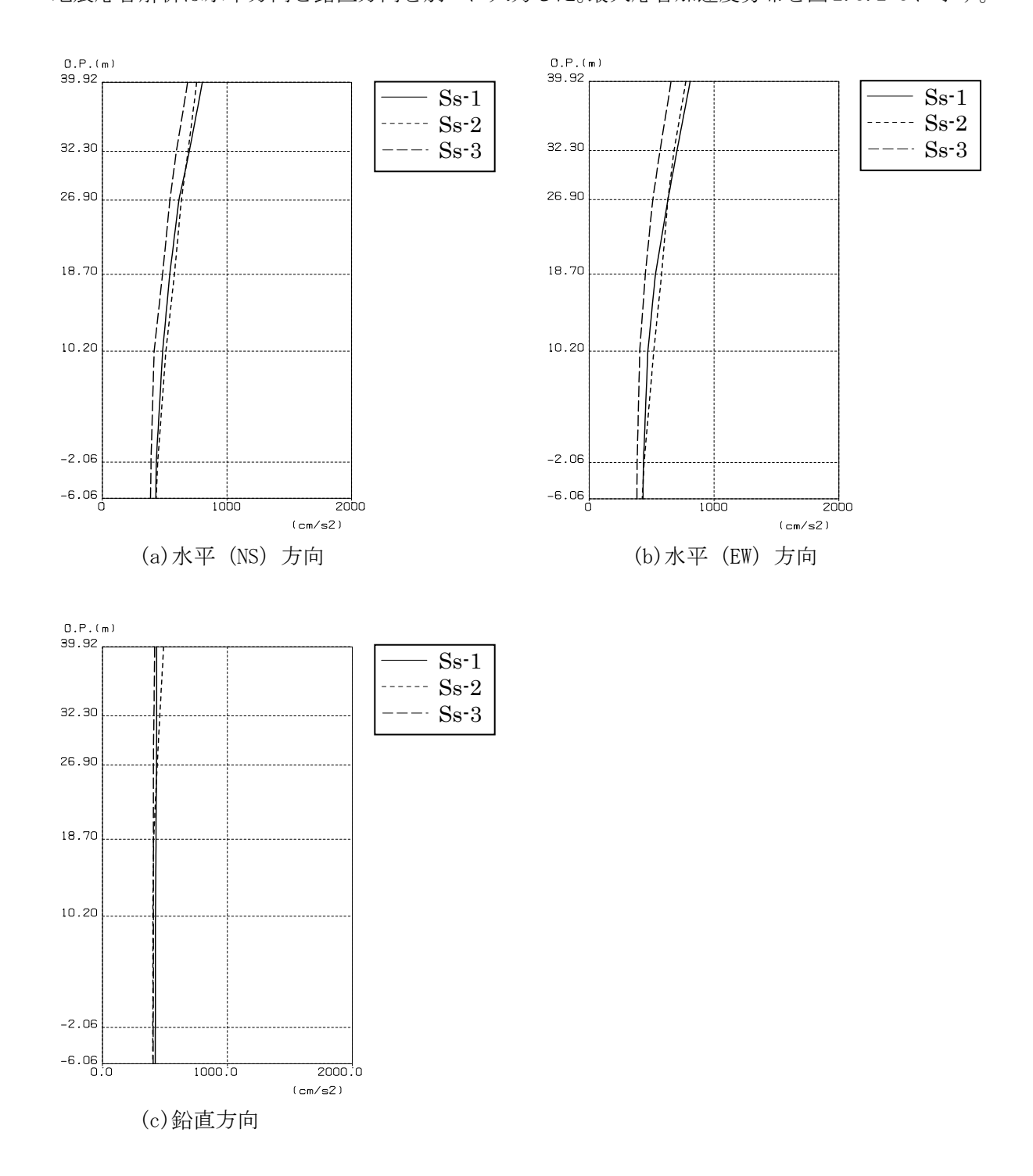


図 2.3.2-3 原子炉建屋の最大応答加速度分布

# (3) 架構の耐震性に対する検討

# 1) 解析に用いる入力地震動

燃料取扱機支持用架構への入力地震動は、基準地震動 Ss を入力したときの原子炉建屋 0.P.39.92m と 0.P.18.70m の時刻歴応答変位を用い、水平方向と鉛直方向の同時入力とする。

# 2) 地震応答解析モデル

地震応答解析に用いる入力地震動の概念と燃料取扱機支持用架構の解析モデルを図 2.3.2-4 に, 層間変形角が最大となる燃料取扱機を南端に設置した場合の地震応答解析モデルにおける質点重量を表 2.3.2-3 に示す。

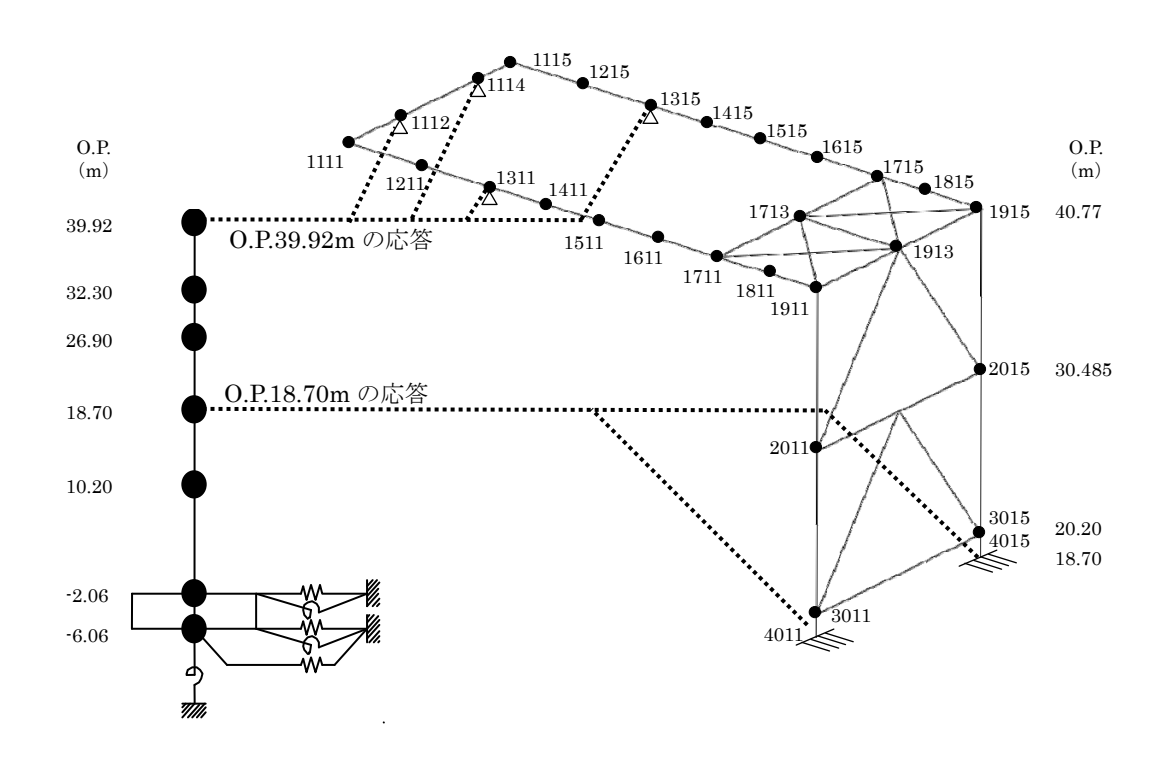


図 2.3.2-4 燃料取扱機支持用架構の地震応答解析モデル

表 2.3.2-3 燃料取扱機支持用架構の地震応答解析モデルにおける質点重量

標高 O.P.(m)	節点番号	質点重量 (kN)
	1111	57
	1211	89
	1311	79
	1411	68
	1511	68
	1611	68
	1711	78
	1811	62
	1911	97
	1115	57
	1215	89
	1315	79
	1415	68
	1515	68
	1615	68
40.77	1715	78
	1815	62
	1915	97
	1112	46
	1114	46
	1713	37
	1913	94
	9001	49
	9002	49
	9003	49
	9004	49
	9501	184
	9502	184
	9601	184
	9602	184
	2011	149
30.485	2015	149
	3011	94
20.20	3015	94
合		2973

#### 3) 波及的影響の評価

地震応答解析結果が、JSCA 性能メニュー(社団法人日本建築構造技術者協会、2002 年)を参考に定めたクライテリア(「層間変形角は 1/75 以下、層の塑性率は 4 以下、部材の塑性率は 5 以下」\*1及びせん断力はせん断耐力以下)を満足することを確認する。

なお、解析結果が「時刻歴応答解析建築物性能評価業務方法書」(財団法人日本建築センター、 平成19年7月20日)に示されるクライテリア(層間変形角は1/100以下、層の塑性率は2以下、 部材の塑性率は4以下)を超える場合には水平変形に伴う鉛直荷重の付加的影響を考慮した解析を 実施し、安全性を確認する。

\*1:北村春幸,宮内洋二,浦本弥樹「性能設計における耐震性能判断基準値に関する研究」,日本建築学会構造系論文集,第604号,2006年6月

#### ・層間変形角の検討

燃料取扱機支持用架構の層間変形角を表 2.3.2-4 に示す。

検討の結果、層間変形角は1/75以下となりクライテリアを満足することを確認した。

最大応答値 標高 クライテリア 判定 O.P. NS 方向入力時 EW 方向入力時 (m) Ss-1Ss-2Ss-3Ss-1Ss-2Ss-3 $30.485 \sim 40.77$ 1/10285 1/10285 1/34283 1/1686 1/2057 1/2706 OK 1/75  $18.70 \sim 30.485$ 1/1061 1/1309 1/1419 1/1733 1/2104 1/2805

表 2.3.2-4 層間変形角の検討結果

#### ・ 塑性率の検討

部材の塑性率は、最大応答曲げモーメント時の曲率を全塑性モーメントに至る時の曲率で除した値で表される。最大曲げモーメントが全塑性モーメント以下の場合は弾性であり塑性率は1以下となる。最大応答値を全塑性モーメントまたはせん断耐力で除した値を耐力比と定義し、表 2.3.2-5 に検討結果を示す。

表 2.3.2-5 より曲げモーメント及びせん断力については、全てのケースで耐力比が 1 を下回ることから塑性率は 1 以下となり、クライテリアを満足することを確認した。

表 2.3.2-5 耐力比の検討結果

-	+∨⇒1	サロヤナ 山く イレ		l	l		
部位	検討 箇所	部材形状 (mm)	地震波	入力方向	耐力比		判定
		□-1000×1000 ×25×25	Ss-1		Mz/Muz	0.01	
柱	C1			NS	My/Muy	0.10	ОК
	CI				Qz/Quz	0.03	
					Qy/Quy	0.01	
	C1	B□-1300×750 ×22×50	Ss-1	EW	Mz/Muz	0.12	ОК
梁					My/Muy	0.06	
*	G1				Qz/Quz	0.02	
					Qy/Quy	0.09	
					Mz/Muz	0.02	
ブレース	V1	□-450×450	C = 1	17337	My/Muy	0.02	OK
70-3	V I	imes 22	Ss-1	EW	Qz/Quz	0.01	
					Qy/Quy	0.01	

Mz:部材z軸回りの曲げモーメントの最大値

My: 部材 y 軸回りの曲げモーメントの最大値

Qz:部材z方向のせん断力の最大値

Qy: 部材 y 方向のせん断力の最大値

Muz:部材z軸回りの全塑性モーメント

Muy: 部材 y 軸回りの全塑性モーメント

Quz: 部材 z 軸方向のせん断耐力

Quy: 部材y軸方向のせん断耐力

# (4) 原子炉建屋接合部の耐震性に対する検討

接着系アンカーボルトの耐震性の検討は、短期許容引張力及び短期許容せん断力を許容耐力とし、 応力度比が1以下になることを確認する。

# 1) シェル壁上端位置の検討

作用応力と許容耐力を比較した結果を表 2.3.2-6 に示す。 検討の結果,全ての応力度比が1以下になることを確認した。

表 2.3.2-6 シェル壁上端位置の検討結果

			作用応力		許名			
検討箇所 (アンカー本数)*1	地震波	入力 方向	引抜力 <b>P</b>	せん断力 Q	短期 許容引張力	短期 許容せん断力	応力度比	判定
			(kN)	(kN)	p <sub>a</sub> (kN)	q <sub>a</sub> (kN)		
F1 (20)	Ss-1	NS	0	1105	2320	2080	0.54	ОК
F2 (8)	Ss-1	EW	104	168	928	832	0.21	ОК

\*1:設計で考慮するアンカーボルトの本数

# 2) 南側外壁位置の検討

作用応力と許容耐力を比較した結果を表 2.3.2-7 に示す。 検討の結果,全ての応力度比が1以下になることを確認した。

表 2.3.2-7 南側外壁位置の検討結果

			作用	応力	許	容耐力		
検討箇所 方向 (アンカー本数)*1	地震波	入力 方向	引抜力 P (kN)	せん断力 Q (kN)	短期 許容引張力 pa (kN)	短期 許容せん断力 q <sub>a</sub> (kN)	応力度比	判定
F3 NS 方向 (引張 24) (せん断 99)	Ss-1	NS	1568	3214	2448	11484	0.65	ОК
F3 EW 方向 (引張 15) (せん断 99)	Ss-1	EW	863	5793	1530	11484	0.57	ОК

\*1:設計で考慮するアンカーボルトの本数。アンカーボルトは引張に抵抗するものとせん断に抵抗するものをそれぞれ設定した

# (5) 原子炉建屋の耐震性に対する検討

#### 1) 検討方針

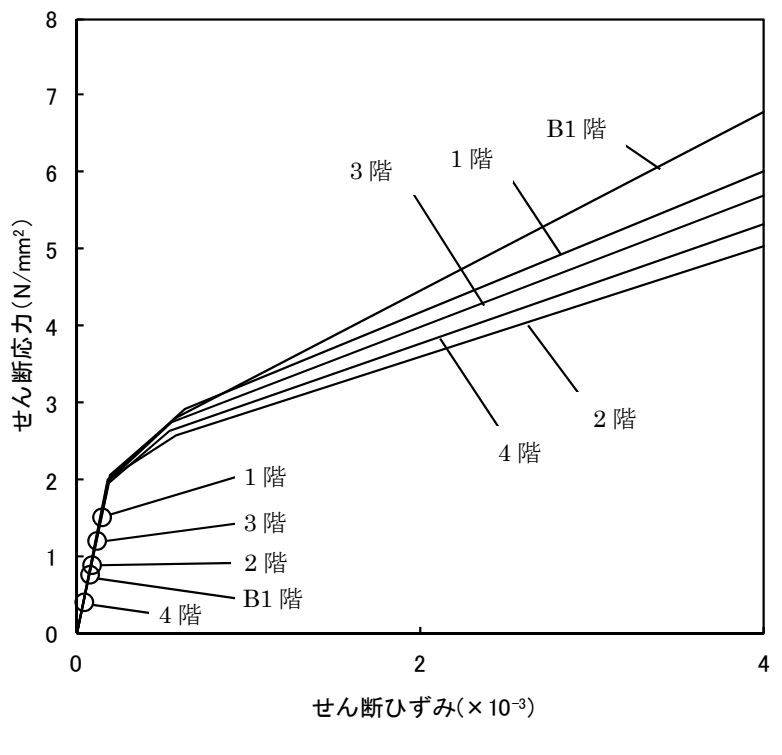
燃料取扱機支持用架構の設置に伴う原子炉建屋の耐震性の評価は、耐震安全上重要な設備への波及的影響防止の観点から、地震応答解析により得られる耐震壁のせん断ひずみが鉄筋コンクリート造耐震壁の終局限界に対応した評価基準値(4.0×10<sup>-3</sup>)以下になることを確認する。

ここで、耐震壁のせん断ひずみは、「(2)原子炉建屋の地震応答解析」で実施した地震応答解析結果の値とする。

# 2) 検討結果

基準地震動 Ss に対する最大応答値を,「JEAG 4601-1991」に基づき設定した耐震壁のせん断スケルトン曲線上にプロットした結果を,図 2.3.2-5 から図 2.3.2-7 に示す。

検討の結果,地震応答解析により得られる最大応答値は,評価基準値(4.0×10<sup>-3</sup>)に対して十分に余裕があることを確認した。





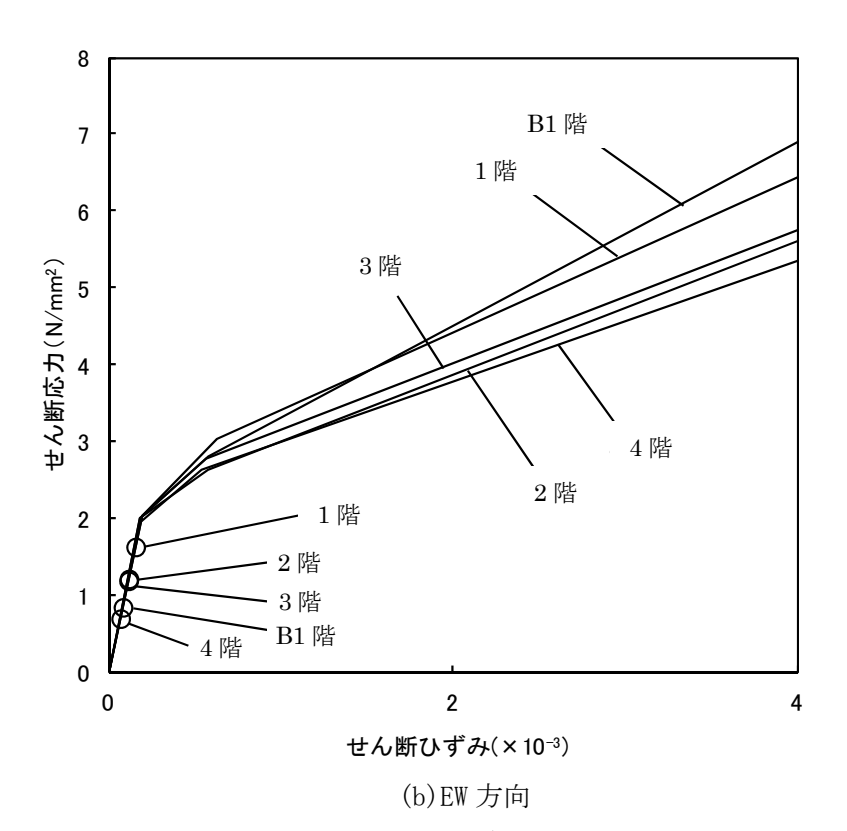
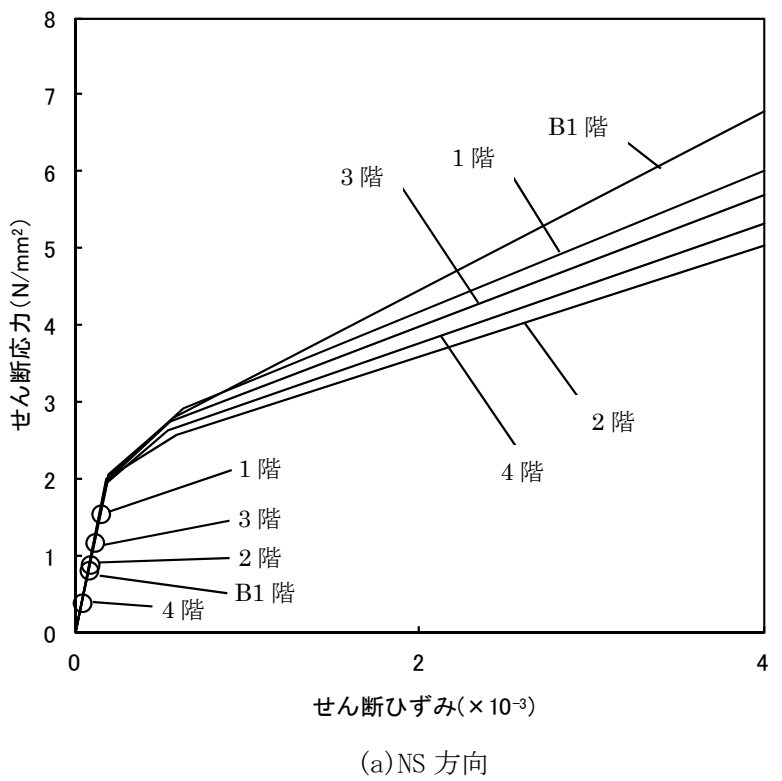


図 2.3.2-5 せん断スケルトン曲線上の最大応答値 (Ss-1)





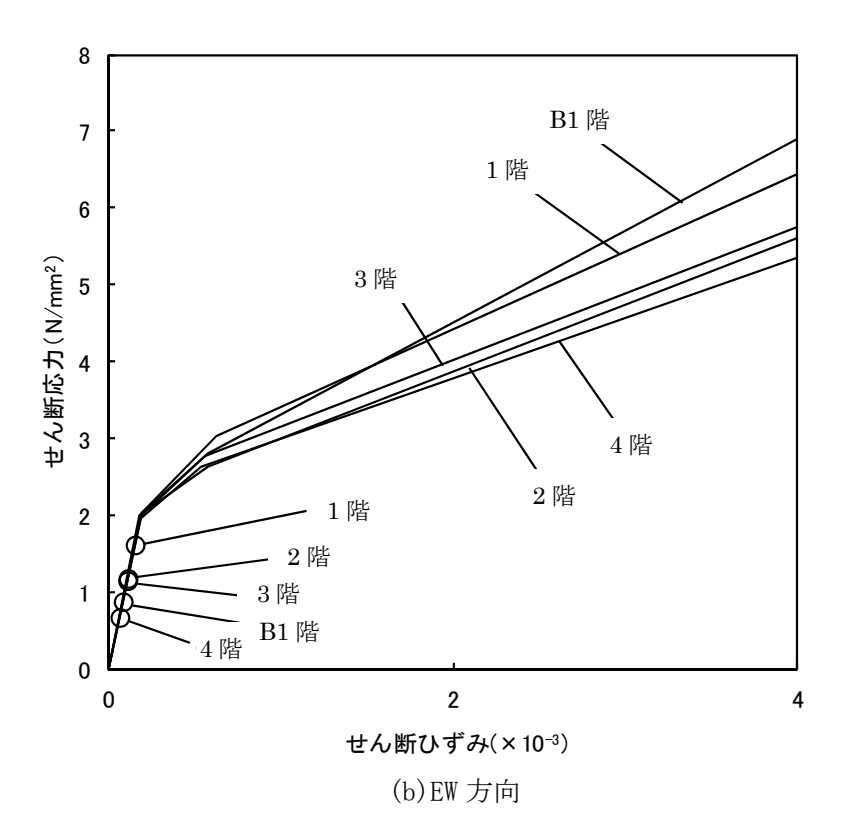
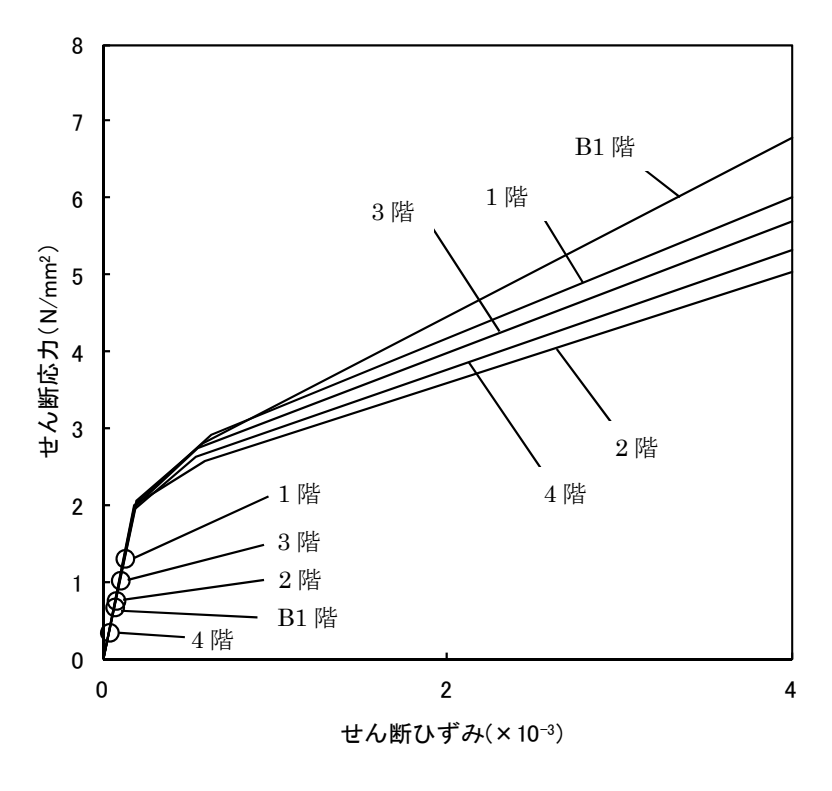


図 2.3.2-6 せん断スケルトン曲線上の最大応答値 (Ss-2)



(a)NS 方向

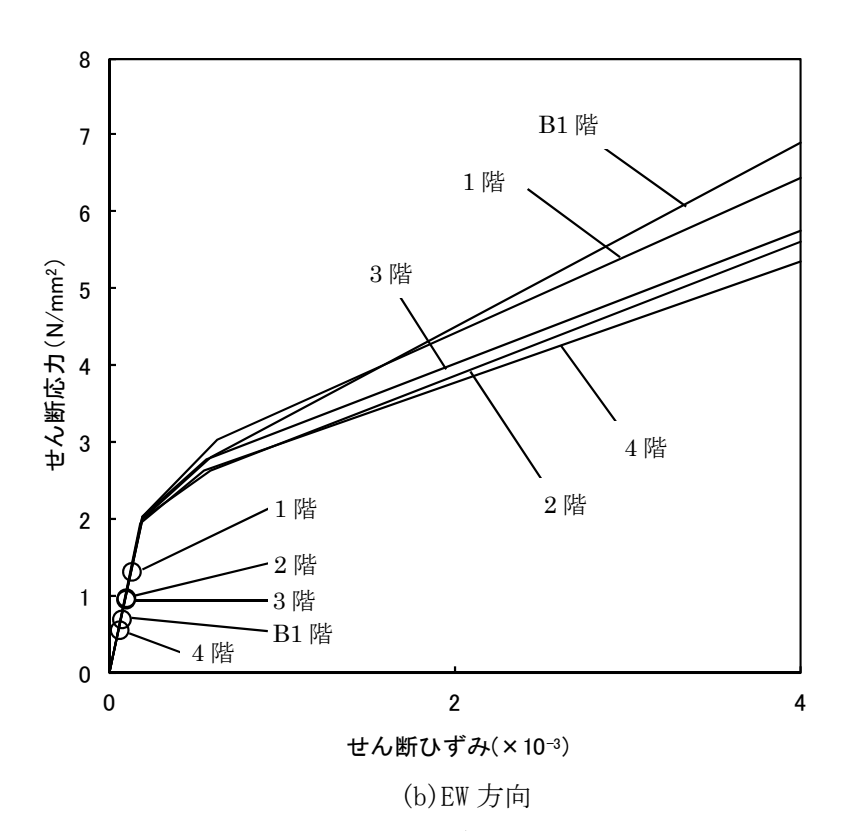


図 2.3.2-7 せん断スケルトン曲線上の最大応答値 (Ss-3)

3. 第3号機燃料取り出し用カバーの構造強度及び耐震性について

#### 3.1 概要

#### 3.1.1 一般事項

第3号機燃料取り出し用カバーは、使用済燃料プールを覆う構造としており、燃料取扱設備(燃料取扱機及びクレーン)を支持するドーム状の屋根を有した門型架構であり、構造強度と耐震性について検討を行う。なお、耐震設計上の重要度分類は、燃料取扱設備の間接支持構造物としてBクラス相当とする。

架構の構造強度は一次設計に対応した許容応力度設計を実施し、耐震性は基準地震動 Ss に対する地震応答解析を実施し、架構の損傷が原子炉建屋、使用済燃料プール及び使用済燃料ラックに波及的影響を及ぼさないことを確認する。ここで、波及的影響の確認は、架構が崩壊機構に至らないことを確認する。図 3.1.1-1 に燃料取り出し用カバーのイメージを示す。

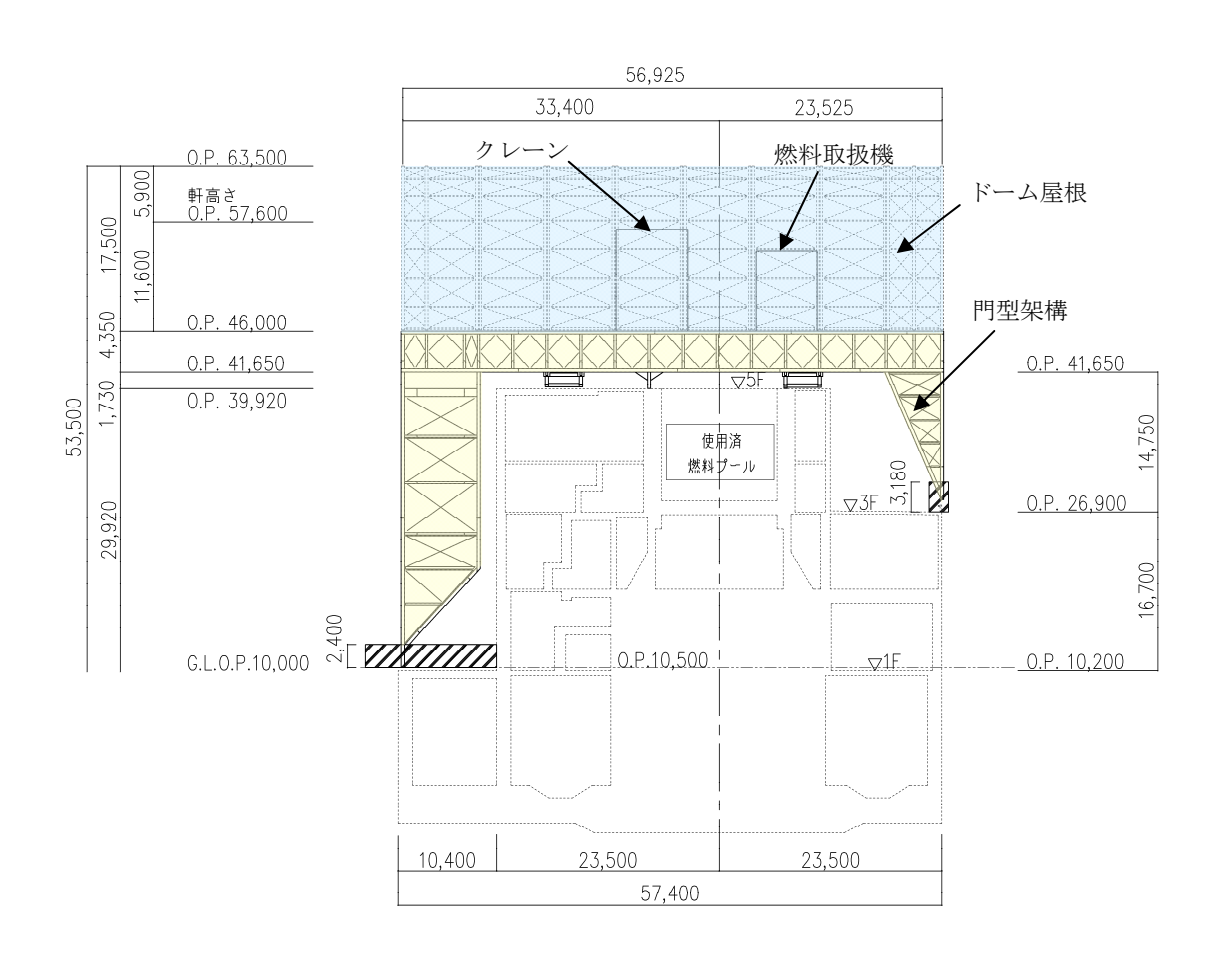


図 3.1.1-1 燃料取り出し用カバーのイメージ (単位:mm)

燃料取り出し用カバーの検討は原則として下記の法規及び基規準類に準拠して行う。

- (1) 建築基準法・同施行令及び関連告示
- (2) 原子力施設鉄筋コンクリート構造計算規準・同解説(日本建築学会, 2005 制定)
- (3) 鉄筋コンクリート構造計算規準・同解説(日本建築学会,2010改定)
- (4) 鋼構造設計規準(日本建築学会, 2005 改定)
- (5) 2007 年版 建築物の構造関係技術基準解説書(国土交通省住宅局建築指導課・国土交通省 国土技術政策総合研究所・独立行政法人建築研究所・日本建築行政会議, 2007 刊行)
- (6) 鋼構造塑性設計指針(日本建築学会, 2010 改定)
- (7) 現場打ち同等型プレキャスト鉄筋コンクリート構造設計指針(案)・同解説(2002) (日本建築学会,2002 制定)
- (8) プレストレストコンクリート設計施工規準・同解説(日本建築学会,1998改定)

また、原子力施設の設計において参照される下記の指針及び規程を参考にして検討を行う。

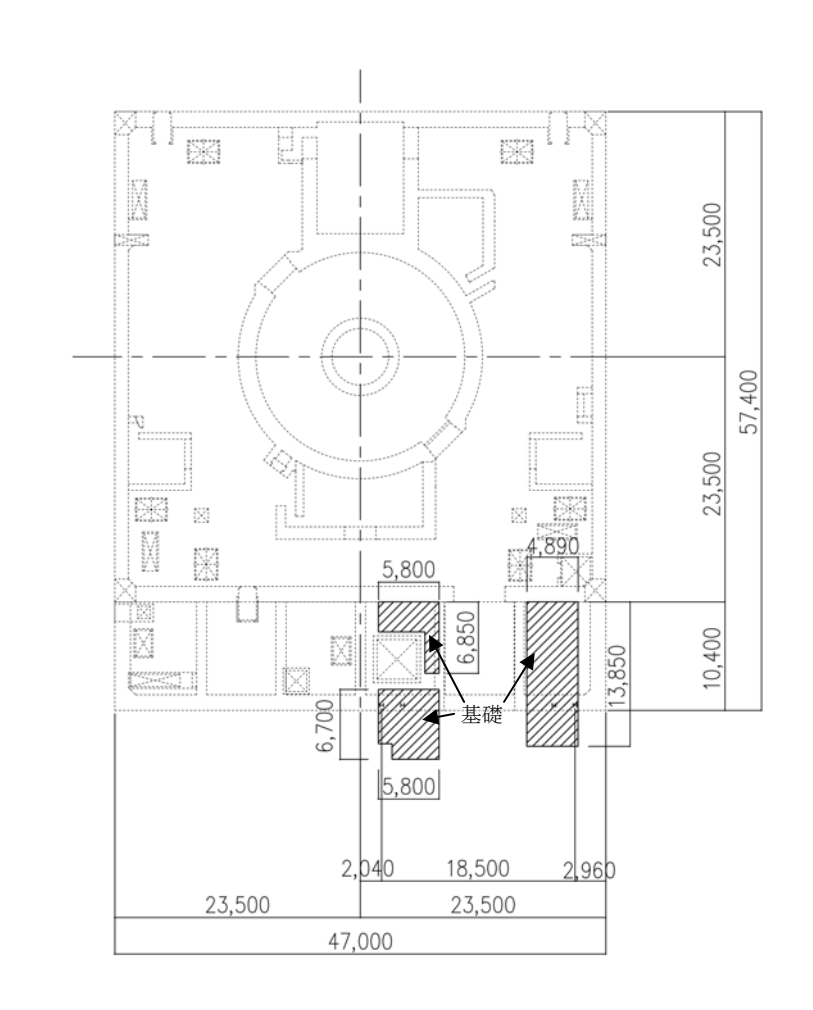
- (1) 原子力発電所耐震設計技術指針(JEAG 4601-1987)(日本電気協会 電気技術基準調査委員会, 昭和 62 年 8 月 改訂)
- (2) 原子力発電所耐震設計技術指針(JEAG 4601-1991 追補版)(日本電気協会 電気技術基準調査 委員会,平成3年6月 発刊)
- (3) 原子力発電所耐震設計技術規程(JEAC 4601-2008) (日本電気協会 原子力規格委員会,平成 20年12月 改定)

# 3.1.2 構造概要

燃料取り出し用カバーは燃料取扱設備を支持する架構で,南北方向に18.50m,東西方向に56.925m, 地盤面からの高さが53.50mのドーム状屋根を設けた門型の架構である。構造形式はトラス構造で, 構造種別は鉄骨造である。

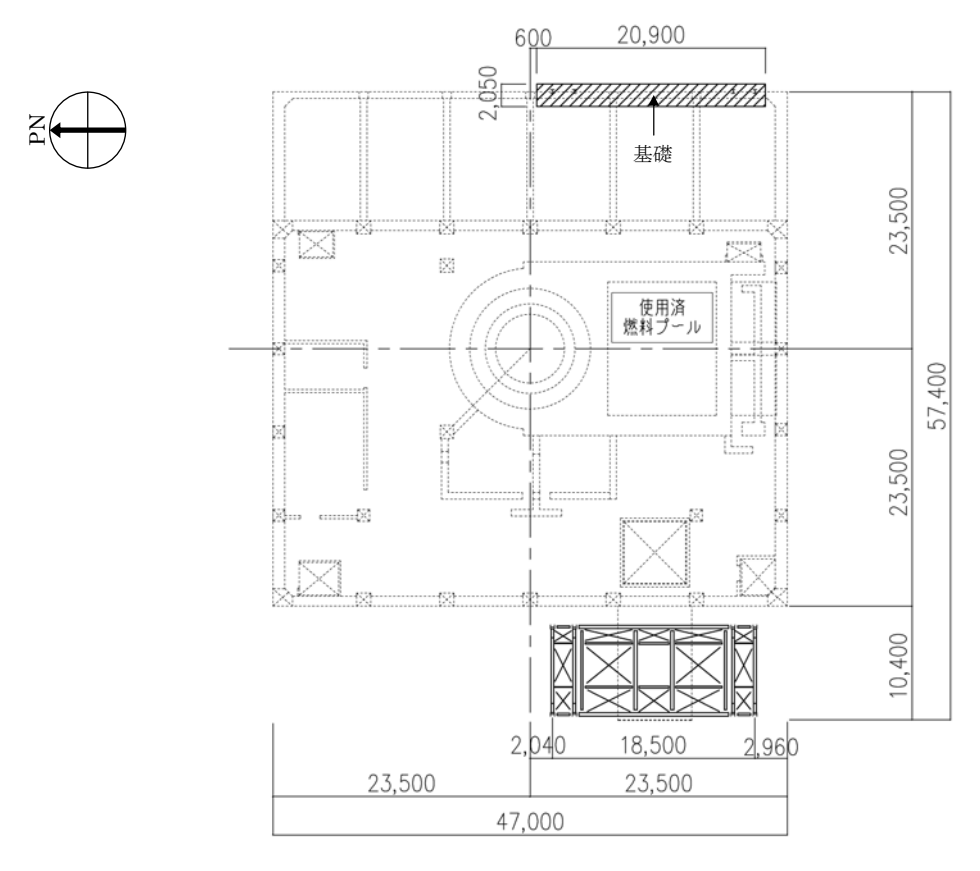
燃料取り出し用カバーは、原子炉建屋の1階,3階及び5階に支持される構造である。なお、5階の原子炉建屋躯体支持点においては、水平振れ止め装置(ストッパ)及び鉛直方向の制震装置(オイルダンパ)を用いる。

燃料取り出し用カバーの概要を図3.1.2-1~図3.1.2-5に示す。

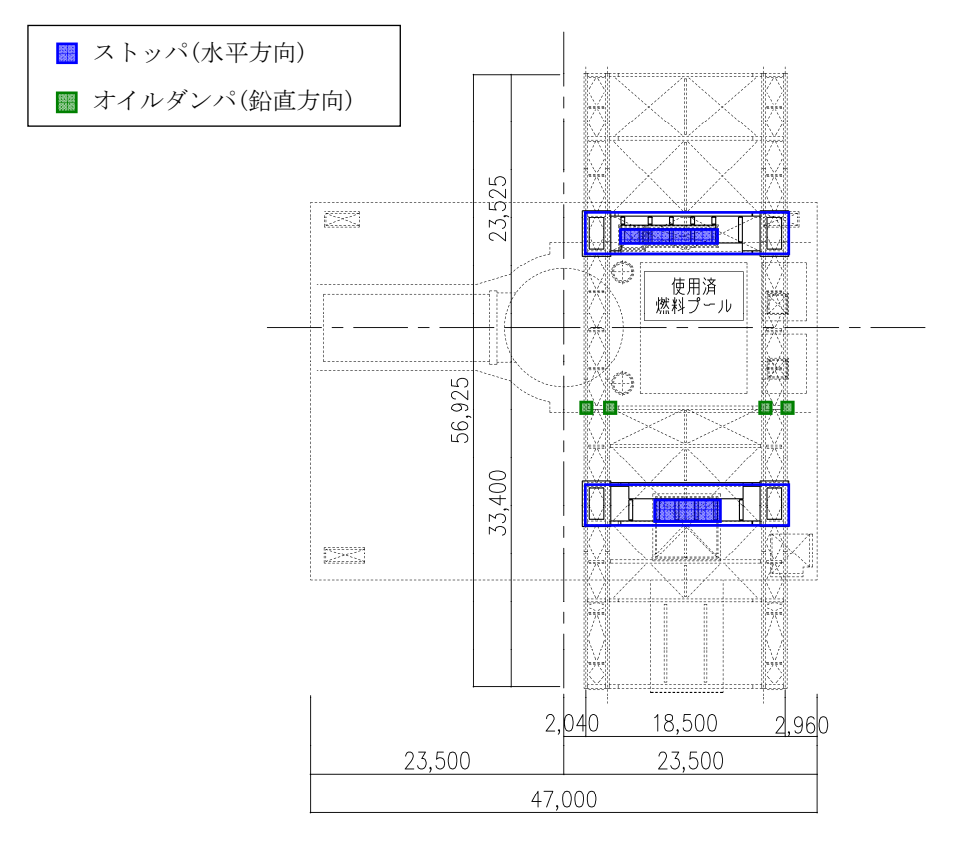


(a) 基礎伏図 (0. P. 10, 500 原子炉建屋 1 階レベル+300mm)

図 3.1.2-1 燃料取り出し用カバーの概要(単位:mm)

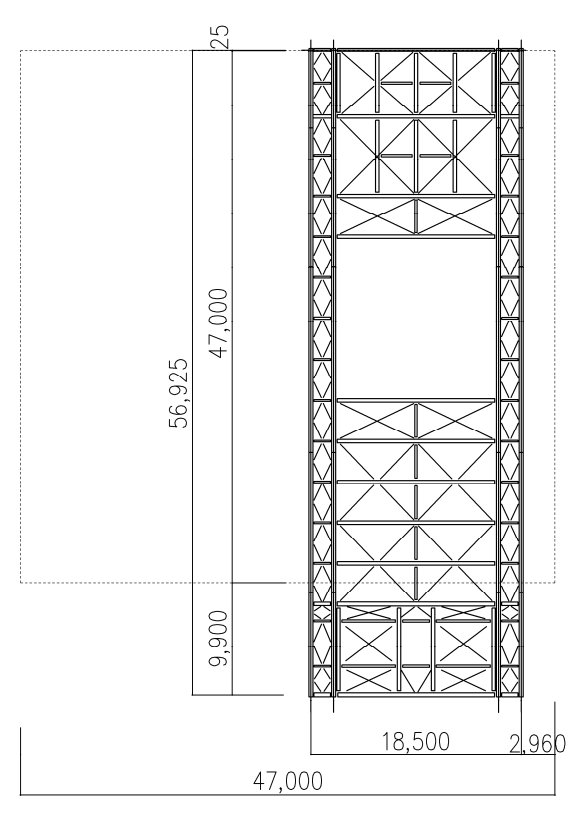


(a) 基礎伏図 (0. P. 26, 900 原子炉建屋 3 階)



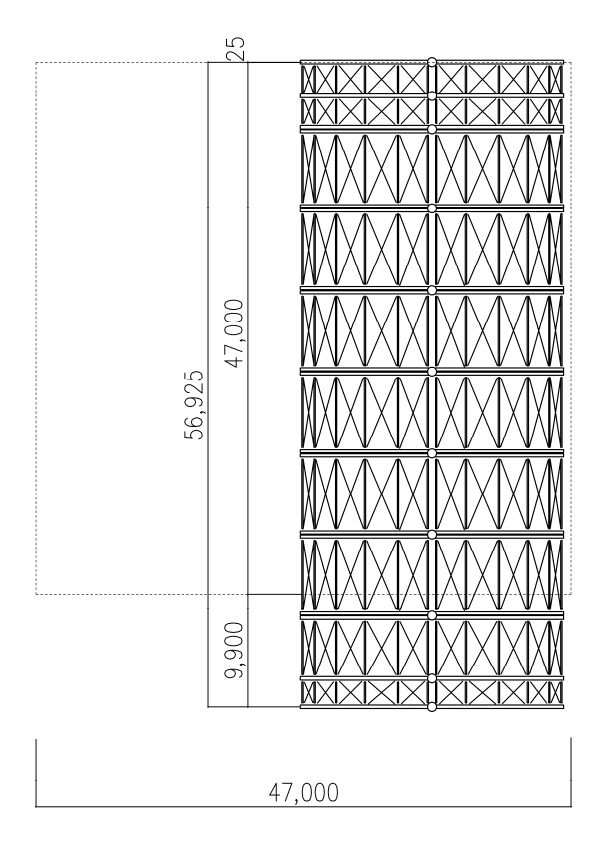
(b) 梁伏図 (0. P. 39, 920 原子炉建屋 5 階)

図3.1.2-2 燃料取り出し用カバーの概要(単位:mm) II-2-11-添4-2-81



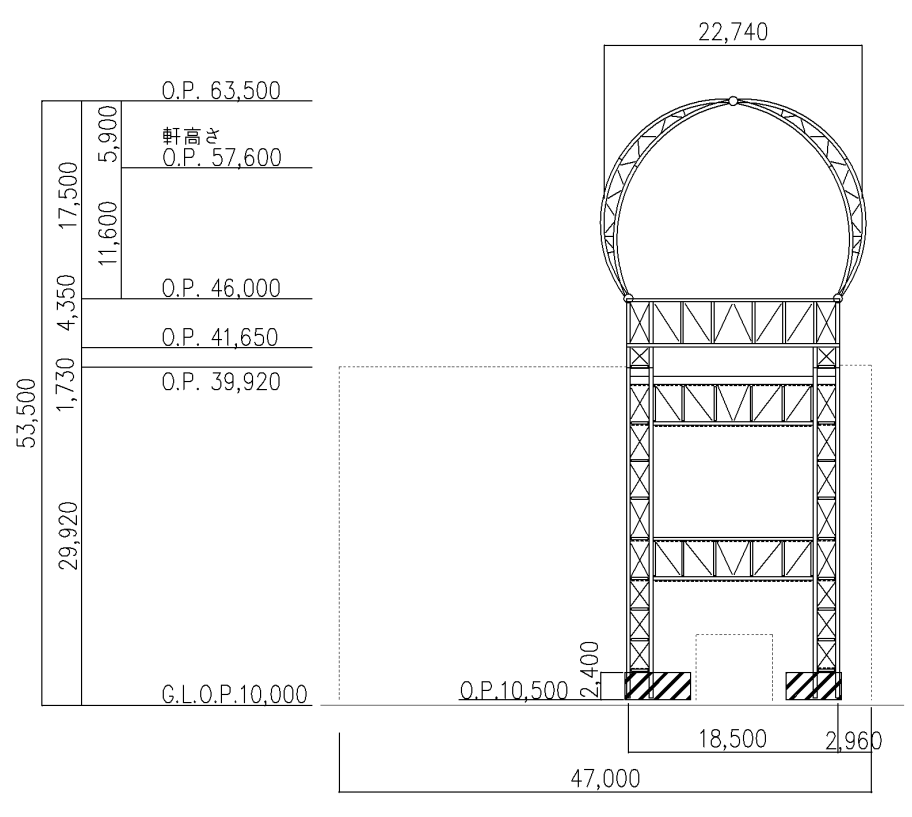
Zd

(a)架構ガーダー部平面図(0. P. 46,000)

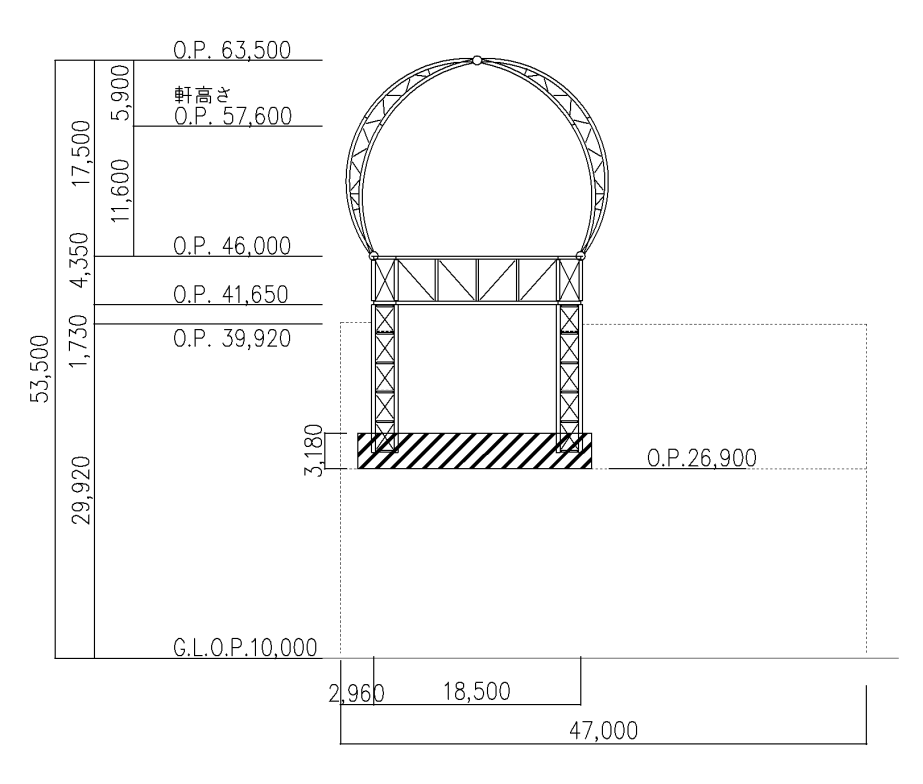


(b)屋根伏図

図 3.1.2-3 燃料取り出し用カバーの概要(単位:mm) II-2-11-添 4-2-82

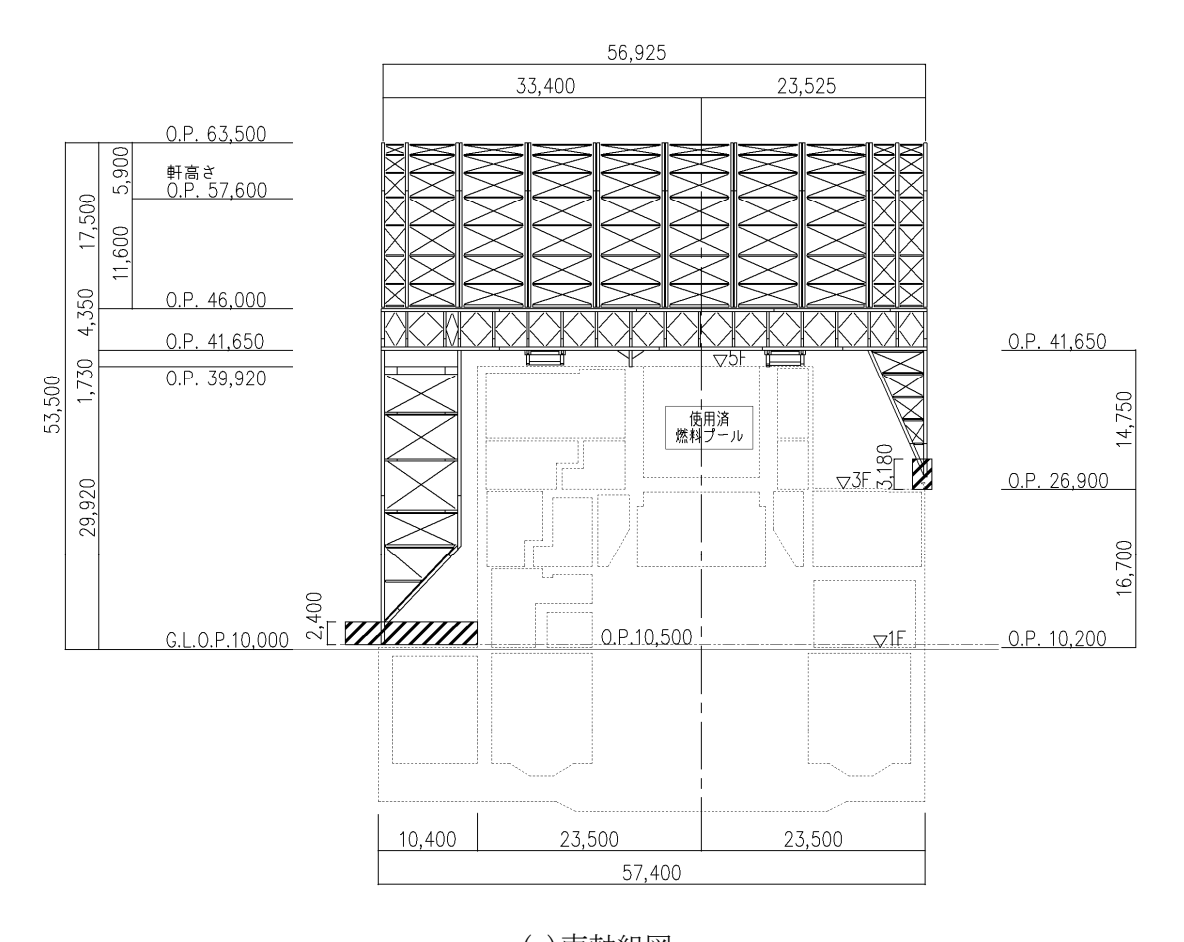


(a) 西軸組図



(b) 東軸組図

図 3.1.2-4 燃料取り出し用カバーの概要(単位:mm)

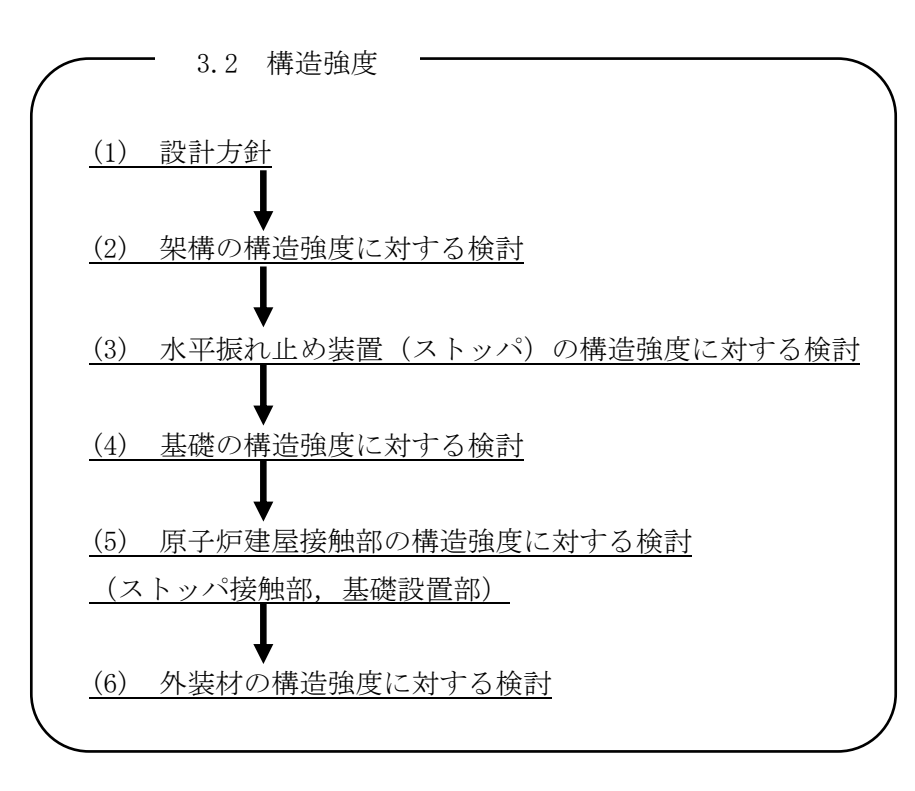


(a)南軸組図

図 3.1.2-5 燃料取り出し用カバーの概要(単位:mm)

# 3.1.3 検討フロー

燃料取り出し用カバーの構造強度及び耐震性の検討フローを図3.1.3-1に示す。



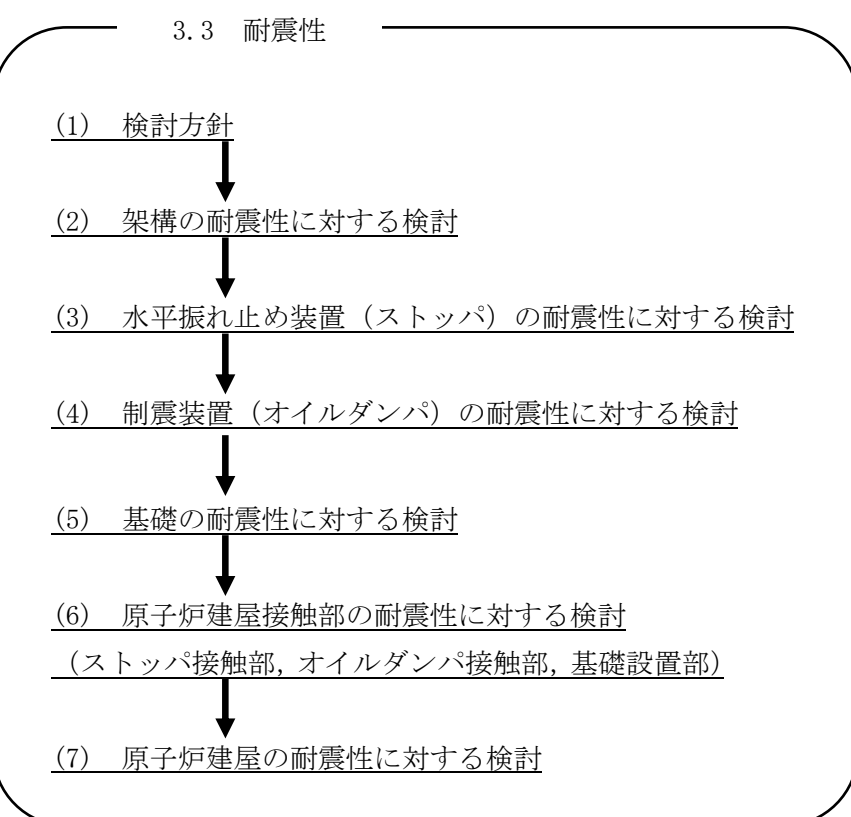


図 3.1.3-1 燃料取り出し用カバーの検討フロー

# 3.2 構造強度

# (1) 設計方針

構造強度の検討は、門型架構及びドーム屋根、水平振れ止め装置(ストッパ)、基礎及び外装材について許容応力度設計を実施する。

# 1) 使用材料及び許容応力度

使用材料の物性値及び許容応力度を表 3.2-1 に示す。

表 3.2-1 使用材料の物性値及び許容応力度

# 材料定数

部位	材料	ヤング係数	ポアソン比	単位体積重量	
브기사	1/1 1/1	$E (N/mm^2)$	ν	$\gamma$ (kN/m <sup>3</sup> )	
架構	鉄骨	$2.05 \times 10^5$	0.3	77. 0	
	コンクリート	$2.27 \times 10^4$	0.2	24. 0	

# コンクリートの許容応力度

(単位: N/mm<sup>2</sup>)

		長期		短期			
設計基準強度=24	圧縮	引張	せん断	圧縮	引張	せん断	
	8. 0	_	0.73	16. 0		1.095	

# 鉄筋の許容応力度

(単位: N/mm<sup>2</sup>)

記号	鉄筋径	長丼	胡	短期		
	少人別川土	引張及び圧縮	せん断補強	引張及び圧縮	せん断補強	
SD345	D29 未満	215	195	345	245	
SD349	D29 以上	195	199	340	345	

# 構造用鋼材の許容応力度

(単位: N/mm²)

板厚	材料	基準強度 F	許容応力度	
T≦40mm	SS400, SN400B	235		
T>40mm	T>40mm SN400B		「鋼構造設計規準」に 従い,左記Fの値より	
$T \leq 40 \text{mm}$	T≤40mm SM490A, SN490B, STK490		求める	
_	STKT590	440*		

\*: 「JIS G 3474-2008」による

# 2) 荷重及び荷重組合せ

設計で考慮する荷重を以下に示す。

# ·鉛直荷重 (VL)

燃料取り出し用カバーに作用する鉛直方向の荷重で、固定荷重、機器荷重、配管荷重及び積載荷重とする。

# ·燃料取扱設備荷重 (CL)

燃料取扱設備による荷重を表 3.2-2 に示す。

表 3.2-2 燃料取扱設備荷重一覧表

燃料取扱機	788 kN
クレーン	755 kN
吊荷	461 kN

# • 積雪荷重 (SL)

積雪荷重は建築基準法施行令及び福島県建築基準法施行規則細則に準拠し以下の条件とする。

積雪量:30cm, 単位荷重:20N/m²/cm

# • 風圧力 (WL)

風圧力は建築基準法施行令第87条に基づき,基準風速を30m/s,地表面粗度区分Ⅱとして算定する。速度圧の算定結果を表3.2-3に示す。

表 3.2-3 速度圧の算定結果

建物高さ*	平均風速の 鉛直分布係数	ガスト 影響係数	建物高さと粗度 区分による係数	基準風速	速度圧
H (m)	Er	Gf	E	Vo (m/s)	${\rm q} \\ ({\rm N/m^2})$
50. 55	1. 27	2.00	3. 23	30	1750

\*: 建物高さは、軒高さ (47.60m) と最高高さ (53.50m) の平均値とした

#### ・地震荷重 (K)

燃料取り出し用カバーに作用させる地震荷重は, 0. P. -2. 06m (原子炉建屋基礎スラブ上端レベル)を基準面とした原子炉建屋の水平地震力の算定結果より設定する。原子炉建屋の水平地震力は下式より算定し、算定結果を表 3. 2-5 及び表 3. 2-6 に示す。

$$Qi = n \cdot Ci \cdot Wi$$
  
 $Ci = Z \cdot Rt \cdot Ai \cdot Co$ 

ここで,

Qi:水平地震力(kN)

n :施設の重要度に応じた係数 (n=1.5)

建築基準法で定める地震力の1.5倍を考慮する。

Ci:地震層せん断力係数

Wi : 当該部分が支える重量 (kN)

ここに、燃料取り出し用カバーの設計で考慮する原子炉建屋の全体重量は、瓦礫撤去の効果と遮へい体及び燃料取り出し用カバーを新規に設置する影響を考慮した。原子炉建屋の全体重量を表 3.2-4 に示す。

表 3.2-4 原子炉建屋の全体重量(kN)

原子炉建屋全体重量*	1092200
瓦礫撤去による軽減重量	-24640
遮へい体設置による付加重量	+18000
燃料取り出し用カバー等の付加重量	+44750
燃料取り出し用カバー設計用原子炉建屋全体重量	1130310

\*: 「福島第一原子力発電所の原子炉建屋の現状の耐震安全性および補強等に関する検討に係る報告書(その2)」(東京電力株式会社,平成23年7月13日)において用いた各階重量の総計

Z : 地震地域係数 (Z=1.0)

Rt:振動特性係数(Rt=0.8)

Ai : 地震層せん断力係数の高さ方向の分布係数で、原子炉建屋の固有値を用いたモーダル解析法(二乗和平方根法)により求める。

C<sub>0</sub>:標準せん断力係数 (C<sub>0</sub>=0.2)

i層の水平震度 ki は、下式によって算定する。

 $\text{Pi=Q}_{i}\text{-}\text{Q}_{i-1}$ 

ki=Pi/wi

ここで,

Pi: 当該階とその直下階の水平地震力の差(kN)

wi:各階重量(kN)

表 3.2-5 原子炉建屋の水平震度の算定結果 (NS 方向)

階	標高	各階重量	Wi	Ai	n•Ci	Qi	Pi	水平震度
P自	0. P. (m)	wi(kN)	(kN)			(kN)	(kN)	ki
5	39. 92	87590	_	_	_	_	43010	0. 492
4	39. 92~32. 30	119490	87590	2. 046	0. 491	43010	42720	0.358
3	32. 30~26. 90	111340	207080	1. 728	0. 414	85730	31770	0. 286
2	26. 90~18. 70	130160	318420	1. 537	0. 369	117500	26050	0. 201
1	18.70~10.20	253710	448580	1. 331	0. 320	143550	25000	0.099
B1	10. 20~-2. 06	_	702290	1.000	0. 240	168550	_	_

表 3.2-6 原子炉建屋の水平震度の算定結果(EW方向)

階	標高	各階重量	Wi	Ai	n•Ci	Qi	Pi	水平震度
Pé	0. P. (m)	wi(kN)	(kN)			(kN)	(kN)	ki
5	39. 92	87590	1			-	48610	0. 555
4	39. 92~32. 30	119490	87590	2. 311	0. 555	48610	39610	0. 332
3	32. 30~26. 90	111340	207080	1. 775	0. 426	88220	30230	0. 272
2	26. 90~18. 70	130160	318420	1. 552	0. 372	118450	24200	0. 186
1	18.70~10.20	253710	448580	1. 323	0. 318	142650	25900	0. 103
B1	10. 20~-2. 06	_	702290	1.000	0. 240	168550	_	_

架構に作用させる水平震度は、原子炉建屋1階、3階及び5階の水平震度を用いるものとし、水平地震力を設定する。ドーム屋根部分の水平震度は、建設省告示第1389号に基づく1.0に1.5を乗じて用いる。表3.2-7に燃料取り出し用カバーに作用させる水平地震力の算定結果を示す。

表 3.2-7 水平地震力の算定結果

標高	各階重量	NS 2	方向	EW 方向		
0. P. (m)	wi (kN)	水平震度 ki	水平地震力 Pi (kN)	水平震度 ki	水平地震力 Pi (kN)	
63. 50	3200	1. 500	4800	1. 500	4800	
46. 00	11400	0. 492	5609	0. 555	6327	
26. 90	200	0. 286	57	0. 272	54	
10. 20	1200	0. 099	119	0. 103	124	

# ・荷重組合せ

設計で考慮する燃料取扱機及びクレーンの位置を図3.2-1に、荷重組合せを表3.2-8に示す。

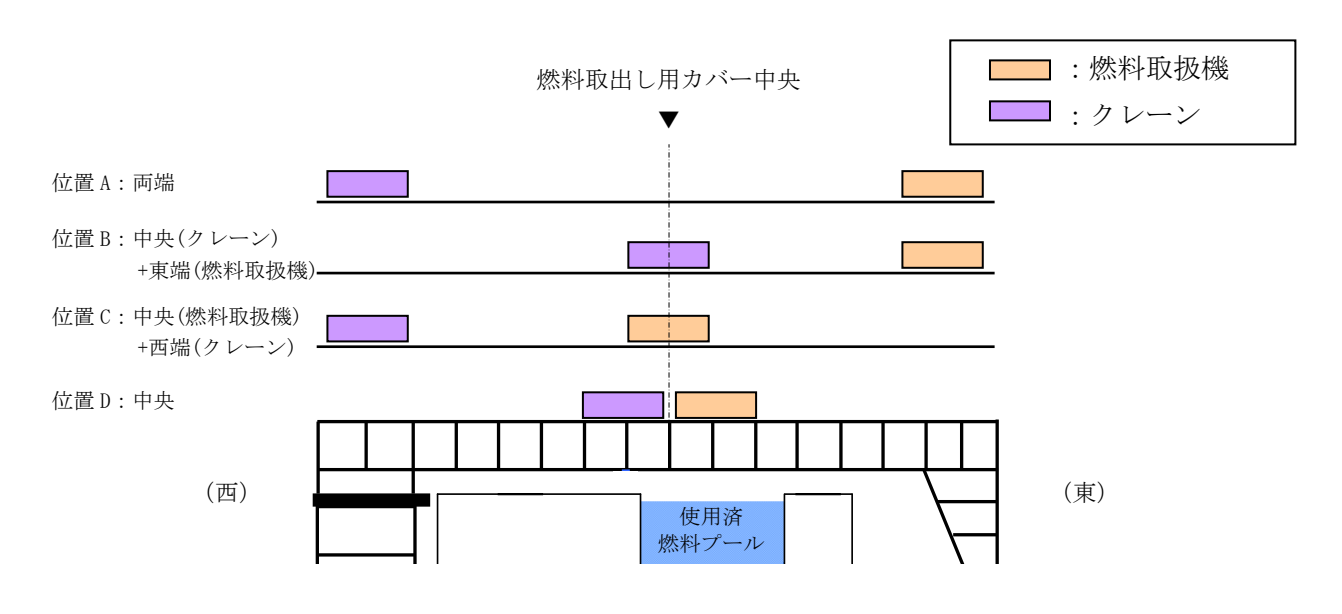


図 3.2-1 燃料取扱設備の位置

表 3.2-8	燃料取り出し用カバーの何重組合せ

想定する状態	荷重ケース	荷重組合せ内容	許容応力度		
常時	С	VL+CL*1	長期		
看雪時* <sup>3</sup>	雪時* <sup>3</sup> S VL+CL* <sup>1</sup> +SL				
暴風時*3	W	VL+CL*1+WL			
	E1	VL+CL*1+K(+NS) *2	短期		
地震時	E2	VL+CL*1+K(-NS) *2	<del>应切</del>		
地辰时	E3	VL+CL*1+K(+EW) *2			
	E4	VL+CL*1+K(-EW) *2			

\*1: 吊荷荷重は、常時、積雪時及び暴風時は図3.2-1に示すクレーンの位置、 地震時は使用済燃料プール直上の架構にて考慮する。

\*2:地震荷重は NS 方向及び EW 方向を考慮する。

\*3:短期事象では地震時が支配的であることから、積雪時及び暴風時の検討は 省略する。ただし、外装材の検討は暴風時が支配的であることから暴風時 に対し検討を行う。 なお、地震時と暴風時の架構の層せん断力について、風荷重の受圧面積が最大になる NS 方向で比較した結果を図 3.2-2 に示す。図 3.2-2 より、地震時の層せん断力は暴風時の層せん断力を包絡しており、支配的な荷重である。

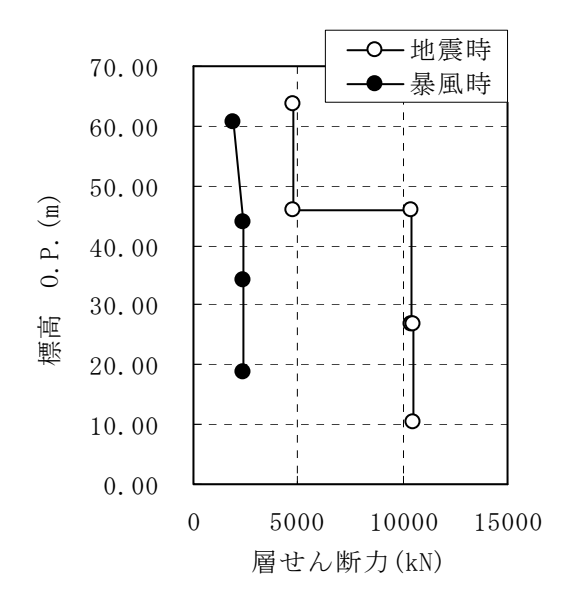


図 3.2-2 地震時と暴風時の層せん断力の比較

# (2) 架構の構造強度に対する検討

# 1) 解析モデル

架構の解析モデルは、門型架構及びドーム屋根を構成する主要な鉄骨部材からなる立体架構モデルとする。図 3.2-3 に架構の立体解析モデルを示す。解析モデルの柱脚部はピン支持、ストッパ取り付き部は水平方向のみピン支持とする。

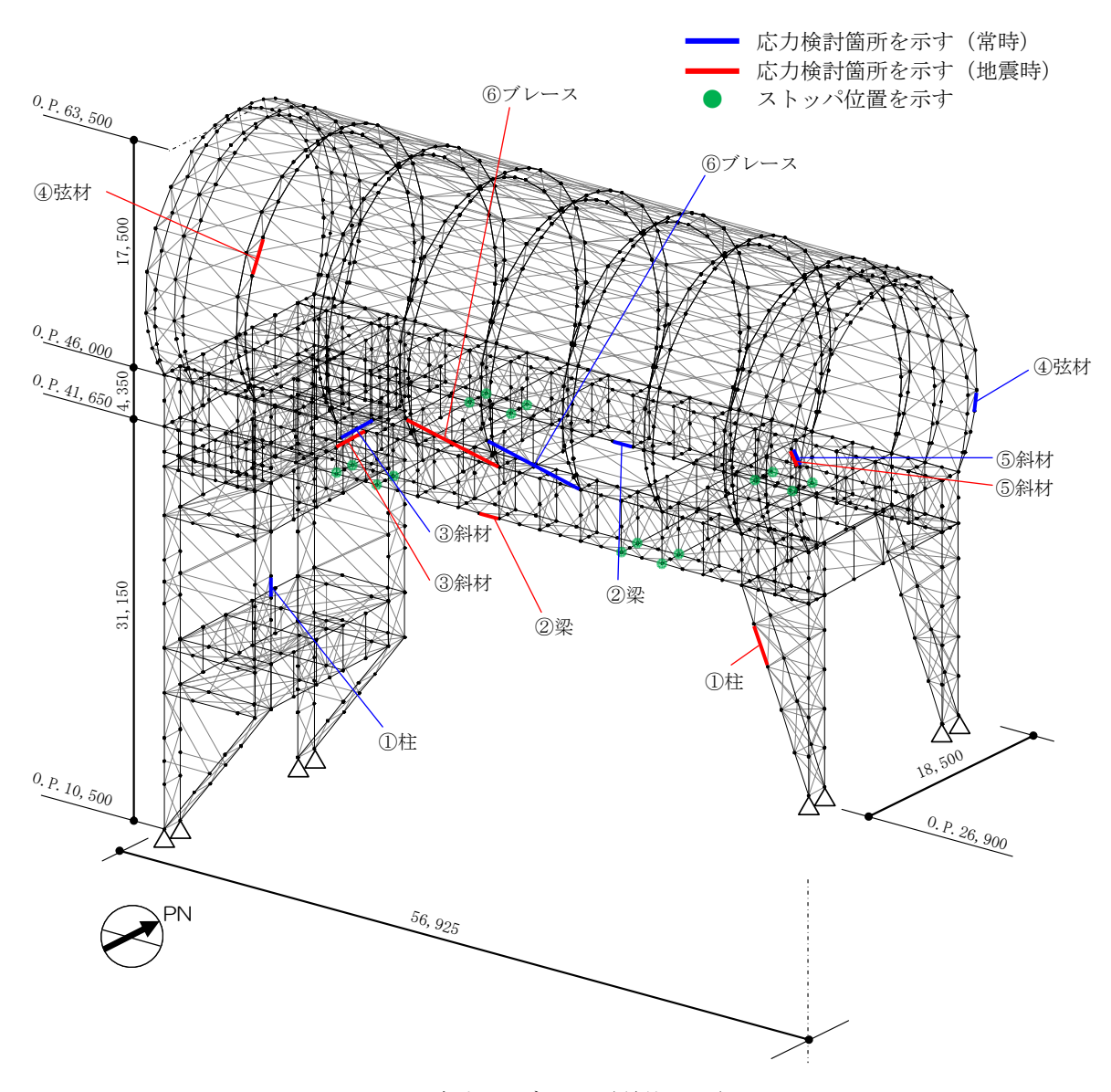


図 3.2-3 解析モデル図 (単位:mm)

# 2) 断面検討

応力度比の検討は「鋼構造設計規準」に従い、軸力に対して下式にて検討を行う。

・軸圧縮の場合  $\frac{\sigma_c}{f_c} \leq$ 

・軸引張の場合  $\frac{\sigma_t}{f_t} \leq 1$ 

ここで、  $\sigma_c$ 、 $\sigma_t$ : 圧縮応力度 (N/A) 及び引張応力度 (T/A) (N/mm²)

N: 圧縮力(N), T: 引張力(N), A: 断面積(mm²)

 $f_c$ : 許容圧縮応力度 (N/mm²)  $f_t$ : 許容引張応力度 (N/mm²)

表 3.2-9 及び表 3.2-10 に応力度比が最大となる部位の断面検討結果を示す。 断面検討の結果,全ての部材に対する応力度比が 1 以下になることを確認した。

表 3.2-9 断面検討結果(常時)

部 位*1		部材形状 (mm) <使用材料>	荷重ケース (位置)* <sup>2</sup>	作用 応力度 (N/mm²)		許容 応力度 (N/mm²)	応力度比	判定	
門型架構	1	柱	H-350×350 ×12×19 <sm490></sm490>	C (D)	圧縮	77. 4	164	0. 48	0. K.
	2	梁	H-350×350 ×12×19 <sm490></sm490>	C (D)	引張	91. 4	216	0. 43	0. K.
	3	斜材	2[s-150×75 ×6.5×10 <sm490></sm490>	C (D)	圧縮	103. 0	120	0.86	0. K.
ドーム 屋根	4	弦材	$\phi$ -318. 5×6. 9 $\langle$ STKT590 $\rangle$	C (B)	引張	33. 5	293	0. 12	0. K.
	(5)	斜材	$\phi$ -139. 8 × 4. 5 $\langle$ STK490 $\rangle$	C (B)	圧縮	43. 4	203	0. 22	0. K.
	6	ブレース	φ-114.3×4.5 <stk490></stk490>	C (D)	圧縮	19. 4	92	0. 22	O. K.

\*1: ①~⑥の符号は図 3.2-3 の応力検討箇所を示す

\*2:図3.2-1に示す燃料取扱設備の位置を示す

表 3.2-10 断面検討結果(地震時)

部 位*1		部材形状 (mm) <使用材料>	荷重ケース (位置)* <sup>2</sup>	作用 応力度 (N/mm²)		許容 応力度 (N/mm²)	応力度比	判定	
門型 架構	1	柱	H-350×350 ×12×19 <sm490></sm490>	E1 (D)	圧縮	138. 9	289	0.49	0. K.
	2	梁	H-350×350 ×12×19 <sm490></sm490>	E1 (D)	引張	108. 3	324	0.34	O. K.
	3	斜材	2[s-150×75 ×6.5×10 <sm490></sm490>	E1 (D)	圧縮	164. 5	180	0. 92	O. K.
ドーム	4	弦材	$\phi$ -267. 4×6. 6 $\langle$ STKT590 $\rangle$	E1 (D)	圧縮	155. 2	396	0.40	0. K.
	5	斜材	φ-139.8×4.5 <stk490></stk490>	E3 (A)	圧縮	165.8	304	0. 55	0. K.
	6	ブレース	φ-114. 3×4. 5 <stk490></stk490>	E3 (D)	圧縮	80. 6	138	0. 59	0. K.

\*1:①~⑥の符号は図3.2-3の応力検討箇所を示す

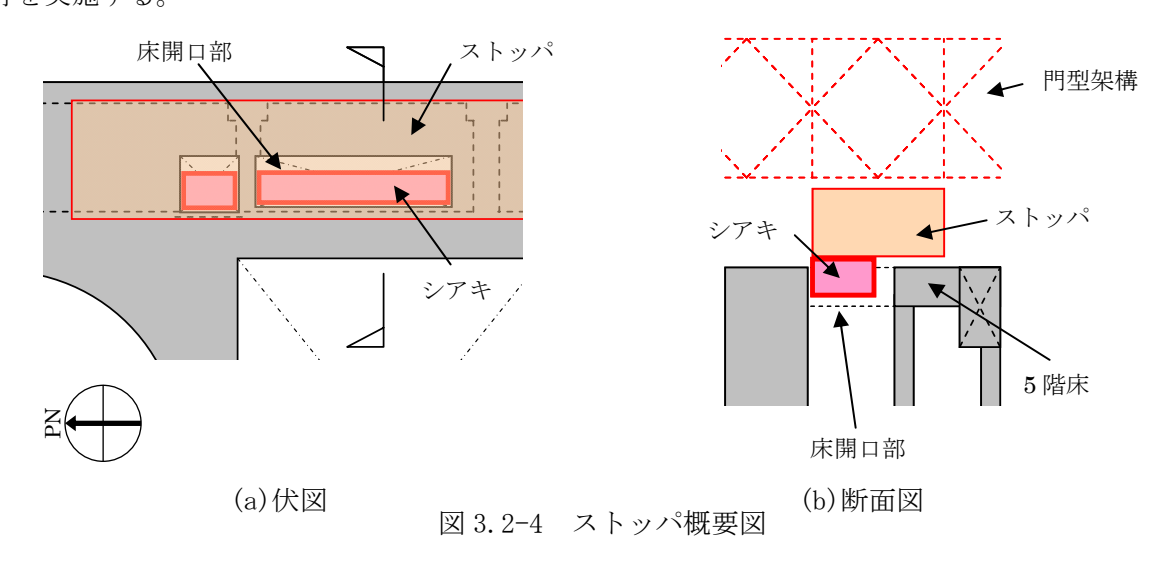
\*2:図3.2-1に示す燃料取扱設備の位置を示す

### (3) 水平振れ止め装置 (ストッパ) の構造強度に対する検討

原子炉建屋の5階床上面2か所に鋼製のストッパを設置し、架構に発生する水平力を、ストッパを介して原子炉建屋に支持させる。原子炉建屋へは、5階床の床開口部に突出させた強固なシアキにより水平力を伝達させる。図3.2-4にストッパ概要図を示す。

ストッパについては、架構と原子炉建屋を結んだバネ材に発生する水平力の最大値が、床開口に 差し込むシアキの短期許容せん断力以下であることを確認する。

なお、原子炉建屋と水平振れ止め装置(ストッパ)の接触部については、設置前において、本説明書で想定しているように、施工に十分な状況かどうか、雰囲気線量等の作業安全性を鑑みながら、可能な範囲で確認した点検結果を別途報告するとともに、不具合が見つかった場合には適切に補修等を実施する。



シアキの許容せん断力は下式より算定し、表 3.2-11 に応力比が最大となる部位の断面検討結果を示す。

断面検討の結果、全てのストッパに対する応力比が1以下になることを確認した。

# $Q_a = A \cdot f_s$

ここに,

Qa:短期許容せん断力(kN)A:シアキの断面積(mm²)

f<sub>s</sub>: 短期許容せん断応力度(N/mm<sup>2</sup>) (SM490A)

部位	荷重ケース (位置)*	ストッパ反力 Q(kN)	短期許容せん断力 Qa(kN)	応力比 Q/Qa	判定
東側ストッパ	E4 (A)	2560	8620	0.30	O. K.

表 3.2-11 ストッパ (シアキ) の断面検討結果

### (4) 基礎の構造強度に対する検討

架構の基礎は独立フーチング基礎とし、西側柱脚部は原子炉建屋の地下 1 階壁の直上に設置し、東側柱脚部は原子炉建屋 2 階壁の直上に設置して基礎反力が原子炉建屋を介して地盤に伝わるようにする。ここでは、基礎の浮き上がりに対しては基礎反力(圧縮力を正)の最小値が 0 以上であることを確認し、基礎のすべりに対しては基礎反力の水平力が許容摩擦力以下であることを確認する。なお、基礎底面の摩擦係数は「現場打ち同等型プレキャスト鉄筋コンクリート構造設計指針(案)・同解説(2002)」に準じて、特に先打ちコンクリート表面に処理をしない場合の後打ちコンクリートとの境界面で設定する 0.6(普通コンクリートの場合)とする。

表 3.2-12 に基礎反力が最小となる部位の基礎浮き上がりの検討結果を示す。 基礎浮き上がりの検討の結果、全ての基礎の最小圧縮力が 0 以上であることを確認した。

表 3.2-12 基礎浮き上がりの検討結果

部位	荷重ケース (位置)*	最小圧縮力 N(kN)	判定
東側柱脚 (北側)	E1 (C)	1990	0. K.

\*:図3.2-1に示す燃料取扱設備の位置を示す

許容摩擦力は下式より算定し、表 3.2-13 に応力比が最大となる部位の検討結果を示す。 基礎すべりの検討の結果、全ての基礎に対する応力比が 1 以下になることを確認した。

# $V_a = \mu(N+R)$

ここに,

Va:許容摩擦力(kN)

μ:摩擦係数 (μ=0.6)

N:基礎重量(kN)

R:基礎上端の架構の鉛直反力(kN)

表 3.2-13 基礎すべりの検討結果

部位	荷重ケース (位置) *	水平力	許容摩擦力	応力比	判定
	(1年月)	Q(kN)	Va (kN)	Q/Va	
<b>市/川北</b> 加	C (D)	2410	5270	0.46	O. K.
東側柱脚	E4 (D)	2430	4580	0.54	O. K.

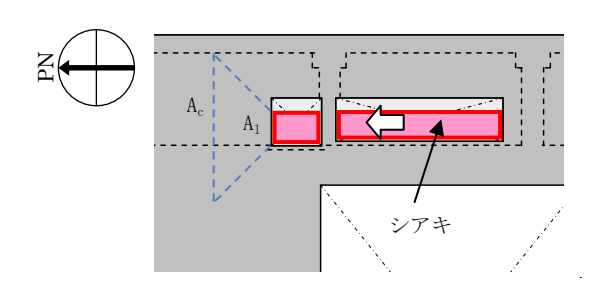
### (5) 原子炉建屋接触部の構造強度に対する検討

#### 1) ストッパ接触部

ストッパ接触部の構造強度の検討では、ストッパ水平反力が、既存躯体の短期許容支圧力以下になることを確認する。なお、許容支圧応力度は、原子炉建屋の設計基準強度(22.1N/mm²)を用いて「プレストレストコンクリート設計施工規準・同解説」に基づき算出する。

短期許容支圧力 Na は下式より算定し、表 3.2-14 に応力比が最大となる部位の検討結果を示す。 検討の結果、全てのストッパ接触部に対する応力比が 1 以下になることを確認した。

$$\begin{split} N_a &= f_n \cdot A_l \\ f_n &= f_{na} \sqrt{\frac{A_c}{A_l}} \quad \text{fittus} \quad \sqrt{\frac{A_c}{A_l}} \leq 2.0 \\ &= \text{cit}, \end{split}$$



f<sub>n</sub>:短期許容支圧応力度(N/mm²)

 $f_{na}:F_{ci}/1.25$  または  $0.6F_{c}$  のうち小さいほうの値  $(N/mm^{2})$ 

 $F_{ci}$ : コンクリート強度、特に定めのない場合には 20N/mm² ( $F_{ci}$ =22. 1N/mm²)

A。: 支圧端から離れて応力が一様分布となったところのコンクリートの支承面積(mm²)

A<sub>1</sub>:局部圧縮を受ける支圧面積(mm<sup>2</sup>)

表 3.2-14 ストッパ接触部の検討結果

部位	荷重ケース (位置) *	ストッパ水平反力 N(kN)	短期許容支圧力 Na(kN)	応力比 N/Na	判定
東側ストッパ	E2 (B)	3980	10300	0.39	O. K.

\*:図3.2-1に示す燃料取扱設備の位置を示す

### 2) 基礎設置部

架構の西側脚部は原子炉建屋 1 階レベル (0. P. 10. 2m) で支持し、東側脚部は原子炉建屋 3 階レベル (0. P. 26. 9m) で支持している。基礎設置部については、柱脚の鉛直反力により生じる直下壁の軸力が壁の許容軸力以下であることを確認する。

許容軸力 Na は下式より算定し、表 3.2-15 に応力比が最大となる部位の検討結果を示す。 検討の結果、全ての基礎設置部に対する応力比が1以下になることを確認した。

$$_LN_a=_Lf_c\cdot A_1$$
 ,  $_SN_a=_Sf_c\cdot A_1$   $\subset\subset$   $\subset$  ,

 $_{\rm L}{\rm f_c}$ : 長期許容圧縮応力度 (N/mm²) ( $_{\rm L}{\rm f_c}$ =22.  $1\times1/3$ =7. 4)  $_{\rm S}{\rm f_c}$ : 短期許容圧縮応力度 (N/mm²) ( $_{\rm S}{\rm f_c}$ =22.  $1\times2/3$ =14. 7)  $_{\rm II}$  -2-11-添 4-2-97

# A<sub>1</sub>: 柱脚部支配面積(mm<sup>2</sup>)

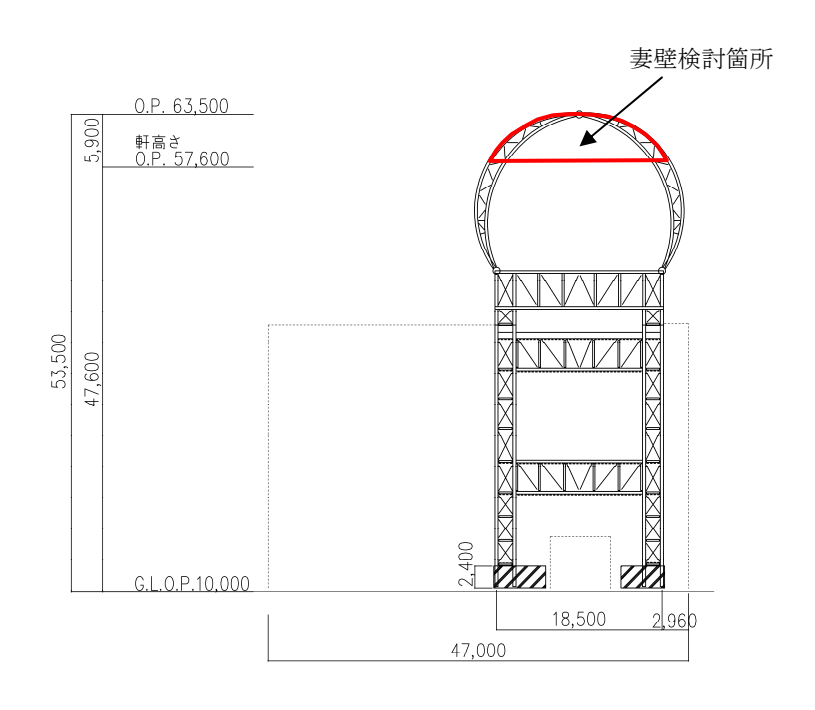
表 3.2-15 壁の圧縮力の検討結果

部位	荷重ケース (位置)*	軸力 N(kN)	許容軸力 Na(kN)	応力比 N/Na	判定
東側柱脚(南側)	C (B)	4280	12900	0.34	O. K.
	E1 (B)	6540	25900	0. 26	O. K.

# (6) 外装材の構造強度に対する検討

### 1) 検討箇所

架構の屋根面及び側面を覆う外装材は、折板を用いる。強度検討は、壁材、屋根材それぞれに風圧力により生じる応力度が短期許容応力度以下であることを確認する。なお、短期事象においては、 暴風時の影響が支配的であることから、積雪時及び地震時の検討は省略する。検討箇所を図 3.2-5 に示す。



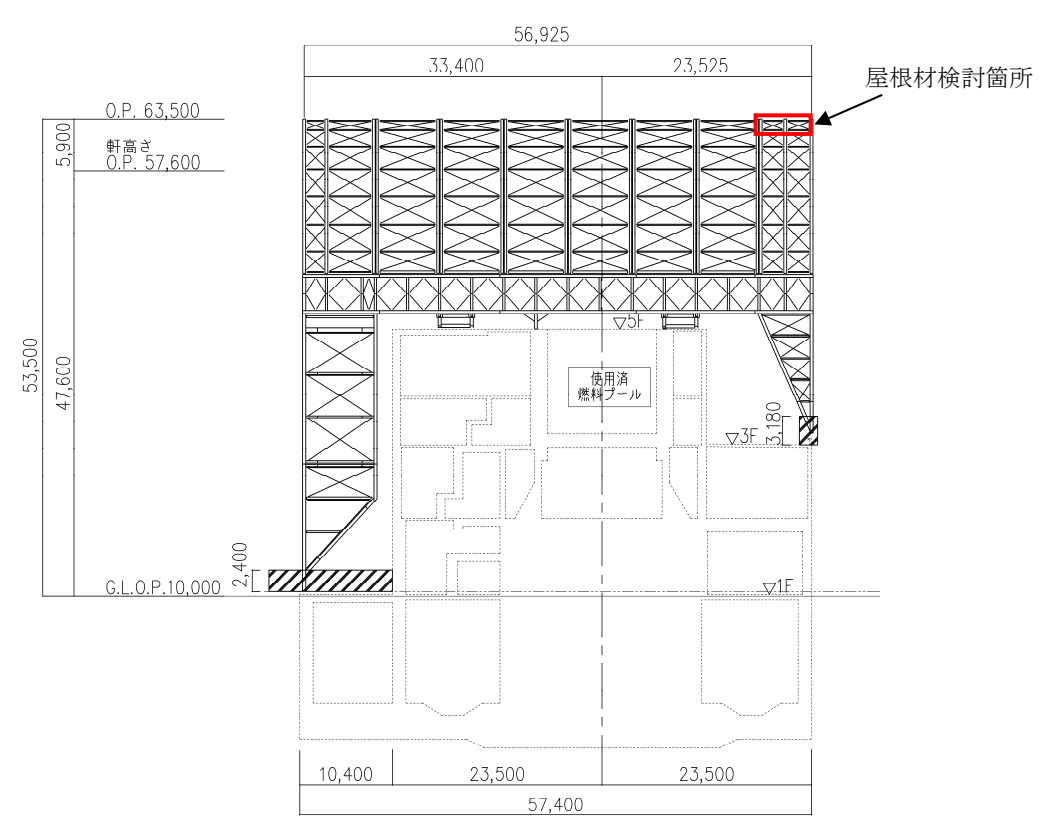


図 3. 2-5 外装材検討箇所(単位:mm) II-2-11-添 4-2-99

### 2) 設計用荷重の算定

設計用風圧力は、建築基準法施行令第82条の4に準拠し、基準風速30m/s、地表面粗度区分IIとして算定する。速度圧の算定結果を表3.2-16に、ピーク風力係数を表3.2-17に、風力係数の算定箇所を図3.2-6に示す。

平均風速の高 建物高さ\* さ方向の分布 基準風速 平均速度圧 を表す係数 Н  $V_0$  $E_r$ (m/s)(m)  $(N/m^2)$ 50.55 1.27 30 871

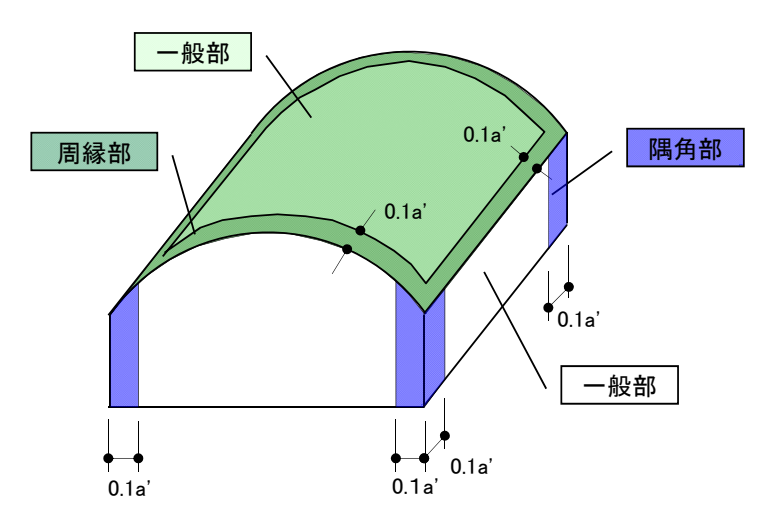
表 3.2-16 速度圧の算定結果

\*: 建物高さは、軒高さ (47.60m) と最高高さ (53.50m) の平均値とした

	200-21 - 7 /					
建物高さ*	屋村	<b></b> 表面	妻壁面			
H (m)	一般部	周縁部	一般部	隅角部		
50. 55	-2. 5	-3. 2	-2. 02	-2. 5		

表 3.2-17 ピーク風力係数

\*: 建物高さは、軒高さ (47.60m) と最高高さ (53.50m) の平均値とした



a'は平面の短辺の長さとHの2倍の数値のうちいずれか小さな数値(30を超えるときは,30とする)(単位:m)

図 3.2-6 風力係数の算定箇所

### 3) 外装材の強度検討

検討は、応力が厳しくなる部位について行う。ここでは、折板の自重は考慮しないものとする。 折板の間隔はドーム屋根が 3.4m で連続支持、妻壁が 4.0m で単純支持されているものと仮定する。

屋根材及び壁材の材料諸元を表 3.2-18 に示す。また、検討結果を表 3.2-19 に示す。

断面検討の結果,全ての外装材に対する応力度比が1以下になることを確認した。

表 3.2-18 屋根材及び壁材の材料諸元

le se			正曲げ方向		負曲げ方向	
极學	板厚 自重	断面 2 次 モーメント	断面係数	断面 2 次 モーメント	断面係数	
t (mm)	G (N/m²)	$I_x$ $(cm^4/m)$	$Z_x$ (cm <sup>3</sup> /m)	$I_x$ $(cm^4/m)$	$Z_{\rm x}$ (cm $^3$ /m)	
0.8	118	360	43.6 (13.1*)	347	40.6 (12.2*)	

\*:括弧内の数値は折曲加工部を示す

表 3.2-19 応力度に対する検討結果

部位	作用応力度 (N/mm²)	許容応力度 (N/mm²)	応力度比	判定
ドーム屋根	189	205*	0. 93	О. К.
妻壁	109	205*	0. 54	О. К.

\*:「JIS G 3321-2010」による

# ・応力度に対する検討

### ①ドーム屋根

$$w = 871 \times (-3.20) = -2790 (N/m^2)$$

$$M = (9/128) \times w \times L^2 = (9/128) \times (-2790) \times 3.4^2 \times 10^{-3} = -2.3 (kNm/m)$$

$$\sigma_b = M/Z = 2.3 \times 10^6/(12.2 \times 10^3) = 189 (N/mm^2)$$

$$\sigma_b/f_b = 189/205 = 0.93 \le 1.0$$
 OK

### ②妻壁

$$w = 871 \times (-2.50) = -2180 (N/m^2)$$

$$M = (1/8) \times w \times L^2 = (1/8) \times (-2180) \times 4.0^2 \times 10^{-3} = -4.4 (kNm/m)$$

$$\sigma_{h} = M/Z = 4.4 \times 10^{6}/(40.6 \times 10^{3}) = 109 (N/mm^{2})$$

$$\sigma_b/f_b = 109/205 = 0.54 \le 1.0$$
 OK

### 3.3 耐震性

#### (1) 検討方針

耐震性の検討は、架構、水平振れ止め装置 (ストッパ)、制震装置 (オイルダンパ)、基礎、原子 炉建屋接触部及び原子炉建屋の健全性について行い、基準地震動 Ss に対して、これらの応答性状 を適切に表現できる地震応答解析を用いて評価する。なお、地震応答解析は水平方向及び鉛直方向 を同時に入力する。

### (2) 架構の耐震性に対する検討

### 1) 解析に用いる入力地震動

検討用地震動は、「福島第一原子力発電所『発電用原子炉施設に関する耐震設計審査指針』の改訂に伴う耐震安全性評価結果 中間報告書」(東京電力株式会社、平成20年3月31日)にて作成した解放基盤表面で定義される基準地震動Ssを用いる。

地震応答解析に用いる入力地震動の概念図を図 3.3-1 に示す。モデルに入力する地震動は一次元波動論に基づき,解放基盤表面で定義される基準地震動 Ss に対する地盤の応答として評価する。解放基盤表面位置 (0.P.-196.0m) における基準地震動 Ss-1, Ss-2 及び Ss-3 の加速度時刻歴波形を図 3.3-2(1)及び図 3.3-2(2)に示す。

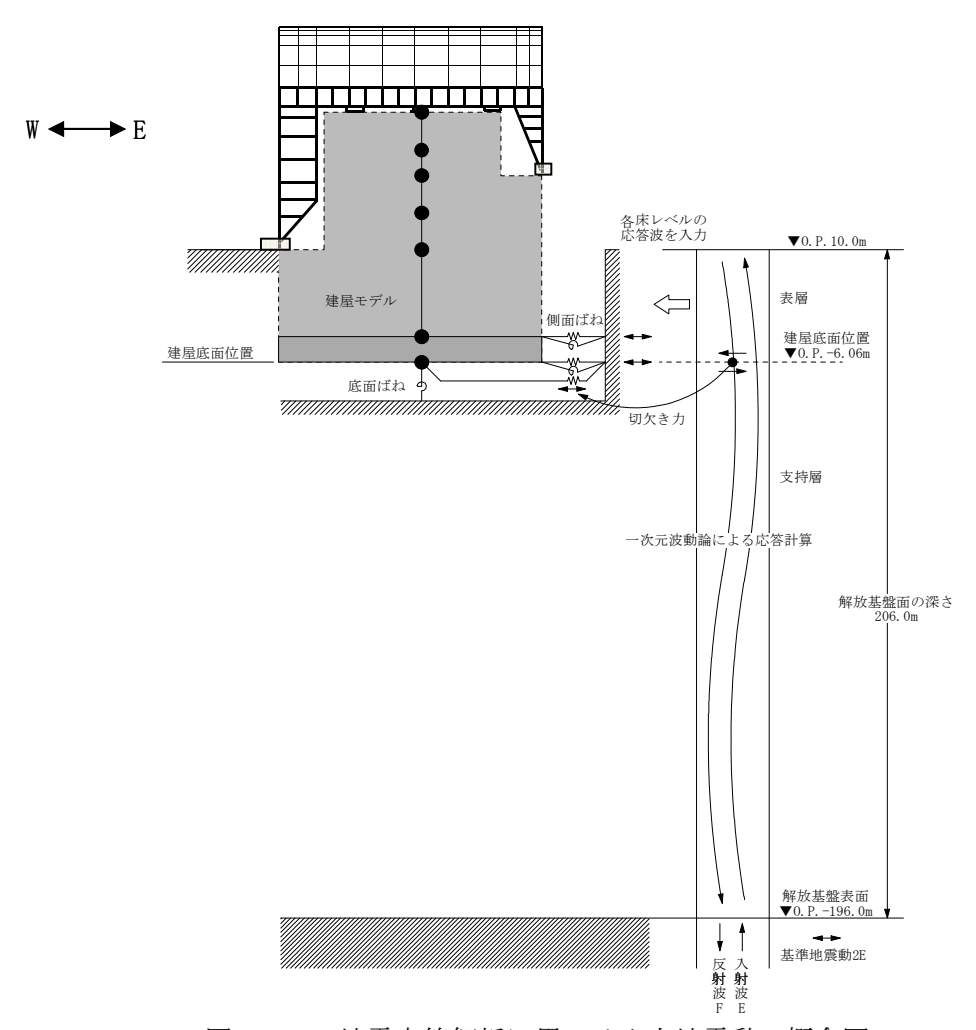


図3.3-1 地震応答解析に用いる入力地震動の概念図

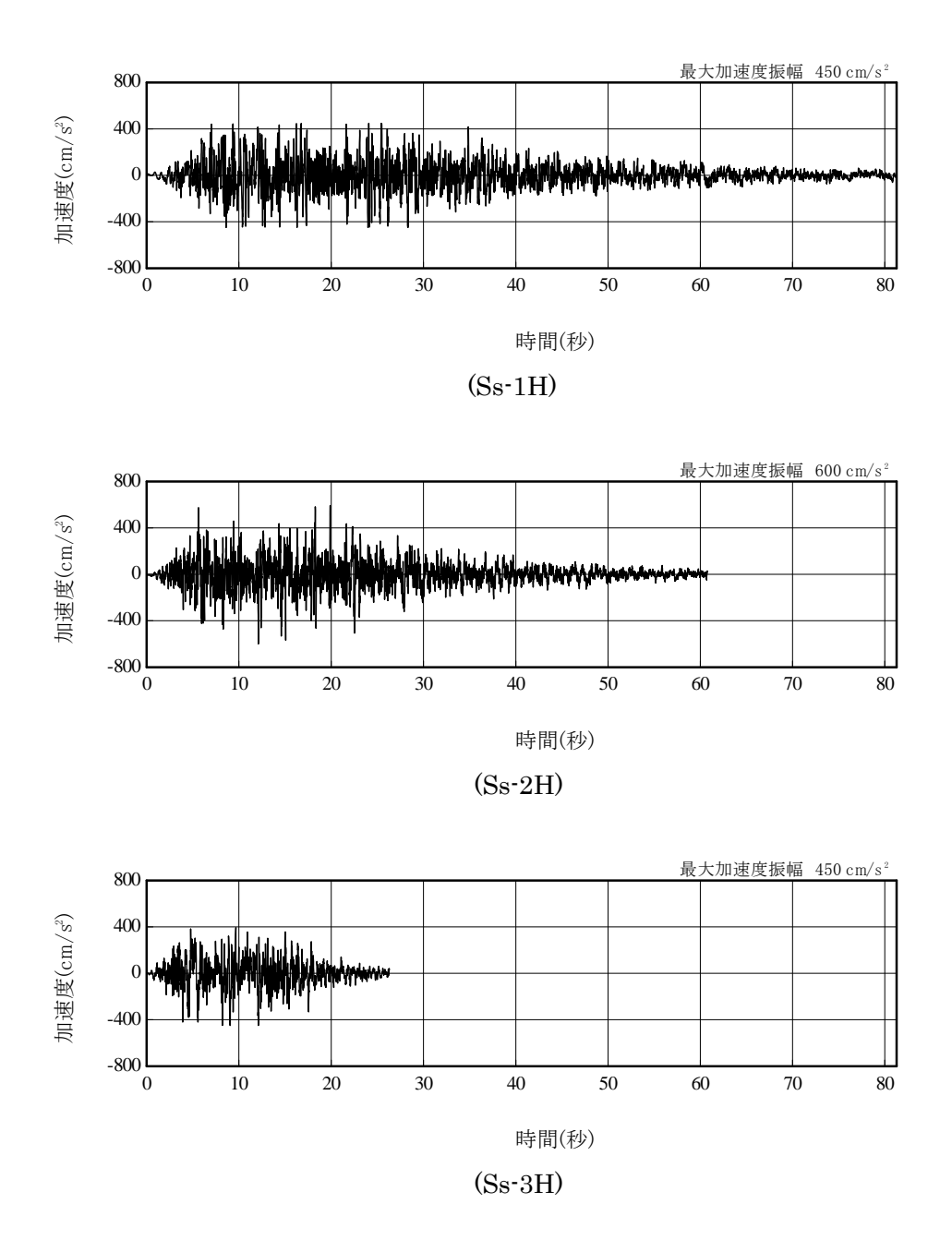
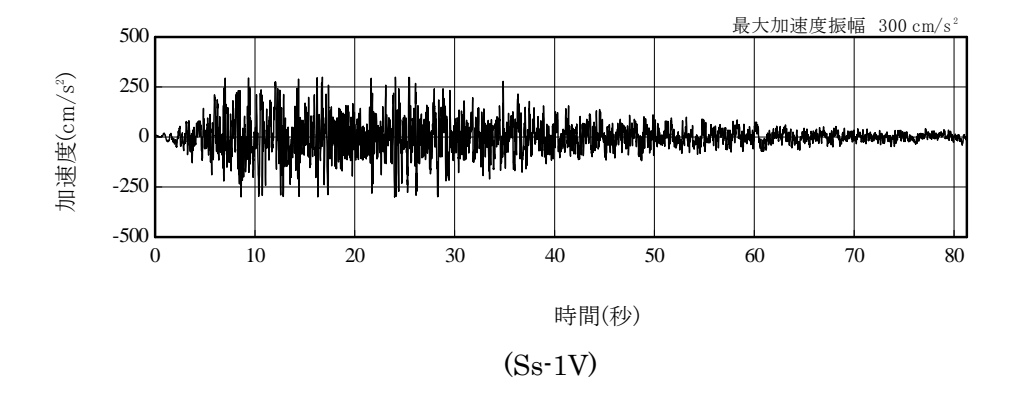
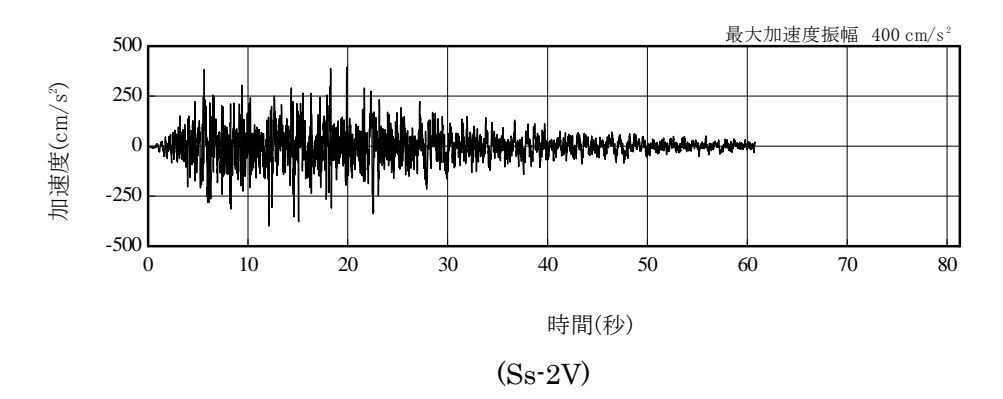


図 3.3-2(1) 解放基盤表面位置における地震動の加速度時刻歴波形(水平方向)





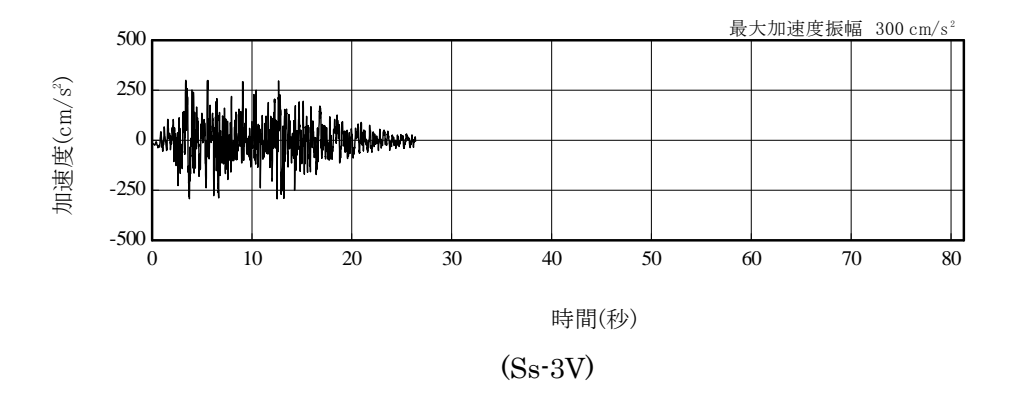


図 3.3-2(2) 解放基盤表面における地震動の加速度時刻歴波形 (鉛直方向)

### 2) 地震応答解析モデル

地震応答解析モデルは、門型架構及びドーム屋根を構成する主要な鉄骨部材からなる立体架構を原子炉建屋の質点系モデルに接続した図3.3-3に示すモデルとし、地盤を等価なばねで評価した建屋-地盤連成系モデルとする。ストッパ取り付き部は原子炉建屋5階質点(0.P.39.92 m)と水平方向同一変位条件とし、鉛直方向の制震装置(オイルダンパ)は原子炉建屋の5階床上面4箇所に門型架構と5階床の鉛直方向相対変位が減少する場合に減衰力を発揮するばねに置換して立体架構モデルに組み込んでいる。

地震応答解析に用いる物性値を表 3.3-1 に示す。門型架構及びドーム屋根の部材接合部の質点は 仕上げ材等を考慮した重量とし、原子炉建屋の質点は瓦礫撤去の重量等を反映した表 3.3-2 に示す 重量とする。門型架構の柱・梁及びドーム屋根の弦材は弾性部材とし、その他ブレース等は「鉄骨 X型ブレース架構の復元力特性に関する研究」(日本建築学会構造工学論文集 37B 号 1991 年 3 月) に示されている修正若林モデルによる。また、原子炉建屋は、曲げとせん断に「JEAG 4601-1991」 に示されている非線形特性を考慮する。

地盤定数は、「福島第一原子力発電所『発電用原子炉施設に関する耐震設計審査指針』の改訂に伴う耐震安全性評価結果 中間報告書」(東京電力株式会社、平成20年3月31日)と同様とし、その結果を表3.3-3に示す。原子炉建屋の地盤ばねは、「JEAG4601-1991」に示されている手法を参考にして、底面地盤を成層補正し振動アドミッタンス理論によりスウェイ及びロッキングばねを、側面地盤をNovakの方法により建屋側面ばねを評価した。

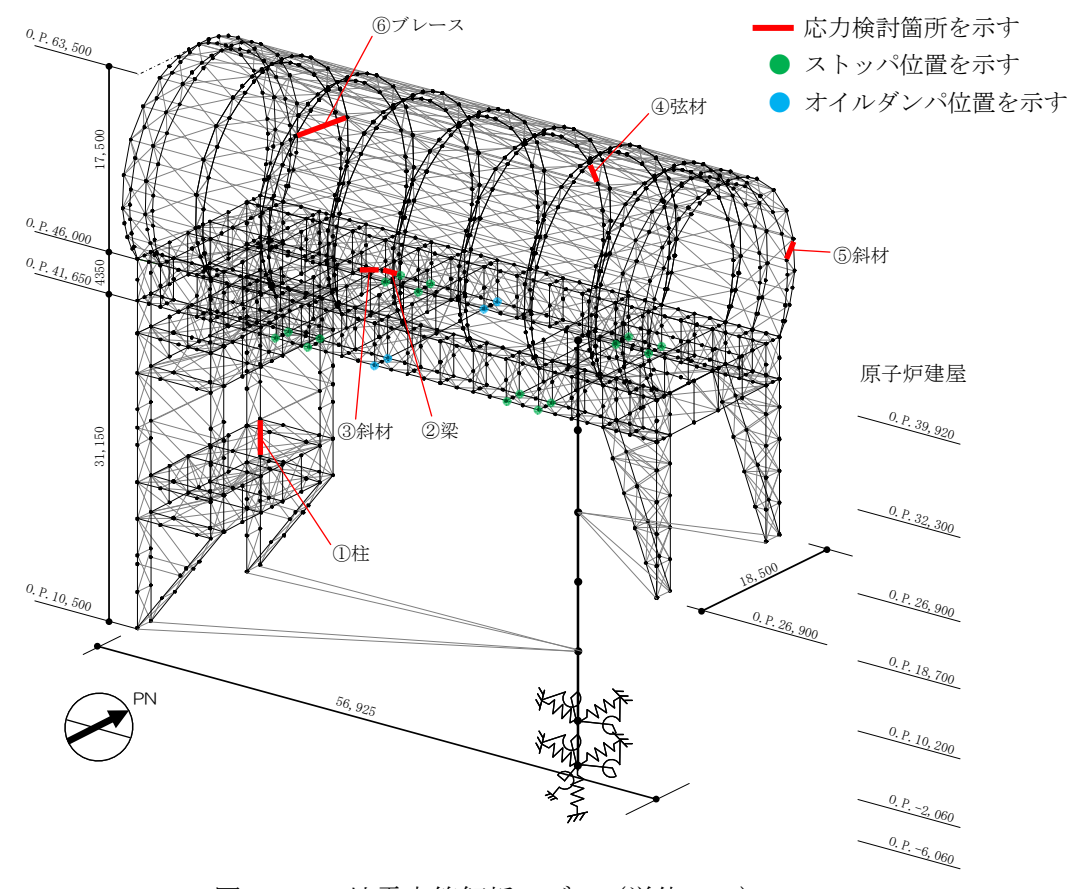


図 3.3-3 地震応答解析モデル(単位:mm)

表 3.3-1 地震応答解析に用いる物性値

部位	材料	ヤング係数 E(N/mm²)	ポアソン比 ν	単位体積重量 γ (kN/m³)	減衰定数 h(%)	備考
架構	鉄骨	$2.05 \times 10^5$	0. 3	77.0	2	SS400, SM490A STK490, STKT590

表 3.3-2 地震応答解析モデルのうち原子炉建屋の地震応答解析モデルの諸元 (a)水平 (NS) 方向

(4)/3(   (10) /3   6]					
標高 O.P. (m)	質点重量* W (kN)	回転慣性重量 I <sub>G</sub> (×10 <sup>5</sup> kN·m²)	せん断断面積 As (m²)	断面二次モーメント I (m <sup>4</sup> )	
39. 92	72990	76. 95			
32. 3	119490	238. 33	145. 3	9598	
26. 9	111140	204. 58	146. 1	29271	
,———			237. 3	56230	
18. 7	130160	239. 58			
10. 2	252510	464. 88	208. 6	60144	
			458. 7	112978	
-2.06	301020	554. 17			
-6. 06	127000	233. 79	2697. 8	496620	
合計	1114310	ヤング係数 Ec せん断弾性係数 G	2. $57 \times 10^7 (kN/m^2)$ 1. $07 \times 10^7 (kN/m^2)$	1	
		20			

ポアソン比 v 0.20 減衰 h 5%

\*: 「福島第一原子力発電所の原子炉建屋の現状の耐震安全性および補強等に関する検討に係る報告書(その2)」(東京電力株式会社,平成23年7月13日)において用いた各階重量に瓦礫撤去等による重量増減を考慮した数値(ただし,門型架構の重量12800kN及びドーム屋根重量3200kNは含まない)

表 3.3-2 地震応答解析モデルのうち原子炉建屋の地震応答解析モデルの諸元 (b)水平 (EW) 方向

標高	質点重量*	回転慣性重量	せん断断面積	断面二次モーメント
0. P. (m)	W (kN)	$I_G$ ( $\times 10^5$ kN·m <sup>2</sup> )	As (m <sup>2</sup> )	I (m <sup>4</sup> )
39. 92	72990	56. 10		
32. 3	119490	124. 49	61. 9	5665
26. 9	111140	204. 58	123. 4	12460
18. 7	130160	239. 58	204. 1	41352
	130100	200.00	226. 6	61084
10. 2	252510	693. 32	220. 0	01004
-2.06	301020	826. 50	431. 3	135128
			2697. 8	740717
-6.06	127000	348.72	2091.0	740/17
合計	1114310	ヤング係数 Ec せん断弾性係数 G	2. 57×10 <sup>7</sup> (kN/m <sup>2</sup> ) 1. 07×10 <sup>7</sup> (kN/m <sup>2</sup> )	<u>I</u>
		ポアソン比ν	0. 20	

(c)鉛直方向

減衰 h

5%

	`	C) EU 1577 1-7	
標高	質点重量*	軸断面積	軸ばね剛性
0. P. (m)	W (kN)	$A_N (m^2)$	$K_A (\times 10^8 \text{ kN/m})$
39. 92	72990		
32. 3	119490	192. 0	6.48
26. 9	111140	266. 3	12. 67
		431. 7	13. 53
18. 7	130160	423. 0	12. 79
10. 2	252510	423. 0	12. (3
-2. 06	301020	691. 2	14. 49
		2697.8	173. 33
-6.06	127000		
合計	1114310	ヤング係数 Ec せん断弾性係数 G	2. $57 \times 10^7 \text{ (kN/m}^2\text{)}$ 1. $07 \times 10^7 \text{ (kN/m}^2\text{)}$
		ポアソン比 ν 減衰 h	0. 20 5%

「福島第一原子力発電所の原子炉建屋の現状の耐震安全性および補強等に関する検討に係る報告 書(その2)」(東京電力株式会社,平成23年7月13日)において用いた各階重量に瓦礫撤去等 による重量増減を考慮した数値(ただし, 門型架構の重量 12800kN 及びドーム屋根重量 3200kN は 含まない)

# 表 3.3-3 地盤定数の設定結果

(a) Ss-1

標高	地質	せん断波 速度	単位体積 重量	*゚アソン 比	せん断 弾性係数	初期せん断 弾性係数	剛性 低下率	ヤング 係数	減衰 定数	層厚
0. P.	心貝	Vs	γ	ν	G	$G_0$	$G/G_0$	Е	h	Н
(m)		(m/s)	$(kN/m^3)$		$(\times 10^5 \mathrm{kN/m^2})$	$(\times 10^5 \mathrm{kN/m^2})$		$(\times 10^5 \mathrm{kN/m^2})$	(%)	(m)
10.0										
1.9 —	砂岩	380	17. 8	0. 473	2. 23	2.62	0.85	6. 57	3	8. 1
-10.0		450	16. 5	0.464	2. 66	3. 41	0.78	7. 79	3	11. 9
-80.0	泥岩	500	17. 1	0. 455	3. 40	4. 36	0. 78	9. 89	3	70.0
-108.0	化石	560	17. 6	0.446	4. 39	5. 63	0. 78	12.70	3	28. 0
		600	17.8	0.442	5. 09	6. 53	0.78	14. 68	3	88. 0
-196. 0	(解放基盤)	700	18. 5	0. 421	9. 24	9. 24	1.00	26. 26	-	-

# (b) $S_{S}-2$

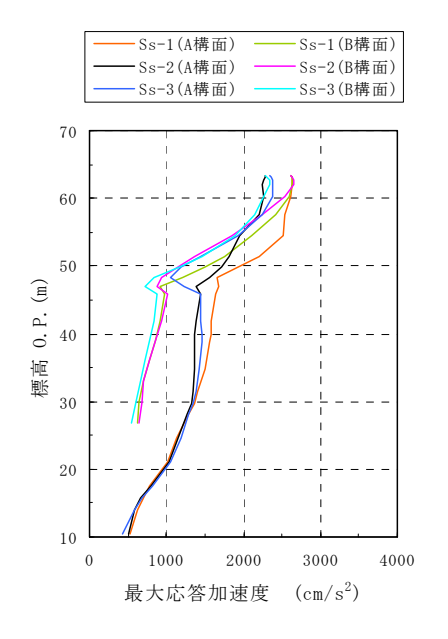
標高	地質	せん断波 速度	単位体積 重量	ポ <sup>°</sup> アソン 比	せん断 弾性係数	初期せん断 弾性係数	剛性 低下率	ヤング 係数	減衰 定数	層厚
0. P.	地貝	Vs	γ	ν	G	$G_0$	$G/G_0$	Е	h	Н
(m)		(m/s)	$(kN/m^3)$		$(\times 10^5 \mathrm{kN/m^2})$	$(\times 10^5 \mathrm{kN/m^2})$		$(\times 10^5 \mathrm{kN/m^2})$	(%)	(m)
10.0										
1.9	砂岩	380	17.8	0. 473	2. 23	2. 62	0.85	6. 57	3	8. 1
-10.0		450	16.5	0. 464	2.76	3. 41	0.81	8.08	3	11. 9
	治中	500	17. 1	0. 455	3. 53	4. 36	0.81	10. 27	3	70. 0
-80. 0	泥岩	560	17. 6	0. 446	4. 56	5. 63	0.81	13. 19	3	28. 0
-108. 0		600	17.8	0. 442	5. 29	6. 53	0.81	15. 26	3	88. 0
-196. 0	(解放基盤)	700	18. 5	0. 421	9. 24	9. 24	1.00	26. 26	-	-

# (c) S<sub>S</sub>-3

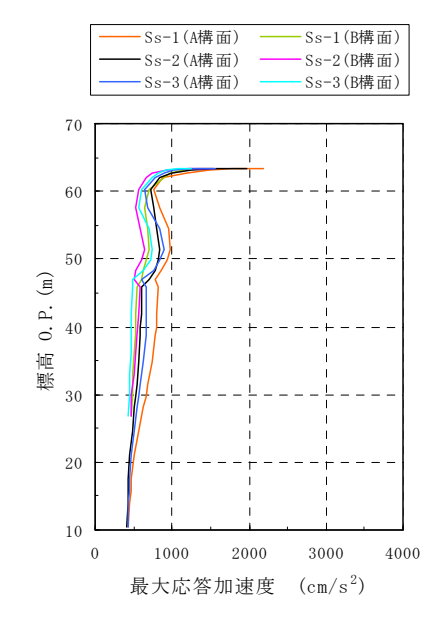
標高 0. P. (m)	地質	せん断波 速度 Vs (m/s)	単位体積 重量 γ (kN/m³)	ポ <sup>°</sup> アソン 比 v	せん断 弾性係数 G (×10 <sup>5</sup> kN/m <sup>2</sup> )	初期せん断 弾性係数 G <sub>0</sub> (×10 <sup>5</sup> kN/m <sup>2</sup> )	剛性 低下率 G/G <sub>0</sub>	ヤング 係数 E (×10 <sup>5</sup> kN/m <sup>2</sup> )	減衰 定数 h (%)	層厚 H (m)
10.0		(III/ 2)	(III () III )		(**10 111) 111 )	(**10 III)/ III /		(**10 m)	(/0/	(III)
1.9	砂岩	380	17.8	0. 473	2. 25	2. 62	0.86	6. 63	3	8. 1
-10.0		450	16. 5	0.464	2. 66	3. 41	0.78	7. 79	3	11.9
-80.0	泥岩	500	17. 1	0. 455	3. 40	4. 36	0.78	9.89	3	70. 0
-108.0	化石	560	17. 6	0.446	4. 39	5. 63	0.78	12.70	3	28. 0
-196.0		600	17.8	0.442	5. 09	6. 53	0.78	14. 68	3	88. 0
150.0	(解放基盤)	700	18. 5	0. 421	9. 24	9. 24	1.00	26. 26	_	_

# 3) 地震応答解析結果

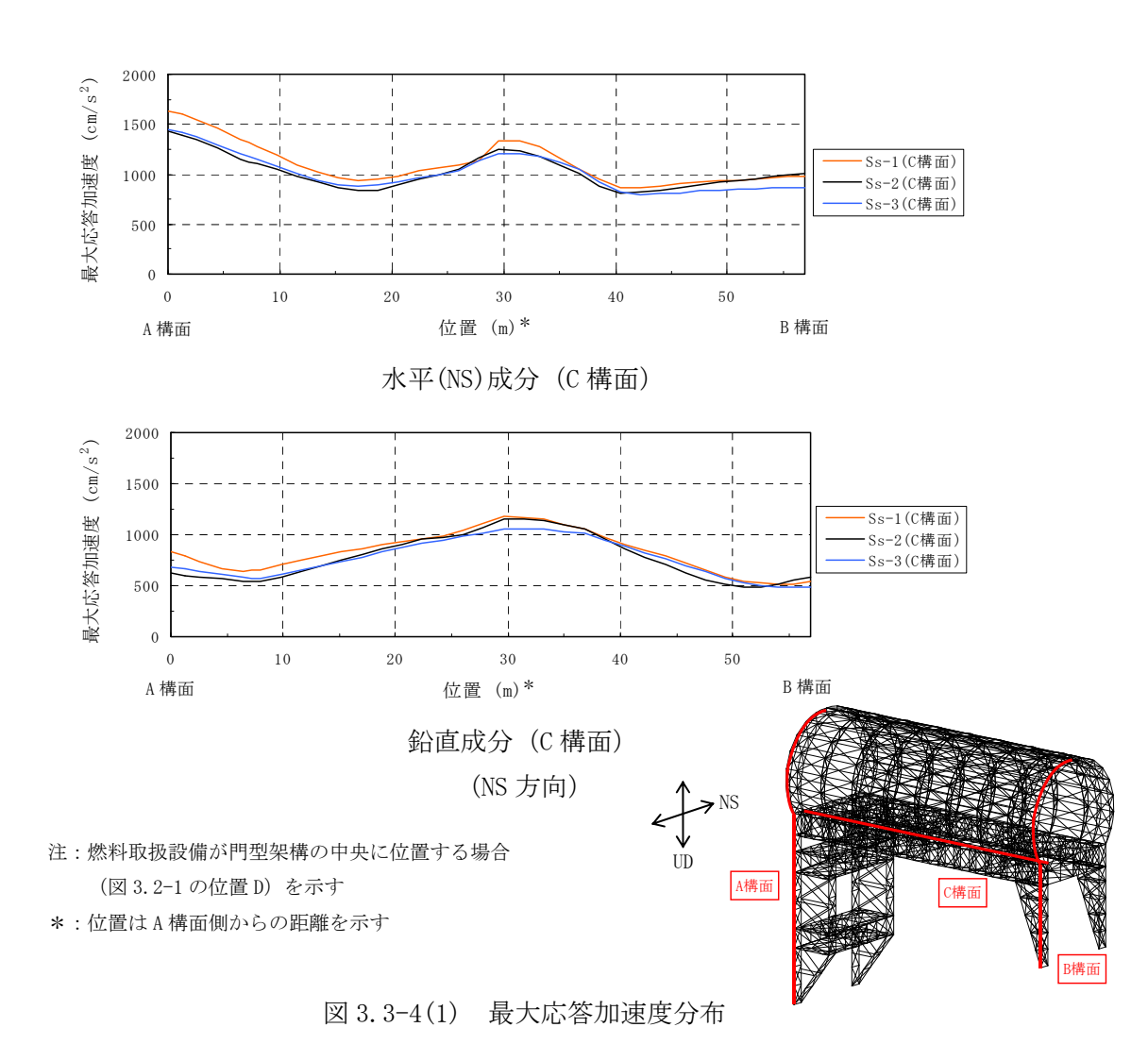
最大応答加速度分布を図3.3-4(1)及び図3.3-4(2)に示す。



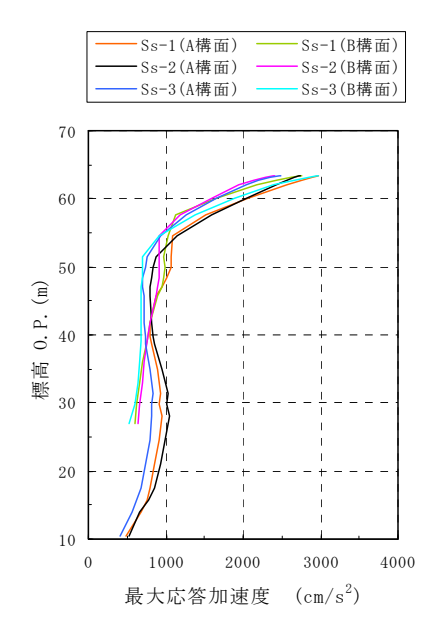
水平(NS)成分(A 構面, B 構面)



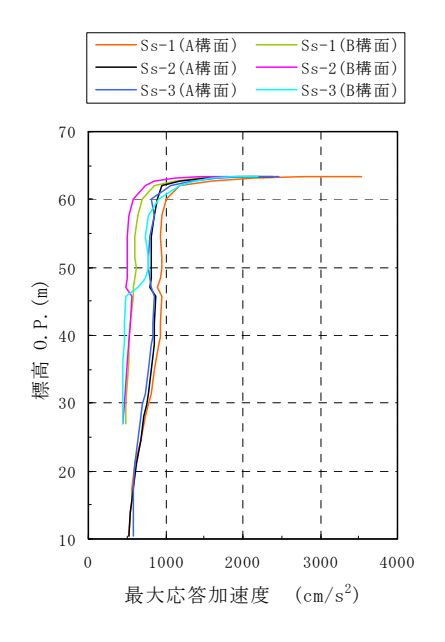
鉛直成分(A 構面, B 構面)



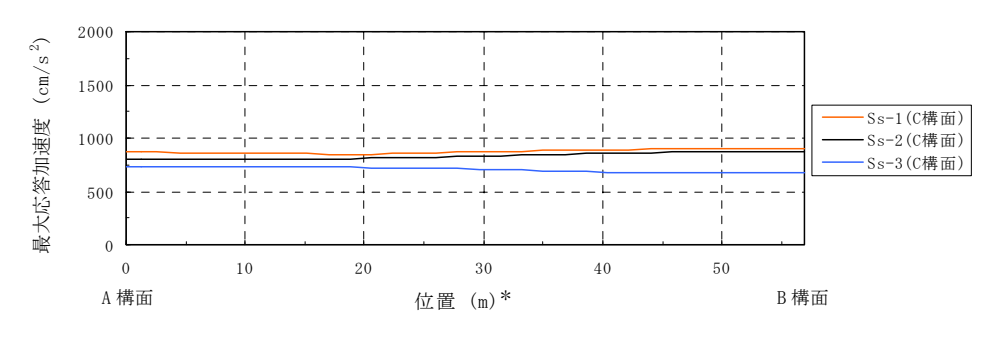
Ⅱ-2-11-添 4-2-109



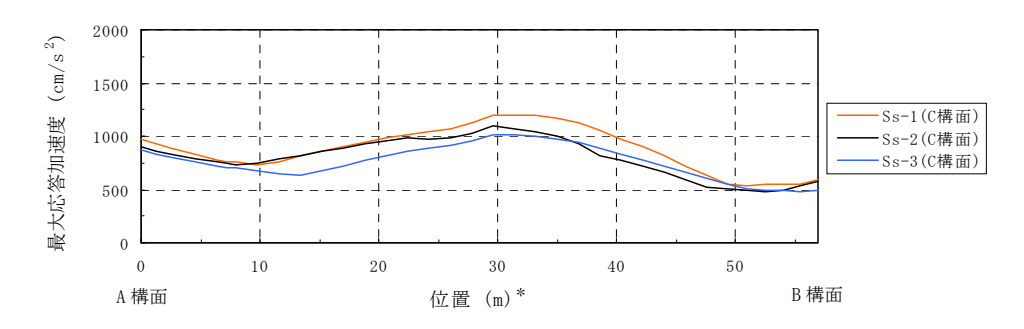
水平(EW)成分(A 構面, B 構面)



鉛直成分(A 構面, B 構面)



水平(EW)成分(C 構面)



鉛直成分(C 構面) (EW 方向)

注:燃料取扱設備が門型架構の中央に位置する場合

(図 3.2-1 の位置 D) を示す

\*:位置はA構面側からの距離を示す

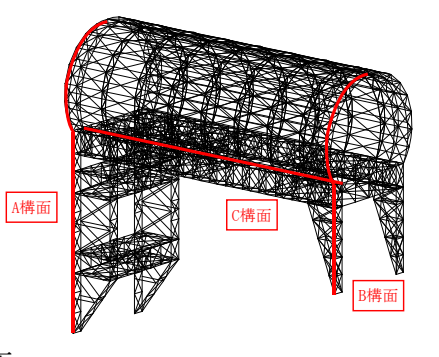


図 3.3-4(2) 最大応答加速度分布

### 4) 波及的影響の評価

門型架構は、JSCA 性能メニュー(社団法人日本建築構造技術者協会、2002 年)を参考に定めたクライテリア(「層間変形角は 1/75 以下、層の塑性率は 4 以下、部材の塑性率は 5 以下」\*)を満足することを確認する。ドーム屋根は、柱・梁によるフレームを構成しないため、JSCA 性能メニューのうち部材の塑性率のクライテリアを満足することを確認する。

なお、解析結果が「時刻歴応答解析建築物性能評価業務方法書」(財団法人日本建築センター、 平成19年7月20日)に示されるクライテリア(層間変形角は1/100以下、層の塑性率は2以下、 部材の塑性率は4以下)を超える場合には水平変形に伴う鉛直荷重の付加的影響を考慮した解析を 実施し、安全性を確認する。

> \*:北村春幸,宮内洋二,浦本弥樹「性能設計における耐震性能判断基準値 に関する研究」,日本建築学会構造系論文集,第604号,2006年6月

### 層間変形角の検討

門型架構の最大応答層間変形角を表 3.3-4 に示す。

検討の結果、最大応答層間変形角は1/75以下となりクライテリアを満足することを確認した。

最大応答値 クライテリア 判定 入力方向(位置)\* 検討箇所 地震波 1/820 1/750. K. NS (A) Ss-1 1/990 1/75O. K. EW (B) 東側 1/990 1/75O. K. NS (B) 0. P. 46. 00 (m)  $S_{S}=2$ 1/1000 1/75EW (B) O K  $\sim$ 0. P. 26. 90 (m) 1/990 1/75NS (B) O. K.  $S_{S}=3$ 1/10001/750. K. EW (B) 1/7201/75O. K. NS (A) Ss-1 EW (B) 1/1600 1/75O. K. 西側 1/860 1/750. K. NS (C) 0. P. 46. 00 (m) Ss-21/1600 1/75O. K. EW (B)  $\sim$ 0. P. 10. 50 (m) 1/800 1/750. K. NS (C) Ss-31/75 EW (B) 1/1800 0. K.

表 3.3-4 最大応答層間変形角の検討結果

### ・ 塑性率の検討

部材の塑性率は、引張及び圧縮に対して最大軸力時のひずみを引張耐力または座屈耐力時のひずみで除した値で表される。最大軸力時のひずみが引張耐力または座屈耐力時のひずみ未満の場合は弾性であり塑性率は1未満となる。最大応答軸力を引張耐力または座屈耐力で除した値を耐力比と定義し、表3.3-5に検討結果を示す。なお、引張耐力及び座屈耐力算定時の材料強度(STKT590 材を除く)は「平成19年国土交通省告示第625号」に定められた基準強度F値の1.1倍を用いる。

表 3.3-5 より全てのケースで耐力比が 1 を下回ることから塑性率は 1 未満となり, クライテリア を満足することを確認した。

表 3.3-5 耐力比の検討結果

ž	郭位*	I	部材形状 (mm)	地震波	入力方向 (位置)* <sup>2</sup>	耐え	力比	判定
	1)	柱	H-350×350 ×12×19 <sm490a></sm490a>	Ss-2	NS (C)	C/Cu	0.50	OK
門型架構	2	梁	H-350×350 ×12×19 <sm490a></sm490a>	Ss-1	NS (C)	C/Cu	0.45	OK
	3	斜材	$2[s-150\times75$ $\times6.5\times10$ $\langle SM490A \rangle$	Ss-1	NS (C)	C/Cu	0.75	OK
	4	弦材	$\phi$ -267. 4×6. 6 $\langle$ STKT590 $\rangle$	Ss-1	NS (D)	C/Cu	0.63	OK
ドーム屋根	5	斜材	$\phi = 139.8 \times 4.5$ $\langle STK490 \rangle$	Ss-1	EW (D)	C/Cu	0.90	OK
	6	ブレース	φ-114.3×4.5 <stk490></stk490>	Ss-2	EW (C)	C/Cu	0. 45	OK

\*1:①~⑥の符号は図3.3-3の応力検討箇所を示す

\*2:図3.2-1に示す燃料取扱設備の位置を示す

C:部材軸方向の圧縮力の最大値

Cu:座屈耐力

T : 部材軸方向の引張力の最大値

Tu: 引張耐力

### (3) 水平振れ止め装置 (ストッパ) の耐震性に対する検討

ストッパ (鋼製) の耐震性に対する検討は、材料強度を基準強度 F 値の 1.1 倍としたせん断耐力とし、耐力比が 1 以下になることを確認する。図 3.3–5 にストッパ概要図を示す。

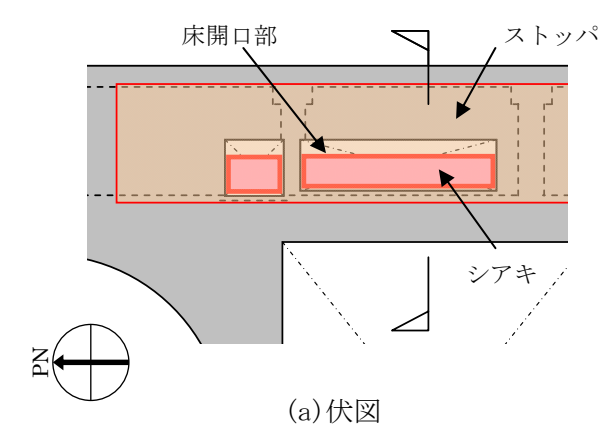
表 3.3-6 に耐力比が最大となる部位の断面検討結果を示す。

断面検討の結果、全てのストッパに対する耐力比が1以下になることを確認した。

部位	地震波	入力方向 (位置)*	最大応答 ストッパ反力 Q(kN)	せん断耐力 Qu(kN)	耐力比 Q/Qu	判定
東側ストッパ	Ss-1	EW (D)	3970	9480	0. 42	0. K.

表 3.3-6 ストッパ (シアキ) の断面検討結果

\*: 図 3.2-1 に示す燃料取扱設備の位置を示す



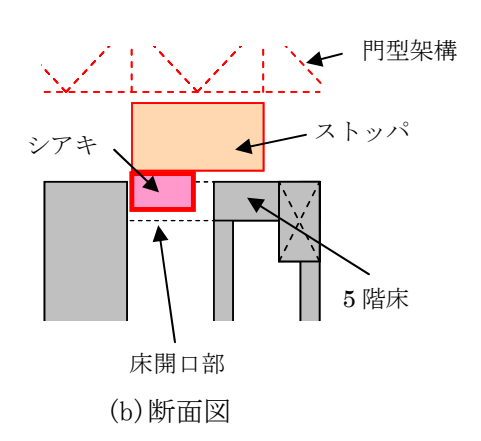


図 3.3-5 ストッパ概要図

### (4) 制震装置 (オイルダンパ) の耐震性に対する検討

原子炉建屋の5階床上面4箇所に設置するオイルダンパ概念図を図3.3-6に示す。

オイルダンパの耐震性に対する検討は、架構と原子炉建屋 5 階床がオイルダンパを介して各々変形する時の相対的な応答値がオイルダンパの許容値以下であることを確認する。

表 3.3-7 に最大応答値と許容値を比較した結果を示す。

検討の結果、全てのオイルダンパで最大応答値が許容値以下になることを確認した。

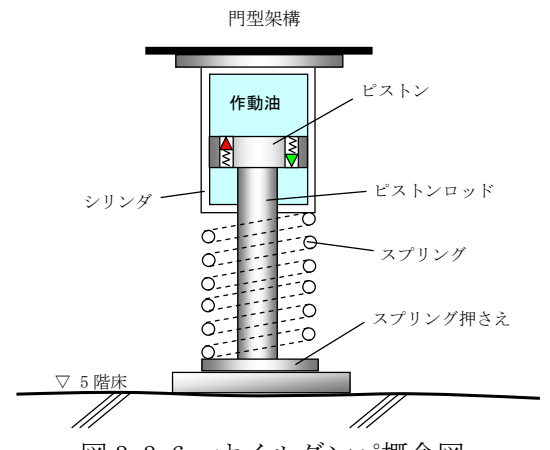


図 3.3-6 オイルダンパ概念図

Ⅱ-2-11-添 4-2-113

表 3.3-7 オイルダンパの検討結果

検討	地震波	入力方向 (位置)*	最大応答値	許容値	判定
オイルダンパ変位 (mm)	Ss-3	NS (D)	72	±100	0. K.
オイルダンパ速度 (m/s)	Ss-1	NS (D)	0.48	1.00	0. K.

\*:図3.2-1に示す燃料取扱設備の位置を示す

### (5) 基礎の耐震性に対する検討

基礎の浮き上がりに対しては基礎反力(圧縮力を正)の最小値が0以上であることを確認し、基礎のすべりに対しては基礎反力の水平力が摩擦耐力以下であることを確認する。

### 1) 基礎浮き上がりの検討

表 3.3-8 に基礎反力が最小となる部位の基礎浮き上がりの検討結果を示す。 検討の結果,全ての基礎の最小圧縮力が 0 以上になることを確認した。

表 3.3-8 基礎浮き上がりの検討結果

部位	地震波	入力方向 (位置)*	最小圧縮力 N(kN)	判定
東側柱脚 (北側)	Ss-3	NS (C)	227	O. K.

\*:図3.2-1に示す燃料取扱設備の位置を示す

### 2) 基礎すべりの検討

表 3.3-9 に耐力比が最大となる部位の検討結果を示す。 検討の結果,全ての耐力比が1以下になることを確認した。

表 3.3-9 基礎すべりの検討結果

部位	地震波	入力方向 (位置)*	最大水平力 Q(kN)	摩擦耐力 Vu(kN)	耐力比 Q/Vu	判定
東側柱脚	Ss-1	EW (D)	2810	4780	0.59	O. K.

# (6) 原子炉建屋接触部の耐震性に対する検討

#### 1) ストッパ接触部

ストッパ接触部の耐震性の検討では、最大ストッパ水平反力が、既存躯体の支圧耐力以下になることを確認する。なお、支圧耐力は、原子炉建屋の設計基準強度(22.1N/mm²)を用いて「プレストレストコンクリート設計施工規準・同解説」に基づき算出する。

表 3.3-10 に耐力比が最大となる部位の検討結果を示す。

検討の結果、全てのストッパ接触部に対する耐力比が1以下になることを確認した。

最大ストッパ 支圧耐力 耐力比 入力方向 水平反力 判定 地震波 部位 (位置)\* N/Nu Nu(kN) N(kN) 10400 19600 0.54 0. K. 西側ストッパ NS (C) Ss-1

表 3.3-10 ストッパ接触部の検討結果

\*:図3.2-1に示す燃料取扱設備の位置を示す

#### 2) オイルダンパ接触部

オイルダンパ接触部の耐震性の検討では、最大オイルダンパ鉛直反力が、既存躯体の支圧耐力以下になることを確認する。なお、支圧耐力は、原子炉建屋の設計基準強度(22.1N/mm²)を用いて「プレストレストコンクリート設計施工規準・同解説」に基づき算出する。

表 3.3-11 に耐力比が最大となる部位の検討結果を示す。

検討の結果,全てのオイルダンパ接触部に対する耐力比が1以下になることを確認した。

$$N_{ij} = f_{ij} \cdot A_{ij}$$

$$f_n = f_{na} \sqrt{rac{A_c}{A_l}}$$
 total,  $\sqrt{rac{A_c}{A_l}} \leq 2.0$ 

ここに,

f<sub>n</sub>:短期許容支圧応力度(N/mm²)

 $f_{na}: F_{ci}/1.25$  または  $0.6F_c$  のうち小さいほうの値  $(N/mm^2)$ 

 $F_{ci}$ : コンクリート強度、特に定めのない場合には 20N/mm<sup>2</sup> ( $F_{ci}$ =22. 1N/mm<sup>2</sup>)

A。: 支圧端から離れて応力が一様分布となったところのコンクリートの支承面積(mm²)

A<sub>1</sub> : 局部圧縮を受ける支圧面積(mm<sup>2</sup>)

 $(500 \times 500 = 2.50 \times 10^{5} \text{mm}^{2})$ 

表 3.3-11 オイルダンパ接触部の検討結果

部位	地震波	入力方向 (位置)*	最大オイルダンパ 鉛直反力 N(kN)	支圧耐力 Nu(kN)	耐力比 N/Nu	判定
南側端部	Ss-1	NS (D)	1250	6620	0. 19	O. K.

\*:図3.2-1に示す燃料取扱設備の位置を示す

# 3) 基礎設置部

基礎設置部の耐震性の検討では、柱脚の鉛直反力により生じる直下壁の最大軸力が壁の軸耐力以下であることを確認する。

表 3.3-12 に耐力比が最大となる部位の検討結果を示す。

検討の結果,全ての基礎設置部に対する耐力比が1以下になることを確認した。

# $N_{\mu} = f_c \cdot A_1$

ここに,

sf<sub>c</sub>: 短期許容圧縮応力度(N/mm<sup>2</sup>) (sf<sub>c</sub>=22.1×2/3=14.7)

A<sub>1</sub>: 柱脚部支配面積(mm<sup>2</sup>)

表 3.3-12 壁の圧縮力の検討結果

部位	地震波	入力方向 (位置)*	最大軸力 N(kN)	軸耐力 Nu(kN)	耐力比 N/Nu	判定
東側柱脚 (南側)	Ss-3	NS (B)	7430	25900	0. 29	O. K.

### (7) 原子炉建屋の耐震性に対する検討

#### 1) 検討方針

架構の設置に伴う原子炉建屋の耐震性の評価は、耐震安全上重要な設備への波及的影響防止の観点から、地震応答解析により得られる耐震壁のせん断ひずみが鉄筋コンクリート造耐震壁の終局限界に対応した評価基準値(4.0×10<sup>-3</sup>)以下になることを確認する。

#### 2) 原子炉建屋の地震応答解析

・解析に用いる入力地震動

検討用地震動は,「(2) 架構の耐震性に対する検討」で示した基準地震動 Ss を用いる。 地震応答解析に用いる入力地震動の概念図は図 3.3-1 と同様であり,モデルに入力する地震動は 「(2) 架構の耐震性に対する検討」に示したものと同一である。

### ・地震応答解析モデル

原子炉建屋の地震応答解析モデルは、図 3.3-7 に示すように質点系でモデル化し、地盤を等価なばねで評価した建屋-地盤連成系モデルとする。

地震応答解析モデルの諸元は、「福島第一原子力発電所の原子炉建屋の現状の耐震安全性および補強等に関する検討に係る報告書(その 2)」(東京電力株式会社、平成 23 年 7 月 13 日)に示される内容に、瓦礫撤去等による重量増減及び新規に設置する燃料取り出し用カバーの重量を考慮した。地震応答解析モデルの諸元のうち表 3.3-2 から変更した質点重量及び回転慣性重量を表 3.3-13 に示す。

地盤定数は、「(2) 架構の耐震性に対する検討」で示した地盤定数と同一である。

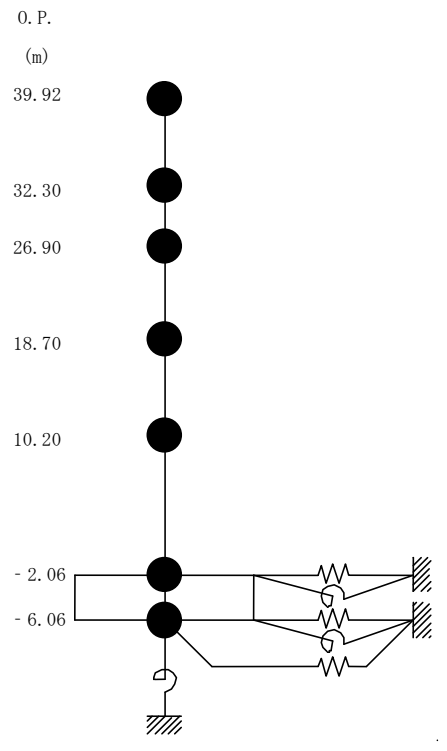


図 3.3-7 原子炉建屋の地震応答解析モデル Ⅱ-2-11-添 4-2-117

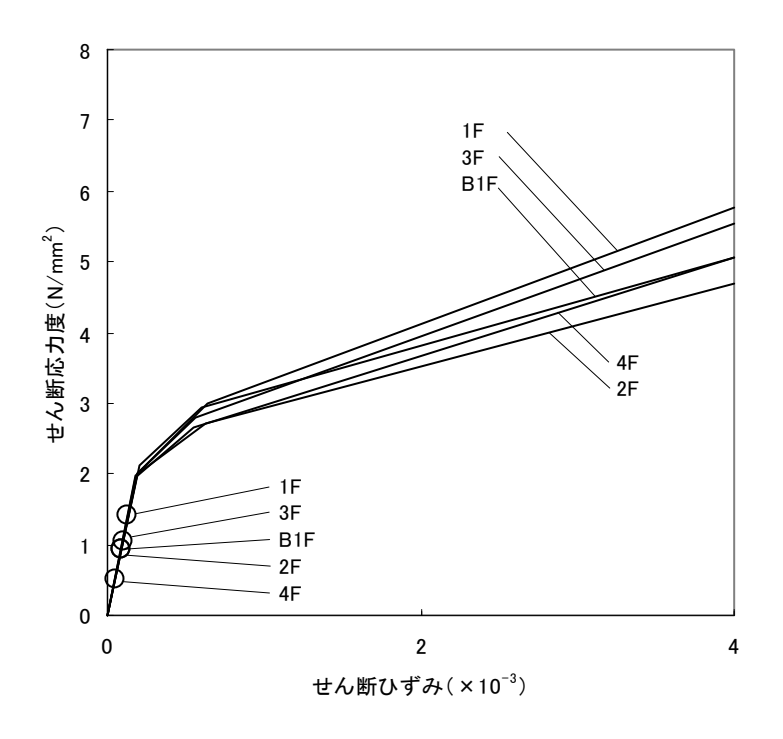
表 3.3-13 原子炉建屋の地震応答解析モデルの諸元 (水平方向)

	,,,,,,,,,,,,,,,,,,,,,,,,,,,,,,,,,,,,,,	X/8·6/1/// = / / · · / id	2 = ( , , , , , , , , , , , , , , , , , ,
L= -	际上工目		性重量
標高	質点重量	$I_{\rm G}$ (×10	S KN·m²)
0. P. (m)	W (kN)	水平(NS)方向	水平(EW 方向)
39. 92	87590	92. 34	67. 32
32. 3	119490	238. 33	124. 49
26. 9	111340	204. 95	204. 95
18. 7	130160	239. 58	239. 58
10. 2	253710	467. 09	696. 62
-2.06	301020	554. 17	826. 50
-6.06	127000	233. 79	348. 72
合計	1130310		

# 3) 検討結果

基準地震動 Ss に対する最大応答値を,「JEAG 4601-1991」に基づき設定した耐震壁のせん断スケルトン曲線上にプロットした結果を,図 3.3-8 から図 3.3-10 に示す。

検討の結果、地震応答解析により得られる最大応答値は、評価基準値( $4.0\times10^{-3}$ )に対して十分に余裕があることを確認した。



(a) NS 方向

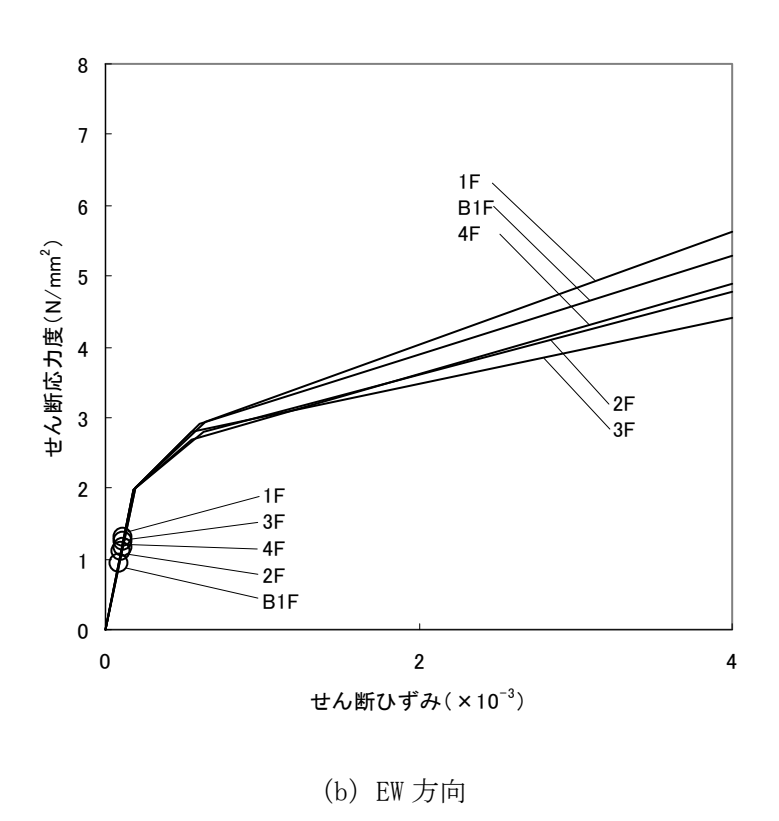
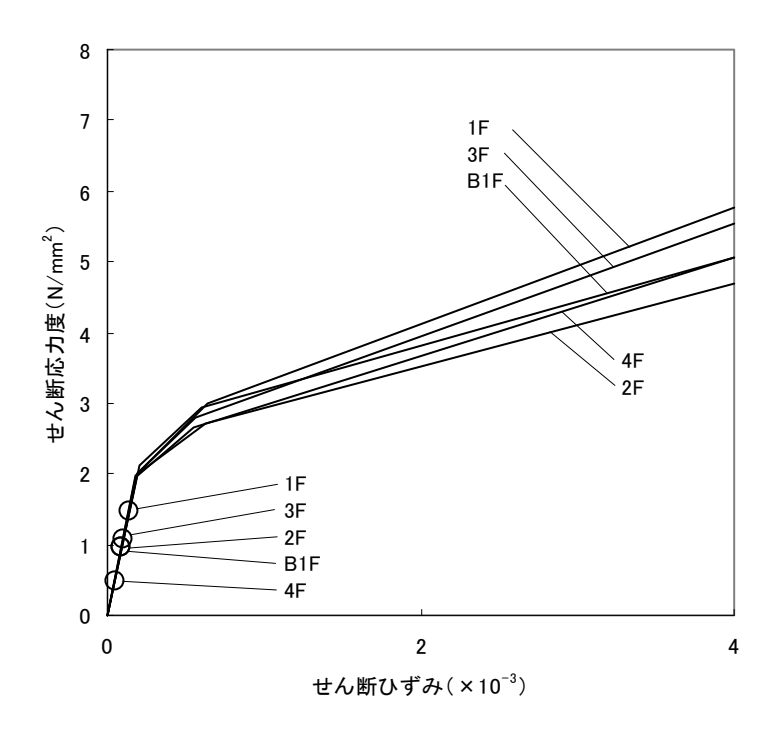


図 3.3-8 せん断スケルトン曲線上の最大応答値 (Ss-1)



(a) NS 方向

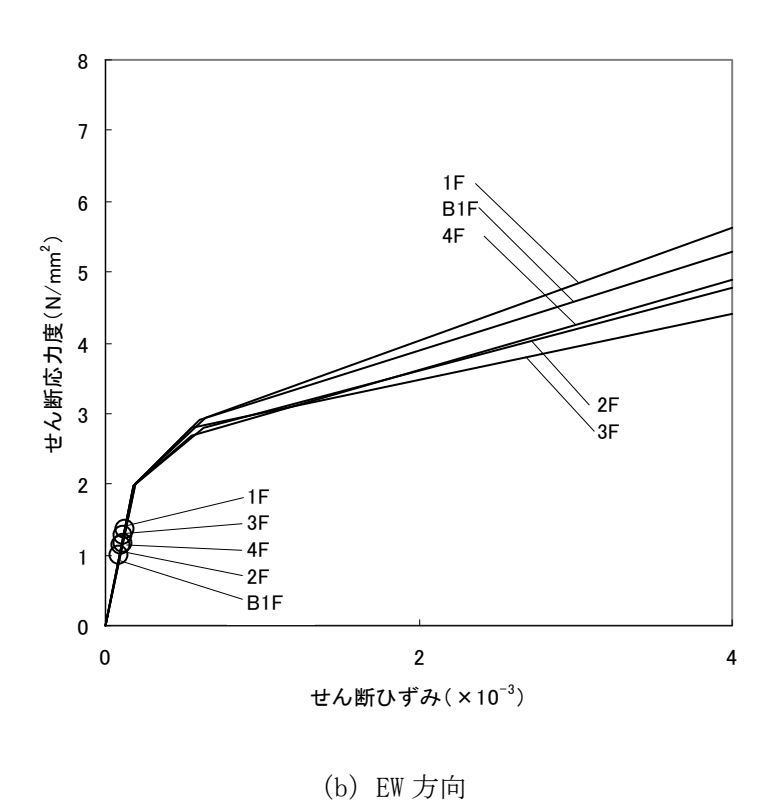
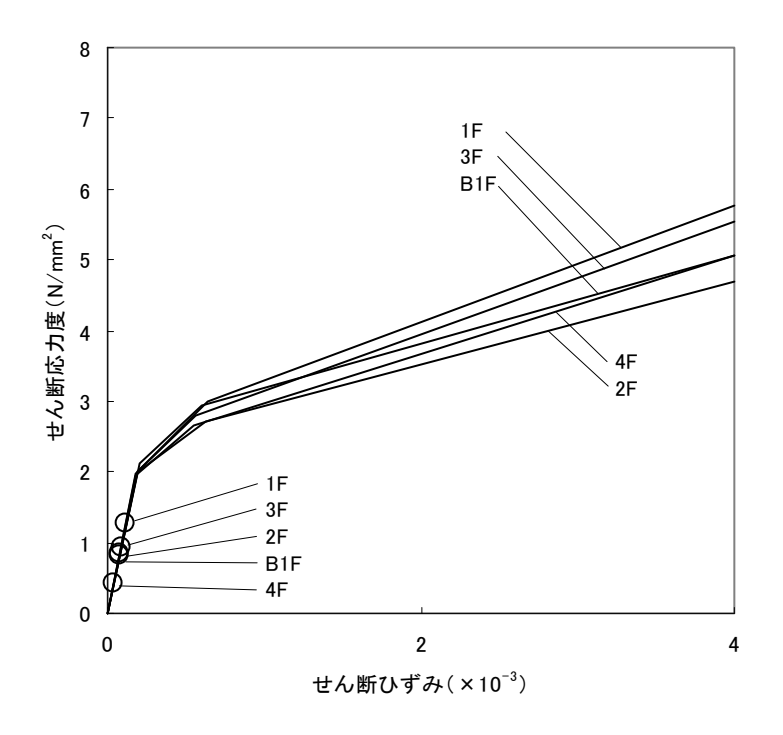


図 3.3-9 せん断スケルトン曲線上の最大応答値(Ss-2)



(a) NS 方向

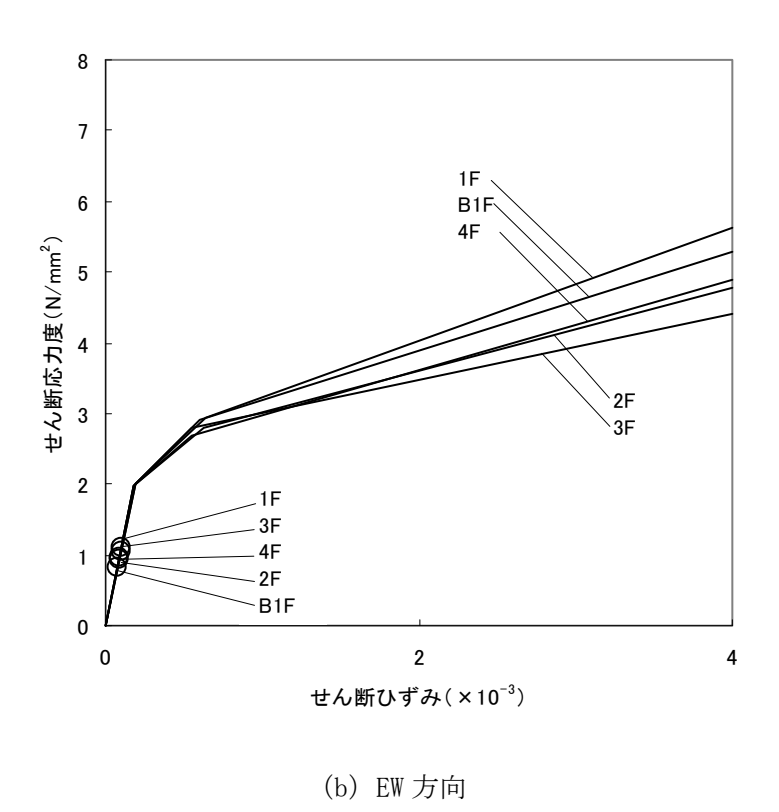


図 3.3-10 せん断スケルトン曲線上の最大応答値 (Ss-3)